



## TUGAS AKHIR

**PERENCANAAN GEDUNG 10 LANTAI  
TIPE SHEARWALL FRAME DENGAN METODE PUSHOVER  
ANALYSIS MENGGUNAKAN SNI 2002**

OLEH :

**HERIBERTUS FAJAR KRISTIANTO**  
**3199.100.007**

RSS  
690  
Kri  
P  
—  
2004



DOSEN PEMBIMBING :

**Ir. MUDJI IRMAWAN, MS**

**Dr. Ir. TRIWULAN, DEA**

| PERPUSTAKAAN<br>ITS |              |
|---------------------|--------------|
| Tgl. Terima         | 2 - 8 - 2004 |
| Terima Dari         | H/           |
| No. Agenda Prp.     | 720410       |

**PROGRAM SARJANA (S-1)**

**JURUSAN TEKNIK SIPIL**

**FAKULTAS TEKNIK SIPIL DAN PERENCANAAN**

**INSTITUT TEKNOLOGI SEPULUH NOPEMBER**

**SURABAYA**

**2004**

# TUGAS AKHIR

PERENCANAAN GEDUNG 10 LANTAI  
TIPE SHEARWALL FRAME DENGAN METODE *PUSHOVER*  
*ANALYSIS* MENGGUNAKAN SNI 2002

OLEH :

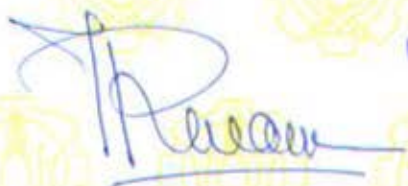
**HERIBERTUS FAJAR KRISTIANTO**

3199.100.007

SURABAYA, JULI 2004

MENGETAHUI / MENYETUJUI :

DOSEN PEMBIMBING I



**Ir. MUDJI IRMAWAN, MS**  
NIP. 131.790.588

DOSEN PEMBIMBING II



**Dr. Ir. TRIWULAN, DEA**  
NIP. 130.520.315



PROGRAM SARJANA (S-1)  
JURUSAN TEKNIK SIPIL  
FAKULTAS TEKNIK SIPIL DAN PERENCANAAN  
INSTITUT TEKNOLOGI SEPULUH NOPEMBER  
SURABAYA

2004

**PERENCANAAN GEDUNG 10 LANTAI**  
**TIPE SHEARWALL FRAME DENGAN METODE**  
**PUSHOVER ANALYSIS MENGGUNAKAN SNI 2002**

OLEH :  
HERIBERTUS FAJAR KRISTIANTO  
3199.100.007

---

**ABSTRAK**

Sekarang ini dalam perencanaan gedung telah mengalami beberapa perubahan konsep. Perubahan ini dilatarbelakangi oleh adanya beberapa kekurangan yang terdapat pada konsep lama yang biasanya disebut dengan *Forced Based Design*, sehingga dikembangkanlah metode baru yang berorientasi pada kinerja gedung ini yang biasa disebut dengan *Performance Based Design*. Oleh karena itu penulis mencoba untuk menerapkan metode baru ini pada pendesainan gedung 10 lantai yang menggunakan tipe *Shear Wall Frame*. Tugas Akhir ini memfokuskan dalam penggunaan metode spektrum kapasitas atau yang lebih dikenal dengan *Pushover Analysis*, yang digunakan untuk mengetahui perilaku sesungguhnya struktur yang ada saat mengalami pembebanan lateral akibat gaya gempa terukur. Analisa *Pushover* ini berpatokan pada peraturan ATC-40, SNI 03 – 1726 – 2002, dan FEMA-273. Pada awal analisa dimulai dengan perhitungan struktur dengan menggunakan SK SNI 03 – xxxx – 2001 dan PBI 1971. Juga dihitung target perpindahan rncana yang didapatkan sebesar 0,581 m, target perpindahan ini merupakan representasi dari *performance level* yang diinginkan. Setelah perhitungan struktur terpenuhi maka analisa dilanjutkan dengan *running pushover analysis* dengan menggunakan SAP 2000 sebagai program bantu. Hasil utama yang didapatkan adalah kurva kapasitas, *performanced point*, dan letak pembentukan sendi plastis pada struktur yang ada. Lalu dilanjutkan dengan membandingkan antara simpangan struktur yang sesuai dengan kapasitasnya dengan target perpindahan rencana yang ditetapkan sebelumnya. Dalam tugas akhir ini setelah dilakukan analisa maka didapatkan bahwa target displacement tidak dapat terpenuhi karena displacement yang terjadi hanya sebesar 0,4775 m ( 17,7 % dibawah target ). Maka harus dilakukan perbaikan desain. Setelah dilakukan pemberian tulangan maka didapatkan displacement sebesar 0,557 m atau sebesar 4,53 % dari target displacement yang sebesar 0,581 m, tetapi hal itu tidak menjadi masalah karena selisihnya masih dibawah toleransi yaitu sebesar 5 %

Kata kunci : *Performance based Design, Shearwall Frame, Pushover Analysis, Performanced Point, displacement*

## Kata Pengantar

Puji syukur dan ucapan terima kasih yang tak terhingga saya panjatkan kehadirat Tuhan Yang Maha Esa atas segala rahmat dan kurniaNya, sehingga terlepas dari berbagai kesulitan dan rintangan yang ada, akhirnya saya bisa menyelesaikan buku ini.

Tugas Akhir ini mengambil topik tentang *Performance-based Design* dimana secara lebih rinci difokuskan pada pemanfaatan analisa Pushover untuk mendesain suatu gedung. Penulis tertarik mengangkat topik permasalahan ini karena makin maraknya aplikasi dan pemanfaatan *Performance-based Design* di dalam dunia konstruksi bangunan, khususnya di daerah-daerah dengan tuntutan gaya gempa yang besar dan pendetailan yang akurat.

Di Indonesia sendiri memang dirasakan masih kurang ‘populer’nya metode ini. Mungkin hal ini dikarenakan Indonesia memang bukan daerah yang sering mengalami gempa besar atau mungkin juga karena dirasakan metode ini masih terlalu rumit dan tidak praktis. Oleh karena itulah diharapkan dengan penyusunan Tugas Akhir ini, bisa menambah sedikit khazanah dan wawasan bagi para pembacanya.

Dalam kesempatan ini pula, Penulis ingin menyampaikan penghargaan dan ucapan terima kasih kepada orang-orang yang telah memungkinkan selesainya Tugas Akhir ini :

1. Bapak, Ibu, dan semua kakak-kakak ku, untuk segala dukungannya baik moral maupun material selama ini.
2. Bpk Ir. Mudji Irmawan, MS. selaku dosen pembimbing, untuk segala bantuan, bimbingan, dan kesabarannya selama proses penyusunan tugas akhir ini. Juga untuk semua pinjaman literatur nya yang amat berguna.
3. Ibu Dr. Ir. Triwulan, DEA. Atas bimbingannya sehingga Tugas Akhir ini dapat terselesaikan dengan sebaik-baiknya, dan juga terimakasih atas segala kritik membangunnya
4. Bpk Ir. R. Sutjipto T, Msc. Atas bimbingannya selama saya menjalani masa kuliah, dan segala dorongannya.
5. Semua dosen di Teknik Sipil ITS yang tidak dapat saya sebutkan namanya satu persatu, yang telah mendidik dan membimbing saya sejak awal perkuliahan hingga detik ini. Jasa-jasa baik kalian akan selalu saya kenang sepanjang masa.
6. Dan masih banyak lagi orang-orang yang tak dapat saya sebutkan namanya satu persatu disini. Terima kasih untuk segala budi baiknya

Penulis menyadari sepenuhnya bahwa terlepas dari segala upaya dan usaha yang ada. Tugas Akhir ini masih amat jauh dari kesempurnaan. Oleh karena itu, penulis dengan senang hati dan tangan terbuka menerima segala saran maupun kritik yang membangun untuk perbaikan konsep/materi ataupun tata cara penulisan yang ada.

Akhir kata, diharapkan semoga tulisan ini mampu membawa manfaat bagi para pembaca sekalian.

**"SALAM DAMAI DALAM NAMA YESUS KRISTUS DAN PUJI SYUKUR  
ATAS SEGALA RAHMATNYA "**

Surabaya, Juli 2004

Penulis

## *LEMBAR PERSEMBAHAN*

Puji syukur yang tak terhingga saya panjatkan kehadiran Tuhan Yang maha Esa sehingga Tugas Akhir ini bias terselesaikan dengan bagitu banyak perjuangan dan doa. Saya sadar bahwa saya tidak mungkin dapat menyelesaikan Tugas Akhir ini tanpa bantuan dari berbagai pihak, oleh karena itu saya ingin menuliskan beberapa kata yang mengungkapkan rasa terima kasih yang tak terkira kepada :

- ❖ Bapak dan Ibu yang selalu memdoakan saya, memberikan dorongan kepada saya ketika mengalami kesulitan, dan banyak hal lagi yang kalian lakukan untuk saya , terima kasih atas semua itu. Meskipun adek pernah melakukan kesalahan yang sangat besar yang sangat menyakiti hati kalian tetapi kalian tetap mencintai adek, terima kasih dan sekali lagi adek mohon maaf telah melakukan kesalahan itu. Adek selau mencintai kalian sampai akhir hayat adek.
- ❖ Bapak dan Ibu dan keluarga sedati yang selalu memberikan dorongan dan bantuan yang sangat berarti kepada saya.
- ❖ Mas Yudi, mas Wiwin, mbak Utit, mbak Heni, mbak Nanik, dan mas Ardetta. Bantuan dan doa kalian sangat berati bagi adek, dan juga terimakasih atas kasih saying kalian. Adek tahu bahwa adek tidak akan biasa menyelesaikan segala masalah adek tanpa bantuan kalian. Dan juga terima kasih atas " kiriman" nya apabila adek membutuhkan. You are the best brothers and sisters for me, thanks a lot, and I love you all.
- ❖ My love Ratih yang selalu dengan sabar memberikan dukungan apabila ada kesulitan, yang selalu mendoakan saya, dan selalu memgerti kepada saya, I love you so much, wait for me and we will together forever, soon.
- ❖ My brother Mokhamad "Little brother"Alkhamd Darmansyah dan Budi " The two millions man" Prasetyo. Kita pernah mengalami masa yang penuh perjuangan bersama sama dan aku harap persahabatan kita akan tetap terjalin selamanya.

- ❖ Untuk The Tree Maskenter ( Stres-na, Bangsatrio, and Zebe ), Faries, terima kasih atas dukungannya dan bantuannya, dan akhirnya kita bias widuda bareng-bareng, dan juga kepada Eko-pack terima kasih atas dukunganmu dan kue nya ( wis dibayar durung karo Alkhand ).
- ❖ Untuk Ali dan Data terima kasih atas segala bantuan dan masukannya.
- ❖ Untuk Gugus, Dadut, Bismo, Krisna, Udien, Renggo, Seno-Man terima kasih bantuannya ya, aku selalu akan mengingatnya
- ❖ Untuk para bidadari S-42 : Reni Malang, Reni mBangil, Yang'Sofyan', Avriel, Maya, Resti, meme Deasy, Nophie', Farida, Ratih'tante Peggy', Wonda, Sonya, Pipit, Rina'RiMut', Septania, Erlin'kethoprak humor', Isti, Sita, Monica, Sari, Andina. Terimkasih mau mewarnai kampus.
- ❖ Untuk lanang-lanang S-42 : Gudus, Bambang, nDollies, Bondan'*fisher*', Bendot-man, Wahyu'*mBah*', Faisal, Osa, GN-Thong, Welly, Dadutz, Sujatz, Qiyip, Qomar, Kenth, Tielies, Cupang, Tobil, Edo, Vian, Antok'*Ngalam*', Sugeng'*nganyuk*', Raras, Agung cilik, Agung BeHa, Anjang'*nggalek*', Ibon"*Dhus*", Dedi'*Gempa*', Anol'*Bawean*', Ming, Gendon, Odjie, Arie, Endar'*ndemo*', Andec, Jarwo'*bhurix*', Sony'*lebus*', to-Yanto, Sinyo Sun, Ebet, Yunanto, Ical, Rawon, Teyenk, Hari afre', Ginting, Aga'*duro*', Adie, Si kembar Dani – Deni, Pendhy'*raja ngibul*', Adit'*kenthung*'. Timbul, Musni, Sutan, Terimakasih atas kebersaman kita. Kalian sangat LUGU ( LUcu tapi ngGUilani puoll ). We are one, dude !!!
- ❖ Cak So dan Pak Damiri terima kasih atas bantuannya dan ruang baca yang asri. Mbah Mo dan Kantin Crew atas makanan bergizinya selama dalam penantian kelulusan. Pak Yok atas penjagaanya yang ketat
- ❖ Dan juga kepada semua pihak yang tidak bisa saya sebutkan satu-persatu yang telah membantu saya, terimakasih semoga Tuhan selalu memberkati kalian.

## Daftar Isi

|                                    |      |
|------------------------------------|------|
| Halaman Judul                      |      |
| Lembar Pengesahan                  |      |
| Abstrak                            |      |
| Kata Pengantar                     | ii   |
| Daftar Isi                         | iii  |
| Daftar Gambar                      | vii  |
| Daftar Tabel                       | viii |
| Daftar Notasi                      | x    |
| <b>BAB I PENDAHULUAN</b>           | 1    |
| 1.1 Latar Belakang                 | 1    |
| 1.2 Permasalahan                   | 2    |
| 1.3 Tujuan                         | 2    |
| 1.4 Batasan Permasalahan           | 2    |
| 1.5 Sistematika Penulisan          | 3    |
| <b>BAB II DASAR PERENCANAAN</b>    | 5    |
| 2.1. Umum                          | 5    |
| 2.2. Peraturan Yang Digunakan      | 6    |
| 2.3. Pemodelan Struktur            | 6    |
| 2.4. Pembebanan                    | 7    |
| 2.5. Analisa Struktur              | 7    |
| <b>BAB III METODOLOGI</b>          | 8    |
| 3.1. Preliminary Design            | 8    |
| 3.1.1. Perencanaan Balok           | 8    |
| 3.1.2. Perencanaan Kolom           | 8    |
| 3.1.3. Perencanaan Pelat           | 9    |
| 3.1.4. Perencanaan Balok Anak      | 9    |
| 3.2. Perencanaan Struktur Sekunder | 9    |
| 3.2.1. Perencanaan Tulangan Pelat  | 9    |
| 3.2.2. Perencanaan Tulangan Tangga | 11   |

|  |           |
|--|-----------|
| 3.2.3. Perencanaan Tulangan Balok Anak           | 11        |
| <b>3.3. Pembebanan</b>                           | <b>13</b> |
| 3.3.1. Beban Arah Vertikal                       | 13        |
| 3.3.1.1. Beban Mati                              | 13        |
| 3.3.1.2. Beban Hidup                             | 14        |
| 3.3.2. Beban Arah Horisontal ( Lateral )         | 14        |
| 3.3.2.1. Beban Angin                             | 14        |
| 3.3.2.2. Gaya Gempa Dasar                        | 14        |
| 3.3.3. Kombinasi Pembebanan                      | 16        |
| <b>3.4. Perpindahan ( <i>Displacement</i> )</b>  | <b>16</b> |
| 3.4.1. Kontrol <i>Displacement</i>               | 16        |
| 3.4.2. Penentuan Target Perpindahan Rencana      | 17        |
| <b>3.5. Perhitungan Struktur Tulangan Utama</b>  | <b>20</b> |
| 3.5.1. Redistribusi Momen                        | 20        |
| 3.5.2. Penulangan Balok Induk                    | 20        |
| 3.5.3. Penulangan Kolom                          | 22        |
| 3.5.4. Sambungan Balok – Kolom                   | 23        |
| <b>3.6. Tulangan <i>Shearwall</i></b>            | <b>23</b> |
| <b>3.7. <i>Pushover Analysis</i></b>             | <b>24</b> |
| 3.7.1 Kapasitas                                  | 26        |
| 3.7.2 Demand                                     | 30        |
| 3.7.3 Titik Kinerja ( <i>Performance Point</i> ) | 33        |
| 3.7.3.1 Prosedur A                               | 33        |
| 3.7.3.2 Prosedur B                               | 35        |
| 3.7.3.3 Prosedur C                               | 36        |
| <b>Bab IV DASAR TEORI</b>                        | <b>42</b> |
| 4.1. Konsep Force-Based Design                   | 42        |
| 4.2. Konsep Performance-Based Design             | 43        |
| <b>BAB V PERENCANAAN STRUKTUR SEKUNDER</b>       | <b>45</b> |
| 5.1. Balok                                       | 45        |
| 5.1.1. Perencanaan Balok Memanjang               | 45        |
| 5.1.2. Perencanaan Balok Melintang               | 46        |

|  |           |
|--|-----------|
| 5.2. Kolom   | 46        |
| 5.3. Pelat   | 47        |
| 5.3.1. Perencanaan Pelat                                   | 47        |
| 5.3.2. Pembebanan Pelat                                    | 49        |
| 5.3.3. Perencanaan Penulangan Pelat                        | 50        |
| 5.4. Tangga  | 56        |
| 5.4.1. Perencanaan Tangga                                  | 56        |
| 5.4.2. Pembebanan Tangga                                   | 57        |
| 5.4.3. Perencanaan Penulangan Tangga                       | 58        |
| 5.4.4. Perencanaan Balok Bordes                            | 61        |
| 5.5. Perencanaan Balok Anak                                | 63        |
| 5.5.1. Perencanaan Balok Anak Atap                         | 64        |
| 5.5.2. Perencanaan Balok Anak Lantai                       | 69        |
| <b>BAB VI ANALISA STRUKTUR UTAMA</b>                       | <b>71</b> |
| 6.1. Data-data Perencanaan Gedung                          | 71        |
| 6.2. Pembebanan Arah Vertikal                              | 71        |
| 6.2.1. Perhitungan Beban Per Satuan Luas                   | 73        |
| 6.2.2. Perhitungan Beban Equivalen                         | 74        |
| 6.3. Perhitungan Beban Lateral Akibat Gempa                | 74        |
| 6.3.1. Perhitungan Berat Total Bangunan                    | 74        |
| 6.3.2. Perhitungan Gaya Geser Dasar                        | 75        |
| 6.3.2.1. Pembebanan Arah Melintang Gedung ( Arah Y )       | 75        |
| 6.3.2.1.1. Penyebaran Gaya Geser Secara Vertikal           | 76        |
| 6.3.2.2. Pembebanan Gempa Arah Memanjang Gedung ( Arah X ) | 77        |
| 6.3.2.3. Penyebaran Arah Gempa                             | 77        |
| 6.3.2.4. Waktu Getar Alami Fundamental                     | 78        |
| 6.4. Perhitungan Beban Angin                               | 79        |
| 6.5. Kontrol <i>Displacement</i>                           | 79        |
| 6.6. Penentuan Target Perpindahan Rencana                  | 80        |
| 6.7. Analisa Gaya-Gaya Dalam ( Analisa Linier )            | 84        |
| 6.8. Perhitungan Penulangan                                | 85        |
| 6.8.1 Redistribusi Momen Tumpuan Balok                     | 85        |

|   |            |
|---|------------|
| 6.8.2 Penulangan Lentur Balok                         | 87         |
| 6.8.3 Penulangan Geser Balok                          | 89         |
| 6.8.4 Penulangan Lentur Kolom                         | 92         |
| 6.8.5 Penulangan Transversal Kolom                    | 94         |
| 6.8.6 Sambungan Balok-Kolom                           | 97         |
| 6.8.7. Tulangan <i>Shearwall</i>                      | 98         |
| <b>6.9. Rekap Hasil Perhitungan Penulangan</b>        | <b>102</b> |
| 6.9.1 Tulangan Balok                                  | 103        |
| 6.9.2 Tulangan Kolom                                  | 103        |
| <b>BAB VII ANALISA PUSHOVER</b>                       | <b>105</b> |
| 7.1 Analisa Statik Non-Linear                         | 105        |
| 7.2 Analisa Pushover dengan SAP2000                   | 111        |
| 7.3 Hasil Analisa Pushover                            | 115        |
| 7.4 Solusi Untuk Mencapai Target Displacement Rencana | 119        |
| 7.4.1 Teori Umum                                      | 119        |
| 7.4.2 Contoh Aplikasi Pada Perencanaan Gedung         | 121        |
| 7.4.3. <i>Performance Point</i>                       | 124        |
| <b>BAB VIII KESIMPULAN DAN SARAN</b>                  | <b>125</b> |
| 8.1 Kesimpulan  | 125        |
| 8.2 Saran   | 127        |
| <b>Daftar Pustaka</b>                                 | <b>128</b> |
| <b>Lampiran</b>                                       |            |

## Daftar Gambar

|             |  |    |
|-------------|--|----|
| Gambar 3.1  | Pemodelan Struktur Tangga  | 11 |
| Gambar 3.2  | Pemodelan MDOF ke SDOF   | 17 |
| Gambar 3.3  | Prosedur Analitis Performance-based design                             | 25 |
| Gambar 3.4  | Ilustrasi Metode Pushover beserta Kurva Kapasitasnya                   | 26 |
| Gambar 3.5  | Contoh Kurva Kapasitas yang mungkin terjadi                            | 27 |
| Gambar 3.6  | Respon Spektrum (Elastis)  | 31 |
| Gambar 3.7  | Respon Spektrum dalam Format Sa vs T dan ADRS                          | 32 |
| Gambar 3.8  | Respon Spektrum Tereduksi  | 32 |
| Gambar 3.9  | Prosedur A Setelah Tahap 6 (ATC-40)                                    | 34 |
| Gambar 3.10 | Prosedur B Setelah Tahap 4 (ATC-40)                                    | 36 |
| Gambar 3.11 | Prosedur B Setelah Tahap 7 (ATC-40)                                    | 37 |
| Gambar 3.12 | Prosedur C Setelah Tahap 9 (ATC-40)                                    | 38 |
| Gambar 3.13 | Flowchart Metodologi   | 41 |
| Gambar 5.1. | Pelat  | 47 |
| Gambar 5.2  | Potongan Pelat   | 51 |
| Gambar 5.3  | Potongan Pelat   | 54 |
| Gambar 5.4  | Denah Tangga dan Sistem strukturnya                                    | 56 |
| Gambar 5.5  | Pembebatan pada Tangga   | 58 |
| Gambar 5.6  | Penulangan Baiok Bordes  | 63 |
| Gambar 5.7  | Tributary Area   | 63 |
| Gambar 5.8  | Koefisien Momen Balok Anak   | 65 |
| Gambar 5.9  | Penulangan Balok Anak Atap   | 69 |
| Gambar 5.10 | Penulangan Balok Anak Lantai   | 70 |
| Gambar 6.1  | Distribusi Beban Pelat pada Balok                                      | 71 |
| Gambar 6.2  | Penulangan pada balok BL 197   | 92 |
| Gambar 6.3  | Hasil Analisa PCACOL v3.00.untuk Kolom KLM33                           | 94 |
| Gambar 6.4  | Diagram Interaksi Kolom K22 ( $f_y = 500 \text{ MPa}$ , $\phi = 1.0$ ) | 96 |
| Gambar 6.5  | Contoh Sket Penulangan Transversal untuk Kolom                         | 97 |
| Gambar 6.6  | Analisa Geser pada Beam Colomn Joint Interior lantai 3                 | 98 |

|            |   |     |
|------------|---|-----|
| Gambar 6.7 | Sketsa Penulangan Boundary Elementet                                      | 101 |
| Gambar 6.8 | Tipe Penulangan Kolom   | 104 |
| Gambar 7.1 | Hubungan Load-Deformation untuk Elemen Struktur yang Telah Digeneralisasi | 105 |
| Gambar 7.2 | <i>Acceptance Criteria</i>  | 111 |
| Gambar 7.3 | Grafik Rasio Beban Pushover Terhadap Lantai Gedung                        | 113 |
| Gambar 7.4 | Grafik Load Deformation M3  | 114 |
| Gambar 7.5 | Grafik Load Deformation PMM   | 114 |
| Gambar 7.6 | Kurva Kapasitas ( Trial Awal )  | 116 |
| Gambar 7.7 | Kurva Momen-Rotasi Eksperimental dengan Confinement berbeda               | 120 |
| Gambar 7.8 | Kurva Kapasitas (trial Akhir)   | 122 |

## Daftar Tabel

|            |   |     |
|------------|---|-----|
| Tabel 3.1  | Tipe-Tipe Perilaku Struktural   | 35  |
| Tabel 3.2  | Effective Damping, $\beta_{eff}$ , dalam % - Structural Behaviour A   | 39  |
| Tabel 3.3  | Effective Damping, $\beta_{eff}$ , dalam % - Structural Behaviour B   | 39  |
| Tabel 3.4  | Effective Damping, $\beta_{eff}$ , dalam % - Structural Behaviour C   | 40  |
| Tabel 6.1  | Distribusi Gaya Gempa Dasar arah Melintang  | 76  |
| Tabel 6.2  | Distribusi Gaya Gempa Dasar arah Memanjang  | 77  |
| Tabel 6.3  | Diatribusi Gaya Gempa Dasar   | 78  |
| Tabel 6.4  | Distribusi gaya Gempa Dasar Hasil Kontrol Rayleigh  | 78  |
| Tabel 6.5  | Simpangan Lateral Akibat Gempa dan Batasannya   | 80  |
| Tabel 6.6  | Perhitungan Profil Perpindahan Rencana Frame  | 81  |
| Tabel 6.7  | Perhitungan Target Perpindahan Rencana Frame  | 82  |
| Tabel 6.8  | Perhitungan Profil Perpindahan Rencana Dinding  | 83  |
| Tabel 6.9  | Perhitungan Target Perpindahan Rencana Dinding  | 83  |
| Tabel 6.10 | Harga Momen Inersia Penampang Retak   | 85  |
| Tabel 6.11 | Momen Tumpuan Balok Lantai 3  | 86  |
| Tabel 6.12 | Momen Tumpuan Balok Lantai 3 Hasil Redistribusi   | 86  |
| Tabel 6.13 | Penulangan Lentur Balok   | 103 |
| Tabel 6.14 | Penulangan Geser Balok  | 103 |
| Tabel 6.15 | Penulangan Kolom  | 104 |
| Tabel 7.1  | Modelling Parameter and Numerical Acceptance Criteria for Non-Linear Procedures – Reinforced Concrete Beams     | 108 |
| Tabel 7.2  | Modelling Parameter and Numerical Acceptance Criteria for Non-Linear Procedures – Reinforced Concrete Columns   | 109 |
| Tabel 7.3  | Modelling Parameter and Numerical Acceptance Criteria for Non-Linear Procedures – Members controlled by Flexure | 110 |
| Tabel 7.4  | Perhitungan Beban Pushover  | 113 |
| Tabel 7.5  | Jenis-jenis Sendi Plastis untuk masing-masing elemen Struktur   | 113 |
| Tabel 7.6  | Nilai Parameter Sendi Plastis M3  | 114 |
| Tabel 7.7  | Nilai Parameter Sendi Plastis PMM   | 114 |



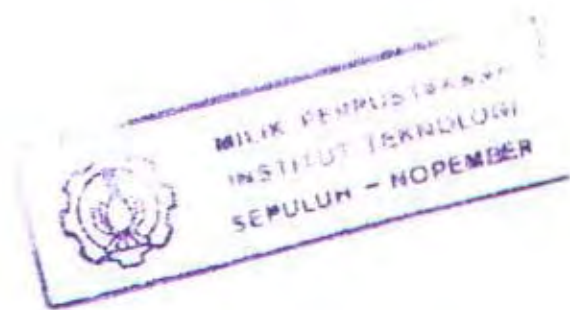
|   |     |
|---|-----|
| Tabel 7.8 Tabel Capacity Curve Hasil Analisa Pushover (Trial Awal)  | 117 |
| Tabel 7.9 Tabel Capacity Curve hasil Analisa Pushover (Trial Akhir) | 122 |
| Tabel 7.10 Rekap hasil Penulangan Lentur Balok (trial Akhir)        | 123 |
| Tabel 7.11 Rekap hasil Penulangan Geser Balok (trial Akhir)         | 124 |
| Tabel 7.12 Rekap hasil Penulangan Kolom (trial Akhir)               | 124 |

## Daftar Notasi

|                      |   |  |
|----------------------|---|--|
| $\alpha_1$           | = | Koefisien Modal Massa untuk Natural Mode-1                 |
| $\beta_{\text{eff}}$ | = | Redaman efektif struktur                                   |
| $\Delta$             | = | Perpindahan  |
| $\Delta_d$           | = | Target Perpindahan Rencana                                 |
| $\Delta_i$           | = | Profil Perpindahan Rencana                                 |
| $\Delta_M$           | = | Simpangan maksimum Respon Inelastis akibat V (UBC 1997)    |
| $\Delta_S$           | = | Simpangan hasil Analisa Statik-Elastis akibat V (UBC 1997) |
| $\Delta_v$           | = | Perpindahan pada saat Leleh pertama                        |
| $\Delta_u$           | = | Perpindahan Ultimate                                       |
| $\epsilon_y$         | = | Regangan leleh   |
| $\phi_b$             | = | Daktilitas Kurvatur  |
| $\gamma$             | = | Berat Jenis  |
| $\kappa$             | = | Faktor Modifikasi untuk menilai paralellogram              |
| $\mu_s$              | = | Daktilitas Struktur Rencana                                |
| $\pi$                | = | 3.14159...   |
| $\theta$             | = | Rotasi Elemen Struktur                                     |
| $\theta_c$           | = | Rotasi Elemen Struktur sesuai batasan Peraturan            |
| $\theta_d$           | = | Rotasi Elemen Struktur Desain                              |
| $\theta_p$           | = | Rotasi pada saat kondisi Plastis                           |
| $\theta_v$           | = | Rotasi pada saat Leleh pertama                             |
| $\rho$               | = | Rasio Tulangan Tarik                                       |
| $\rho'$              | = | Rasio Tulangan Tekan                                       |
| $A_j$                | = | Luas total Joint   |
| $A_s$                | = | Luas Tulangan Tarik  |
| $A_s'$               | = | Luas Tulangan Tekan  |
| $A_{sh}$             | = | Luas Tulangan Geser  |
| $b_e$                | = | Lebar Efektif Balok  |

|           |   |   |
|-----------|---|---|
| $b_w$     | = | Lebar Balok   |
| $C_a$     | = | Koefisien Gempa   |
| $C_t$     | = | Koefisien Gempa   |
| $C_v$     | = | Koefisien Gempa   |
| $d$       | = | Tinggi bersih balok diambil pada serat tekan atas hingga tulangan tarik |
| $E_s$     | = | Modulus Elastisitas Baja  |
| $f_c'$    | = | Tegangan Leleh Baja Tulangan  |
| $f_v$     | = | Tegangan Hancur Beton   |
| $F_{i,x}$ | = | Gaya Gempa Terdistribusi pada lantai ke-i,x                             |
| $g$       | = | Percepatan Gravitasi Bumi ( $= 9.81 \text{ m/s}^2$ )                    |
| $h_i$     | = | Tinggi lantai ke-i  |
| $h_n$     | = | Tinggi Total Gedung   |
| $I_g$     | = | Momen Inersia Penmapang Utuh  |
| $I_b$     | = | Momen Inersia Balok   |
| $I_c$     | = | Momen Inersia Kolom   |
| $I_{cr}$  | = | Momen Inersia Penampang Retak   |
| $L_n$     | = | Panjang Bentang Bersih  |
| $M_n$     | = | Momen Nominal   |
| $M_{pr}$  | = | Probable Moment Strength akibat tulangan terpasang                      |
| $M_u$     | = | Momen Ultimate  |
| $M_y$     | = | Momen Leleh   |
| $PF_1$    | = | Participation Factor untuk Natural Mode-1                               |
| $P_u$     | = | Gaya Aksial Ultimate yang bekerja pada elemen Struktur                  |
| $q_{ek}$  | = | Beban Merata Ekuivalen  |
| $s$       | = | Jarak spasi tulangan sengkang   |
| $S_a$     | = | Spectral Acceleration   |
| $S_d$     | = | Spectral Displacement   |
| $t$       | = | Tebal Pelat Lantai  |
| $T$       | = | Periode Struktur  |
| $W$       | = | Seismic Dead Load   |
| $V$       | = | Gaya Geser pada elemen struktur   |
| $V_c$     | = | Kuat Geser Beton  |

- V. = Kuat Geser dari Tulangan  
V<sub>B</sub> = Gaya geser dasar Gempa  
Z = Seismic Zone Factor



## BAB I

### PENDAHULUAN

#### 1.1. LATAR BELAKANG

Sekarang ini telah terjadi pergeseran konsep dalam perencanaan struktur tahan gempa. Konsep lama yang berbasis pada kekuatan (*forced based design*) berangsur – angsur mulai ditinggalkan. Konsep baru yang mulai dikembangkan adalah konsep yang berbasis pada kinerja struktur itu sendiri atau yang disebut *performance based design*. Hal ini terjadi karena para ahli struktur menyadari bahwa keamanan dan keselamatan gedung tidak hanya tergantung pada kekuatan struktur yang ada saja, tetapi juga tergantung pada tingkat deformasi dan energi terukur pada saat struktur bekerja.

Ditinggalkannya konsep *forced based design* juga karena adanya kelemahan pada konsep tersebut. Pada konsep yang berpatokan pada kekuatan struktur ini menganggap bahwa struktur akan bersifat elastis pada saat menerima beban. Padahal pada kenyataannya, struktur akan bersifat inelastis pada saat menerima beban gempa. Selain itu juga konsep ini tidak bisa menentukan secara pasti kekuatan batas struktur sesungguhnya.

Maka dikembangkanlah konsep baru yang disebut *performance based design* yang berpatokan pada kinerja struktur yang ada. Dimana pada konsep ini kinerja didapatkan dari kerusakan yang terjadi pada sat struktur menerima beban gaya. Dengan melihat kerusakan yang terjadi maka kita bisa mendapatkan batas maksimal gaya yang bisa diterima oleh struktur, dan juga bisa mendapatkan batas deformasi yang bisa diterima.

Oleh karena itu penulis mencoba untuk menerapkan konsep tersebut dalam perencanaan struktur gedung yang memiliki 10 lantai dan bertipe *shearwall frame*. Dimana pada penggerjaannya dititik beratkan pada penggunaan metode *pushover analysis* sebagai metode yang digunakan. Dan diharapkan Tugas Akhir ini menghasilkan suatu perencanaan yang menggunakan konsep *performane based design* yang hasil perhitungannya sesuai dengan persyaratan keamanan berdasarkan SNI 03 – 1726 – 2002, dan pada akhirnya nanti Tugas Akhir ini bisa

digunakan sebagai bahan acuan pada perencanaan gedung beton bertulang selanjutnya.

## 1.2. PERMASALAHAN

Permasalahan yang akan dibahas pada penulisan Tugas Akhir ini adalah suatu perencanaan struktur gedung yang memiliki 10 lantai yang berfungsi sebagai gedung perkantoran. Sistem struktur yang digunakan adalah *Shearwall Frame* yang dalam pengjerjannya digunakan konsep *performance based design* dengan metode *pushover analysis* sebagai titik beratnya. Sedangkan untuk peraturan yang digunakan adalah SK SNI 03 – xxxx – 2001 dan PBI 1971 untuk perencanaan struktur dan pendetailannya, sedangkan untuk tata cara perencanaan ketahanan tahan gempa pada perhitungan ini menggunakan SNI 03 – 1726 – 2002.

Perencanaan dengan menggunakan *Shearwall* ini dimaksudkan agar gaya geser yang terjadi pada gedung tersebut dapat diterima oleh struktur rangka balok-kolom maksimal sebesar 25% dan sisanya diterima oleh sistem dinding geser. Kemudian harus dapat dipastikan apakah kombinasi dari rangka balok kolom dengan dinding geser membentuk satu kesatuan sistem yang bekerja sama untuk menahan gaya geser yang terjadi.

## 1.3 TUJUAN

Tujuan yang ingin dicapai dalam tugas akhir ini adalah :

1. Merencanakan suatu struktur gedung 10 lantai dengan menggunakan *performance based design* dengan *pushover analysis*-nya sebagai metode yang digunakan
2. Memperkenalkan aplikasi perencanaan struktur tahan gempa dengan konsep *performance based design* dan menggunakan peraturan gempa SNI 03 – 1726 – 2002.

## 1.4. BATASAN PERMASALAHAN

Batasan-batasan masalah yang diperlukan dalam tugas akhir ini adalah :

1. Perencanaan gedung ini terbatas pada perencanaan strukturnya saja, tidak termasuk arsitekturnya ( denah, tampak, dan potongan )

2. Tidak membahas faktor ekonomis gedung
3. Asumsi gaya lateral yang dominan adalah gaya gempa
4. Pemodelan struktur dengan *shearwall* sistem  
Disini yang disebut dengan *shearwall* sistem adalah sistem gedung dimana beban gempa yang terjadi diterima oleh *shearwall* sebesar 75% dan 25% sisanya diterima oleh kolom.
5. Tangga dan dinding dalam perencanaan dibuat nonrigid
6. Pembagian ruang menggunakan dinding partisi  
Ini dimaksudkan agar mempermudah apabila terjadi perubahan susunan ruang apabila terjadi pergantian pemilik kantor.
7. Program bantu yang digunakan adalah SAP 2000 dan PCA COL
8. Peraturan gempa yang digunakan adalah SNI 03 – 1726 – 2002
9. Peraturan yang dipakai pada saat pendetailan adalah SK SNI 03 – xxxx – 2001 dan PBI 1971
10. Tidak merencanakan bangunan bawah struktur
11. Pondasi dan daya dukung maupun kestabilan tanah tidak termasuk dalam Tugas Akhir ini
12. Pada saat menjalankan *pushover analysis*, deformasi tanah diabaikan.  
Hubungan pondasi dan tanah dianggap rigid

## 1.5.SISTEMATIKA PENULISAN

Dalam penulisan tugas akhir ini penulis menggunakan sistematika penulisan sebagai berikut :

### BAB I

Pada bab ini penulis menjelaskan segala sesuatu yang menjadi dasar dalam penulisan tugas akhir ini, seperti latar belakang penulis menulis tugas akhir dengan judul ini, permasalahan yang dibahas dalam tugas akhir ini, tujuan yang ingin dicapai , batasan masalah yang digunakan untuk mempersempit tinjauan yang dilakukan, sehingga penulisan dapat lebih sederhana.

### BAB II

Bab ini membahas dasar – dasar dari perencanaan gedung ini

### **BAB III**

Dalam bab ini dibahas metodologi yang dilakukan penulis dalam menyelesaikan tugas akhir ini.

### **BAB IV**

Bab ini membahas tentang berbagai pengertian dasar dari *performance based design*, dan keunggulannya.

### **BAB V**

Bab ini membahas tentang *preliminary design* dan perencanaan tulangan struktur sekunder.

### **BAB VI**

Bab ini membahas tentang pembebanan yang terjadi. Selanjutnya dilanjutkan dengan perencanaan tulangan struktur utama dengan menggunakan hasil dari program SAP 2000 yang *output*-nya merupakan gaya dalam struktur akibat beban yang ada. Selanjutnya dilanjutkan dengan kontrol *drift* dan penentuan target perpindahan rencana

### **BAB VII**

Bab ini membahas tentang cara mendapatkan hasil dari *pushover analysis* dengan menggunakan program bantu SAP 2000. yang selanjutnya dibandingkan dengan besarnya target perpindahan rencana

### **BAB VIII**

Bab ini membahas kesimpulan dari penulis setelah melakukan penulisan tugas akhir ini dan saran apa yang diberikan penulis.

## BAB II

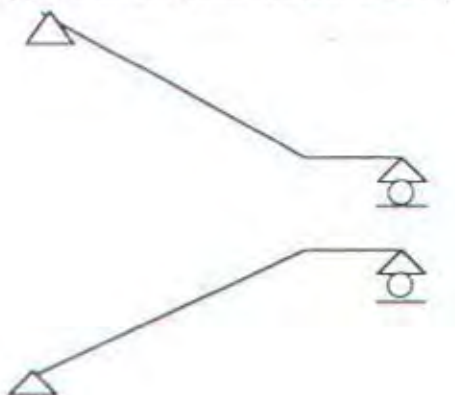
### DASAR PERENCANAAN

#### 2.1. UMUM

Data-data gedung yang digunakan :

- Material :  $f_y = 400 \text{ Mpa}$   
 $f'_c = 30 \text{ Mpa}$
- Fungsi gedung : Perkantoran
- Sistem gedung : *shearwall frame*
- Data gempa :  
Zona gempa = 6 ( SNI 03 – 1726 – 2002 )
- Aturan khusus untuk tangga

Tangga dalam perencanaan ini diasumsikan bersifat non rigid dengan perletakan sendi - rol. Sehingga, dalam perencanaan gedung ini, tangga tidak dianggap sebagai struktur utama tetapi sebagai beban untuk menghitung gaya dalam pada struktur utama yang ada.



- Aturan khusus untuk dinding

Dinding dalam perencanaan ini diasumsikan bersifat nonrigid dengan memberikan dilatasi antara dinding dengan struktur utama. Hal ini dilakukan agar pada saat terjadi defleksi pada struktur utama, dinding tidak turut mengalami defleksi, sehingga tidak mengganggu pergerakan struktur yang ada. Hal ini berarti kekuatan dinding untuk menahan defleksi tidak

diperhitungkan dan dinding pada perencanaan difungsikan hanya sebagai beban untuk menghitung gaya dalam struktur utama.

- Letak gedung jauh dari pantai
- Dimensi gedung ( dilihat pada lampiran )

## 2.2. PERATURAN YANG DIGUNAKAN

Perencanaan dalam tugas akhir ini menggunakan peraturan yang berlaku yaitu :

- SK SNI 03 – xxxx – 2001
- SNI 03 – 1726 – 2002
- Peraturan Pembebanan Indonesia Untuk Gedung 1983
- Peraturan Beton Bertulang Indonesia ( PBI ) 1971

Selain peraturan diatas, dalam tugas akhir ini juga digunakan program bantu berupa software, yaitu :

- PCACOL.
- SAP 2000

## 2.3. PEMODELAN STRUKTUR

Adapun pemodelan struktur yang digunakan dalam gedung ini adalah :

### a. Struktur atas utama

Gedung yang akan direncanakan ini adalah suatu struktur gedung yang menggunakan tipe *shearwall frame*. Dimana dalam perhitungannya struktur utama yang akan dianalisa adalah meliputi kolom, balok induk melintang, balok induk memanjang, dan *shearwall*.

### b. Struktur Sekunder

Struktur sekunder adalah struktur pendukung yang hanya menyalurkan beban gempa yang ada. Adapun dalam gedung ini struktur sekunder yang akan dianalisa adalah balok anak, tangga, dan pelat. Dimana dalam perhitungannya harus dipisahkan dengan struktur utama.

### c. Struktur Bawah

Adapun struktur bawah merupakan struktur yang menghubungkan antara gedung dengan tanah. Dimana dalam perhitungannya harus bisa mengakomodasi seluruh beban yang ada dan disalurkan ke tanah. Struktur

bawah yang dimakudkan disini adalah pondasi. Pondasi yang digunakan adalah sistem pondasi tiang pancang. Dimana dalam sistem ini meliputi tiang pancang, sloof, por, dan plat menerus. Tetapi dalam tugas akhir ini struktur bawah tidak dihitung.

Untuk lebih jelasnya bisa dilihat pada denah, potongan, dan pembalokan yang semuanya bisa dilihat pada lampiran.

#### 2.4. PEMBEBANAN

Adapun dalam perhitungan beban yang ada mengacu pada SKSNI 03 – xxxx – 2001. Dimana didalamnya disebutkan bahwa struktur gedung akan menerima beban yang terdiri dari beban mati, beban hidup, beban angin, dan beban gempa.

#### 2.5. ANALISA STRUKTUR

Pada saat analisa struktur kita akan menghitung kebutuhan tulangan yang ada. Untuk itu diperlukan data gaya dalam yang terjadi pada struktur yang ada. Untuk mempermudah perhitungan maka digunakan program bantu SAP 2000 untuk membantu mendapatkan gaya dalam tersebut. Dimana hasil akhir dari analisa struktur adalah didapatkannya pendetailan tulangan yang dibutuhkan oleh struktur yang ada.



## BAB III

### METODOLOGI

#### 3.1. PRELIMINARY DESIGN

Preliminary Design merupakan langkah awal dari suatu perencanaan suatu gedung. Dalam langkah ini kita menentukan dimensi struktur gedung yang akan kita gunakan dalam perencanaan nantinya.

##### 3.1.1. Perencanaan Balok

Didalam SK SNI 03 – xxxx – 2001 pada tabel 9.5( a ) disebutkan bahwa balok yang terdapat pada dua tumpuan sederhana memiliki tebal minimum:

$$h_{\min} = \frac{1}{16} L$$

dengan :

$h_{\min}$  = tebal minimum balok ( mm )

L = panjang bentang ( mm )

##### 3.1.2. Perencanaan Kolom

Pada gedung ini direncanakan menggunakan dimensi kolom yang tipikal, ini dimaksudkan untuk memudahkan dalam pembuatan atau pemasangan bekisting. Adapun rumus yang digunakan untuk merencanakan dimensi kolom adalah :

$$\overline{f'_c} = \frac{N_{uk}}{A}$$

$$\overline{f'_c} = \frac{1}{3} f'_c'$$

dengan :

$N_{uk}$  = beban aksial yang diterima oleh kolom ( N )

$\overline{f'_c}$  = tegangan ijin ( Mpa )

$f'_c$  = kuat tekan beton ( Mpa )

A = luas dimensi kolom (  $mm^2$  )

### 3.1.3. Perencanaan Pelat

Dalam perencanaan dimensi pelat digunakan peraturan SK SNI – 03 – xxxx – 2002 ps. 9.5.3.3, yang disebutkan bahwa :

- Untuk  $\alpha_m$  lebih besar dari 0,2 dan tidak boleh lebih dari 2 maka tebal pelat minimum :

$$h = \frac{l_n \left( 0,8 + \frac{f_v}{1500} \right)}{36 + 5\beta(\alpha_m - 0,2)}$$

dan tidak boleh kurang dari 120 mm

- Untuk  $\alpha_m$  lebih besar dari 2 maka tebal pelat minimum :

$$h = \frac{l_n \left( 0,8 + \frac{f_v}{1500} \right)}{36 + 9\beta}$$

dan tidak boleh kurang dari 90 mm

### 3.1.4. Perencanaan Balok Anak

Dikarenakan tidak ada ketentuan khusus yang membahas tentang perencanaan balok anak, maka untuk dimensi balok anak menggunakan rumus yang berlaku pada perencanaan balok induk.

## 3.2. PERENCANAAN STRUKTUR SEKUNDER

Perencanaan struktur sekunder ini dipisahkan dengan struktur utama dikarenakan struktur sekunder hanya meneruskan beban yang ada kepada struktur utama.

### 3.2.1. Perencanaan Tulangan Pelat

Setelah dimensi daripada pelat lantai maupun pelat atap telah diketahui, maka perhitungan berlanjut pada perhitungan tulangan pelat tersebut. Dalam perencanaan tulangan ini dibedakan antara penulangan pelat lantai dan pelat atap.

Untuk mengetahui kebutuhan tulangan pelat yang akan digunakan maka kita terlebih dahulu menghitung beban yang akan diterima oleh pelat tersebut. Dimana beban tersebut adalah

a. Pelat Atap

Beban mati :

- Berat sendiri
- Plafond + penggantung
- Finishing
- Aspal ( 1 cm )
- Pasir ( 1 cm )
- AC + perpipaan

Beban hidup

- Beban hidup atap

b. Pelat Lantai

Beban mati :

- Berat sendiri
- Plafond + penggantung
- Spesi ( 1 cm )
- Tegel ( keramik )
- AC + perpipaan
- Dinding partisi

Beban hidup ( lantai perkatoran )

$$q_u = 1,2 \text{ DL} + 1,6 \text{ LL}$$

Adapun dari beban-beban tersebut kita hitung gaya dalam dari pelat tersebut. Adapun peraturan yang digunakan adalah yang terdapat dalam PBI 1971 untuk menghitung gaya dalam yang ada.

Untuk perhitungan tulangan yang digunakan menahan beban yang ada maka kita harus menentukan terlebih dahulu rasio dari tulangan tersebut, adapun dalam SK SNI 03 – xxxx – 2002 disebutkan :

$$f'c = 30 \text{ Mpa} \rightarrow \beta = 0,85 \quad (\text{SK SNI 03 - xxxx - 2001 Ps. 10.2.7.3.})$$

$$\rho_b = \frac{0,85 \times \beta \times f'c}{f_y} \left( \frac{600}{600 + f_y} \right) \quad (\text{SK SNI 03 - xxxx - 2001 Ps. 8.4.3.})$$

$$\rho_{max} = 0,75 \times \rho_b \quad (\text{SK SNI 03 - xxxx - 2001 Ps. 10.3.3.})$$

$$\rho_{min} = \frac{1,4}{f_y} \quad (SK SNI 03 - xxxx - 2001 Ps. 10.5)$$

Setelah batasan-batasan telah ditentukan maka kita melanjutkan pada perhitungan tulangan pelat itu sendiri. Adapun rumus yang digunakan adalah :

$$R_n = \frac{Mu}{\phi \cdot b \cdot dx^2}$$

$$As = \rho \cdot b \cdot d$$

$$\rho = \frac{1}{m} \left[ 1 - \sqrt{1 - \frac{2 \cdot m \cdot R_n}{f_y}} \right]$$

$$m = \frac{f_y}{0,85 f_c}$$

### 3.2.2. Perencanaan Tulangan Tangga

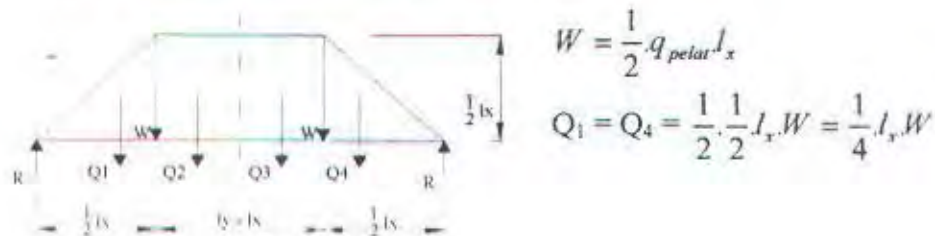
Pada perencanaan tulangan tangga langkah-langkah yang digunakan hampir sama dengan perencanaan struktur sekunder yang ada. Adapun komponen dari tangga tersebut adalah pelat tangga, pelat bordes, balok bordes, dan kolom bordes dimana rumus-rumus yang digunakan adalah sama dengan yang digunakan dalam perencanaan struktur sekunder yang lain. Adapun model dari struktur tangga yang ada adalah :



Gambar 3.1. Pemodelan Struktur Tangga

### 3.2.3. Perencanaan Tulangan Balok Anak

- Pada gedung ini balok anak yang ada dibagi 3 jenis, yaitu balok anak lantai, balok anak atap, dan balok lift. Adapun beban yang diterima oleh balok anak merupakan beban *tributary area*. Dimana yang diterima oleh balok anak adalah beban trapesium.



$$Q_3 = Q_4 = W \left( \frac{l_y - l_x}{2} \right)$$

$$R = \frac{Q_1 + Q_2 + Q_3 + Q_4}{2} = \frac{1}{4} W (2l_y - l_x)$$

Mmax tengah bentang:

$$M_{\text{max}} = \frac{1}{4} W (2l_y - l_x) \frac{1}{2} l_y - \frac{1}{4} l_x W \left( \frac{1}{3} \cdot \frac{1}{2} l_x + \frac{1}{2} (l_y - l_x) \right) - W \left( \frac{l_y - l_x}{2} \right) \frac{1}{4} (l_y - l_x)$$

$$M_{\text{max terbagi rata}} = \frac{1}{8} q_{eq} l_x^2$$

Dari kedua persamaan diatas, didapatkan :

$$q_{eq} = \frac{1}{2} q_{pelat} l_x \left( 1 - \frac{1}{3} \left( \frac{l_x}{l_y} \right)^2 \right)$$

dari  $q_{ek}$  yang terjadi maka kita menggunakan untuk menghitung momen dan gaya geser yang terjadi. Dimana momen digunakan untuk menghitung tulangan lentur dan gaya geser digunakan untuk menghitung tulangan geser.

- Perhitungan tulangan lentur

Untuk menghitung momen yang terjadi menggunakan SK SNI 03 – xxxx - 2001 ps. 8.3.3. dari momen tersebut kita menghitung tulangan yang ada, dimana tulangan lentur dibagi menjadi 2 yaitu tulangan tumpuan dan tulangan lapangan.

- Tulangan tumpuan

Rumus yang digunakan dalam perhitungan tulangan tumpuan adalah :

$$A_{s \min} = \frac{\sqrt{f'c}}{4f_y} bw.d \quad A_{s \min} = \frac{1.4}{f_y} bw.d$$

$$\rho = \rho \delta + \rho'$$

$$As = \rho.b.d$$

$$As' = \rho'b.d$$

( SK SNI 03 – xxxx – 2001 Ps. 10.5.1 )

- Tulangan lapangan

Dalam penulangan lapangan kita terlebih dahulu mengetahui perilaku balok anak tersebut.

- Perhitungan tulangan geser

Gaya geser yang terjadi dapat dihitung dengan menggunakan aturan yang terdapat pada SK SNI 03 – xxxx – 2001 ps. 8.3.3. dimana disebutkan :

- Pada sisi tumpuan dalam pertama :  $V_u = \frac{1,15}{2} \times q_u \times l$

- Pada sisi semua tumpuan lainnya :  $V_u = \frac{1}{2} \times q_u \times l$

Lalu perhitungan dilanjutkan dengan perhitungan tulangan geser dengan menggunakan rumus :

$$V_{uk} = \frac{V_u(0,5/lx - d)}{0,5/lx}$$

$$V_c = \frac{1}{6} \sqrt{f'_c} b w d$$

Lalu dengan menggunakan SK SNI 03 – xxxx – 2001 ps. 21.4.4.1 maka kita bisa mengetahui batasan dari spasi tulangan geser.

### 3.3. PEMBEBANAN

Beban yang diterima oleh struktur gedung dibagi menjadi 2 macam adalah beban arah vertikal atau yang disebut beban gravitasi dan beban arah horizontal yang disebut dengan beban lateral

#### 3.3.1. Beban Arah Vertikal

Dalam perhitungan beban arah vertikal ada 2 beban yang harus diperhitungkan yaitu beban mati dan beban hidup.

##### 3.3.1.1. Beban Mati

Adalah berat semua bagian dari suatu gedung yang bersifat tetap, termasuk segala beban tambahan, penyelesaian mesin-mesin serta peralatan tetap yang merupakan bagian yang tak dapat terpisahkan dari gedung tersebut ( SK SNI 03-xxxx-2001 ). Adapun beban-beban tersebut adalah :

- Pelat
- Balok melintang
- Balok anak
- Balok memanjang
- Balok lift
- *Shearwall*
- Kolom
- Tangga
- Bordes
- Balok bordes
- Kolom tangga

### **3.3.1.2. Beban Hidup**

Adalah semua beban yang terjadi akibat pemakaian dan penghunian suatu gedung, termasuk beban-beban pada lantai yang berasal dari barang-barang yang dapat berpindah dan atau beban akibat air hujan pada atap ( SK SNI 03-xxxx-2001 ).

Dalam PPIUG 1983 disebutkan bahwa faktor reduksi beban hidup untuk peninjauan gempa untuk gedung adalah 0,3

### **3.3.2. Beban Arah Horisontal ( Lateral )**

Beban arah lateral ini terdapat 2 bentuk yaitu beban angin dan beban gempa

#### **3.3.2.1.Beban Angin**

Adapun untuk beban angin digunakan peraturan PPIUG 1983, yang disebutkan bahwa untuk gedung yang terletak jauh dari pantai adalah sebesar  $25 \text{ kg/m}^2$

#### **3.3.2.2. Gaya Gempa Dasar**

Menurut SNI 03 – 1726 – 2002, gaya geser nominal dasar dapat dihitung dengan rumus :

$$V = \frac{C_I}{R} W_r \quad (SNI 03 - 1726 - 2002, ps 6.1.2)$$

dimana :

$C_i$  adalah nilai Faktor Respons Gempa yang didapat dari *spectrum respons gempa rencana*

$J$  adalah Faktor Keutamaan

$R$  adalah Faktor Reduksi Gempa

$W_i$  adalah berat total gedung termasuk beban hidup yang sesuai

Beban geser dasar nominal diatas harus dibagikan sepanjang tinggi struktur gedung menjadi beban - beban gempa statik ekuivalen  $F_i$  yang menangkap pada pusat massa lantai tingkat ke- $i$  menurut persamaan :

$$F_i = \frac{W_i z_i}{\sum_{i=1}^n W_i z_i} V \quad (\text{SNI } 03-1726-2002, \text{ ps 6.1.3})$$

dimana :

$W_i$  adalah berat lantai tingkat ke- $i$ , termasuk beban hidup yang sesuai

$z_i$  adalah ketinggian tingkat ke- $i$  diukur dari taraf penjepitan lateral

$n$  adalah nomor lantai tingkat paling atas

Dalam perencanaan struktur gedung, arah utama pengaruh Gempa Rencana harus ditentukan sedemikian rupa, sehingga memberi pengaruh terbesar terhadap unsur - unsur subsistem dan sistem struktur gedung secara keseluruhan. Pengaruh pembebahan gempa dalam arah utama tersebut harus dianggap efektif 100 % dan harus dianggap terjadi bersamaan dengan pengaruh pembebahan gempa dalam arah tegak lurus pada arah utama pembebahan tadi, tetapi dengan efektifitas hanya 30 %. ( SNI 03 - 1726 - 2002 , ps 5.8 )

Selanjutnya dengan menggunakan rumus Rayleigh waktu getar alami yang dipakai awal harus dikontrol dengan waktu getar alami fundamental, dimana rumus yang digunakan :

$$T_1 = 6,3 \sqrt{\frac{\sum_{i=1}^n W_i d_i^2}{g \sum_{i=1}^n F_i d_i}} \quad (\text{SK SNI } 03-1726-2002, \text{ Ps. 6.2.})$$



### 3.3.3. Kombinasi Pembebaan

Menurut SK SNI 03-xxxx-2001 kombinasi beban yang digunakan adalah :

$$U = 1,4 D$$

$$U = 1,2 D + 1,6 L + 0,5 (A \text{ atau } R)$$

$$U = 1,2 D + 0,5 L + 1,3 W + 0,5 (A \text{ atau } R)$$

$$U = 0,9 D + 1,3 W$$

$$U = 1,2 D + 0,5 L \pm 1,1 E$$

$$U = 0,9 D \pm 1,1 E$$

Dimana :

D adalah beban mati

L adalah beban hidup

A adalah beban atap

R adalah beban air hujan

W adalah beban angin

E adalah beban gempa

### 3.4. Perpindahan (*Displacement*)

Pada bab ini kita akan menghitung perpindahan yang terjadi dan perpindahan rencana yang nantinya akan digunakan sebagai batasan perpindahan (*displacement*) pada saat mengontrol hasil *pushover*

#### 3.4.1. Kontrol *Displacement*

Hasil perhitungan akibat gaya gempa yang berupa *displacement* yang telah dihitung harus dikontrol dulu terhadap nilai simpangan yang dipersyaratkan dalam Kinerja Batas Ultimitnya. Kinerja batas ultimit struktur gedung ditentukan oleh simpangan dan simpangan antar-tingkat maksimum struktur gedung akibat pengaruh Gempa Rencana dalam kondisi struktur gedung di ambang keruntuhan, yaitu untuk membatasi kemungkinan terjadinya keruntuhan struktur gedung yang dapat menimbulkan korban jiwa manusia dan untuk mencegah benturan berbahaya antar gedung atau antar bagian struktur gedung yang dipisah dengan sela pemisah ( sela dilatas ). Simpangan dan simpangan antar-tingkat ini harus dihitung dari simpangan

struktur gedung akibat pembebanan gempa nominal, dikalikan dengan suatu faktor pengali  $\xi$ , dimana untuk struktur gedung beraturan :

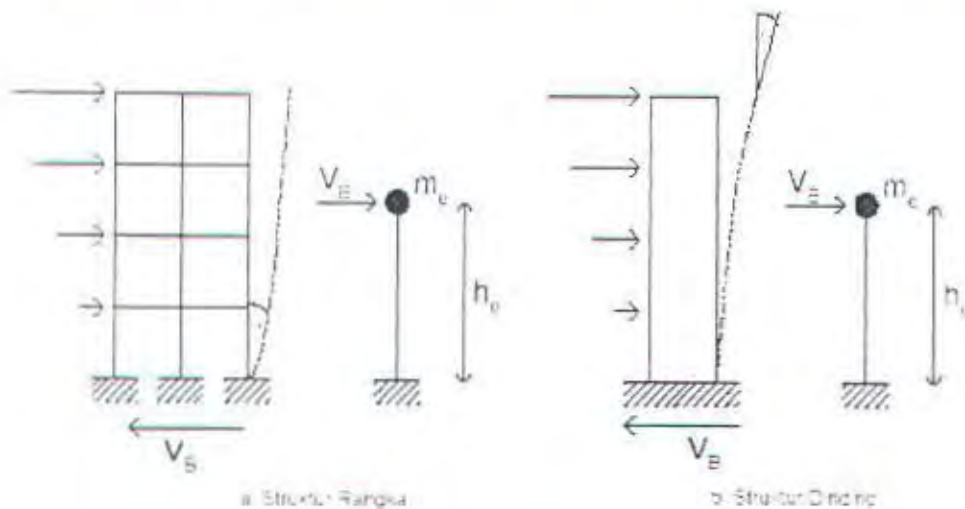
$$\xi_s = 0.7 R$$

Dimana R adalah faktor reduksi gempa struktur gedung tersebut.

Dan simpangan yang terjadi tiap tingkat tidak boleh melebihi 0,002 kali tinggi tingkat yang ditinjau.

### 3.4.2. Penentuan Target Perpindahan Rencana

Perpindahan rencana yang akan dihitung akan digunakan untuk menentukan apakah perpindahan (*displacement*) yang terjadi dari hasil *pushover* sudah sesuai dengan yang diharapkan. Adapun urutan pengerjaan dalam menentukan target perpindahan rencana adalah :



Gambar 3.2. Pemodelan MDOF ke SDOF

- Perhitungan Profil Perpindahan Rencana ( $\Delta_i$ )

Profil Perpindahan Rencana (*design displacement profile*) untuk *frame* menurut Priestly dihitung berdasarkan persamaan :

$$\Delta_i = \theta_d h_i \quad \text{untuk } n \leq 4$$

$$\Delta_i = \theta_d h_i \left(1 - \frac{0.5(n-4)h_i}{16h_n}\right) \quad \text{untuk } 4 \leq n \leq 20$$

$$\Delta_i = \theta_d h_i \left(1 - 0.5 \frac{h_i}{h_n}\right) \quad \text{untuk } n \geq 20$$

dimana  $\Delta_i$  = simpangan tingkat ke - i

n = jumlah tingkat

$h_i$  = adalah tinggi lantai ke - i.

Batasan Peraturan (untuk rotasi drift ultimate) :

$$\theta_c = 0.025$$

$$\theta_d = \theta_y + \theta_p \leq \theta_c$$

Dimana :  $\theta_d$  = rotasi dasar bangunan

$\theta_y$  = rotasi pada saat leleh pertama

$\theta_p$  = rotasi pada saat plastis

$\theta_c$  = pembatasan rotasi oleh peraturan

Seperti yang telah diketahui bahwa lokasi rotasi pada struktur rangka (*frame*) adalah pada bagian bawah gedung.

Rotasi pada saat leleh pertama didapatkan dengan :

$$\theta_y = \frac{0.5 \varepsilon_y I_b}{h_b}$$

Dimana :  $I_b$  = panjang balok

$h_b$  = tinggi balok

Sedangkan untuk rotasi pada saat plastis adalah :

$$\theta_p = (\phi_m - \phi_y) I_p \left[ \frac{l_c}{l_d} \right]$$

Dimana :  $I_p$  = panjang sendi plastis

$l_c$  = panjang bersih balok

$l_d$  = panjang balok dari *center* kolom

Sedangkan pada struktus dinding lokasi rotasi desain adalah pada bagian atap bangunan, rumus – rumus yang digunakan adalah

Rotasi pada saat leleh pertama :

$$\theta_y = \frac{1,0 \varepsilon_y h_n}{l_w}$$

Dimana :  $h_n$  = tinggi atap

$l_w$  = panjang dinding

Sedangkan untuk rotasi pada saat plastis adalah :

$$\theta_p = (\phi_m - \phi_v) l_p$$

Nilai  $\phi_m$  dan  $\phi_v$  dapat dihitung dengan rumus dibawah ini:

$$\phi_m = \frac{0,072}{l_w}$$

$$\phi_v = \frac{2 \varepsilon_y}{l_w}$$

Untuk rotasi desain dinding dapat dihitung dengan rumus dibawah ini :

$$\theta_d = \frac{1,0 \varepsilon_y h_n}{l_w} + (\phi_m - \phi_v) l_p \leq \theta_c$$

Kemudian untuk perhitungan profil perpindahan rencana dapat dihitung dengan rumus :

$$\Delta_i = \frac{2}{3} \varepsilon_y \frac{h_i^2}{l_w} \left(1,5 - \frac{h_i}{2h_n}\right) + \left(\theta_d - \frac{\varepsilon_v h_n}{l_w}\right) \left(h_i - \frac{l_p}{2}\right)$$

Panjang sendi plastis untuk dinding dapat diambil nilai terbesar dari :

$$l_p = 0,2 l_w + 0,03 h_n$$

$$l_p = 0,054 h_n + 0,022 f_y d_b$$

Dimana :  $d_b$  = diameter tulangan vertical dinding

- Perhitungan Perpindahan Rencana ( $\Delta_d$ )

Perpindahan rencana / target perpindahan struktur dapat dihitung berdasarkan perumusan :

$$\Delta_d = \frac{\sum_{i=1}^n (m_i \Delta_i^2)}{\sum_{i=1}^n (m_i \Delta_i)}$$

- Perhitungan Daktilitas Struktur Rencana (  $\mu_s$  )

Daktilitas struktur dapat dihitung dengan persamaan :

$$\mu_s = \Delta_d / \Delta_y$$

Dimana menurut Priestly, nilai  $\Delta_y$  untuk *frame* dirumuskan sebagai :

$$\Delta_y = 0.5 \epsilon_y (l_b / h_b) (0.6 h_n)$$

dimana  $\epsilon_y = f_y / E_s$

### **3.5. PERHITUNGAN TULANGAN STRUKTUR UTAMA**

Setelah seluruh perhitungan pembebanan selesai, maka dapat dilanjutkan dengan perhitungan penulangan dari struktur utama yang ada dengan menggunakan hasil *output* program SAP 2000. Hasil yang diperoleh dari program SAP2000 berupa gaya dalam yang terjadi pada struktur akibat dari beban - beban yang ada.

#### **3.5.1. Redistribusi Momen**

Fungsi utama dari redistribusi momen adalah menyeragamkan momen yang terjadi pada struktur yang ada yang diharapkan dapat mendapatkan jumlah tulangan yang seragam pada struktur yang ada. Secara sederhana redistribusi momen dilakukan dengan cara mengurangi momen maksimum absolut ( biasanya momen negatif ) dan dikompensikan dengan menambah nilai momen didaerah nonkritis ( biasanya momen positif ).

#### **3.5.2. Penulangan Balok Induk**

Hasil dari redistribusi momen diatas digunakan untuk menghitung tulangan pada balok induk.

- Penulangan Lentur Balok

Adapun cara penghitungan tulangan lentur balok induk sama dengan cara perencanaan penulangan lentur balok anak. Tetapi karena balok induk merupakan sistem rangka yang menerima beban gempa dan lentur maka terdapat aturan tambahan yaitu yang disyaratkan dalam SK SNI 03 – xxxx – 2001 ps. 21.3.1, adapun aturan itu adalah :

1. Gaya aksial tekan terfaktor pada komponen struktur tidak boleh melebihi  $0,1 A_g f_c'$
2. Bentang bersih minimum balok  $> 4d$
3. Perbandingan Lebar / tinggi balek  $> 0,3$

4. a. Lebar > 250 mm  
 b. Lebar < lebar komponen pendukung + (  $\frac{3}{4}$  x tinggi balok )

- Penulangan Geser Balok

Adapun penulangan geser balok induk dibedakan menjadi 2, yaitu tulangan geser tumpuan dan lapangan.

- Penulangan Geser Tumpuan Balok

Untuk menghitung tulangan geser balok maka terlebih dahulu kita menghitung gaya geser pada tumpuan tersebut. Adapun rumus yang digunakan adalah yang terdapat pada SK SNI 03 – xxxx – 2001, yang antara lain :

$$V = (M_{pr}^{+/-}) / L_n + V_g$$

$$M_{pr}^{+/-} = A_s \cdot 1,25 \cdot f_y \left( d - \frac{a}{2} \right)$$

$$a = \frac{A_s (1.25 f_y)}{0.85 f_c' h}$$

$$V_s = V_u, b / \Phi - V_c$$

Adapun  $V_c$  tidak diperhitungkan pada sendi plastis.

- Penulangan Geser Lapangan Balok

Pada daerah lapangan balok  $V_c$  diperhitungkan dalam penulangan. Adapun rumus yang digunakan adalah :

$$V_{1000} = V_A - (1000 / L_n) (V_A + V_B)$$

$$V_c = (1/6) \sqrt{f_c' b_w d}$$

$$V_s = V_u, b / \Phi - V_c$$

Syarat spasi maksimum tulangan geser balok menurut SK SNI - 03 - xxxx - 2001 ps. 21.3.3.

$s < d / 4 \rightarrow$  daerah sendi plastis

$s < d / 2 \rightarrow$  diluar daerah sendi plastis

$s < 8 \times \phi$  tulangan memanjang

$s < 24 \times \phi$  tulangan sengkang



dimana :

$$s = \frac{Av + fy \cdot d}{Vs}$$

### 3.5.3. Penulangan Kolom

- Penulangan Longitudinal

Langkah pertama yang dilakukan adalah menghitung momen ultimit balok akibat tulangan terpasang. Adapun rumus yang digunakan adalah :

$$\phi M_n = \phi A_s f_y (d - a/2)$$

$$\text{dimana } a = \frac{A_s f_y}{0.85 f'_c b}$$

Setelah nilai  $M_n$  diketahui maka perhitungan dilanjutkan dengan memasukkan nilai  $M_{n,y}$  hasil perhitungan dengan  $P_u$  hasil *output* SAP 2000 kedalam program PCA COL. Pada program ini kita bisa menentukan besar tulangan yang kita inginkan lalu dengan  $P_u$  dan  $M_n$  yang ada, kolom bertulang ini dicoba apakah kuat menerima beban dengan memasukkannya kedalam diagram iterasi

- Penulangan Transversal

Sesuai SK SNI - 03 - xxxx - 2001 ps. 21.4.4.4., penulangan transversal khusus dibutuhkan sejarak  $l_o$  dari kedua ujung kolom, dimana :

$$l_o > h_{balok}$$

$$l_o > (1/6) l_{n,kolom}$$

$$l_o = 500 \text{ mm}$$

Dan sesuai SK SNI - 03 - xxxx - 2001 ps. 21.4.4.2, spasi maksimum yang diijinkan untuk tulangan transversal adalah :

$$s < \frac{1}{4} \text{ dimensi terkecil komponen struktur}$$

$$s < 6 \times \text{diameter tulangan longitudinal}$$

Luasan penampang minimum tulangan transversal ( $A_{sh}$ ) adalah yang yang terbesar dari kedua persamaan : ( SK SNI - 03 - xxxx - 2001 ps. 21.4.4.1 )

$$A_{sh} = \frac{0.3 s h_c f'_c}{f_{sh}} \left[ \left( \frac{A_g}{A_{sh}} \right) - 1 \right]$$

$$A_{sh} = \frac{0.09 s h_c f_c}{f_{yb}}$$

dimana :  $s$  = jarak spasi tulangan transversal

$h_c$  = dimensi potongan melintang dari inti kolom, diukur dari pusat ke pusat dari tulangan pengekang tersebut.

$A_g$  = luas penampang kolom

$A_{ch}$  = luas penampang kolom diukur dari daerah terluar tulangan transversal

$f_{yb}$  = kuat leleh tulangan transversal

### 3.5.4. Sambungan Balok – Kolom

SK SNI - 03 - xxxx - 2001 ps. 21.5.2.1. mensyaratkan bahwa tulangan transversal seperti yang dirinci dalam ps. 21.4.4. harus dipasang pula dalam sambungan antara balok-kolom, kecuali jika sambungan tersebut dikekang oleh komponen struktural seperti yang disyaratkan dalam ps. 21.5.2.2. Menurut ps. 21.5.2.2. spasi maksimum adalah 150 mm. Lalu kita membandingkan antara 2 hasil perhitungan gaya geser, yitu dari peraturan dan dari gaya geser bersih balok.

Gaya geser bersih pada joint :  $V_{uj} = T_I + C_2 - V_b = 2790224,501 \text{ N}$

Berdasar SK SNI - 03 - xxxx - 2001 ps. 21.5.3.1 untuk hubungan balok-kolom yang terkekang kedua sisinya, nilai kekuatan gesernya dihitung berdasarkan :

$$\phi V_c = \phi 1,7 \sqrt{f_c} A_j$$

### 3.6.Tulangan Shearwall

Shearwall adalah bagian dari sistem penahan lateral dan harus didesain secara khusus sesuai dengan SK SNI - 03 - xxxx - 2001 ps. 21.6.

- **Perhitungan Kebutuhan Boundary Element**

Boundary element adalah batang seperti kolom yang berada pada ujung shearwall dan menyatu dengan penampang dinding geser.

Tegangan maksimum pada dinding geser :

$$f_c = \frac{P_u}{A_s} \pm \frac{M_u \left( \frac{l_w}{2} \right)}{I_s} \quad (\text{Design of Concrete Building for Earthquake and Wind Forces, second edition})$$

Berdasarkan SK SNI - 03 - xxxx - 2001 ps 21.6.6 shearwall tidak memerlukan boundary element dengan syarat :

1.  $P_u < 0.1 A_g f_c$  untuk penampang dinding yang simetris  
 $P_u < 0.05 A_g f_c$  untuk penampang dinding yang tidak simetris
2.  $\frac{M_u}{V_u l_w} \leq 1$
3.  $V_u \leq 0.25 A_{cv} \sqrt{f'c}$  dan  $\frac{M_u}{V_u l_w} \leq 3$

Tulangan sengkang

$$A_{sh} \geq \begin{cases} 0.09 s hc \frac{f_c}{fyh} \\ 0.3 s hc \left[ \frac{A_g}{Ach} - 1 \right] \frac{f'_c}{fy} \end{cases}$$

Batas atas kekuatan geser shearwall adalah :

$$\phi V_n = \phi 8 A_{cv} \sqrt{f'_c}$$

Kuat geser nominal :

$$V_n = A_{cv} [ 1/12 \alpha_c \sqrt{f'_c} + \rho_n f_y ]$$

Dimana :

$$\alpha_c = 1/4 \text{ untuk } h_w/l_w < 1,5$$

$$\alpha_c = 1/6 \text{ untuk } h_w/l_w \geq 2$$

### 3.7. PUSHOVER ANALYSIS

*Pushover analysis* secara garis besar adalah suatu metode analisa nonlinear yang telah disederhanakan yang bertujuan mengetahui kinerja dari struktur dengan cara memberikan beban horizontal ekivalen ( sebagai representasi gaya gempa ) yang secara bertahap ditingkatkan secara proporsional, sehingga pada akhirnya gedung mencapai kegagalan ( *collapse* ). Metode ini memiliki 3 komponen utama, yaitu *capacity, demand, dan performance point* ( ATC 40 ).

## Prosedur Analitis

### Elastis

- Prosedur sesuai Peraturan
- Rasio Demand - Kapasitas

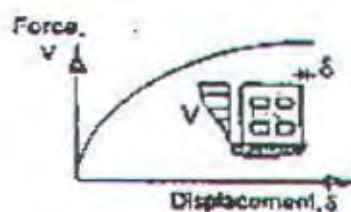
### Nonlinear yang Disederhanakan

### Nonlinear lainnya

- Metode Secant
- Time History

## Kapasitas

Fokus utama dari metode nonlinear yang disederhanakan adalah pembuatan "pushover" atau kurva kapasitas. Kurva ini melambangkan simpangan lateral sebagai fungsi dari gaya-gaya yang bekerja pada struktur. Proses ini tidak tergantung dari metode yang dipergunakan untuk menentukan Demand, dan sekaligus menyediakan pengetahuan yang amat berharga bagi pelaksana di lapangan.



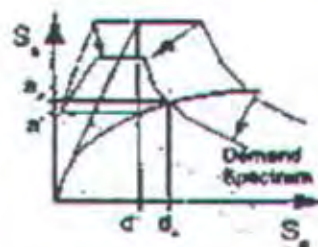
## Demand

### Metode Kapasitas Spektrum A, B, & C

menggunakan spektrum elastis tereduksi yang dipotongkan dengan

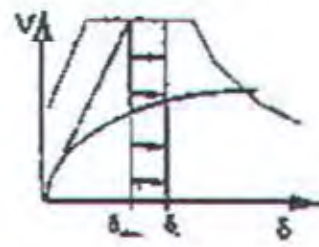
Kurva Kapasitas dalam koordinat spektral untuk menentukan Performance Point  $a_p$ ,  $d_p$ .

*Equal Displacement Point*  $a'$ ,  $d'$  merupakan titik awal yang bagus untuk mengawali proses iterasi



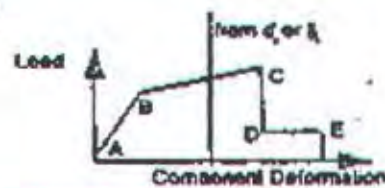
*Equal Displacement Approximation* memperkirakan simpangan inelastis yang akan terjadi jika seandainya struktur tetap berperilaku elastis

**Metode Koefisien Simpangan** dengan memodifikasi  $\delta_{elas}$  menggunakan koefisien untuk menghitung Target Perpindahan,  $\delta_t$



## Performance

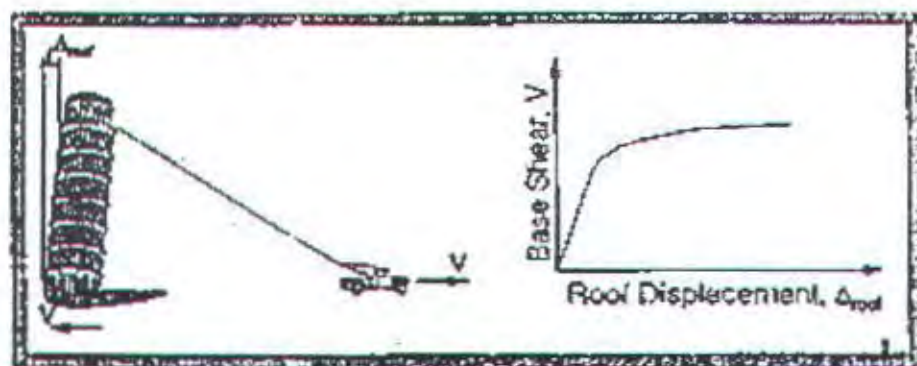
Dengan menggunakan *performance point* atau target simpangan, respon global dari struktur dan deformasi masing-masing komponen diperbandingkan untuk membatasi kinerja struktur sesuai dengan tingkat kinerja yang ingin dicapai pada struktur



Gambar 3.3. Prosedur Analitis Performance-based Design

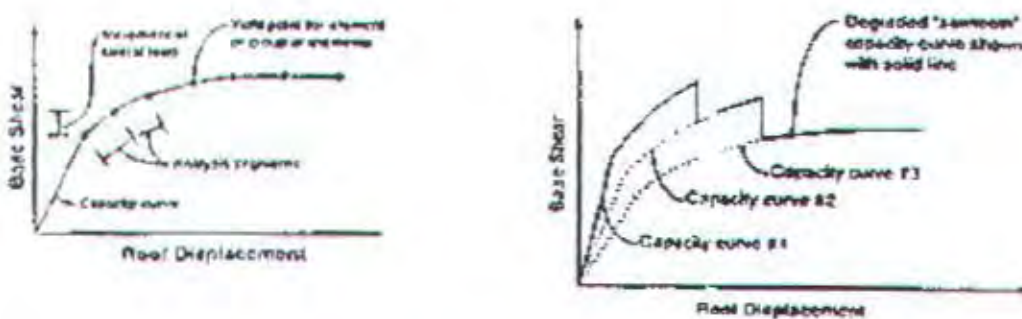
### 3.7.1. Kapasitas

Kapasitas ( capacity ) adalah suatu representasi dari kemampuan struktur untuk menahan gaya gempa yang akan terjadi. Secara keseluruhan, kapasitas suatu struktur tergantung dari kekuatan dan kemampuan untuk berdeformasi dari masing-masing elemen struktur yang ada. Untuk menentukan kapasitas yang melampaui batas - batas elastisnya, dibutuhkan suatu bentuk analisa nonlinear, dalam hal ini analisanya adalah dengan menggunakan prosedur Pushover. Analisa ini menggunakan sekelompok analisa bertahap, yang saling ditumpangtindihkan untuk memperkirakan diagram kapasitas gaya-simpangan dari keseluruhan struktur. Pemodelan matematis dari struktur dimodifikasi untuk mencatat daya tahan tereduksi dari elemen yang mengalami leleh. Distribusi gaya lateral dimasukkan terus menerus hingga semakin banyak elemen struktur yang mengalami leleh. Proses ini diteruskan hingga struktur akhirnya menjadi tidak lagi stabil atau hingga suatu batasan yang ditentukan tercapai.



Gambar 3.4. Ilustrasi metode Pushover dengan Kurva Kapasitasnya

Dari kurva kapasitas yang dihasilkan, bisa diprediksikan perilaku struktur setelah batas-batas elastisnya terlampaui.



Gambar 3.5. Contoh Kurva Kapasitas yang mungkin terjadi

### Prosedur Penentuan Kapasitas

Berikut ini akan dijelaskan langkah demi langkah untuk mendapatkan kurva kapasitas. Untuk diketahui, bahwa kapasitas yang ada umumnya merupakan perwakilan dari respon struktur untuk mode pertama, dengan asumsi bahwa mode pertama inilah yang merupakan respons predominan struktur. Hal ini biasanya cukup valid untuk gedung yang memiliki periode getar kurang dari 1 detik. Untuk gedung-gedung yang lebih fleksibel dengan periode  $> 1$  detik, perlu dipertimbangkan penambahan *mode effects* yang lebih tinggi kedalam analisa.

1. Buatlah pemodelan komputer dari struktur yang bersangkutan dengan menggunakan aturan-aturan pemodelan yang ada ( dapat termasuk pemodelan pondasi jika memang dikehendaki ). Dan kemudian klasifikasikan masing-masing elemen dalam pemodelan tersebut kedalam kategori primer ataupun sekunder.
2. Masukkan gaya-gaya lateral kedalam pemodelan sesuai dengan proporsi produk massa dan *mode shape* dasarnya. Analisa ini harus turut pula mengikutsertakan beban-beban gravitasi yang ada.  
Untuk tahap ini, terdapat beberapa variasi pembebanan lateral yang dapat dipergunakan. Masing-masing variasi memiliki kekhususan untuk dipakai pada situasi tertentu. Berikut diberikan 5 macam variasi yang lazim digunakan:
  - a. Masukkan sebuah gaya horizontal terpusat pada puncak gedung ( biasanya berlaku untuk gedung tingkat satu ).

- b. Masukkan gaya-gaya lateral ( $F_s$ ) kedalam tiap-tiap lantai dengan proporsi yang sesuai dengan prosedur peraturan standar tanpa gaya terkonsentrasi ( $F_t$ ) pada puncak gedung
- $$F_s = [w_s h_s / \sum w_s h_s] \cdot V$$
- c. Masukkan gaya-gaya lateral sesuai dengan proporsi produk massa masing-masing lantai dan *mode shape* 1 dari pemodelan elastis struktur
- $$F_s = [w_s o_s / w_x o_x] \cdot V$$
- d. Sama seperti ( c ) hingga leleh pertama. Untuk setiap penambahan setelah leleh tersebut, sesuaikan besarnya gaya agar konsisten dengan perubahan bentuk defleksi
- e. Sama seperti ( c ) dan ( d ), tetapi ikut memasukkan *higher mode effects* dalam menentukan titik leleh masing-masing elemen struktural.
3. Hitung gaya-gaya masing-masing elemen sesuai dengan kebutuhan terhadap kombinasi beban vertikal dan lateral.
4. Sesuaikan tingkat penambahan gaya lateral yang ada hingga suatu elemen (atau kelompok elemen) dibebani maksimum mencapai 10% dari kekuatan *member*-nya.
5. Catat besarnya gaya geser dasar dan perpindahan puncak gedung.
6. Revisi pemodelan dengan menggunakan kekakuan yang sangat kecil ( atau sama dengan nol ) untuk elemen-elemen yang telah mencapai leleh.
7. Memasukkan lagi penambahan gaya lateral baru kedalam struktur yang telah direvisi tersebut, hingga suatu elemen atau kelompok elemen lain mencapai titik leleh.
8. Masukkan penambahan gaya lateral tersebut dan penambahan perpindahan puncak gedung yang telah ada sebelumnya.
9. Ulangi langkah 6, 7, dan 8 tersebut hingga struktur mencapai suatu batas ultimat, seperti : ketidakstabilan akibat efek  $P\Delta$ , atau perubahan bentuk yang telah melampaui tingkatan yang dikehendaki.

### Konversi Kurva Kapasitas Dalam Format ADRS ( Acceleration-Displacement Response Spectra )

Untuk menggunakan metode Spektrum Kapasitas, Kurva Kapasitas yang masih diplot dalam grafik gaya geser dasar (*base shear*) vs perpindahan puncak gedung (*roof displacement*) perlu dikonversikan kedalam apa yang disebut Spektrum Kapasitas. Spektrum Kapasitas ini merupakan representasi Kurva Kapasitas dalam format ADRS, yakni grafik *Spectral acceleration* (*Sa*) vs *Spectral displacement* (*Sd*). ( Mahaney, 1993 )

Beberapa persamaan dasar yang dibutuhkan untuk melakukan proses transformasi tersebut antara lain :

$$PF_1 = \left[ \frac{\sum_{i=1}^N (w_i \phi_{ii}) / g}{\sum_{i=1}^N (w_i \phi_{ii}^2) / g} \right] \quad \dots \dots \dots \quad 3-1$$

$$\alpha_1 = \frac{\left[ \sum_{i=1}^N (w_i \phi_{ii}) / g \right]^2}{\left[ \sum_{i=1}^N w_i / g \right] \left[ \sum_{i=1}^N (w_i \phi_{ii}^2) / g \right]} \quad \dots \dots \dots \quad 3-2$$

$$Sa = \frac{V / W}{\alpha_1} \quad \dots \dots \dots \quad 3-3$$

$$Sd = \frac{\Delta_{roof}}{PF_1 \phi_{roof,1}} \quad \dots \dots \dots \quad 3-4$$

dimana :  $PF_1$  = faktor modal partisipasi untuk mode alamiah ke – 1

$\alpha_1$  = koefisiensi modal massa untuk mode alamiah ke – 1

$w_i/g$  = massa pada lantai ke – i

$\phi_{ii}$  = amplitudo mode ke – 1 pada lantai i

N = lantai N, merupakan lantai tertinggi dari struktur

V = gaya geser dasar

W = beban mati ditambah dengan kemungkinan beban hidup yang akan terjadi pada struktur

$\Delta_{\text{roof}}$  = perpindahan pucak gedung ( dimana  $V$  vs  $\Delta_{\text{roof}}$  inilah yang menyusun kurva kapasitas)

Sa = spectral acceleration

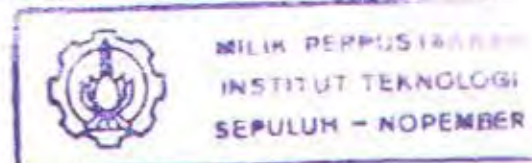
Sd = spectral displacement

Proses konversi ini dapat dijelaskan secara ringkas sebagai berikut : pertama, hitunglah faktor modal partisipasi  $PF_i$ , dan koefisien modal massa  $\alpha_i$ , dengan menggunakan persamaan 3-1 dan 3-2. Kemudian untuk masing-masing titik pada grafik kurva kapasitas,  $V$ ,  $\Delta_{\text{roof}}$ , hitunglah titik Sa, Sd yang bersesuaian kedalam grafik spektrum kapasitas dengan menggunakan persamaan 3-3 dan 3-4

### 3.7.2. Demand

Tuntutan gaya gempa (*demand*) adalah suatu representasi dari pergerakan tanah selama terjadi gempa. Pergerakan tersebut sering menghasilkan pola-pola simpangan horizontal yang amat kompleks pada gedung yang bervariasi tergantung pada waktu. Pemakaian pola simpangan tersebut berdasar urutan waktu terjadinya untuk menentukan persyaratan perencanaan struktur dinilai amat tidak praktis. Analisa linear yang ada selama ini menggunakan gaya lateral sebagai pengganti gaya gempa sesungguhnya. Sedangkan pada metode analisa nonlinear, digunakanlah suatu rangkaian simpangan-simpangan lateral sebagai pengganti untuk kondisi perencanaan. Untuk struktur dan pergerakan tanah yang tertentu, tuntutan simpangan (*displacement demand*) tersebut adalah suatu prakiraan dari respons maksimum yang diharapkan terjadi pada gedung selama gempa.

#### Respons Spektrum Elastis



Pada *Pushover Analysis*, Respon Spektrum Elastis Teredam (*Damped Elastic response Spectrum*) digunakan sebagai perwakilan dari *demand* tersebut.

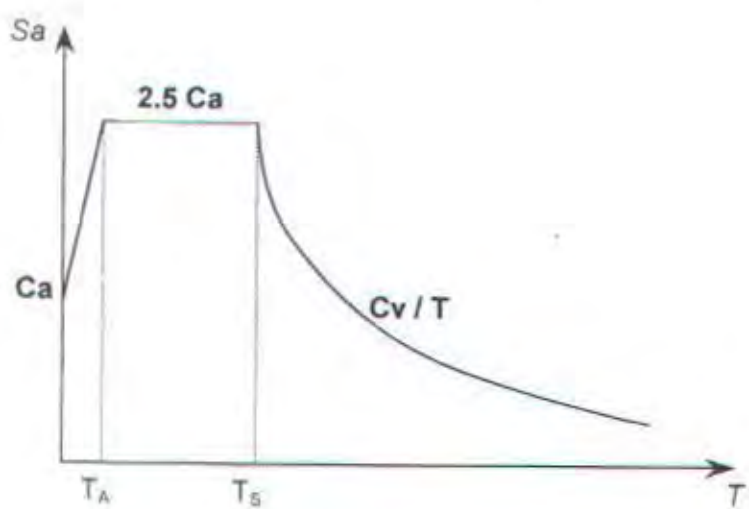
Dengan penjelasan singkat sebagai berikut :

$$T = 0$$

$$Sa / g = Ca$$

$$0 < T \leq T_A$$

$$Sa / g = Ca [(1.5 T / T_A) + 1]$$



Gambar 3.6. Respon Spektrum (Elastis)

$$T_A \leq T \leq T_s \quad S_a / g = 2.5 C_a$$

$$T > T_s \quad S_a / g = Cv / T$$

Dimana :  $C_a, Cv$  adalah koefisien gempa ( lihat ATC 40 )

$$T_s = Cv / 2.5 C_a$$

$$T_A = 0.2 T_s$$

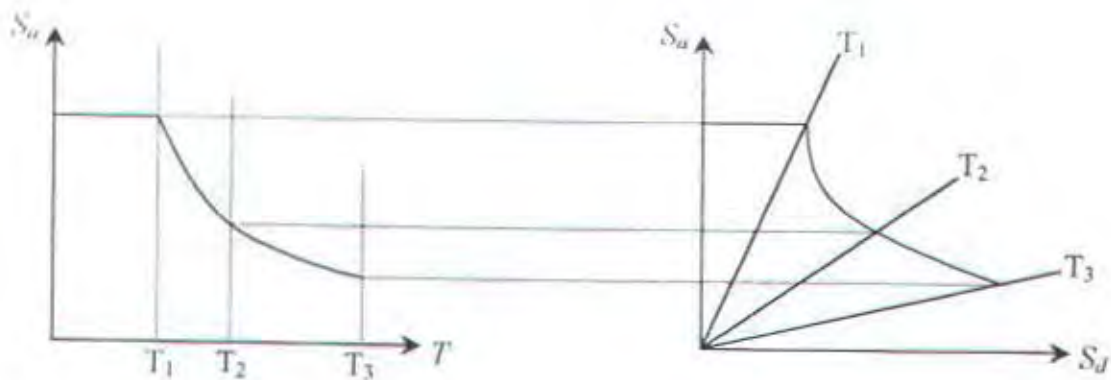
#### Koversi respon Spektrum dalam format ADRS ( Acceleration-Displacement Response Spectra )

Seperi Kurva Kapasitas, metode Spektrum Kapasitas mensyaratkan Respons Spektrum (  $S_a$  vs  $T$  ) dikonversikan kedalam format ADRS (  $S_a$  vs  $S_d$  ). Untuk itu digunakan hubungan antara  $S_a$ ,  $S_d$ , dan  $T$  sebagai berikut:

$$S_d = \frac{1}{4\pi^2} S_a T^2 \quad \dots \dots \dots \quad 3-5$$

dimana untuk tiap-tiap titik pada grafik respon spektrum  $S_a$ ,  $T$ , dihitung nilai  $S_d$  ( sesuai dengan nilai  $S_a$  yang bersesuaian ) dengan menggunakan persamaan 3-5 diatas.

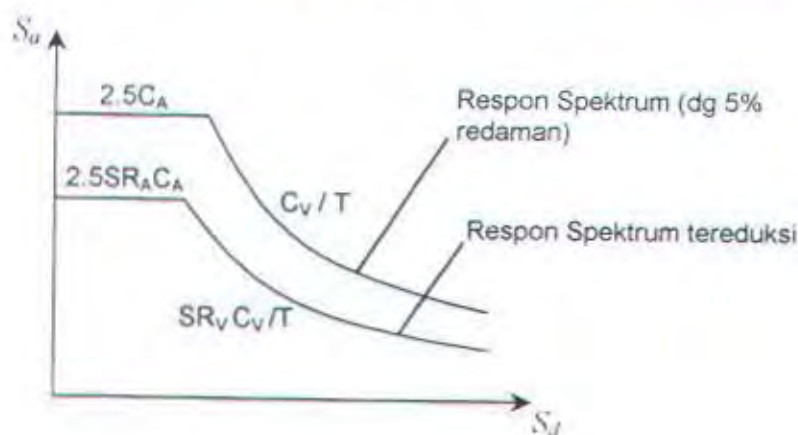
Gambar berikut ini menunjukkan contoh grafik Respon Spektrum dalam format  $S_a$  vs  $T$  dan dalam format ADRS (  $S_a$  vs  $S_d$  ).



Gambar 3.7. Respon Spektrum dalam format  $S_a$  vs  $T$  dan ADRS

### Respons Spektrum Elastis Tereduksi

Respons Spektrum seperti yang dicontohkan diatas lebih jauh lagi dapat dimodifikasi menjadi Respons Spektrum Tereduksi (*Reduced Response Spectrum*), dimana 2 faktor reduksi spectral :  $SR_A$  dan  $SR_V$  diperkenalkan. Untuk lebih jelasnya mengenai implementasi kedua faktor ini dapat dilihat pada gambar dibawah ini :



Gambar 3.8. Respon Spektrum tereduksi

Dimana persamaan untuk menghitung kedua faktor reduksi tersebut,  $SR_A$  dan  $SR_V$ , dapat digambarkan sebagai berikut :

$$SR_A = \frac{3,21 - 0,68 \ln \left[ \frac{36,7\kappa(a_y d_{pi} - d_y a_{pi})}{a_{pi} d_{pi}} + 5 \right]}{2,12} \quad \dots \dots \dots \quad 3-6$$

$$SR_v = \frac{2,31 - 0,41 \ln \left[ \frac{63,7\kappa(a_y d_{pi} - d_y a_{pi})}{a_{pi} d_{pi}} + 5 \right]}{1,65} \quad \dots\dots \quad 3-7$$

dimana :  $\kappa$  = faktor modifikasi yang merupakan ukuran seberapa bagusnya sebuah parallelogram sempurna merepresentasikan hysteresis sesungguhnya dari gedung yang bersangkutan ( ATC 40 memberikan 3 jenis nilai  $\kappa$  yang biasa dilakukan : 1.0, 2/3, dan 1/3 )

$a_y, d_y$  = koordinat titik terpotong kedua garis *bilinear representation* pada kurva spktrum kapasitas

$a_{pi}, d_{pi}$  = koordinat awal ( trial ) dalam proses menentukan *performance point*

( untuk lebih jelasnya mengenai  $a_y, d_y$  dan  $a_{pi}, d_{pi}$  dapat dilihat dalam bab 3.7.3 )

### 3.7.3. Titik Kinerja ( *Performance Point* )

Titik Kinerja ( *Performance Point* ) adalah representasi dari suatu kondisi dimana kapasitas gempa dari struktur sama dengan *demand* gempa yang akan terjadi pada gedung. *Performance Point* ini didapat melalui proses pengecekan kinerja, yang bertujuan memastikan bahwa baik komponen struktural maupun nonstruktural tidak mengalami kerusakan diluar batasan yang telah ditentukan oleh tujuan kinerja.

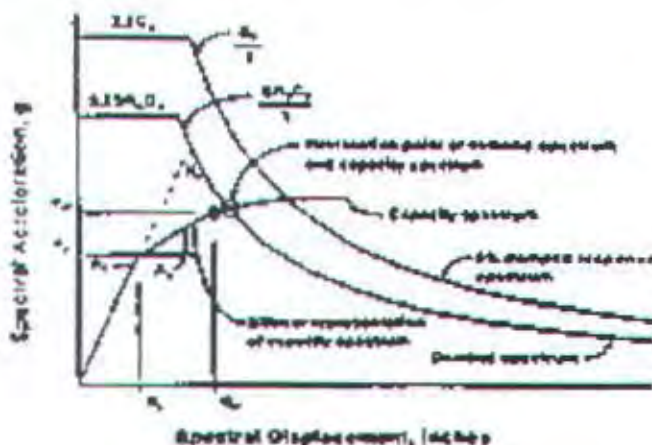
Metode Spektrum Kapasitas ( ATC 40 ), yang menggunakan kurva spektrum kapasitas dan kurva respon spektrum tereduksi seperti yang dijelaskan sebelumnya, memiliki 3 prosedur dalam menentukan *performance point* tersebut. Prosedur-prosedur ini, yang untuk selanjutnya disebut dengan prosedur A, B, dan C, akan dijelaskan secara singkat berikut ini :

#### 3.7.3.1. Prosedur A

Langkah-langkah perhitungan *performance point* sesuai dengan prosedur ini adalah sebagai berikut :

- Buatlah grafik respon spektrum elatis dengan redaman 5% yang sesuai dengan lokasi gedung

- Transformasikan kurva kapasitas yang telah didapat menjadi kurva spektrum kapasitas seperti yang telah dijelaskan sebelumnya. Plotkan kurva ini kedalam grafik yang sama dengan grafik respons spektrum.
- Pilihlah sebuah titik,  $a_{pi}$ ,  $d_{pi}$ , sebagai trial awal bagi *performance point*.
- Buatlah sebuah *bilinear representation* dari spektrum kapasitas yang ada.
- Kemudian hitung faktor reduksi spectral (  $SR_A$  dan  $SR_V$  ) dengan persamaan 3-6 dan 3-7. Setelah itu buatlah grafik respon spektrum tereduksi dengan menggunakan dua faktor tersebut. Gambarkan grafik baru ini kedalam grafik yang sama pada langkah ( 2 ).
- Tentukan apakah perpotongan antara kurva respon spektrum tereduksi dan kurva spektrum kapasitas tersebut sama dengan titik trial awal,  $a_{pi}$ ,  $d_{pi}$ . Atau apakah nilai simpangan (  $d_p$  ) pada titik perpotongan tersebut masih memenuhi toleransi untuk  $d_{pi}$  ( toleransi bisa diambil sebesar 5%, sehingga:  $0.95d_{pi} \leq d_p \leq 1.05d_{pi}$  )



Gambar 3.9. Prosedur A setelah tahap ( 6 )

- Jika ternyata langkah ( 6 ) tidak memenuhi, maka pilihlah titik  $a_{pi}$ ,  $d_{pi}$  yang baru dan ulangi lagi dari langkah ( 4 )
- Jika langkah ( 6 ) memenuhi, maka titik  $a_{pi}$ ,  $d_{pi}$  tersebut menjadi *performance point*,  $a_p$ ,  $d_p$  dan nilai  $d_p$  ini mewakili simpangan maksimum struktur yang diharapkan ketika terjadi gempa sesuai *demand* yang ada.

### 3.7.3.2. Prosedur B

Prosedur ini melibatkan sebuah asumsi penyederhanaan yang tidak terdapat pada dua prosedur lainnya. Diasumsikan bahwa kemiringan awal dari *bilinear representation* dari spektrum kapasitas, juga titik  $a_y$ ,  $d_y$ , serta kemiringan akibat *post-yield* selalu konstan. Asumsi ini membuat perhitungan menjadi lebih sederhana dan tanpa perlu iterasi berulang-ulang karena dengan asumsi tersebut, nilai  $\beta_{eff}$  menjadi hanya tergantung pada nilai  $d_{pi}$ . Prosedur ini melibatkan tahap-tahap sebagai berikut :

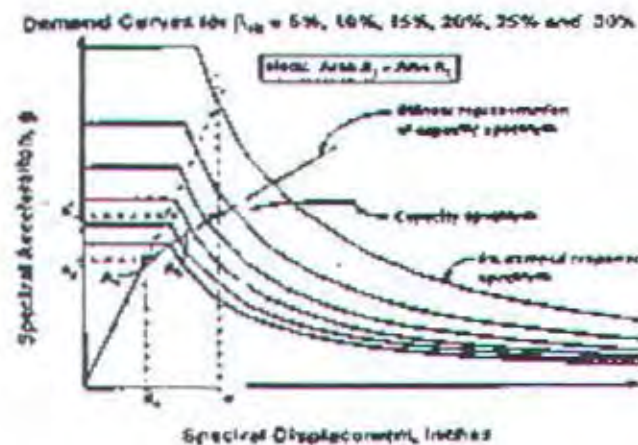
1. Buatlah grafik respon spektrum elastis dengan redaman 5% yang sesuai dengan lokasi gedung.
2. Gambarkan pula kelompok respon spektrum tereduksi kedalam grafik yang sama, dimana  $\beta_{eff}$  berkisar dari 5% hingga nilai maksimum yang diijinkan untuk tipe perilaku struktural gedung. Nilai maksimum  $\beta_{eff}$  untuk konstruksi tipe A adalah 40%, konstruksi tipe B adalah 29%, dan konstruksi tipe C adalah 10%.

( untuk lebih jelasnya mengenai definisi dari tipe-tipe perilaku struktural gedung ini lihat tabel 3.1 )

| Durasi \ Getaran | Gedung Baru | Gedung yang telah berdiri cukup lama | Gedung Tua |
|------------------|-------------|--------------------------------------|------------|
| Pendek           | Tipe A      | Tipe B                               | Tipe C     |
| Panjang          | Tipe B      | Tipe C                               | Tipe C     |

Tabel 3.1. Tipe-Tipe Perilaku Struktural

3. Transformaikan kurva kapasitas menjadi spektrum kapasitas dan gambarkan pada grafik yang sama dengan langkah no ( 1 ) dan ( 2 )
4. Buatlah sebuah *bilinear representation* dari spektrum kapasitas tersebut. Dimana nilai kemiringan awal dari kurva bilinear tersebut adalah sama dengan nilai dari kekakuan awal gedung. Titik  $a^*$ ,  $d^*$  merupakan perpotongan antara garis *bilinear representation* segmen pasca-leleh dengan spektrum kapasitas sesuai dengan aturan *equal displacement*.



Gambar 3.10. Prosedur B setelah tahap (4)

5. Hitung redaman efektif untuk beberapa titik perpindahan sekitar  $a^*$ ,  $d^*$ . Gunakan persamaan 3-8 untuk mendapatkan  $a_{pi}$  dalam bentuk persamaan dengan variabel  $d_{pi}$ .

$$a_{pi} = \frac{(a^* - a_y)(d_{pi} - d_y)}{d^* - d_y} + a_y \quad \dots \dots \quad 3-8$$

Selanjutnya  $a_{pi}$  ini bisa disubstitusikan kedalam persamaan 3-9. Sehingga pada akhirnya nilai  $\beta_{eff}$  hanya tergantung dari variabel  $d_{pi}$  saja.

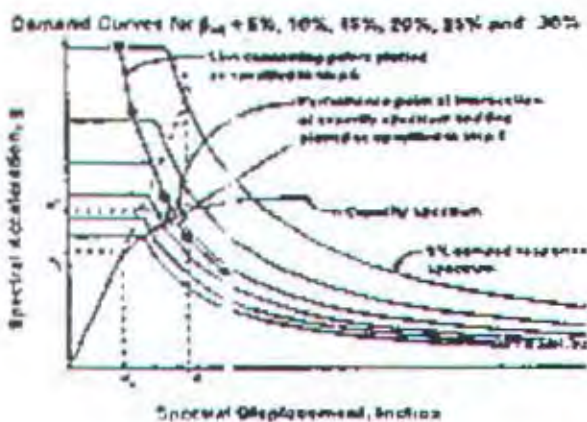
$$\beta_{eff} = \frac{63,7K(a_y d_{pi} - d_y a_{pi})}{a_{pi} d_{pi}} + 5 \quad \dots \dots \quad 3-9$$

6. Dari langkah (5) didapatkan pasangan nilai  $d_{pi}$  dan  $\beta_{eff}$ . Plotkan titik-titik ini kedalam grafik yang sama
7. Hubungkan kesemua titik tersebut sehingga membentuk sebuah garis. Perpotongan garis ini dan spektrum kapasitas menjadi titik kinerja yang kita cari jika titik ini berada disekitar titik  $a^*$ ,  $d^*$  (berlaku toleransi  $\pm 5\%$ ). Jika tidak, disarankan untuk dicek ulang melalui prosedur A ataupun C.

### 3.7.3.3. Prosedur C

Prosedur ini lebih bersifat grafis daripada analitis bila dibandingkan dengan kedua prosedur lainnya. Adapun langkah-langkah yang terlibat dalam prosedur ini antara lain :

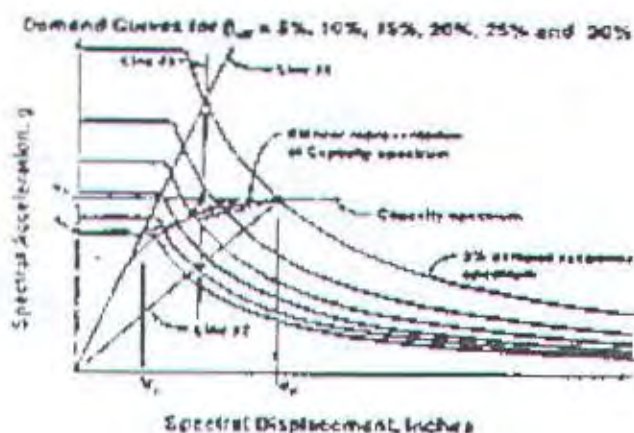
1. Buatlah grafik respon spektrum elastis dengan redaman 5% yang sesuai dengan lokasi gedung



(Gambar 3.11. Prosedur B setelah tahap ( 7 )

2. Gambarkan pula kelompok respon spektrum terseduksi kedalam grafik yang sama, dimana  $\beta_{eff}$  berkisar dari 5% hingga nilai maksimum yang diijinkan untuk tipe perilaku struktural gedung. Nilai maksimum  $\beta_{eff}$  untuk konstruksi tipe A adalah 40%, konstruksi tipe B adalah 29%, dan konstruksi tipe C adalah 20%.
3. Transformasikan kurva kapasitas menjadi spektrum kapasitas dan gambarkan pada grafik yang sama dengan langkah no ( 1 ) dan ( 2 ).
4. Buatlah sebuah *bilinear representation* dari spektrum kapasitas tersebut. Pilih titik awal  $a_{pi}$ ,  $d_{pi}$ , pada lokasi terujung garis spektrum kapasitas atau pada perpotongan dengan respon spektrum teredam 5% ( pilih salah satu dengan nilai  $d_{pi}$  terkecil )
5. Hitung rasio dari :  $d_{pi}/d_s$  dan  $\frac{(a_{pi}/a_s)-1}{(d_{pi}/d_s)-1}$
6. Berdasarkan rasio yang diperoleh pada langkah ( 5 ), gunakan tabel 3.2, 3.3, atau 3.4 sesuai dengan tipe perilaku struktural gedung ( lihat tabel 3.1 mengenai definisi perilaku struktural gedung ).
7. perpanjangan garis kekakuan awal sampai memotong kurva respon spektrum dengan redaman 5% ( garis 1 ). Juga buatlah garis dari koordinat pusat 0.0 ke titik  $a_{pi}$ ,  $d_{pi}$  ( garis 2 )

8. Buatlah garis 3, yang dimulai dari perpotongan garis 1 dengan respon spektrum ( redaman 5% ), ketitik perpotongan garis 2 dengan nilai  $\beta_{eff}$  yang telah didapatkan pada langkah (2). ( Untuk contoh 2.9, nilai  $\beta_{eff}$  yang telah diambil adalah 24% ).
9. Titik dimana garis 3 memotong kurva respon spektrum adalah titik kinerja perkiraan,  $a_{p2}$ ,  $d_{p2}$ .



Gambar 3.12. Prosedur C setelah tahap (9)

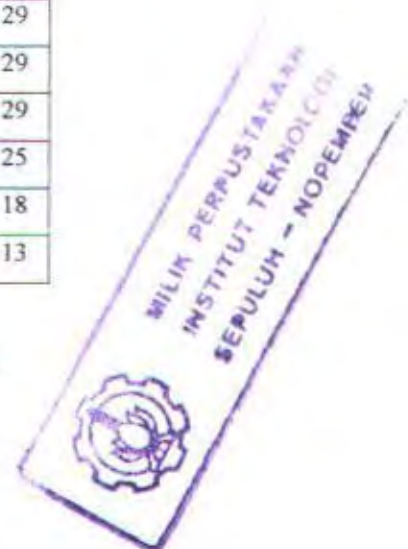
10. Jika ternyata nilai  $d_{p2}$  berada dalam wilayah toleransi  $\pm 5\%$  dari nilai  $d_{p1}$ , maka titik  $a_{p2}$ ,  $d_{p2}$  dapat diambil sebagai titik kinerja. Jika ternyata tidak, maka lanjutkan ke langkah (11).
11. Ulangi dari langkah (4) dengan menaikkan nilai 1 sebesar 1. Sehingga pada iterasi ke-2, garis 2 digambar mulai dari titik koordinat 0,0 ketitik  $a_{p2}$ ,  $d_{p2}$ .

|              | Slope Ratio $[(a_{pi}/a_y) - 1]/[(d_{pi}/d_y) - 1]$ |     |     |     |     |      |    |
|--------------|---|-----|-----|-----|-----|------|----|
| $d_{pi}/d_y$ | 0.5   | 0.4 | 0.3 | 0.2 | 0.1 | 0.05 | 0  |
| 10           | 10  | 12  | 16  | 21  | 30  | 37   | 40 |
| 8            | 11  | 14  | 18  | 23  | 31  | 37   | 40 |
| 6            | 13  | 16  | 20  | 25  | 33  | 37   | 40 |
| 4            | 16  | 19  | 23  | 28  | 34  | 37   | 40 |
| 3            | 16  | 19  | 23  | 27  | 33  | 36   | 39 |
| 2            | 16  | 19  | 22  | 25  | 29  | 31   | 33 |
| 1.5          | 13  | 16  | 18  | 20  | 23  | 24   | 24 |
| 1.25         | 11  | 12  | 13  | 15  | 16  | 17   | 18 |

Tabel 3-2. Effectif dampng,  $\beta_{eff}$ , dalam %-  
Structrual Behavior Type A

|              | Slope Ratio $[(a_{pi}/a_y) - 1]/[(d_{pi}/d_y) - 1]$ |     |     |     |     |      |    |
|--------------|---|-----|-----|-----|-----|------|----|
| $d_{pi}/d_y$ | 0.5   | 0.4 | 0.3 | 0.2 | 0.1 | 0.05 | 0  |
| 10           | 9   | 10  | 12  | 16  | 23  | 27   | 29 |
| 8            | 9   | 11  | 13  | 17  | 24  | 27   | 29 |
| 6            | 10  | 12  | 15  | 19  | 25  | 27   | 29 |
| 4            | 11  | 14  | 17  | 21  | 25  | 27   | 29 |
| 3            | 12  | 14  | 17  | 21  | 25  | 27   | 29 |
| 2            | 12  | 14  | 16  | 19  | 22  | 24   | 25 |
| 1.5          | 11  | 12  | 14  | 15  | 17  | 18   | 18 |
| 1.25         | 9   | 10  | 10  | 11  | 12  | 13   | 13 |

Tabel 3-3. Effectif dampng,  $\beta_{eff}$ , dalam %-  
Structrual Behavior Type B

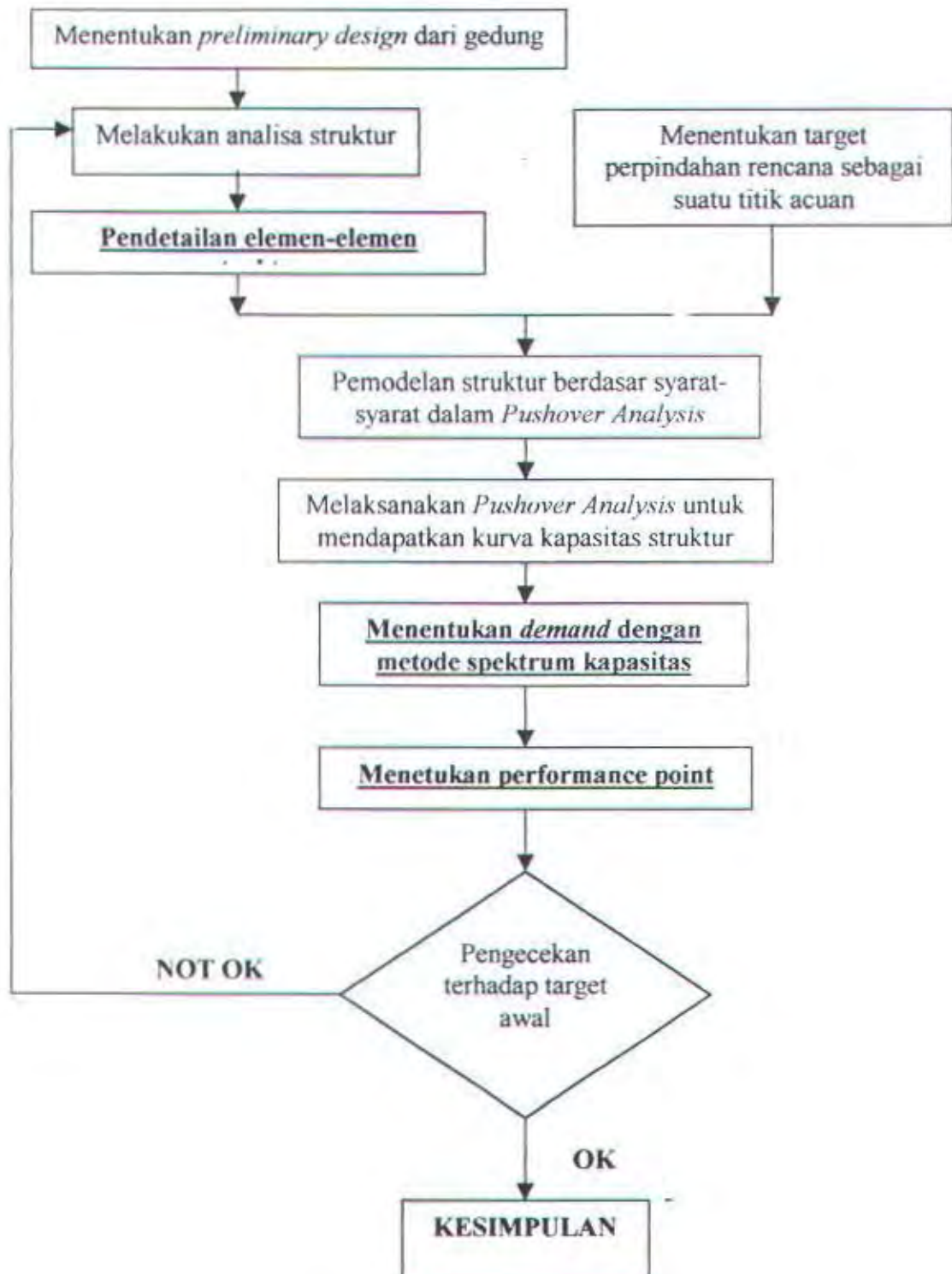


|              | Slope Ratio $[(a_{pl}/a_y) - 1] / [(d_{pl}/d_y) - 1]$ |     |     |     |     |      |    |
|--------------|---|-----|-----|-----|-----|------|----|
| $d_{pl}/d_y$ | 0.5   | 0.4 | 0.3 | 0.2 | 0.1 | 0.05 | 0  |
| 10           | 7   | 7   | 9   | 10  | 14  | 17   | 20 |
| 8            | 7   | 8   | 9   | 11  | 15  | 18   | 20 |
| 6            | 7   | 9   | 10  | 12  | 16  | 18   | 20 |
| 4            | 8   | 9   | 11  | 13  | 16  | 18   | 20 |
| 3            | 9   | 10  | 11  | 13  | 16  | 17   | 19 |
| 2            | 9   | 10  | 11  | 12  | 14  | 15   | 16 |
| 1.5          | 8   | 9   | 9   | 10  | 11  | 11   | 11 |
| 1.25         | 7   | 7   | 8   | 8   | 9   | 9    | 9  |

Tabel 3-4. Effectif dampng,  $\beta_{eff}$ , dalam %

Structral Behavior Type C

Untuk kemudahan dalam perhitungan maka *pushover* dilakukan dengan bantuan program SAP 2000. Hasil dari *output* SAP 2000 mengenai *displacement* terbesar dibandingkan dengan displacement rencana dengan toleransi sebesar 5%, apabila hasil *output* SAP 2000 kurang dari rencana maka perlu adanya perubahan struktur.



Gambar 3.13. Flowchart Metodologi

## BAB IV

### DASAR TEORI

#### 4.1. KONSEP FORCED BASED DESIGN

*Forced based design* merupakan konsep yang umum digunakan oleh para perencana dalam perencanaan gedung bertingkat. Dimana dikatakan dalam konsep ini bahwa perencanaan gedung didasarkan pada besaran kapasitas (*demand*) dan tuntutan gaya gempa (*capacity*), dimana nilai *capacity* tidak boleh lebih kecil dari *demand* yang ada. Dalam konsep ini struktur yang ada mengandalkan kekakuan, kekuatan, dan daktilitas untuk melawan beban-beban yang diterima oleh struktur yang ada. Dalam *forced-based design* dibuat sedemikian rupa agar kapasitas struktur yang ada lebih besar daripada beban yang ada.

Konsep memulai perencanaan dengan mengestimasi periode getar alami struktur, kemudian dengan memperhatikan massa gedung dan percepatan getaran gempa dihitung tuntutan gaya gempa. Setelah diketahui besarnya tuntutan gaya gempa maka proses desain dilanjutkan dengan analisa struktur untuk mendapatkan gaya-gaya dalam dari struktur yang ada yaitu gaya aksial (*P*), gaya normal (*V*), dan momen (*M*). Lalu dilanjutkan dengan pendetailan kebutuhan tulangan dari struktur dengan memperhatikan gaya-gaya dalam yang ada.

Pada perhitungan yang mengandalkan kekuatan untuk melawan beban-beban yang ada, seperti dalam konsep *forced-based design*, menganggap gedung akan berperilaku secara elastis. Keuntungan dari analisa secara elastis adalah kemudahan dalam perhitungan. Tetapi konsep yang menganggap gedung bersifat elastis ini memiliki kelemahan yaitu dengan diabaikannya kerusakan struktur yang merupakan penyebab dari kegagalan suatu struktur yang ada. Kerusakan struktur yang terjadi terutama disebabkan oleh keruntuhan sebagai akibat dari kerusakan dan deformasi yang berlebihan dari struktur yang ada. Dan dalam *forced-based design* hubungan antara kekuatan dan kerusakan sangatlah tidak jelas ( Priestly 2000 ).

#### 4.2. KONSEP PERFORMANCE BASED DESIGN

*Performance-Based Design* merupakan metodologi dimana kriteria struktur dinyatakan dalam persyaratan untuk mencapai sasaran daya guna yang diinginkan. Konsep ini dimulai dengan menetapkan *performance level* dari gedung yang didesain dengan memperhatikan kerugian material bangunan, kematian penghuni gedung dan kerugian faungsi bangunan paska gempa.

Tingkatan kinerja (*Performance Level*) mendeskripsikan suatu kondisi batasan kerusakan yang masih dianggap layak bagi gedung tersebut (ATC-40). Adapun empat tingkatan kinerja yang paling umum dan lazim di jumpai adalah sebagai berikut (ATC-40, FEMA 273)

1. **Operasional** (*Operational*) : Ini adalah suatu tingkatan kinerja yang berhubungan dengan fungsi dan pelayanan gedung. Kerusakan terhadap struktur gedung yang aman tidak perlu lagi diragukan, dan semua jenis perbaikan yang perlu hanyalah kecil serta dapat dilakukan tanpa mengganggu aktivitas para pemakai gedung.
2. **Penempatan Segera** (*Immediate Occupancy*) : Tingkatan ini berhubungan dengan kriteria yang paling luas yang berhubungan dengan fasilitas – fasilitas penting. Ruangan – ruangan dalam gedung maupun semua sistemnya diharapkan untuk bisa dipergunakan secara cukup beralasan, akan tetapi kesinambungan dari semua pelayanan, baik primer ataupun cadangan, tidaklah perlu diprioritaskan.
3. **Keselamatan Jiwa** (*Life Safety*) : Tingkatan ini dimaksudkan untuk mencapai suatu kondisi kerusakan yang memiliki ancaman serendah mungkin terhadap keselamatan jiwa manusia, baik akibat dari kerusakan struktural maupun akibat robohnya elemen – elemen nonstruktural gedung.
4. **Stabilitas Struktur** (*Structural Stability*) : Tingkatan ini adalah tingkatan yang membatasi kondisi kerusakan gedung setelah gempa terjadi, dimana rangka utama gedung harus mampu menahan semua beban vertikal yang mewakili sistem serta kestabilan harus terjaga. Ada kemungkinan terjadinya ancaman terhadap keselamatan jiwa manusia baik yang diakibatkan oleh jatuhnya elemen-elemen struktural, ataupun akibat kerusakan struktural gedung.

Peninjauan kinerja dari elemen – elemen non struktural tidak lagi diperhatikan, sehingga tingkat kinerjanya amatlah diragukan.

Keunggulan dari konsep ini adalah kemampuannya untuk menunjukkan keadaan riil gedung pada saat menerima gaya gempa. Gedung akan bersifat non-linear pada saat menerima beban gempa. Secara umum dijelaskan bahwa analisa non-linear dibagi menjadi 2 metode yaitu analisa statik non-linear ( atau yang disebut *pushover analysis* ) dan analisa dinamik non-linear ( atau yang disebut analisa riwayat waktu ).

## BAB V

### PERENCANAAN STRUKTUR SEKUNDER

Dalam perencanaan suatu gedung, perencanaan struktur sekunder harus dipisahkan dari perencanaan struktur utama, hal ini dikarenakan struktur sekunder dirancang hanya menerima lentur saja dan hanya meneruskan gaya lateral akibat gempa. Tetapi struktur sekunder tetap mempengaruhi struktur utama yang ada, yaitu sebagai beban pada saat perencanaan struktur utama. Dan dalam tugas akhir ini struktur sekunder yang dibahas meliputi struktur pelat, tangga, dan balok anak.

#### 5.1. Balok

Dengan mengacu pada peraturan SK SNI – 03 – xxxx – 2001 pada tabel 9.5( a ) maka perencanaan balok yang terdapat pada dua tumpuan sederhana memiliki tebal minimum:

$$h_{\min} = \frac{1}{16} L$$

dengan :

$h_{\min}$  = tebal minimum balok ( mm )

L = panjang bentang ( mm )

##### 5.1.1. Perencanaan Balok Memanjang

$$L = 8000 \text{ mm}$$

Maka :

$$h_{\min} = \frac{1}{16} \times 8000$$

$$= 500 \text{ mm} \rightarrow \text{diambil } h = 600 \text{ mm}$$

$$b = \frac{2}{3} \times h$$

$$= \frac{2}{3} \times 600$$

$$= 400 \text{ mm} \rightarrow \text{diambil } b = 400 \text{ mm}$$

Jadi balok memanjang memiliki dimensi 400 x 600 mm

### 5.1.2. Perencanaan Balok Melintang

$$L = 7000 \text{ mm}$$

Maka :

$$\begin{aligned} h_{\min} &= \frac{1}{16} \times 7000 \\ &= 437,5 \text{ mm} \rightarrow \text{diambil } h = 500 \text{ mm} \end{aligned}$$

$$\begin{aligned} b &= \frac{2}{3} \times 500 \\ &= 333,5 \text{ mm} \rightarrow \text{diambil } b = 350 \text{ mm} \end{aligned}$$

Jadi balok melintang memiliki dimensi  $350 \times 500 \text{ mm}$

### 5.2. Kolom

Kolom pada perencanaan gedung ini dibuat tipikal, ini dimaksudkan untuk kemudahan dalam hal pembuatan atau pemesanan bekisting kolom

- Perkiraan beban pelat atap adalah  $700 \text{ kg/m}^2$
- Perkiraan beban pelat lantai adalah  $1000 \text{ kg/m}^2$

Jadi total beban yang ditanggung oleh kolom adalah :

$$\begin{aligned} Nuk &= (7 \times 8 \times 1000) \times 9 + (7 \times 8 \times 700) \\ &= 504000 + 39200 \\ &= 543200 \text{ kg} \end{aligned}$$

Seperti yang telah diketahui bahwa rumus tegangan ijin adalah :

$$\begin{aligned} \bar{f}_c &= \frac{Nuk}{A} \\ A &= \frac{Nuk}{\bar{f}_c} = \frac{Nuk}{\frac{1}{3} f_{c'}} = \frac{543200}{\frac{1}{3} \cdot 300} = 5432 \text{ cm}^2 \end{aligned}$$

$$A = b \times b = 5432 \text{ cm}^2$$

$$b = 73 \text{ cm}$$

Jadi diambil ukuran kolom sebesar  $75 \times 75 \text{ cm}$

### 5.3. Pelat

#### 5.3.1. Perencanaan Pelat

Dalam SK SNI – 03 – xxxx – 2001 pasal 9.5.3.3 disebutkan bahwa :

- Untuk  $\alpha_m$  lebih besar dari 0,2 dan tidak boleh lebih dari 2 maka tebal pelat minimum :

$$h = \frac{l_n \left( 0,8 + \frac{f_y}{1500} \right)}{36 + 5\beta(\alpha_m - 0,2)}$$

dan tidak boleh kurang dari 120 mm

- Untuk  $\alpha_m$  lebih besar dari 2 maka tebal pelat minimum :

$$h = \frac{l_n \left( 0,8 + \frac{f_y}{1500} \right)}{36 + 9\beta}$$

dan tidak boleh kurang dari 90 mm

Maka direncanakan :

- Tebal pelat lantai = 15 cm
- Tebal pelat atap = 14 cm

Kontrol Tebal Pelat Lantai

$$L_n = 700 - 40 = 660 \text{ cm}$$

$$S_n = 400 - (35 + 30) / 2 = 367,5 \text{ cm}$$

$$\beta = \frac{L_n}{S_n} = \frac{660}{367,5} = 1,7959 < 2$$

Karena  $\beta < 2$  maka sistem pelat dua arah

- Balok 40 / 60 cm

$$\begin{aligned} b_{e1} &= bw + 2.(h - t) \\ &= 40 + 2.(60 - 15) \\ &= 130 \text{ cm} \end{aligned}$$

$$\begin{aligned} b_{e2} &= bw + 8 \times t \\ &= 40 + 8 \times 15 \\ &= 160 \text{ cm} \end{aligned}$$

$$\text{jadi } b_e = 130 \text{ cm}$$



Gambar 5.1 Pelat

$$\begin{aligned}
 k &= \frac{1 + \left( \frac{b_e}{b_w} - 1 \right) \left( \frac{t}{h} \right) \left( 4 - 6 \left( \frac{t}{h} \right) + 4 \left( \frac{t}{h} \right)^2 + \left( \frac{b_e}{b_w} - 1 \right) \left( \frac{t}{h} \right)^3 \right)}{1 + \left( \frac{b_e}{b_w} - 1 \right) \left( \frac{t}{h} \right)} \\
 &\quad - \frac{1 + \left( \frac{130}{40} - 1 \right) \left( \frac{15}{60} \right) \left( 4 - 6 \left( \frac{15}{60} \right) + 4 \left( \frac{15}{60} \right)^2 + \left( \frac{130}{40} - 1 \right) \left( \frac{15}{60} \right)^3 \right)}{1 + \left( \frac{130}{40} - 1 \right) \left( \frac{15}{60} \right)} \\
 &= 2,446
 \end{aligned}$$

$$I_h = \frac{k \cdot b_w \cdot h^4}{12} = \frac{2,446 \cdot 40 \cdot 60^3}{12} = 1760850 \text{ cm}^4$$

$$I_s = \frac{b_e \cdot t^4}{12} = \frac{700 \cdot 15^3}{12} = 196875 \text{ cm}^4$$

$$\alpha = \frac{I_h}{I_s} = \frac{1760850}{196875} = 8,94$$

- Balok 35 / 50 cm

$$b_{e1} = 35 + 2 \cdot (50 - 15) = 105 \text{ cm}$$

$$b_{e2} = 35 + 8 \cdot 15 = 155 \text{ cm}$$

jadi  $b_e = 105 \text{ cm}$

$$k = 1,605$$

$$I_b = 585156,25 \text{ cm}^4$$

$$I_s = 112500 \text{ cm}^4$$

$$\alpha = 5,20$$

- Balok 30 / 50 cm

$$b_{e1} = 30 + 2 \cdot (50 - 15) = 100 \text{ cm}$$

$$b_{e2} = 30 + 8 \cdot 15 = 150 \text{ cm}$$

jadi  $b_e = 100 \text{ cm}$

$$k = 2,614$$

$$I_b = 816954,66 \text{ cm}^4$$

$$I_s = 112500 \text{ cm}^4$$

$$\alpha = 7,26$$

Jadi :

$$\alpha_m = \sqrt[3]{(8,94 + 5,2 + 7,26)} = 7,133$$

Karena  $\alpha_m > 2$  maka tebal pelat minimum :

$$h_{min} = \frac{660 \left( 0,8 + \frac{400}{1500} \right)}{36 + 9,179} = 13,5 \text{ cm}$$

Jadi tebal pelat = 15 cm dapat digunakan karena lebih besar daripada

$$h_{min} = 13,5 \text{ cm}$$

Untuk tebal plat atap, dengan cara yang sama didapatkan  $h_{min} = 13,5 \text{ cm}$ , jadi perencanaan tebal pelat 14 cm memenuhi syarat.

#### Data Perencanaan

- Mutu beton  $f'_c$  = 30 Mpa
- Mutu baja  $f_y$  = 400 Mpa
- Tebal pelat atap = 14 cm
- Tebal pelat lantai = 15 cm

#### 5.3.2. Pembebaan Pelat :

##### a. Pelat Atap

Beban mati :

|                         |                      |                         |
|-------------------------|----------------------|-------------------------|
| ▪ Berat sendiri         | : $0,14 \times 2400$ | = $336 \text{ kg/m}^2$  |
| ▪ Plafond + penggantung | : $11 + 7$           | = $18 \text{ kg/m}^2$   |
| ▪ Finishing             |                      | = $21 \text{ kg/m}^2$   |
| ▪ Aspal ( 1 cm )        | : $0,01 \times 1400$ | = $14 \text{ kg/m}^2$   |
| ▪ Pasir ( 1 cm )        | : $0,01 \times 1600$ | = $16 \text{ kg/m}^2$   |
| ▪ AC + perpipaan        |                      | = $40 \text{ kg/m}^2$ + |
|                         | DL                   | = $445 \text{ kg/m}$    |

Beban hidup

$$LL = 100 \text{ kg/m}$$

$$q_u = 1,2 \text{ DL} + 1,6 \text{ LL}$$

$$= 1,2 ( 445 ) + 1,6 ( 100 )$$

$$= 694 \text{ kg/m}^2$$

b. Pelat Lantai

Beban mati :

- Berat sendiri :  $0,15 \times 2400 = 360 \text{ kg/m}^2$
- Plafond + penggantung :  $11 + 7 = 18 \text{ kg/m}^2$
- Spesi ( 1 cm ) :  $1 \times 21 = 21 \text{ kg/m}^2$
- Tegel ( keramik ) :  $1 \times 24 = 24 \text{ kg/m}^2$
- AC + perpipaan :  $= 40 \text{ kg/m}^2$
- Dinding partisi :  $[(270 \times 4) \times 14] / [(21 \times 56) - 2 \times (4 + 4) \times 7)] = 14,2 \text{ kg/m}^2 +$   
DL  $= 477,2 \text{ kg/m}^2$

Beban hidup ( lantai perkatoran ) LL  $= 250 \text{ kg/m}^2$

$$\begin{aligned} Q_u &= 1,2 \text{ DL} + 1,6 \text{ LL} \\ &= 1,2 (477,2) + 1,6 (250) \\ &= 972,64 \text{ kg/m} \end{aligned}$$

### 5.3.3. Perencanaan Penulangan Pelat

➢ Rasio tulangan

$$f'c = 30 \text{ Mpa} \rightarrow \beta = 0,85 \quad (\text{SK SNI 03 - xxxx - 2001 Ps. 10.2.7.3.})$$

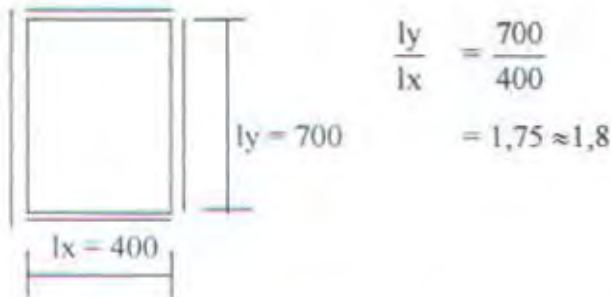
$$\begin{aligned} p_t &= \frac{0,85 \times \beta \times f'c}{f_y} \left( \frac{600}{600 + f_y} \right) \quad (\text{SK SNI 03 - xxxx - 2001 Ps. 8.4.3.}) \\ &= \frac{0,85 \times 0,85 \times 30}{400} \left( \frac{600}{600 + 400} \right) = 0,0325 \end{aligned}$$

$$\begin{aligned} p_{max} &= 0,75 \times p_t \quad (\text{SK SNI 03 - xxxx - 2001 Ps. 10.3.3.}) \\ &= 0,75 \times 0,0325 = 0,02475 \end{aligned}$$

$$p_{min} = \frac{1,4}{f_y} = \frac{1,4}{400} = 0,0035 \quad (\text{SK SNI 03 - xxxx - 2001 Ps. 10.5})$$

$$m = \frac{f_y}{0,85 f'c} = \frac{400}{0,85 \times 30} = 15,686$$

➤ Pelat Lantai



$$M_{lx} = 0,001 \times q \times l_x^2 \times 60 = 0,001 \times 972,64 \times 4^2 \times 60 = 933,734 \text{ kgm}$$

$$M_{ly} = 0,001 \times q \times l_x^2 \times 35 = 0,001 \times 972,64 \times 4^2 \times 35 = 544,678 \text{ kgm}$$

$$M_{tx} = -0,001 \times q \times l_x^2 \times 60 = -0,001 \times 972,64 \times 4^2 \times 60 = -933,734 \text{ kgm}$$

$$M_{ty} = -0,001 \times q \times l_x^2 \times 35 = -0,001 \times 972,64 \times 4^2 \times 35 = -544,678 \text{ kgm}$$

Tebal pelat lantai ( t ) = 15 cm

Decking diambil = 25 mm

Diameter tulangan ( φ ) = 10 mm



Gambar 5.2. Potongan Pelat

- Tulangan arah x

Lapangan

b = 1000 mm

$$dx = 150 - 25 - \frac{1}{2}(10) = 120 \text{ mm}$$

$$\begin{aligned} R_n &= \frac{Mu}{\phi \cdot b \cdot dx^2} \\ &= \frac{933,734 \cdot 10^4}{0,8 \cdot 1000 \cdot 120^2} \\ &= 0,81 \end{aligned}$$

$$\rho = \frac{1}{m} \left[ 1 - \sqrt{1 - \frac{2 \cdot m \cdot R_n}{f_y}} \right]$$

$$= \frac{1}{15,686} \left[ 1 - \sqrt{1 - \frac{2 \cdot 15,686 \cdot 0,81}{400}} \right]$$

$$= 0,0021 < \rho_{min} = 0,0035$$

$$\rho_{perlu} = 0,0035$$

$$As_{perlu} = 0,0035 \cdot 1000 \cdot 120$$

$$= 420 \text{ mm}^2$$

Diambil tulangan  $\phi 10 - 150$  ( $As = 523,60 \text{ mm}^2$ )

#### Tumpuan

$$R_n = \frac{933,734 \cdot 10^4}{0,8 \cdot 1000 \cdot 120^2}$$

$$= 0,81$$

$$\rho = 0,0021 < \rho_{min}$$

$$\rho_{perlu} = 0,0035$$

$$As_{perlu} = 0,0035 \cdot 1000 \cdot 120$$

$$= 420 \text{ mm}^2$$

Diambil tulangan  $\phi 10 - 150$  ( $As = 523,60 \text{ mm}^2$ )

- Tulangan Arah y

#### Lapangan

$$dy = 150 - 25 - 10 - \frac{1}{2}(10) = 110 \text{ mm}$$

$$R_n = \frac{544,678 \cdot 10^4}{0,8 \cdot 1000 \cdot 110^2}$$

$$= 0,56$$

$$\rho = 0,0012 < \rho_{min}$$

$$\rho_{perlu} = 0,0035$$

$$As_{perlu} = 0,0035 \cdot 1000 \cdot 110$$

$$= 385 \text{ mm}^2$$

Diambil tulangan  $\phi 10 - 200$  (  $A_s = 392,70 \text{ mm}^2$  )

#### Tumpuan

$$R_n = \frac{544,678 \cdot 10^4}{0,8 \cdot 1000 \cdot 110^2}$$

$$= 0,56$$

$$\rho = 0,0012 < \rho_{\min}$$

$$\rho_{\text{perlu}} = 0,0035$$

$$A_{s\text{perlu}} = 0,0035 \cdot 1000 \cdot 110$$

$$= 385 \text{ mm}^2$$

Diambil tulangan  $\phi 10 - 200$  (  $A_s = 392,70 \text{ mm}^2$  )

#### ➤ Pelat Atap

Data perencanaan :

$$\text{Tebal pelat} = 14 \text{ cm}$$

$$\text{Decking} = 40 \text{ cm}$$

$$\text{Beban merata} = 694 \text{ kg/m}^2$$

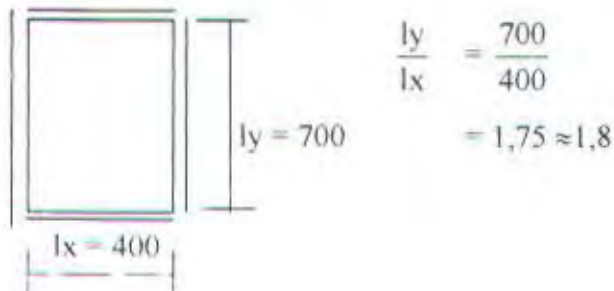
Dengan cara yang sama dengan plat lantai, didapatkan tulangan pelat atap terpasang :

Arah x =  $\phi 10 - 150$  (  $A_s = 523,60 \text{ mm}^2$  )

Arah y =  $\phi 10 - 200$  (  $A_s = 392,70 \text{ mm}^2$  )

#### ➤ Pelat Lantai Kamar Mandi / WC

Pada perhitungan plat lantai kamar mandi / wc menurut PPIUG 1983 beban hidupnya sama dengan cafeteria ( ruang pelengkap ) sehingga beban hidup lantainya berbeda dengan lainnya yaitu sebesar  $500 \text{ kg/m}^2$



### Pembebanan

Beban mati lantai sama dengan pelat lantai

$$DL = 477,2 \text{ kg/m}^2$$

Beban hidup lantai kamar mandi :

$$LL = 500 \text{ kg/m}^2$$

$$\begin{aligned}q_u &= 1,2 (477,2) + 1,6 (500) \\&= 1372,64 \text{ kg/m}^2\end{aligned}$$

$$M_{lx} = 0,001 \times q \times lx^2 \times 60 = 0,001 \times 1372,64 \times 4^2 \times 60 = 1317,734 \text{ kNm}$$

$$M_{ly} = 0,001 \times q \times ly^2 \times 35 = 0,001 \times 1372,64 \times 4^2 \times 35 = 768,678 \text{ kNm}$$

$$M_{tx} = -0,001 \times q \times lx^2 \times 60 = -0,001 \times 1372,64 \times 4^2 \times 60 = -1317,734 \text{ kNm}$$

$$M_{ty} = -0,001 \times q \times ly^2 \times 35 = -0,001 \times 1372,64 \times 4^2 \times 35 = -768,678 \text{ kNm}$$

Tebal pelat lantai kamar mandi / wc ( t ) = 15 cm

Decking diambil = 40 mm

Diameter tulangan (  $\phi$  ) = 10 mm



Gambar 5.3. Potongan Pelat

- Tulangan arah x

### Lapangan

$$b = 1000 \text{ mm}$$

$$dx = 150 - 40 - \frac{1}{2} (10) = 105 \text{ mm}$$

$$R_n = \frac{Mu}{\phi \cdot b \cdot dx^2}$$

$$= \frac{1317,734 \cdot 10^4}{0,8 \cdot 1000 \cdot 105^2}$$

$$= 1,494$$

$$\rho = \frac{1}{m} \left[ 1 - \sqrt{1 - \frac{2 \cdot m \cdot R_n}{f_y}} \right]$$

$$= \frac{1}{15,686} \left[ 1 - \sqrt{1 - \frac{2 \cdot 15,686 \cdot 1,494}{400}} \right]$$

$$= 0,0039 > \rho_{\min}$$

$$\rho_{\text{perlu}} = 0,0039$$

$$A_s_{\text{perlu}} = 0,0039 \cdot 1000 \cdot 105$$

$$= 409,5 \text{ mm}^2$$

Diambil tulangan  $\phi 10 - 150$  ( $A_s = 523,60 \text{ mm}^2$ )

#### Tumpuan

$$R_n = \frac{1317,734 \cdot 10^4}{0,8 \cdot 1000 \cdot 105^2}$$

$$= 1,494$$

$$\rho = 0,0039 > \rho_{\min}$$

$$\rho_{\text{perlu}} = 0,0039$$

$$A_s_{\text{perlu}} = 0,0039 \cdot 1000 \cdot 105$$

$$= 409,5 \text{ mm}^2$$

Diambil tulangan  $\phi 10 - 150$  ( $A_s = 523,60 \text{ mm}^2$ )

- Tulangan Arah y

#### Lapangan

$$dy = 150 - 40 - 10 - \frac{1}{2}(10) = 95 \text{ mm}$$

$$R_n = \frac{768,678 \cdot 10^4}{0,8 \cdot 1000 \cdot 95^2}$$

$$= 1,065$$

$$\rho = 0,0027 < \rho_{\min}$$

$$\rho_{\text{perlu}} = 0,0035$$

$$A_s_{\text{perlu}} = 0,0035 \cdot 1000 \cdot 95$$

$$= 332,5 \text{ mm}^2$$

Diambil tulangan  $\phi 10 - 200$  ( $A_s = 392,70 \text{ mm}^2$ )



### Tumpuan

$$R_n = \frac{768,678 \cdot 10^4}{0,8 \cdot 1000 \cdot 95^2}$$

$$= 1,065$$

$$\rho = 0,0027 < \rho_{min}$$

$$\rho_{perlu} = 0,0035$$

$$A_s_{perlu} = 0,0035 \cdot 1000 \cdot 95$$

$$= 332,5 \text{ mm}^2$$

Diambil tulangan  $\phi 10 - 200$  ( $A_s = 392,70 \text{ mm}^2$ )

### 5.4. Tangga

#### 5.4.1. Perencanaan Tangga

Data Perencanaan

- Tinggi lantai = 400 cm
- Lebar tangga = 190 cm
- Lebar bordes = 400 cm
- Tebal pelat dasar tangga = 15 cm
- Tebal pelat bordes = 15 cm
- Tinggi tanjakan ( $t$ ) = 15 cm
- Lebar injakan ( $l$ ) = 30 cm



Gambar 5.4. Denah Tangga dan sistem strukturnya

Kontrol :

$$2 \cdot t + 1 = 2 \cdot (15) + 30 \\ = 60 \text{ cm} \quad (\text{OK})$$

$$\alpha = \arctan \frac{15}{30} \\ = 26,57^\circ$$

$$\text{Jumlah injekan} = 13$$

$$\text{Jumlah tanjakan} = 14$$

$$\sin \alpha = \frac{2tr}{t} = \frac{2tr}{40} = 0,447$$

$$tr = \frac{30 \times 0,447}{2} = 6,71 \text{ cm}$$

$$\begin{aligned} \text{Tebal pelat tangga} &= \text{tebal pelat tangga} + tr \\ &= 15 + 6,71 \\ &= 21,71 \text{ cm} \end{aligned}$$

#### 5.4.2. Pembebaan Tangga

##### a. Pelat Bordes

Beban Mati

|                              |                      |                         |
|------------------------------|----------------------|-------------------------|
| ▪ Berat sendiri              | : $0,15 \times 2400$ | = $360 \text{ kg/m}^2$  |
| ▪ Penutup lantai ( keramik ) |                      | = $24 \text{ kg/m}^2$   |
| ▪ Spesi ( 2 cm )             | : $2 \times 21$      | = $42 \text{ kg/m}^2$   |
| ▪ Sandaran                   |                      | = $50 \text{ kg/m}^2$ + |
|                              | DL                   | = $476 \text{ kg/m}^2$  |

Beban Hidup

$$\text{LL} = 300 \text{ kg/m}^2$$

$$q_u = 4,2 \text{ DL} + 1,6 \text{ LL}$$

$$= 1,2 (476) + 1,6 (300)$$

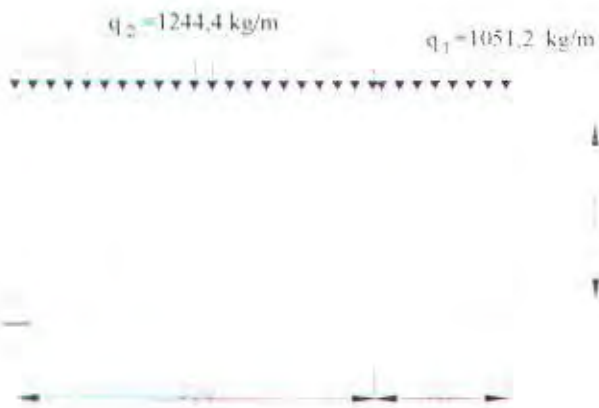
$$= 1051,2 \text{ kg/m}^2$$

##### b. Anak Tangga

Beban Mati

|  |             |                                     |
|--|-------------|-------------------------------------|
| ▪ Berat sendiri ( $t=21,71 \text{ cm}$ ): $0,2171 \times 2400$ | = 521       | $\text{kg/m}^2$                     |
| ▪ Penutup ubin ( keramik )                                     | = 24        | $\text{kg/m}^2$                     |
| ▪ Spesi ( 2 cm )   | = 42        | $\text{kg/m}^2$                     |
| ▪ Sandaran   | <u>= 50</u> | <u><math>\text{kg/m}^2</math></u> + |
|  | DL          | = 637 $\text{kg/m}^2$               |
| Beban Hdup   | LL          | = 300 $\text{kg/m}^2$               |
| $q_u = 1,2 \text{ DL} + 1,6 \text{ LL}$                        |             |                                     |
| = 1,2 ( 637 ) + 1,6 ( 300 )                                    |             |                                     |
| = 1244,4 $\text{kg/m}^2$                                       |             |                                     |

#### 5.4.3. Perencanaan Penulangan Tangga



Gambar 5.5. Pembebanan pada Tangga

Dari hasil analisa menggunakan SAP 2000 didapatkan momen maksimum pada anak tangga sebesar 4076,814 kgm

#### Rasio Tulangan

Direncanakan pada tangga menggunakan tulangan  $\phi = 16 \text{ mm}$

Decking =  $s' = 25 \text{ mm}$

$$\begin{aligned} d' &= s' + \phi/2 \\ &= 25 + 16/2 = 33 \text{ cm} \end{aligned}$$

$$\begin{aligned} d &= t - d' \\ &= 150 - 33 = 117 \text{ mm} \end{aligned}$$

$f_c = 30 \text{ Mpa}$

$f_y = 400 \text{ Mpa}$

$$\rho_b = 0,0325$$

$$\rho_{max} = 0,02475$$

$$\rho_{min} = 0,0035$$

$$m = 15,686$$

### Penulangan Lentur Tangga

$$R_n = \frac{Mu}{\phi b d^2}$$

$$= \frac{4076,814 \times 10^4}{0,8 \times 1000 \times 117^2}$$

$$= 3,72 \text{ Mpa}$$

$$\rho = \frac{1}{m} \left( 1 - \sqrt{1 - \frac{2 \cdot m \cdot Rn}{f_y}} \right)$$

$$= \frac{1}{15,686} \left( 1 - \sqrt{1 - \frac{2 \times 15,686 \times 3,72}{400}} \right)$$

$$= 0,010 > \rho_{min}$$

$$As = \rho \cdot b \cdot d$$

$$= 0,010 \times 1000 \times 117$$

$$= 1170 \text{ mm}^2$$

Dipakai tulangan  $\phi 12 - 140$  dan  $\phi 10 - 140$  ( $As_{total} = 1369 \text{ mm}^2$ )

Tulangan arah melintang :

$$As = 20 \% As \text{ perlu}$$

$$= 20 \% \times 1170$$

$$= 234 \text{ mm}^2$$

Dipakai tulangan  $\phi 10 - 300$

### Penulangan Lentur Bordes

Momen yang terjadi pada bordes didapatkan dengan bantuan SAP 2000, dimana hasilnya adalah sebesar 2835,873 kgm

$$R_s = \frac{Mu}{\phi b d^2}$$

$$= \frac{2835,873 \cdot 10^4}{0,8 \times 1000 \times 122^2}$$

$$= 2,38$$

$$\rho = \frac{1}{15,686} \left( 1 - \sqrt{1 - \frac{2 \times 15,686 \times 2,38}{400}} \right)$$

$$= 0,0063 > \rho_{min}$$

$$As = 0,0063 \times 1000 \times 122$$

$$= 763,361 \text{ mm}^2$$

Dipakai tulangan  $\phi 16 - 250$  ( $As = 804,25 \text{ mm}^2$ )

Tulangan arah melintang :

$$As = 20 \% \times 763,361$$

$$= 152,672 \text{ mm}^2 \rightarrow \text{dipakai tulangan } \phi 10 - 300 \text{ ( $As = 261,80 \text{ mm}^2$ )}$$

#### Tulangan Susut Suhu

Decking yang digunakan sebesar 40 mm

Diameter tulangan direncanakan  $\phi = 8 \text{ mm}$

$$d' = 40 + \frac{1}{2} 8$$

$$= 44 \text{ mm}$$

$$d = t - d'$$

$$= 150 - 44$$

$$= 106 \text{ mm}$$

$$\rho = 0,002$$

$$As_{perlu} = 0,002 \times 1000 \times 106$$

$$= 212 \text{ mm}^2$$

Dipakai tulangan  $\phi 8 - 200$  ( $As = 251,33 \text{ mm}^2$ )

#### 5.4.4. Perhitungan Balok pemikul bordes :

Data-data perencanaan :

- Bentang balok : 4 m
- Dimensi balok bordes : 20 / 40
- Tulangan utama  $\phi = 16 \text{ mm}$
- Tulangan sengkang  $\phi = 10 \text{ mm}$
- Decking =  $s' = 20 \text{ mm}$
- $d = t - (s' + \phi/2)$   
 $= 400 - (20 + 10 + 16/2) = 362 \text{ mm}$
- $\rho_b = 0,0325$
- $\rho_{muk} = 0,02475$
- $\rho_{min} = \frac{1,4}{f_y} = \frac{1,4}{400} = 0,0035$

Beban :

- berat sendiri =  $0,2 \times 0,4 \times 2400 = 192 \text{ kg/m}$
- beban dinding  $\frac{1}{2}$  bata =  $2 \times 250 = 500 \text{ kg/m}$
- beban dari bordes = 2921,86 kg/m
- total = 3613,86 kg/m

#### Tulangan Lapangan :

$$M_L = \frac{1}{11} q J_n^2 = \frac{1}{11} \times 3613,86 \times 4^2 = 5256,52 \text{ kgm}$$

$$Rn = \frac{5256,52}{0,8 \times 0,2 \times 0,362^2} = 250703,962 \text{ kg/m}^2 = 2,507 \text{ Mpa}$$

$$\rho_{perlu} = \frac{1}{m} \left( 1 - \sqrt{1 - \frac{2m, Rn}{f_y}} \right) = 0,0066 > \rho_{min}$$

$$A_{s,perlu} = \rho \cdot b \cdot d = 0,0066 \times 200 \times 362 = 478,586 \text{ mm}^2$$

$$\text{Tulangan terpasang} = 3D16 (\text{As} = 603 \text{ mm}^2)$$

Tulangan Tumpuan

$$M_T = \frac{1}{16} q I_n^2 = \frac{1}{16} \times 3613,86 \times 4^2 = 3613,86 \text{ kgm}$$

$$R_n = \frac{3613,86}{0,8 \times 0,2 \times 0,362^2} = 172359,09 \text{ kg/m}^2 = 1,723 \text{ MPa}$$

$$\rho_{\text{perlu}} = \frac{1}{m} \left( 1 - \sqrt{1 - \frac{2m \cdot R_n}{f_y}} \right) = 0,0045 > \rho_{\text{min}}$$

$$A_{\text{perlu}} = \rho \cdot b \cdot d = 0,0045 \times 200 \times 362 = 323,37 \text{ mm}^2$$

Tulangan terpasang = 2D16 ( As = 402 mm<sup>2</sup> )

Tulangan Geser

$$V_u = \frac{1}{2} \times q_u \times l \\ = \frac{1}{2} \times 3613,86 \times 4 \\ = 7227,72 \text{ kg}$$

$$V_{uk} = \frac{7227,72 \times (0,5 \times 4 - 0,362)}{0,5 \times 4} \\ = 5919,503 \text{ kg} \\ = 59195,03 \text{ N}$$

$$V_c = \frac{1}{6} \sqrt{f_c} \cdot b \cdot w \cdot d \\ = \frac{1}{6} \sqrt{30} \cdot 300 \cdot 362 = 99137,78 \text{ N}$$

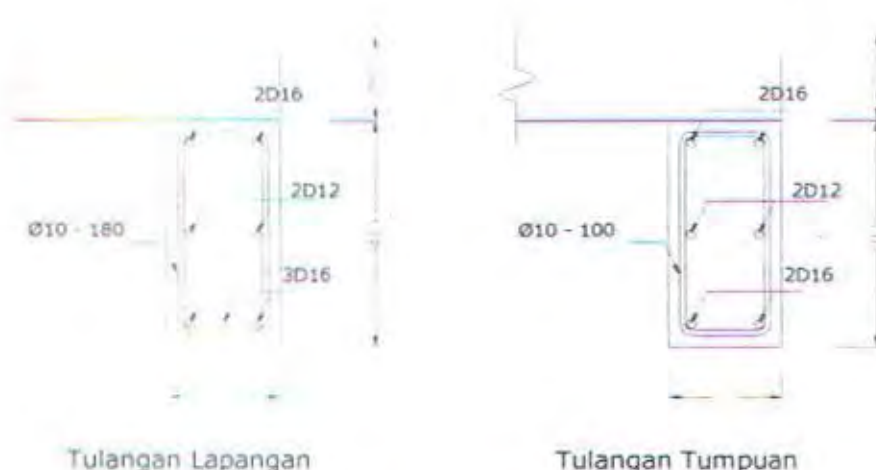
$$\phi V_c = 0,8 \times 99137,78 \\ = 79310,224 \text{ N}$$

$V_u < \phi V_c \rightarrow$  Pasang tulangan geser minimum

jarak sengkang s maksimum adalah : ( SK SNI - 03 - xxxx - 2001 ps. 21.4.4.1 )

$$d/2 = 372 / 2 = 186 \text{ mm}$$

Pasang tulangan geser  $\phi 10 - 100 \rightarrow 180$



Gambar 5.6. Penulangan Balok Bordes

### 5.5. Perencanaan Balok Anak

Untuk pembebanan pelat terhadap balok terdapat dua bentuk beban ekivalen segi tiga dan beban ekivalen trapesium

Gambar 5.7. Tributary Area

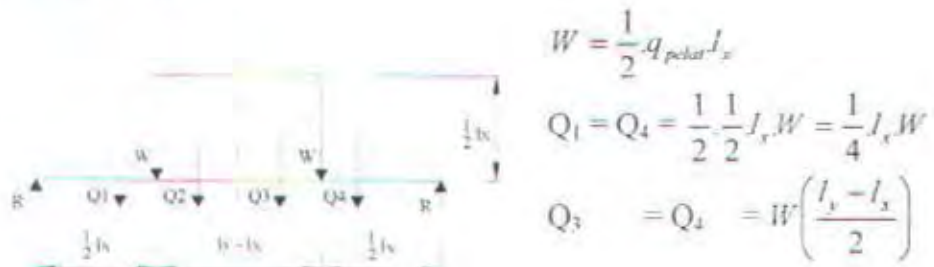
- Beban segitiga

$$\begin{aligned}
 W &= \frac{1}{2}q_{pelat}I_x \\
 Q_1 = Q_2 &= \frac{1}{2} \cdot \frac{1}{2} I_x W = \frac{1}{4} I_x W \\
 R &= \frac{Q_1 + Q_2}{2} = \frac{1}{4} I_x W \\
 M_{max \text{ tengah bentang}} &= \frac{1}{4} I_x W \cdot \frac{1}{2} I_x - \frac{1}{4} I_x W \cdot \frac{1}{3} \cdot \frac{1}{2} I_x \\
 &= \frac{1}{12} I_x^2 W \\
 M_{max \text{ beban terbagi rata}} &= \frac{1}{8} q_{ek} I_x^2
 \end{aligned}$$

Dari kedua persamaan diatas, didapatkan :

$$q_{ek} = \frac{1}{3} q_{polar} I_x$$

✓ Beban Trapesium



$$R = \frac{Q_1 + Q_2 + Q_3 + Q_4}{2} = \frac{1}{4} W (2I_y - I_x)$$

Mmax tengah bentang:

$$M_{max} = \frac{1}{4} W (2I_y - I_x) \frac{1}{2} I_y - \frac{1}{4} I_x W \left( \frac{1}{3} \cdot \frac{1}{2} I_x + \frac{1}{2} (l_y - l_x) \right) - W \left( \frac{l_y - l_x}{2} \right) \frac{1}{4} (l_y - l_x)$$

$$M_{max} \text{ terbagi rata} = \frac{1}{8} q_{eq} I_x^2$$

Dari kedua persamaan diatas, didapatkan :

$$q_{eq} = \frac{1}{2} q_{polar} I_x \left( 1 - \frac{1}{3} \left( \frac{l_x}{l_y} \right)^2 \right)$$

Pada Tugas Akhir ini, hanya direncanakan menggunakan balok anak melintang saja. Untuk balok anak ini sendiri difungsikan hanya untuk meneruskan beban dari plat dengan beban trapesium

### 5.5.1. Perencanaan Balok Anak Atap

$$f_c = 30 \text{ Mpa}$$

$$f_y = 400 \text{ Mpa}$$

$$\text{Ukuran balok anak atap} = 30 \times 50 \text{ cm}^2$$

Beban yang bekerja :

$$\text{Beban trapesium dengan } l_x = 400 \text{ cm} = 4 \text{ m}$$

$$l_y = 700 \text{ cm} = 7 \text{ m}$$

1. Beban Mati :

$$\text{- Berat sendiri} : 0,3 \times 0,5 \times 2400 = 360 \text{ kg/m}$$

$$\text{- Beban plat} : 2 \times \frac{1}{2} \times 445 \times 4 \left( 1 - \frac{1}{3} \left( \frac{4}{7} \right)^2 \right) = 1586,26 \text{ kg/m} + \\ q_D = 1946,26 \text{ kg/m}$$

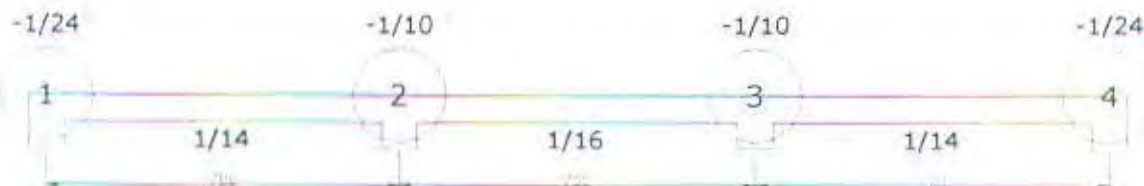
2. Beban Hidup :

$$\text{- Beban plat} : 2 \times \frac{1}{2} \times 100 \times 4 \left( 1 - \frac{1}{3} \left( \frac{4}{7} \right)^2 \right) = q_L = 356,46 \text{ kg/m}$$

$$q_u = 1,2 (q_D) + 1,6 (q_L)$$

$$= 1,2 (1946,26) + 1,6 (356,46)$$

$$= 2905,85 \text{ kg/m}$$



Gambar 5.8. Koefisien Momen Balok Anak

$$M_1 = M_4 = \frac{1}{24} \times q_u \times l^2 = \frac{1}{24} \times 2905,85 \times 7^2 = 5943,77 \text{ kgm}$$

$$M_{12} = M_{34} = \frac{1}{14} \times q_u \times l^2 = \frac{1}{14} \times 2905,85 \times 7^2 = 10170,47 \text{ kgm}$$

$$M_2 = M_3 = \frac{1}{10} \times q_u \times l^2 = \frac{1}{10} \times 2905,85 \times 7^2 = 14238,66 \text{ kgm}$$

$$M_{23} = \frac{1}{16} \times q_u \times l^2 = \frac{1}{16} \times 2905,85 \times 7^2 = 8899,16 \text{ kgm}$$

### Perhitungan Tulangan

Tinggi balok = 500 mm

Penutup beton d' = 40 mm

Direncanakan diameter tulangan longitudinal D19

Direncanakan diameter tulangan sengkang  $\phi 10$

Menurut SK SNI 03 - xxxx - 2001 Ps. 10.5.1

$$A_{s \text{ min}} = \frac{\sqrt{f'c}}{4fy} b w.d = \frac{\sqrt{30}}{4 \times 400} 300 \times 500 = 513,49 \text{ mm}^2$$

$$A_{s \text{ min}} = \frac{1.4}{f_y} b w.d = \frac{1.4}{400} \times 300 \times 500 = 525,00 \text{ mm}^2 (\text{menentukan } !!!)$$

Direncanakan tulangan balok anak yang ada dibuat seragam jadi dalam perhitungan digunakan momen terbesar.

#### Tulangan Tumpuan

$$Mu = 14238,66 \text{ kgm} = 142386600 \text{ Nmm}$$

$$b = 300 \text{ mm}$$

$$\begin{aligned} d &= h - d' - \phi_{\text{sengkang}} - \frac{1}{2} D_{\text{tulangan umum}} \\ &= 500 - 40 - 10 - \frac{1}{2} (19) = 440,5 \text{ mm} = 44,05 \text{ cm} \end{aligned}$$

$$f_y = 400 \text{ Mpa} = 4000 \text{ kg/cm}^2$$

$$f'c = 30 \text{ Mpa} = 300 \text{ kg/cm}^2$$

$$\delta = \frac{As'}{As} = 0,5$$

$$Rn = \frac{(1-\delta).Mu}{\phi.b.d^2} = \frac{(1-0,5).142386600}{0,8.300.440,5^2} = 1,53 \text{ Mpa}$$

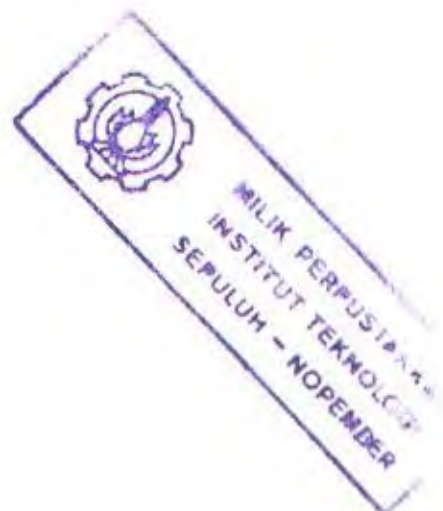
$$\rho\delta = \frac{1}{m} \left(1 - \sqrt{1 - \frac{2.m.Rn}{f_y}}\right) = \frac{1}{15,686} \left(1 - \sqrt{1 - \frac{2.15,686.1,53}{400}}\right) = 0,0039$$

$$\rho' = \frac{\delta.Mu}{0,8.f_y(d-d').b.d} = \frac{0,5.142386600}{0,8.400.(440,5-59,5).300.440,5} = 0,0044$$

$$\rho = \rho\delta + \rho' = 0,0039 + 0,0034 = 0,0083 > \rho_{\text{min}} = 0,0035$$

$$As = \rho.b.d = 0,0083 \cdot 300 \cdot 440,5 = 1096,845 \text{ mm}^2 \rightarrow \text{dipakai tulangan 4 D 19}$$

$$As' = \rho'.b.d = 0,0044 \cdot 300 \cdot 440,5 = 581,46 \text{ mm}^2 \rightarrow \text{dipakai tulangan 3 D 19}$$



#### Tulangan Lapangan

$$Mu = 10170,47 \text{ kgm} = 101704700 \text{ Nmm}$$

$$\text{Bentang balok} = L = 700 \text{ cm}$$

$$\text{Jarak bersih antara balok-balok yang bersebelahan} = L_n = 770 \text{ cm}$$

$$d = 440,5 \text{ mm}$$

Menghitung lebar efektif flens

1.  $be \leq \frac{1}{4}L = \frac{1}{4}700 = 175 \text{ cm}$
  2.  $be \leq bw + 16t = 30 + 16 \times 15 = 270 \text{ cm}$
  3.  $be \leq bw + Ln = 30 + 770 = 800 \text{ cm}$
- $$\left. \begin{array}{l} \\ \\ \end{array} \right\} be = 175 \text{ mm}$$

Direncanakan tulangan lapangan momen positif tulangan ulir 3-D19 mm.

( $As = 850,586 \text{ mm}^2 As > As_{min}$ )

$$c = \frac{As \times f_y}{\beta \times 0,85 \times f'c \times be} = \frac{850,586 \times 400}{0,85 \times 0,85 \times 30 \times 1750} = 8,97 \text{ mm}$$

karena  $c < t$ :  $8,97 \text{ mm} < 140 \text{ mm}$ , maka balok anak adalah balok T palsu dan dianggap sebagai balok persegi biasa.

$$a = c \times \beta = 8,97 \times 0,85 = 7,62 \text{ mm}$$

$$\begin{aligned} \phi.Mn &= \phi.As.f_y \left( d - \frac{a}{2} \right) = 0,8 \times 850,586 \times 400 \times \left( 440,5 - \frac{7,62}{2} \right) \\ &= 118861568,1 \text{ N.mm} \end{aligned}$$

$$Mu = 101704700 \text{ N.mm}$$

$$Mu < \phi.Mn \quad (\text{memenuhi syarat!})$$

maka tulangan lapangan momen positif dipakai tulangan ulir 3-D19 mm

( $As = 850,586 \text{ mm}^2$ )

dan tulangan momen negatif dipakai tulangan ulir 2-D19 mm ( $As' = 567,06 \text{ mm}^2$ )

### Tulangan Geser

- Pada perlakuan 2kn dan 3kr

$$\begin{aligned} V_u &= \frac{1,15}{2} \times q_u \times l \\ &= \frac{1,15}{2} \times 2905,85 \times 7 = 11696,05 \text{ kg} \end{aligned}$$

$$\begin{aligned} V_{uk} &= \frac{V_u(0,5lx - d)}{0,5lx} \\ &= \frac{11696,05 \times (0,5 \times 7 - 0,4405)}{0,5 \times 7} \end{aligned}$$

$$= 10224,02 \text{ kg}$$

$$= 102240,08 \text{ N}$$

$$V_c = \frac{1}{6} \sqrt{f'_c} b w d$$

$$= \frac{1}{6} \sqrt{30} \cdot 300 \cdot 440,5 = 120635,8933 \text{ N}$$

$$\phi V_c = 0,8 \times 120635,8933$$

$$= 96508,712 \text{ N}$$

$$V_u > \phi V_c$$

jarak sengkang s maksimum adalah : ( SK SNI - 03 - xxxx - 2001 ps. 21.4.4.1 )

$$d/2 = 440,5 / 2 = 220,25 \text{ mm}$$

diambil tulangan sengkang  $\phi 10 - 200$

- Pada perlakuan 1, 2kr, 3kn, dan 4

$$V_u = \frac{1}{2} \times q_u \times l$$

$$= \frac{1}{2} \times 2905,85 \times 7$$

$$= 10170,475 \text{ kg}$$

$$V_{uk} = \frac{10170,475 \times (0,5 \times 7 - 0,4405)}{0,5 \times 7}$$

$$= 8890,448 \text{ kg}$$

$$= 88904,48 \text{ N}$$

$$V_c = 120635,8933 \text{ N}$$

$$\phi V_c = 0,8 \times 120635,8933$$

$$= 96508,712 \text{ N}$$

$V_u < \phi V_c \rightarrow$  Pasang tulangan geser minimum

jarak sengkang s maksimum adalah : ( SK SNI - 03 - xxxx - 2001 ps. 21.4.4.1 )

$$d/2 = 440,5 / 2 = 220,25 \text{ mm}$$

diambil tulangan sengkang  $\phi 10 - 200$

Jadi untuk tulangan balok anak atap adalah :

- Tulangan Tumpuan :

Tulangan tarik ( As ) = 4D19

Tulangan tekan ( A's ) = 3D19

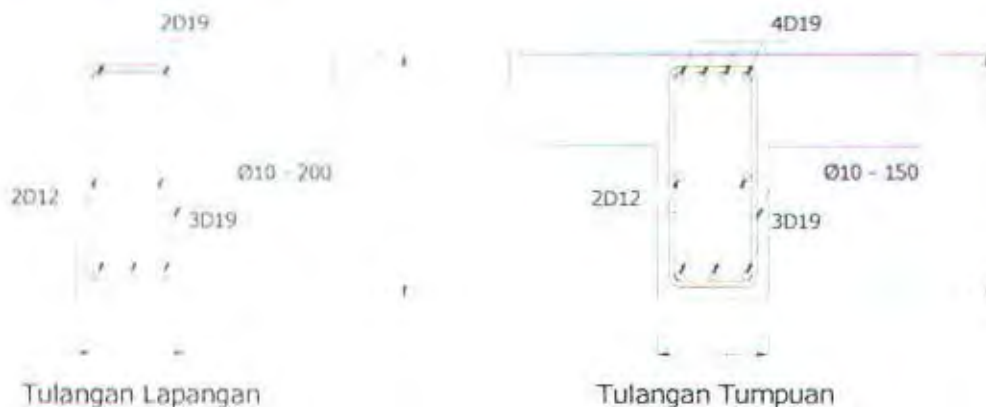
Sengkang  $\phi 10 - 130$

- Tulangan Lapangan

Tulangan tarik ( As ) = 3D19

Tulangan tekan ( A's ) = 2D19

Sengkang =  $\phi 10 - 200$



Gambar 5.9. Penulangan Balok Anak Atap

### 5.5.2. Perencanaan Balok Anak Lantai

Balok anak lantai direncanakan menggunakan dimensi yang sama dengan balok anak pada atap. Dengan pembebanan sebagai berikut :

1. Beban Mati :

$$\text{- Berat sendiri} : 0,3 \times 0,5 \times 2400 = 360 \text{ kg/m}$$

$$\begin{aligned} \text{- Beban plat} &: 2 \times \frac{1}{2} \times 477,2 \times 4 \left( 1 - \frac{1}{3} \left( \frac{4}{7} \right)^2 \right) = 1701,039 \text{ kg/m} \\ q_{\text{D}} &= 2061,839 \text{ kg/m} \end{aligned}$$

2. Beban Hidup :

$$\text{- Beban plat} : 2 \times \frac{1}{2} \times 250 \times 4 \left( 1 - \frac{1}{3} \left( \frac{4}{7} \right)^2 \right) = q_{\text{L}} = 891,156 \text{ kg/m}$$

$$q_{\text{u}} = 1,2 (q_{\text{D}}) + 1,6 (q_{\text{L}})$$

$$= 1,2 (2061,839) + 1,6 (891,156) = 3899,096 \text{ kg/m}$$

Dengan cara yang sama dengan perencanaan balok lantai didapatkan tulangan balok anak lantai sebagai berikut :

- Tulangan Tumpuan :

|                        |                   |
|------------------------|-------------------|
| Tulangan tarik ( As )  | = 6D19            |
| Tulangan tekan ( A's ) | = 3D19            |
| Sengkang               | = $\phi 10 - 150$ |

- Tulangan Lapangan

|                        |                   |
|------------------------|-------------------|
| Tulangan tarik ( As )  | = 4D19            |
| Tulangan tekan ( A's ) | = 2D19            |
| Sengkang               | = $\phi 10 - 200$ |



Gambar 5.10. Penulangan Balok Anak Lantai

## BAB VI

### ANALISA STRUKTUR UTAMA

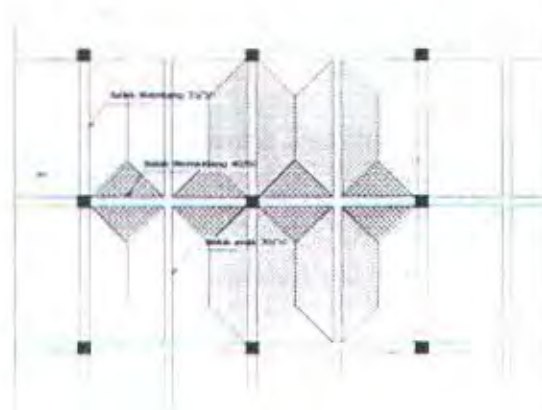
#### 6.1. Data-Data Perencanaan Gedung

Adapun data – data yang digunakan dalam perencanaan gedung adalah :

|                         |                                 |
|-------------------------|---------------------------------|
| Tipe bangunan           | : Perkantoran                   |
| Zona Gempa              | : Zone 6 (SNI 03 - 1726 - 2002) |
| Tinggi Bangunan         | : 40 m                          |
| Lebar Bangunan          | : 21 m                          |
| Panjang Bangunan        | : 56 m                          |
| Mutu Beton              | : 30 Mpa                        |
| Mutu Baja               | : 400 Mpa                       |
| Dimensi Kolom           | : 75 x 75 cm                    |
| Dimensi Balok Memanjang | : 40 x 60 cm                    |
| Dimensi Balok Melintang | : 35 x 50 cm                    |

#### 6.2. Pembebanan Struktur Arah Vertikal.

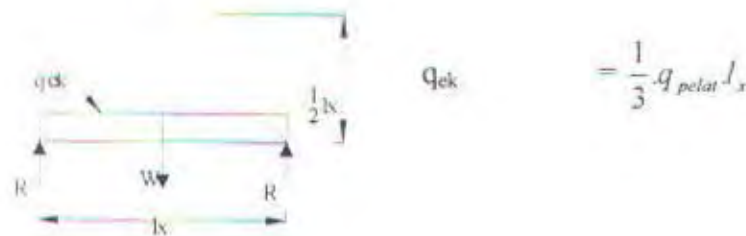
Pembebanan arah vertikal biasa juga disebut dengan beban gravitasi, hal ini disebabkan karena arah beban tersebut searah dengan arah gravitasi. Pembebanan arah vertikal ini merupakan beban yang diterima oleh struktur gedung akibat dari adanya beban yang ada diatasnya. Untuk pembebanan pelat terhadap balok terdapat tiga bentuk yaitu beban ekivalen segi tiga, beban ekivalen trapesium dan beban ekivalen dua segitiga.



Gambar 6.1 Distribusi Beban Pelat pada Balok

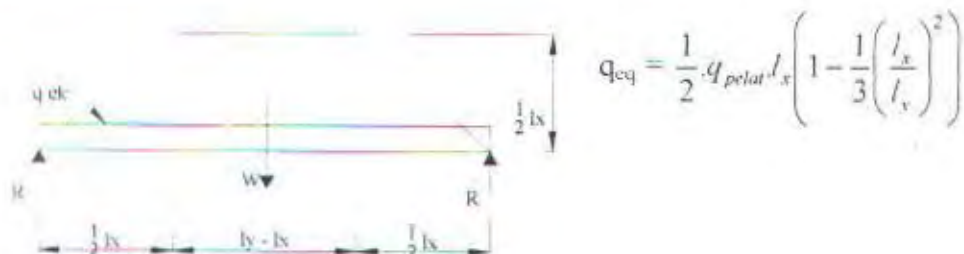
- Beban Pelat yang diterima Balok Memanjang
- Beban Pelat yang diterima Balok Melintang
- Beban Pelat yang diterima Balok Anak

➢ Beban segitiga



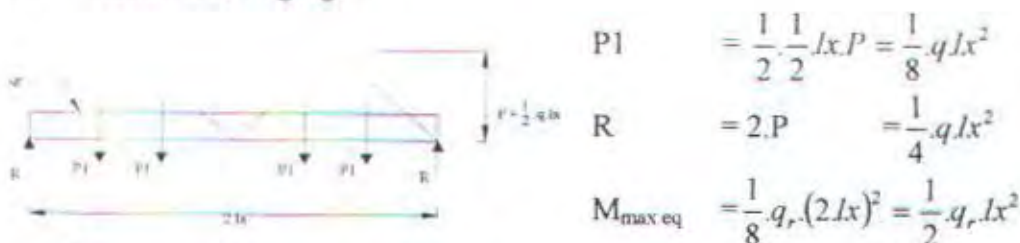
$$= \frac{1}{3} \cdot q_{pelat} l_x$$

➢ Beban Trapezium



$$q_{eq} = \frac{1}{2} \cdot q_{pelat} l_x \left( 1 - \frac{1}{3} \left( \frac{l_x}{l_y} \right)^2 \right)$$

➢ Beban Dua Segitiga



$$P_1 = \frac{1}{2} \cdot \frac{1}{2} l_x P = \frac{1}{8} q l_x^2$$

$$R = 2 \cdot P = \frac{1}{4} q l_x^2$$

$$M_{max\ eq} = \frac{1}{8} q_r (2 l_x)^2 = \frac{1}{2} q_r l_x^2$$

Momen maksimum tengah bentang :

$$\begin{aligned} M_{max} &= R l_x - P_1 \left( l_x - \frac{2}{3} \cdot \frac{1}{2} l_x \right) - P_1 \left( \frac{2}{3} \cdot \frac{1}{2} l_x \right) \\ &= R l_x - P_1 \left( \frac{2}{3} l_x \right) - P_1 \left( \frac{1}{3} l_x \right) \\ &= (R - P_1) l_x \end{aligned}$$

$$\begin{aligned}
 &= \left( \frac{1}{4}qJx^2 - \frac{1}{8}qJx^2 \right) Jx \\
 &= \frac{1}{8}qJx^3 \\
 M_{\max \text{ eq}} &= M_{\max} \\
 \frac{1}{2}qJx^2 &= \frac{1}{8}qJx^3 \\
 q_J &= -\frac{1}{4}qJx \quad \text{kg/m} \quad \dots \dots \dots (6-1)
 \end{aligned}$$

#### 6.2.1. Perhitungan Beban Per Satuan Luas

#### 1. Pembebanan pada lantai

Beban mati :

- Berat sendiri :  $0,15 \times 2400 = 360 \text{ kg/m}^2$
  - Plafon + penggantung :  $11 + 7 = 18 \text{ kg/m}^2$
  - Spesi 1cm :  $0,01 \times 2100 = 21 \text{ kg/m}^2$
  - Tegel ( keramik ) :  $0,01 \times 2400 = 24 \text{ kg/m}^2$
  - AC dan perpipaan :  $= 40 \text{ kg/m}^2$
  - Dinding partisi :  $\frac{[(270 \times 4) \times 14] / [(21 \times 56 - 2 \times (4+4) \times 7]} = 14,2 \text{ kg/m}^2 +$

Beban hidup ( lantai perkantoran )

$$LJ = 250 \text{ kg/m}^2$$

## 2. Pembelahan pada atan

Beban mati

- Berat sendiri :  $0,14 \times 2400 = 336 \text{ kg/m}^2$
  - Plafon + penggantung :  $11 + 7 = 18 \text{ kg/m}^2$
  - Finishing :  $= 21 \text{ kg/m}^2$
  - Aspal ( 1 cm ) :  $0,01 \times 1400 = 14 \text{ kg/m}^2$
  - Pasir ( 1 cm ) :  $0,01 \times 1600 = 16 \text{ kg/m}^2$
  - AC dan perpipaan :  $= 40 \text{ kg/m}^2 +$   
DL  $= 445 \text{ kg/m}^2$

Beban hidup :

- Beban terbagi rata = 100 kg/m
  - Beban hujan = 20 kg/m +
- $$\text{LL} = 120 \text{ kg/m}^2$$

### 6.2.2. Perhitungan Beban Equivalen

Dalam SAP2000 telah tersedia fasilitas untuk memasukkan beban ekivalen (segitiga dan trapesium), yaitu dengan menggunakan perintah *assign frame static load trapezoidal*. Input pembebanan pelat pada balok yang digunakan dalam SAP 2000 dapat dilihat pada lampiran II.

## 6.3. Perhitungan Beban Lateral Akibat Gempa

### 6.3.1. Perhitungan berat total bangunan

1. Berat lantai 10 ( atap )

Beban Mati :

- Pelat :  $(21 \times 56 - 2 \times 7 \times 8) \times 445$  = 473480 kg
  - Balok melintang :  $[0,35 \times 0,5 \times (21 \times 6 + 14 \times 2)] \times 2400$  = 64680 kg
  - Balok anak :  $(0,3 \times 0,5 \times 21) \times 7 \times 2400$  = 52920 kg
  - Balok memanjang :  $(0,40 \times 0,6 \times 56) \times 4 \times 2400$  = 129024 kg
  - Balok lift :  $(0,3 \times 0,5 \times 7) \times 4 \times 2400$  = 10080 kg
  - Shearwall :  $(0,2 \times 7 \times 2) \times 2 \times 2400$  = 13440 kg
  - Kolom :  $(0,75 \times 0,75 \times 2) \times 28 \times 2400$  = 75600 kg +
- $$\text{WD} = 819224 \text{ kg}$$

Beban Hidup ( faktor reduksi yang digunakan adalah sebesar 0,3 )

- Beban merata :  $(21 \times 56 - 2 \times 7 \times 8) \times 100 \times 0,3 = 31920 \text{ kg}$
  - Beban hujan :  $(21 \times 56 - 2 \times 7 \times 8) \times 20 = 21280 \text{ kg}$  +
- $$\text{WL} = 53200 \text{ kg}$$

$$\begin{aligned} W_{\text{atap}} &= \text{WD} + \text{WL} \\ &= 819224 + 53200 \\ &= 872424 \text{ kg} \end{aligned}$$

## 2. Berat lantai 1 - 9

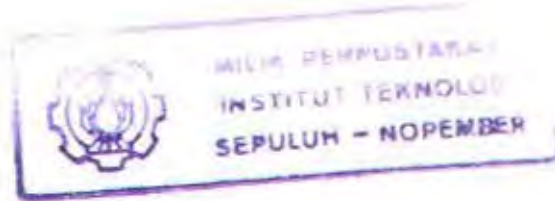
Beban Mati :

- Pelat :  $(21 \times 56 - 2 \times 7 \times 8) \times 477,2 = 507740,8 \text{ kg}$
- Balok melintang :  $[0,35 \times 0,5 \times (21 \times 6 + 14 \times 2)] \times 2400 = 64680 \text{ kg}$
- Balok anak :  $(0,3 \times 0,5 \times 21) \times 7 \times 2400 = 52920 \text{ kg}$
- Balok memanjang :  $(0,4 \times 0,6 \times 56) \times 4 \times 2400 = 129024 \text{ kg}$
- Balok lift :  $(0,3 \times 0,5 \times 7) \times 4 \times 2400 = 10080 \text{ kg}$
- *Shearwall* :  $(0,2 \times 7 \times 4) \times 2 \times 2400 = 26880 \text{ kg}$
- Kolom :  $(0,75 \times 0,75 \times 4) \times 28 \times 2400 = 151200 \text{ kg}$
- Tangga :  $(1,9 \times 3,9 \times 2) \times 637 = 9440,34 \text{ kg}$
- Bordes :  $(1,1 \times 4) \times 476 = 2094,4 \text{ kg}$
- Balok bordes :  $(0,2 \times 0,4) \times 4 \times 2400 = 768 \text{ kg}$
- Kolom tangga :  $(0,2 \times 0,2) \times 2 \times 2400 = 192 \text{ kg} +$   
WD  $= 955019,54 \text{ kg}$

Beban Hidup ( faktor reduksi yang digunakan adalah sebesar 0,3 )

- Beban merata :  $(21 \times 56 - 2 \times 7 \times 8) \times 250 \times 0,3 = 79800 \text{ kg}$   
WL  $= 79800 \text{ kg}$

$$\begin{aligned} W_{\text{lantai}} &= WD + WL \\ &= 955019,54 + 79800 \\ &= 1034819,54 \text{ kg} \end{aligned}$$



### 6.3.2. Perhitungan gaya geser dasar

Pada gedung yang direncanakan terdapat 2 sistem pembebanan gempa. Ini dikarenakan *shear wall* yang terdapat pada gedung ini hanya pada arah melintang saja. Jadi pada perhitungan arah melintang menggunakan sistem *shear wall frame* sedangkan pada arah memanjang menggunakan sistem *open frame*.

#### 6.3.2.1. Pembebaan Gempa Arah Melintang Gedung ( Arah Y )

Zone gempa 6  $\rightarrow \zeta = 0,15$

n = jumlah tingkat gedung  
= 10

Jenis tanah adalah tanah lunak  $\rightarrow A_n = 0,34$

I = 1,0 ( gedung perkantoran )

R = 5,5 ( tabel 3, SNI 03 – 1726 – 2002 )

Periode getar alami struktur (SNI 03 – 1726 – 2002, ps. 5.6) :

$$T = \zeta \times n = 0.15 \times 10 = 1,5 \text{ detik}$$

Dari grafik respon spektrum gempa rencana didapatkan C = 0,61

Perhitungan Gaya Geser Dasar :

$$V = \frac{C_1 I}{R} W_t = \frac{0,61 \times 1}{5,5} \times (10185799,86) = 1129697,803 \text{ kg}$$

#### 6.3.2.1.1. Penyebaran Gaya Geser Secara Vertikal

Setelah diperoleh gaya geser dasar, selanjutnya gaya geser tersebut didistribusikan secara vertikal ke sepanjang tinggi gedung. Penyebaran gaya lateral dilakukan sesuai SNI 03 – 1726 – 2002 dengan rumus berikut ini :

$$V_i = \frac{W_i z_i}{\sum_{i=1}^n W_i z_i} V \quad \dots \dots \dots \quad (6-2)$$

| Lantai | hi ( m ) | Wi ( kg )   | Wi . Hi ( kgm ) | Vi ( kg )   | fiy (arah melintang) |
|--------|----------|-------------|-----------------|-------------|----------------------|
| Atap   | 40       | 872424      | 34896960        | 1129697,803 | 178252,039           |
| 9      | 36       | 1034819,54  | 37253503,44     | 1129697,803 | 190289,153           |
| 8      | 32       | 1034819,54  | 33114225,28     | 1129697,803 | 169145,914           |
| 7      | 28       | 1034819,54  | 28974947,12     | 1129697,803 | 148002,674           |
| 6      | 24       | 1034819,54  | 24835668,96     | 1129697,803 | 126859,435           |
| 5      | 20       | 1034819,54  | 20696390,8      | 1129697,803 | 105716,196           |
| 4      | 16       | 1034819,54  | 16557112,64     | 1129697,803 | 84572,957            |
| 3      | 12       | 1034819,54  | 12417834,48     | 1129697,803 | 63429,718            |
| 2      | 8        | 1034819,54  | 8278556,32      | 1129697,803 | 42286,478            |
| 1      | 4        | 1034819,54  | 4139278,16      | 1129697,803 | 21143,239            |
| Total  |          | 10185799,86 | 221164477,2     |             |                      |

Tabel 6.1. Distribusi Gaya Gempa Dasar Arah Melintang

### 6.3.2.2. Pembebaan Gempa Arah Memanjang Gedung ( Arah X )

Zone gempa 6  $\rightarrow \zeta = 0,15$

n = jumlah tingkat gedung

= 10

Jenis tanah adalah tanah lunak  $\rightarrow A_o = 0,34$

I = 1,0 ( gedung perkantoran )

R = 8,5 ( tabel 3, SNI 03 – 1726 – 2002 )

Periode getar alami struktur ( SNI 03 – 1726 – 2002, ps. 5.6 ) :

$$T = \zeta \times n = 0,15 \times 10 = 1,5 \text{ detik}$$

Dari grafik respon spektrum gempa rencana didapatkan C = 0,61

Dengan cara yang sama didapatkan :

| Lantai | hi ( m ) | Wi ( kg )   | Wi . Hi ( kgm ) | Vi ( kg )   | fix ( arah memanjang ) |
|--------|----------|-------------|-----------------|-------------|------------------------|
| Atap   | 40       | 872424      | 34896960        | 730980,9311 | 115339,555             |
| 9      | 36       | 1034819,54  | 37253503,44     | 730980,9311 | 123128,275             |
| 8      | 32       | 1034819,54  | 33114225,28     | 730980,9311 | 109447,356             |
| 7      | 28       | 1034819,54  | 28974947,12     | 730980,9311 | 95766,436              |
| 6      | 24       | 1034819,54  | 24835668,96     | 730980,9311 | 82085,517              |
| 5      | 20       | 1034819,54  | 20696390,8      | 730980,9311 | 68404,597              |
| 4      | 16       | 1034819,54  | 16557112,64     | 730980,9311 | 54723,678              |
| 3      | 12       | 1034819,54  | 12417834,48     | 730980,9311 | 41042,758              |
| 2      | 8        | 1034819,54  | 8278556,32      | 730980,9311 | 27361,839              |
| 1      | 4        | 1034819,54  | 4139278,16      | 730980,9311 | 13680,919              |
| Total  |          | 10185799,86 | 221164477,2     |             |                        |

Tabel 6.2. Distribusi Gaya Gempa Dasar Arah Memanjang

### 6.3.2.3. Penyebaran Arah Gempa

Didalam SNI 03 – 1726 – 2002 ( 5.8.2) disebutkan bahwa untuk mensimulasikan arah pengaruh gaya gempa rencana yang sembarang terhadap struktur gedung, pengaruh pembebaan gempa dalam arah utama ( arah Y ) harus dianggap lebih efektif 100 % dan harus dianggap terjadi bersamaan dengan pengaruh pembebaan gempa dalam arah tegak lurus pada arah utama pembebaan tadi, tetapi dengan efektifitas hanya 30 %. Jadi arah dan besar gaya gempa yang terjadi pada gedung adalah :

| Lantai | hi<br>( m ) | Wi<br>( kg ) | Wi . Hi<br>( kgm ) | fy<br>(arah melintang) | fx<br>(arah memanjang) |
|--------|-------------|--------------|--------------------|------------------------|------------------------|
| Atap   | 40          | 872424       | 34896960           | 178252,0391            | 34601,86641            |
| 9      | 36          | 1034819,54   | 37253503,44        | 190289,1527            | 36938,48259            |
| 8      | 32          | 1034819,54   | 33114225,28        | 169145,9135            | 32834,20674            |
| 7      | 28          | 1034819,54   | 28974947,12        | 148002,6743            | 28729,9309             |
| 6      | 24          | 1034819,54   | 24835668,96        | 126859,4351            | 24625,65506            |
| 5      | 20          | 1034819,54   | 20696390,8         | 105716,196             | 20521,37921            |
| 4      | 16          | 1034819,54   | 16557112,64        | 84572,95676            | 16417,10337            |
| 3      | 12          | 1034819,54   | 12417834,48        | 63429,71757            | 12312,82753            |
| 2      | 8           | 1034819,54   | 8278556,32         | 42286,47838            | 8208,551686            |
| 1      | 4           | 1034819,54   | 4139278,16         | 21143,23919            | 4104,275843            |
|        | $\Sigma$    | 10185799,86  | 221164477,2        |                        |                        |

Tabel 6.3. Distribusi Gaya Gempa Dasar

#### 6.3.2.4. Waktu Getar Alami Fundamental

Dalam menghitung gaya gempa dasar, waktu getar yang ada harus dikontrol terhadap waktu getar alami fundamental

Dari perhitungan diatas didapatkan nilai  $T_1$  sebesar 1,75 dtk, sehingga dalam perhitungan menggunakan  $T_1 = 1,75$  dtk. Dan didapatkan gaya gempa yang terjadi :

| Lantai | hi<br>( m ) | Wi<br>( kg ) | Wi . hi<br>( kgm ) | fy<br>(arah melintang) | fx<br>(arah memanjang) |
|--------|-------------|--------------|--------------------|------------------------|------------------------|
| Atap   | 40          | 872424       | 34896960           | 158631.7912            | 30793.23006            |
| 9      | 36          | 1034819.54   | 37253503.44        | 169343.9767            | 32872.65429            |
| 8      | 32          | 1034819.54   | 33114225.28        | 150527.9793            | 29220.13715            |
| 7      | 28          | 1034819.54   | 28974947.12        | 131711.9818            | 25567.62               |
| 6      | 24          | 1034819.54   | 24835668.96        | 112895.9844            | 21915.10286            |
| 5      | 20          | 1034819.54   | 20696390.8         | 94079.98703            | 18262.58572            |
| 4      | 16          | 1034819.54   | 16557112.64        | 75263.98963            | 14610.06857            |
| 3      | 12          | 1034819.54   | 12417834.48        | 56447.99222            | 10957.55143            |
| 2      | 8           | 1034819.54   | 8278556.32         | 37631.99481            | 7305.034287            |
| 1      | 4           | 1034819.54   | 4139278.16         | 18815.99741            | 3652.517144            |
|        |             | 10185799.86  | 221164477.2        |                        |                        |

Tabel 6.4. Distribusi gaya Gempa Dasar Hasil Kontrol Rayleigh

#### 6.4.Perhitungan Beban Angin

Beban angin yang diterima oleh gedung menurut PPIUG 1983 adalah sebesar 25 kg/m<sup>2</sup> ( gedung jauh dari pantai )

- Portal memanjang :

  - Portal A dan D :

|              |       |                |   |       |                  |
|--------------|-------|----------------|---|-------|------------------|
| Searah angin | : q = | 25 x 3,5 x 0,9 | = | 78,75 | kg / m ( tekan ) |
|--------------|-------|----------------|---|-------|------------------|

|                |       |                |   |    |                  |
|----------------|-------|----------------|---|----|------------------|
| Belakang angin | : q = | 25 x 3,5 x 0,4 | = | 35 | kg / m ( hisap ) |
|----------------|-------|----------------|---|----|------------------|

  - Portal B dan C :

|              |       |              |   |       |                  |
|--------------|-------|--------------|---|-------|------------------|
| Searah angin | : q = | 25 x 7 x 0,9 | = | 157,5 | kg / m ( tekan ) |
|--------------|-------|--------------|---|-------|------------------|

|                |       |              |   |    |                  |
|----------------|-------|--------------|---|----|------------------|
| Belakang angin | : q = | 25 x 7 x 0,4 | = | 70 | kg / m ( hisap ) |
|----------------|-------|--------------|---|----|------------------|

- Portal melintang :

  - Portal 1 dan 8 :

|              |       |              |   |    |                  |
|--------------|-------|--------------|---|----|------------------|
| Searah angin | : q = | 25 x 4 x 0,9 | = | 90 | kg / m ( tekan ) |
|--------------|-------|--------------|---|----|------------------|

|                |       |              |   |    |                  |
|----------------|-------|--------------|---|----|------------------|
| Belakang angin | : q = | 25 x 4 x 0,4 | = | 40 | kg / m ( hisap ) |
|----------------|-------|--------------|---|----|------------------|

  - Portal 2 - 7 :

|              |       |              |   |     |                  |
|--------------|-------|--------------|---|-----|------------------|
| Searah angin | : q = | 25 x 8 x 0,9 | = | 180 | kg / m ( tekan ) |
|--------------|-------|--------------|---|-----|------------------|

|                |       |              |   |    |                  |
|----------------|-------|--------------|---|----|------------------|
| Belakang angin | : q = | 25 x 8 x 0,4 | = | 80 | kg / m ( hisap ) |
|----------------|-------|--------------|---|----|------------------|

#### 6.5.Kontrol Displacement

Displacement yang terjadi akibat beban gempa yang terjadi harus dikontrol dulu terhadap kinerja batas ultimitnya ( SK SNI 03 – 1726 – 2002 ps. 8.2 ) Hasil output dari simpangan (  $\Delta s$  ) dan simpangan antar tingkat ( interstory drift ) dan batasannya menurut peraturan yang berlaku adalah sebagai berikut:

| Lantai | Tinggi<br>( m ) | $\Delta_s$<br>cm | Drift<br>cm | $\Delta_M$<br>cm | Drift<br>cm | Batasan<br>cm |    |
|--------|-----------------|------------------|-------------|------------------|-------------|---------------|----|
| 10     | 40              | 14.326           | 1.494       | 55.156           | 5.751       | 8.000         | OK |
| 9      | 36              | 12.832           | 1.590       | 49.405           | 6.121       | 8.000         | OK |
| 8      | 32              | 11.243           | 1.675       | 43.284           | 6.450       | 8.000         | OK |
| 7      | 28              | 9.567            | 1.743       | 36.835           | 6.711       | 8.000         | OK |
| 6      | 24              | 7.824            | 1.766       | 30.124           | 6.800       | 8.000         | OK |
| 5      | 20              | 6.058            | 1.723       | 23.323           | 6.633       | 8.000         | OK |
| 4      | 16              | 4.335            | 1.591       | 16.690           | 6.126       | 8.000         | OK |
| 3      | 12              | 2.744            | 1.348       | 10.564           | 5.191       | 8.000         | OK |
| 2      | 8               | 1.396            | 0.973       | 5.373            | 3.747       | 8.000         | OK |
| 1      | 4               | 0.422            | 0.422       | 1.626            | 1.626       | 8.000         | OK |

Tabel 6.5. Simpangan Lateral Akibat Gempa dan Batasannya

## 6.6.Penentuan Target Perpindahan Rencana

Target perpindahan rencana merupakan representasi dari *performance level* yang diinginkan. Dengan kata lain target perpindahan rencana digunakan untuk mengontrol *displacement* hasil *output SAP 2000* sudah memenuhi kriteria yang ada atau belum. Adapun langkah – langkah dalam menentukan target perpindahan rencana adalah sebagai berikut :

Data-data :       $n = 10$  lantai

$$h_{lantai} = 4,0 \text{ m}$$

$$f_y = 400 \text{ MPa}$$

$$E_t = 2,00 \times 10^5 \text{ MPa}$$

$$\epsilon_y = f_y / E_t = 0,0020$$

$$d_b = 12 \text{ mm asumsi diameter tulangan yang akan dipakai}$$

$$l_b = 700 \text{ cm}$$

$$l_w = 700 \text{ cm}$$

$$h_b = 60 \text{ cm}$$

$$I_{kolom} = 2,64 \cdot 10^6 \text{ cm}^4$$

$$I_{shearwall} = 5,72 \cdot 10^8 \text{ cm}^4$$

Asumsi dari MDOF ke SDOF

Batasan Peraturan (untuk rotasi drift ultimate) :

$$\theta_c = 0,025$$

$$\theta_d = \theta_y + \theta_p \leq \theta_c$$

maka nilai akan  $\theta_d$  diambil sama dengan  $\theta_c = 0,025$

#### Struktur Gedung Dianggap Berbentuk Rangka

- Perhitungan Profil Perpindahan Rencana ( $\Delta_i$ )

Profil Perpindahan Rencana ( *design displacement profile* ) untuk *frame* dihitung berdasarkan persamaan :

$$\Delta_i = \theta_d h_i \left(1 - \frac{0.5(n-4)h_i}{16h_n}\right) \quad (6-3)$$

dimana  $\Delta_i$  = simpangan tingkat ke – i

n = jumlah tingkat

$h_i$  = adalah tinggi lantai ke – i.

Hasil perhitungan berdasarkan persamaan ( 6 - 3 ) tersebut bisa dilihat pada tabel berikut ini :

| Tingkat | h (m) | $\Delta_i$ |
|---------|-------|------------|
| 10      | 40    | 0,8125     |
| 9       | 36    | 0,7481     |
| 8       | 32    | 0,6800     |
| 7       | 28    | 0,6081     |
| 6       | 24    | 0,5325     |
| 5       | 20    | 0,4531     |
| 4       | 16    | 0,3700     |
| 3       | 12    | 0,2831     |
| 2       | 8     | 0,1925     |
| 1       | 4     | 0,0981     |

Tabel 6.6. Perhitungan Profil Perpindahan Rencana Frame

- Perhitungan Perpindahan Rencana ( $\Delta_d$ )

Perpindahan rencana / target perpindahan struktur dapat dihitung berdasarkan perumusan :

$$\Delta_d = \frac{\sum_{i=1}^n (m_i \Delta_i^2)}{\sum_{i=1}^n (m_i \Delta_i)} \quad (6-4)$$

Hasil perhitungan berdasarkan rumus (6-4) ditampilkan dalam bentuk tabel berikut ini :

| Tingkat  | h (m) | $m_i$   | $\Delta_i$ | $m_i \Delta_i$ | $m_i \Delta_i^2$ |
|----------|-------|---------|------------|----------------|------------------|
| 10       | 40    | 872424  | 0,8125     | 708844,50      | 575936,16        |
| 9        | 36    | 1034820 | 0,7481     | 774174,37      | 579179,20        |
| 8        | 32    | 1034820 | 0,6800     | 703677,29      | 478500,56        |
| 7        | 28    | 1034820 | 0,6081     | 629299,63      | 382692,84        |
| 6        | 24    | 1034820 | 0,5325     | 551041,41      | 293429,55        |
| 5        | 20    | 1034820 | 0,4531     | 468902,60      | 212471,49        |
| 4        | 16    | 1034820 | 0,3700     | 382883,23      | 141666,80        |
| 3        | 12    | 1034820 | 0,2831     | 292983,28      | 82950,89         |
| 2        | 8     | 1034820 | 0,1925     | 199202,76      | 38346,53         |
| 1        | 4     | 1034820 | 0,0981     | 101541,67      | 9963,78          |
| $\Sigma$ |       |         | 4812550,74 | 2795137,79     |                  |

Tabel 6.7. Perhitungan Target Perpindahan Rencana Frame

sehingga nilai  $\Delta_d$  didapatkan :

$$\Delta_d = 0,581 \text{ m} \quad (\text{menentukan !!!})$$

#### Struktur Gedung Dianggap Berbentuk Dinding ( Shearwall )

Diambil  $\theta_d = \theta_c = 0,025$

Dengan menggunakan rumus yang ada maka panjang sendi plastis :

$$l_p = 2,6 \text{ m} \quad (\text{menentukan})$$

$$l_p = 2,27 \text{ m}$$

- Perhitungan Profil Perpindahan Rencana

Dengan menggunakan rumus :

$$\Delta_i = \frac{2}{3} \varepsilon_y \frac{h_i^2}{l_w} \left( 1,5 - \frac{h_i}{2h_n} \right) + \left( \theta_d - \frac{\varepsilon_y h_n}{l_w} \right) \left( h_i - \frac{l_p}{2} \right) \dots \dots \dots \quad (6-5)$$

Maka dengan rumus 6 – 5 didapatkan profil perpindahan rencana :

| Tingkat | h (m) | $\Delta_i$ |
|---------|-------|------------|
| 10      | 40    | 0,6776     |
| 9       | 36    | 0,6190     |
| 8       | 32    | 0,5532     |
| 7       | 28    | 0,4818     |
| 6       | 24    | 0,4068     |
| 5       | 20    | 0,3300     |
| 4       | 16    | 0,2531     |
| 3       | 12    | 0,1781     |
| 2       | 8     | 0,1068     |
| 1       | 4     | 0,0409     |

Tabel 6.8. Perhitungan Profil Perpindahan Rencana Frame

- Perhitungan Perpindahan Rencana ( $\Delta_d$ )

Dengan menggunakan rumus 6 – 4 yang ada maka didapatkan besarnya perpindahan rencana struktur dinding :

| Tingkat  | h (m) | $m_i$      | $\Delta_i$ | $m_i \Delta_i$ | $m_i \Delta_i^2$ |
|----------|-------|------------|------------|----------------|------------------|
| 10       | 40    | 872424     | 0,6776     | 591150,35      | 400560,66        |
| 9        | 36    | 1034820    | 0,6190     | 640597,64      | 396557,40        |
| 8        | 32    | 1034820    | 0,5532     | 572437,53      | 316658,81        |
| 7        | 28    | 1034820    | 0,4818     | 498600,69      | 240237,69        |
| 6        | 24    | 1034820    | 0,4068     | 420979,37      | 171260,42        |
| 5        | 20    | 1034820    | 0,3300     | 341465,81      | 112675,59        |
| 4        | 16    | 1034820    | 0,2531     | 261952,25      | 66310,09         |
| 3        | 12    | 1034820    | 0,1781     | 184330,93      | 32834,60         |
| 2        | 8     | 1034820    | 0,1068     | 110494,09      | 11798,14         |
| 1        | 4     | 1034820    | 0,0409     | 42333,97       | 1731,86          |
| $\Sigma$ |       | 3664342,63 | 1750625,26 |                |                  |

Tabel 6.9. Perhitungan Target Perpindahan Rencana Dinding

sehingga nilai  $\Delta_d$  didapatkan :

$$\Delta_d = 0,478 \text{ m}$$

- Perhitungan Daktilitas Struktur Rencana ( $\mu_s$ )

Daktilitas struktur dapat dihitung dengan persamaan :

$$\mu_s = \Delta_d / \Delta_y \quad \dots \dots \dots \quad (6-6)$$

Dimana menurut Priestly, nilai  $\Delta_y$  untuk *frame* dirumuskan sebagai :

$$\begin{aligned} \Delta_y &= 0,5 \epsilon_y (l_b / h_b) (0,6 h_n) \\ &= 0,5 * 0,0020 (7 / 0,5) (0,6 * 40) = 0,336 \end{aligned}$$

sehingga :

$$\mu_s = 0,581 / 0,336 = 1,729$$

### 6.7. Analisa Gaya – Gaya Dalam (Analisa Linier)

Setelah semua beban mati, beban hidup, beban gempa dan kombinasinya didapatkan, maka perhitungan untuk memperoleh gaya-gaya dalam komponen struktur dapat dilanjutkan. Untuk proses perhitungan ini, digunakan program bantu SAP 2000.

Pemodelan yang digunakan untuk SAP 2000 adalah struktur rangka akan dimodelkan sebagai *frame*. Untuk pemodelan *frame* akan digunakan pula fasilitas *end-offset* untuk menunjukkan efek penampang dan mendapatkan nilai momen muka kolom untuk perhitungan tulangan balok. Sedangkan efek kekakuan pelat akan diwakili oleh fungsi *constraint diaphragma*.

Untuk menentukan momen rencana pada lokasi potensial terjadinya sendi plastis, analisa linier dari struktur harus didasarkan pada kekakuan elemen struktur pada kondisi respon displacement maksimum. Asumsi ini merupakan salah satu komponen vital dari pemodelan *substitute structure* (Shibata and Shozan, 1976) yang digunakan dalam analisa *performance-based design* ini.

Dengan kata lain, kekakuan untuk balok harus didasarkan pada kekakuan elastis penampang retak yang direduksi dengan tingkat daktilitas struktur. Sedangkan untuk kolom, karena kolom akan terlindung dari perilaku inelastis oleh prosedur desain kapasitas maka kekakuananya adalah kekakuan elastis penampang retak tanpa reduksi tingkat daktilitas. Atau bila ditunjukkan melalui persamaan berikut :

$$\text{Balok} \quad I_b = I_{cr} / \mu_s \quad (6-7a)$$

$$\text{Kolom} \quad I_c = I_{cr} \quad (6-7b)$$

$$\text{Dinding} \quad I_w = I_{cr} \quad (6-7c)$$

Kekakuan elastis penampang retak untuk berbagai jenis elemen struktur diberikan dalam tabel (5.1) berikut sesuai SKSNI - 03 - xxxx - 2001 ps.10.11.1

| Elemen Struktur | $I_{cr}$   |
|-----------------|------------|
| Balok           | $0,35 I_g$ |
| Kolom           | $0,7 I_g$  |
| Dinding         | $0,7 I_g$  |

Tabel 6.10. Nilai Momen Inersia Penampang Retak

Untuk *input* dan *output* hasil running SAP 2000 ini, dapat dilihat dalam lampiran II.

## 6.8. Perhitungan Penulangan

Adapun perhitungan penulangan balok, kolom, dan *shearwall* mengacu pada SK SNI - 03 - xxxx - 2001.

Untuk menunjukkan langkah – langkah perhitungan , diambil contoh balok dan kolom yang terdapat pada portal melintang lantai 3.

### 6.8.1. Redistribusi Momen Tumpuan Balok

Tujuan utama dari redistribusi momen adalah agar bisa didapatkan pengaturan tulangan yang seragam dan lebih sederhana, karena nilai momen negatif dan positif bisa dibuat hampir bernilai sama. Secara sederhana redistribusi momen dilakukan dengan cara mengurangi momen maksimum absolut ( biasanya momen negatif ) dan dikompensasikan dengan menambah nilai momen didaerah non-kritis ( biasanya momen positif ).

Bebberapa hal penting yang perlu diperhatikan dalam melakukan redistribusi momen antara lain :

1. Menurut Paulay, Priestly nilai reduksi momen negatif maksimum tidak boleh melebihi 30 % dari nilai momen tersebut. Batasan ini diambil untuk memastikan

agar sendi plastis tidak timbul terlalu dini pada balok hanya akibat gempa kecil / sedang.

- Ekuilibrium momen sebelum dan sesudah proses redistribusi harus tetap dipertahankan. Atau dengan kata lain, jumlah momen total harus tetap sama antara sebelum dan sesudah redistribusi.

Dari output hasil running SAP 2000 untuk balok – balok melintang lantai 3, diperoleh nilai momen – momen pada tumpuan seperti ditunjukkan dalam tabel 6.10. Momen tersebut diambil nilai maksimum dari beberapa kombinasi pembebanan.

| Balok             | BL197     | BL198     | BL199     |
|-------------------|-----------|-----------|-----------|
| Mom (-)           | -41946.20 | -42612.60 | -43890.85 |
| Mom (+)           | 33110.67  | 32420.98  | 32364.28  |
| $\Sigma = 226346$ |           |           |           |

Tabel 6.11. Momen Tumpuan Balok Lantai 3

Dicoba untuk BL198, disamakan nilai momen positif dan negatif = 35000 kg.m

Cek momen negatif :  $[(41946,20 - 35000) / 41946,20] \times 100 \% = 16,56 \% < 30 \% \text{ OK!}$

Untuk bentang lain dicoba dengan menyamakan momen negatif = 39100 kg.m

Cek momen negatif :  $[(43890,85 - 39100) / 43890,85] \times 100 \% = 10,91 \% < 30 \% \text{ OK!}$

Sisa momen yang ada =  $226346 - [(2 \times 35000) + (2 \times 39100)] = 78146 \text{ kg.m}$

Momen positif disamakan :  $63618 / 2 = 39073 \text{ kg.m}$

Cek :  $(39073 / 39100) \times 100 \% = 99,98 \% > 50 \% \text{ OK!}$

Maka dengan demikian momen tumpuan balok lantai 2 hasil redistribusi menjadi

| Balok             | BL197 | BL198 | BL199 |
|-------------------|-------|-------|-------|
| Momen (-)         | 39100 | 35000 | 39100 |
| Momen (+)         | 39073 | 35000 | 39073 |
| $\Sigma = 226346$ |       |       |       |

Tabel 6.12. Momen Tumpuan Balok Lantai 3 Hasil Redistribusi



### 6.8.2. Penulangan Lentur Balok

Data – data yang digunakan untuk penulangan balok melintang lantai 3 :

- Tinggi Balok = 50 cm -  $f'_c = 30 \text{ MPa}$
- Lebar Balok = 35 cm -  $f_y = 400 \text{ Mpa}$
- $M_u = 39100 \text{ kgm}$
- Diameter tulangan utama =  $\varnothing 28 \text{ mm} (\text{As} = 615,44 \text{ mm}^2)$
- Diameter tulangan sengkang =  $\varnothing 12 \text{ mm} (\text{As} = 113,04 \text{ mm}^2)$
- Decking = 40 mm
- $d' = 40 + 12 + 28 + 25/2 = 92,5 \text{ mm}$
- $d = 500 - d' = 407,5 \text{ mm}$
- $\rho_{\text{maks}} = 0,025$  (*SK SNI 03 – xxxx – 2001 ps. 21.3.2.(1)*)

Beberapa persyaratan yang perlu dipenuhi untuk komponen struktur pada sistem rangka yang memikul gaya akibat gempa dan direncanakan memikul lentur, seperti yang disyaratkan dalam SK SNI 03 – xxxx – 2001 ps. 21.3.1, adalah :

1. Gaya aksial tekan terfaktor pada komponen struktur tidak boleh melebihi  $0,1 \cdot A_g \cdot f'_c$
2. Bentang bersih minimum balok =  $700 > 4d = 4 \times 43,4 = 173,6 \text{ cm} \dots \text{OK}$
3. Perbandingan Lebar / tinggi balok =  $35 / 50 = 0,7 > 0,3 \dots \text{OK}$
4. a. Lebar = 350 mm  $> 250 \text{ mm} \dots \text{OK}$   
b. Lebar = 35 cm  $< \text{lebar komponen pendukung} + (\frac{3}{4} \times \text{tinggi balok})$   
 $< 75 + (\frac{3}{4} \times 50) = 112,5 \text{ cm} \dots \text{OK}$

Selain itu, sesuai dengan persyaratan yang ditetapkan dalam SK SNI 03 – xxxx – 2001 ps. 10.5.1. Luasan tulangan sepanjang balok tidak boleh kurang dari :

$$\begin{aligned} - A_{s \min} &= \frac{\sqrt{f'_c}}{4 \cdot f_y} b_w \cdot d = \frac{\sqrt{30}}{4 \times 400} \times 350 \times 407,5 = 488,243 \text{ mm}^2 \\ - A_{s \min} &= \frac{1,4}{f_y} b_w \cdot d = \frac{1,4}{400} \times 350 \times 407,5 = 499,188 \text{ mm}^2 \quad (\text{menentukan !!}) \end{aligned}$$

#### ❖ Penulangan Tumpuan Balok

Untuk mengantisipasi perubahan arah gaya gempa yang bekerja, maka penulangan kedua ujung sebuah balok didesain sama.

Luas tulangan dapat dihitung dengan menggunakan rumus :

$$\delta = \frac{As'}{As} = 0,5$$

$$Rn = \frac{(1-\delta)Mu}{\phi b d^2} = \frac{(1-0,5)391000000}{0,8 \cdot 350 \cdot 407,5^2} = 4,20 \text{ Mpa}$$

$$\rho\delta = \frac{1}{m} \left(1 - \sqrt{1 - \frac{2mRn}{fy}}\right) = \frac{1}{15,686} \left(1 - \sqrt{1 - \frac{2 \cdot 15,686 \cdot 4,20}{400}}\right) = 0,011$$

$$\rho' = \frac{\delta Mu}{0,8 \cdot fy \cdot (d - d') \cdot b \cdot d} = \frac{0,5 \cdot 391000000}{0,8 \cdot 400 \cdot (407,5 - 92,5) \cdot 350 \cdot 407,5} = 0,014$$

$$\rho = \rho\delta + \rho' = 0,011 + 0,014 = 0,025 > \rho_{\min} = 0,0035$$

$$As = \rho \cdot b \cdot d = 0,025 \cdot 350 \cdot 405 = 3543,75 \text{ mm}^2 \rightarrow \text{dipakai tulangan } 6 \text{ D } 28$$

$$As' = \rho' b \cdot d = 0,014 \cdot 350 \cdot 405 = 1984,50 \text{ mm}^2 \rightarrow \text{dipakai tulangan } 4 \text{ D } 28$$

#### ❖ Penulangan Lapangan Balok

SK SNI – 03 xxxx – 2001 ps. 21.3.2.(2) mensyaratkan bahwa baik nilai momen positif maupun negatif sepanjang balok tidak boleh kurang dari 25% nilai momen maksimum absolut di muka tumpuan.

Untuk balok BL197, dari output SAP2000 diperoleh : nilai momen maksimum lapangan  $4880,45 \text{ kg.m} < 25\% \times 39100 = 9775 \text{ kg.m}$ . Jadi dipakai momen lapangan 9775 kg.m

Untuk penulangan lapangan, balok akan dianalisa sebagai balok T. Dimana lebar flens efektif didapat dari : (SK SNI – 03 – xxxx – 2001 ps. 8.10.2)

$$b_e \leq \frac{1}{4} L = \frac{1}{4} * 700 = 175 \text{ cm} \quad (\text{menentukan !})$$

$$\leq b_w + 16t = 35 + 16*15 = 275 \text{ cm}$$

$$\leq b_w + L_n = 35 + 765 = 800 \text{ cm}$$

$$Mu = 9775 \text{ kg.m} = 0,98 \cdot 10^8 \text{ N.mm}$$

$$Mn = Mu / 0,8 = 1,222 \cdot 10^8 \text{ N.mm}$$

Direncanakan tulangan lapangan momen positif tulangan ulir 2 – D28 mm.

( $As = 1230,88 \text{ mm}^2 As > As_{\min}$ )

$$c = \frac{As \times fy}{\beta \times 0,85 \times f'c \times he} = \frac{1230,88 \times 400}{0,85 \times 0,85 \times 30 \times 1750} = 12,98 \text{ mm}$$

karena  $c < t$ ;  $12,98 \text{ mm} < 150 \text{ mm}$ , maka balok anak adalah balok T palsu dan dianggap sebagai balok persegi biasa.

$$a = c \times \beta = 12,98 \times 0,85 = 11,033 \text{ mm}$$

$$\begin{aligned}\phi.M_n &= \phi.A.s.f_y \left( d - \frac{a}{2} \right) = 0,8 \times 1230,88 \times 400 \times \left( 407,5 - \frac{11,033}{2} \right) \\ &= 483000000 \text{ N.mm}\end{aligned}$$

$$Mu = 97750000 \text{ N.mm}$$

$$Mu < \phi.M_n \quad (\text{memenuhi syarat!})$$

maka tulangan lapangan momen positif dipakai tulangan ulir 2 – D28 mm ( $A_s = 1230,88 \text{ mm}^2$ )

dan tulangan momen negatif dipakai tulangan ulir 2 – D28 mm ( $A_s' = 1230,88 \text{ mm}^2$ )

### 6.8.3. Penulangan Geser Balok

#### ❖ Perhitungan Gaya Geser Pada Tumpuan Balok

$$V = (M_{pr}^+ + M_{pr}^-) / L.n + V_g$$

$$M_{pr}^{\pm} = A_s \cdot 1,25 \cdot f_y \left( d - \frac{a}{2} \right)$$

$$a = \frac{A_s (1,25 f_y)}{0,85 f'_e b}$$

$V_g$  = gaya geser akibat beban gravitasi

##### a) Momen Tumpuan Negatif

Untuk balok BL197, pada tumpuan momen negatif diperoleh :

$$a = \frac{3692,64 \times (1,25 \times 400)}{0,85 \times 30 \times 350} = 206,87 \text{ mm}$$

$$M_{pr}^- = 3692,64 \times 1,25 \times 400 \left( 407,5 - \frac{206,87}{2} \right) = 561400747,8 \text{ N.mm}$$

##### b) Momen Tumpuan Positif

Untuk balok BL197, pada tumpuan momen positif diperoleh :

$$a = \frac{2461,76 \times (1,25 \times 400)}{0,85 \times 30 \times 350} = 137,91 \text{ mm}$$

$$M_{pr}^+ = 2461,76 \times 1,25 \times 400 \left( 407,5 - \frac{137,91}{2} \right) = 416705976,8 \text{ N.mm}$$

❖ Penulangan Geser

Syarat spasi maksimum tulangan geser balok menurut SK SNI - 03 - xxxx - 2001  
ps. 21.3.3.

$$s < d / 4 = 434 / 4 = 108,5 \text{ mm} \rightarrow \text{daerah sendi plastis}$$

$$s < d / 2 = 434 / 2 = 217 \text{ mm} \rightarrow \text{diluar daerah sendi plastis}$$

} menentukan

$$s < 8 \times \phi \text{ tulangan memanjang} = 8 \times 28 = 224 \text{ mm}$$

$$s < 24 \times \phi \text{ tulangan sengkang} = 24 \times 12 = 288 \text{ mm}$$

Untuk penulangan geser balok menggunakan  $M_{pr}^{+/-}$  balok.

$$L_n = 7000 - 350 = 6650 \text{ mm}$$

$$M_{pr}^+ = 561400747,8 \text{ N mm} = 561,4007478 \text{ KNm}$$

$$M_{pr}^- = 416705976,8 \text{ N mm} = 416,7059768 \text{ KNm}$$

**Gaya geser total didaerah sendi plastis ( muka kolom s/d 2 d ) :**

Gaya geser akibat beban gravitasi dimuka kolom ( dari output SAP 2000 ) :

$$V_g = 6944,042 \text{ kg} = 69440,42 \text{ N}$$

Akibat  $M_{pr}$  dengan metode keseimbangan gaya diperoleh reaksi diujung - ujung balok  $V_A$  dan  $V_B$  sebagai berikut :

$$\begin{aligned} V_{A \text{ Gempa}} &= -V_{B \text{ Gempa}} = \{M_{pr}^+ + M_{pr}^-\} / L_n \\ &= \{561400747,8 + 416705976,8\} / 6250 \\ &= 156497,08 \text{ N} \end{aligned}$$

Gaya geser total :

$$\begin{aligned} V_{u,A} &= V_{gempa} + V_{gravitasi} \\ &= 156497,08 + 69440,42 \\ &= 225937,50 \text{ N} \quad (\text{menentukan}) \end{aligned}$$

$$\begin{aligned} V_{u,B} &= V_{gempa} + V_{gravitasi} \\ &= -156497,08 + 69440,42 \\ &= -87056,66 \text{ N} \end{aligned}$$

$V_c = 0$  ( kemampuan geser beton didaerah sendi plastis tidak diperhitungkan )

$$\begin{aligned} V_s &= V_{u,a}/\Phi - V_c \\ &= (225937,50 / 0,8) - 0 = 282421,87 \text{ N} \end{aligned}$$

Diameter sengkang = 12 mm

$$Av = 2 \times 113,04 \text{ mm}^2 = 226,08 \text{ mm}^2 \quad (\text{SK SNI-03-xxxx-2001 ps. 11.5.6.(3)})$$

$$fy = 400 \text{ Mpa}$$

$$s = \frac{Av \cdot fy \cdot d}{Vs} = \frac{226,08 \times 400 \times 405}{282421,87} = 130,782 \text{ mm} > s \text{ maks}$$

jarak terpasang  $\phi 12 - 100$  sejauh 100 cm dari muka kolom, dimana tulangan geser pertama dipasang 5 cm dari muka kolom.

**Gaya geser total diluar sendi plastis ( $> 2d$ ) :**

Langkah pertama adalah menentukan besarnya gaya geser yang bekerja pada jarak 1000 mm dari muka kolom (akhir dari daerah sendi plastis)

$$\begin{aligned} V_{1000} &= V_A - (1000 / L_n)(V_A + V_B) \\ &= 225937,50 - (1000 / 6250)(225937,50 + 87056,66) \\ &= 175858,43 \text{ N} \end{aligned}$$

Dimana untuk daerah di luar sendi plastis ini, kuat geser beton turut diperhitungkan yakni sebesar :  $(\text{SK SNI - 03 - xxxx - 2001 ps. 11.3.1.(1)})$

$$\begin{aligned} V_c &= (1/6) \sqrt{f'_c} b_w d \\ &= (1/6) \sqrt{30} (350 * 407,5) = 130198,22 \text{ N} \\ Vs &= V_u, b / \Phi - V_c \\ &= (175858,43 / 0,8) - 130198,22 = 89624,82 \text{ N} \end{aligned}$$

Diameter sengkang = 12 mm

$$Av = 2 \times 113,04 \text{ mm}^2 = 226,08 \text{ mm}^2 \quad (\text{SK SNI-03-xxxx-2001 ps. 11.5.6.(3)})$$

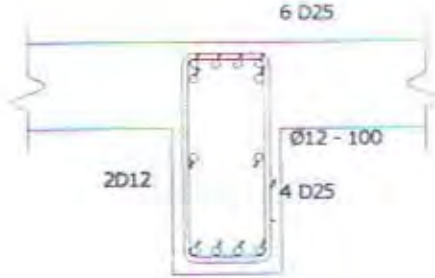
$$fy = 400 \text{ Mpa}$$

$$s = \frac{Av \cdot fy \cdot d}{Vs} = \frac{226,08 \times 400 \times 434}{89624,82} = 411,17 \text{ mm} > s \text{ maks}$$

(jarak terpasang  $\phi 12 - 200$ )



## Tulangan Lapangan



## Tulangan Tumpuan

*(Gambar 6.2. Penulangan pada Balok BL197)*

#### **6.8.4. Penulangan Lentur Kolom**

Untuk contoh penulangan, akan digunakan kolom eksterior KLM33 yang terletak pada lantai 3 (lihat lampiran II untuk sejelasnya).

Pertama-tama akan dihitung terlebih dahulu nilai momen ultimate balok akibat tulangan terpasang.

Akibat tulangan terpasang pada balok melintang :

$$\phi M_n \sim \phi A_s f_v (d - a/2)$$

$$\text{dimana } \alpha = \frac{A_v f_y}{0.85 f'_c b}$$

maka

$$a^- = \frac{3692,64 \times 400}{0,85 \times 30 \times 350} = 165,496 \text{ mm}$$

$$\phi M_n = 0,85 \times 3692,64 \times 400 (405 - 165,496 / 2) \\ = 407725061,2 \text{ N.mm}$$

$$\text{Momen di As kolom : } \phi M_{n,as\,kolom} = 7000 / 6250 \times \phi M_n = 456652068,5 \text{ N.mm}$$

$$a^+ = \frac{2461,76 \times 400}{0,85 \times 30 \times 350} = 110,331 \text{ mm}$$

$$\phi M_n^+ = 0,85 \times 2461,76 \times 400 (407,5 - 110,331 / 2) \\ = 294903421 \text{ N.mm}$$

$$\text{Momen di As kolom : } \phi M_{n,as\,kolom}^+ = 7000 / 6250 \times \phi M_n^+ = 330291831,5 \text{ N.mm}$$

$$\Sigma M_c = 456652068,5 + 330291831,5 = 786943900 \text{ N.mm}$$

Diasumsikan bahwa momen balok tersebut ditahan oleh kolom atas dan kolom bawah dengan proporsi terbalik terhadap panjang kolom. Karena panjang kolom adalah sama di semua lantai maka :

$$\begin{aligned}\phi M_{n \text{ kolom atas}} &= \phi M_{n \text{ kolom bawah}} \\ &= \frac{1}{2} \sum M_g = 393471950 \text{ N.mm}\end{aligned}$$

Momen muka joint :  $\phi M_{n \text{ muka joint}} = 3400 / 4000 \phi M_n = 334451157,5 \text{ N.mm}$

Akibat tulangan terpasang pada balok memanjang ( lantai 3 )

$$a^- = \frac{4308,08 \times 400}{0,85 \times 30 \times 400} = 168,944 \text{ mm}$$

$$\begin{aligned}\phi M_n^- &= 0,85 \times 4308,08 \times 400 (505 - 168,944 / 2) \\ &= 615966980,8 \text{ N.mm}\end{aligned}$$

Momen di As kolom :  $\phi M_{n,as \text{ kolom}}^- = 8000 / 7250 \times \phi M_n^- = 679687702,9 \text{ N.mm}$

$$a^+ = \frac{2461,76 \times 400}{0,85 \times 30 \times 400} = 96,540 \text{ mm}$$

$$\begin{aligned}\phi M_n^+ &= 0,85 \times 2461,76 \times 400 (507,5 - 96,540 / 2) \\ &= 382282443,3 \text{ N.mm}\end{aligned}$$

Momen di As kolom :  $\phi M_{n,as \text{ kolom}}^+ = 8000 / 7250 \times \phi M_n^+ = 421828903 \text{ N.mm}$

$$\Sigma M_g = 615966980,8 + 421828903 = 1101516606 \text{ N.mm}$$

$$\begin{aligned}\phi M_{n \text{ kolom atas}} &= \phi M_{n \text{ kolom bawah}} \\ &= \frac{1}{2} \sum M_g = 550758303 \text{ N.mm}\end{aligned}$$

Momen muka joint :  $\phi M_{n \text{ muka joint}} = 3400 / 4000 \phi M_n = 468144557,5 \text{ N.mm}$

Selanjutnya tulangan kolom akan dicari dengan program bantu PCACOL v3.00 (Gambar 5.3), dimana data-data yang akan dimasukkan adalah :

- $P_u = 335529,3 \text{ kgf} = 3355,293 \text{ kN}$  (dari hasil output SAP2000)
- Dimensi kolom =  $750 \times 750 \text{ mm}^2$

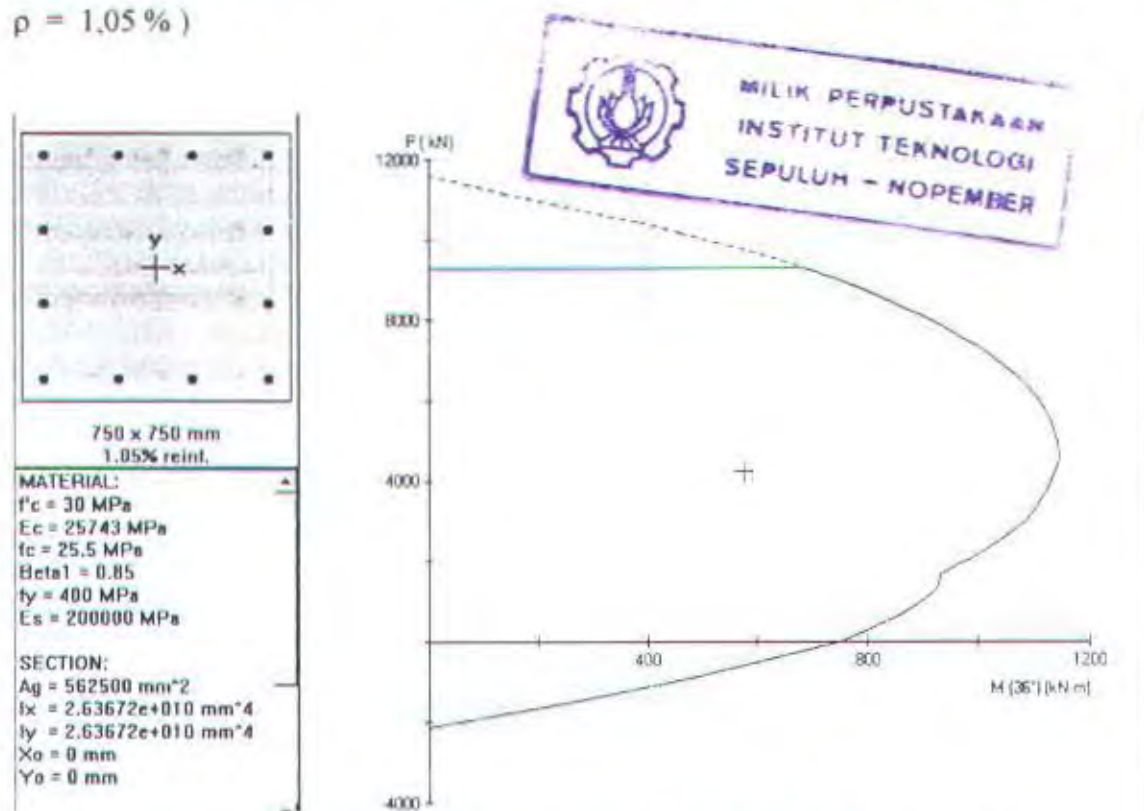
Selimut beton = 50 mm

$$\phi M_{n,x} = 468144557,5 \text{ N.mm} = 468,14 \text{ KN.m}$$

$$\phi M_{n,y} = 334451157,5 \text{ N.mm} = 334,45 \text{ KN.m}$$

$$\phi P_u = 3355,293 \text{ KN}$$

Maka akan diperoleh nilai tulangan untuk kolom KLM33 : 12 – D25 ( $A_s = 5892 \text{ mm}^2$ ,  $\rho = 1,05\%$  )



Gambar 6.3. Hasil Analisa PCA COL v 3.00 untuk kolom KLM33

### 6.8.5. Penulangan Transversal Kolom

- Berdasarkan Persyaratan Minimum Peraturan**

Sesuai SK SNI - 03 - xxxx - 2001 ps. 21.4.4.4., penulangan transversal khusus dibutuhkan sejauh  $l_o$  dari kedua ujung kolom, dimana :

$$l_o > h_{balok} = 600 \text{ mm} \quad (\text{menentukan!})$$

$$l_o > (1/6) l_{n kolom} = (1/6)(4000 - 600) = 566,67 \text{ mm}$$

$$l_o > 500 \text{ mm}$$

sehingga  $l_o$  akan diambil sejauh 600 mm dari muka joint.

Dan sesuai SK SNI - 03 - xxxx - 2001 ps. 21.4.4.2, spasi maksimum yang diijinkan untuk tulangan transversal dalam jarak 600 mm tersebut adalah :

$$s < \frac{1}{4} \text{ dimensi terkecil komponen struktur} = \frac{1}{4} \cdot 750 = 187,5 \text{ mm}$$

$$s < 6 \times \text{diameter tulangan longitudinal} = 6 \times 25 = 150 \text{ mm} \quad (\text{menentukan!!})$$

Luasan penampang minimum tulangan transversal ( $A_{sh}$ ) adalah yang yang terbesar dari kedua persamaan : ( SK SNI - 03 - xxxx - 2001 ps. 21.4.4.1 )

$$A_{sh} = \frac{0.3sh_c f_c'}{f_{sh}} \left[ \left( \frac{A_g}{A_{ch}} \right) - 1 \right]$$

$$A_{sh} = \frac{0.09sh_c f_c'}{f_{sh}}$$

dimana :  $s$  = jarak spasi tulangan transversal

$h_c$  = dimensi potongan melintang dari inti kolom, diukur dari pusat ke pusat dari tulangan pengekang tersebut.

$A_g$  = luas penampang kolom

$A_{ch}$  = luas penampang kolom diukur dari daerah terluar tulangan transversal

$f_{sh}$  = kuat leleh tulangan transversal

Dengan menggunakan spasi 80 mm,  $f_{sh} = 400$  MPa, deking beton 50 mm, dan direncanakan tulangan transversal Ø12 ( $A_s = 113.04 \text{ mm}^2$ ), akan diperoleh :

$$A_{sh} = \frac{0.3 \times 80 \times [750 - (2 \times 50) - 12] \times 30}{400} \left[ \left( \frac{750^2}{(750 - 100)^2} \right) - 1 \right]$$

$$= 380,53 \text{ mm}^2 \text{ (menentukan!!)}$$

$$A_{sh} = \frac{0.09 \times 80 \times [750 - 100 - 12] \times 30}{400} = 344,52 \text{ mm}^2$$

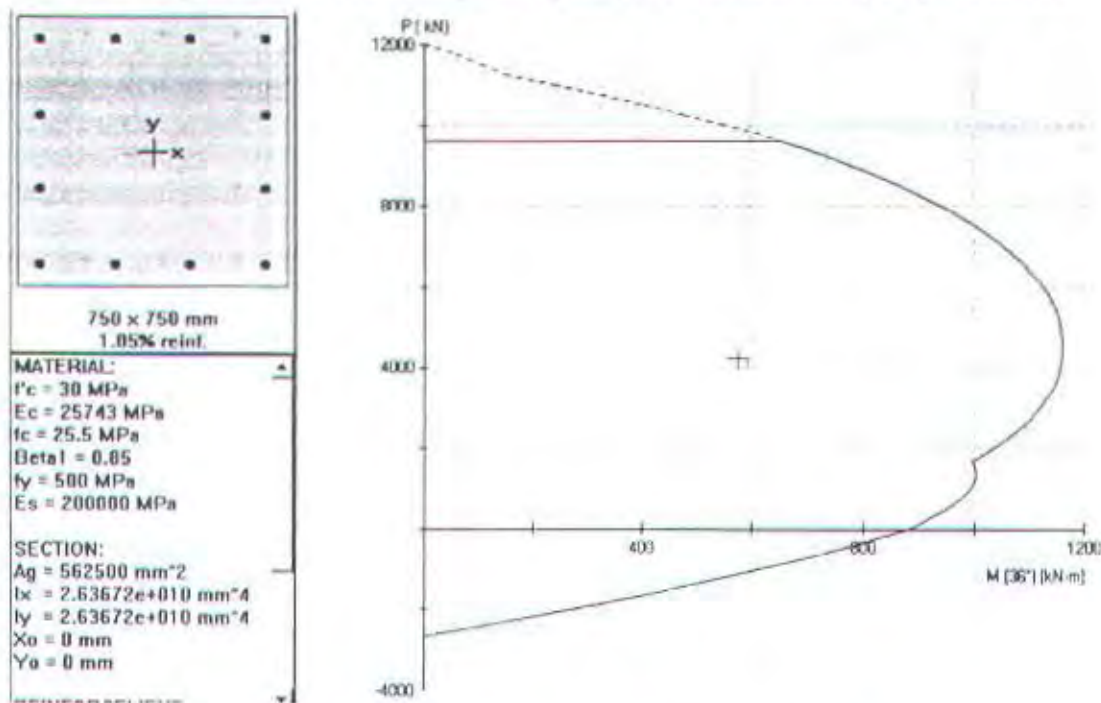
maka digunakan Ø12 dengan 2 tulangan silang ( $A_s = 4 * 113.04 = 452,16 \text{ mm}^2$ ) dengan spasi 80 mm ( lihat gambar 5.5 untuk sket penulangan transversal )

Untuk daerah di luar  $l_o$ , sesuai SK SNI - 03 - xxxx - 2001 ps. 21.4.4.6, tulangan transversal harus dipasang dengan tidak melebihi  $6 \times$  diameter tulangan memanjang ( $= 6 * 25 = 150 \text{ mm}$ ) atau 150 mm. Maka untuk daerah di luar  $l_o$ , akan dipasang tulangan transversal Ø12 – spasi 150 mm.

#### • Berdasarkan Kebutuhan Gaya Geser

Sama halnya seperti pada balok, gaya geser desain untuk kolom akan ditentukan dengan mempertimbangkan gaya-gaya maksimum yang dapat timbul di muka joint pada tiap-tiap ujung kolom SK SNI - 03 - xxxx - 2001 ps. 21.4.5.1. Gaya-

gaya pada joint akan ditentukan dengan berdasarkan  $M_{pr}$  (*maximum probable moment strength*) baik akibat tulangan terpasang pada kolom maupun pada balok.



Gambar 6.4 Diagram Interaksi kolom KLM33 ( $f_y = 500 \text{ MPa}$ ,  $\phi = 1.0$ )

$M_{pr}$  akibat tulangan terpasang pada kolom dihitung dengan faktor reduksi kekuatan = 1.0 dan diasumsikan bahwa tegangan pada tulangan tarik =  $1.25 f_y = 500 \text{ MPa}$ . Dengan mengasumsikan bahwa  $M_{pr}$  adalah sama dengan nilai momen pada titik keseimbangan, maka dari gambar 5.4 dapat diambil nilai  $M_{pr} = 1150 \text{ kN.m}$

Maka diperoleh nilai  $V_u$  pada ujung kolom berdasar  $M_{pr}$ :

$$V_{u1} = (1150 \times 2) / (4 - 0,6) = 676,47 \text{ kN}$$

Sedang  $M_{pr}$  akibat tulangan terpasang pada balok yang berada pada joint kolom didapat dari (untuk nilai  $M_{pr}^+$  dan  $M_{pr}^-$  lihat kembali bab 5.7.3):

$$\begin{aligned} V_{u2,x} &= (M_{pr}^+ + M_{pr}^-) / I_n \\ &= (550,40 + 865,73) / (4 - 0,6) = 416,509 \text{ kN} \end{aligned}$$

$$\begin{aligned} V_{u2,y} &= (M_{pr}^+ + M_{pr}^-) / I_n \\ &= (416,71 + 561,40) / (4 - 0,6) = 287,679 \text{ kN} \end{aligned}$$

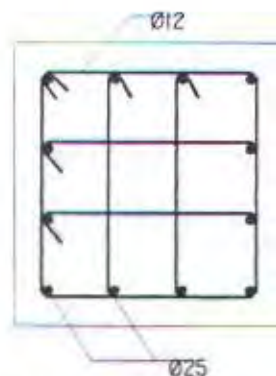
$$V_{u2} \text{ yang diterima kolom} = V_{u2,x} + V_{u2,y} = 704,188 \text{ kN}$$

Dengan membandingkan nilai  $V_{u1}$  dgn  $V_{u2}$  maka yang menentukan adalah yang terbesar yakni  $V_{u1}$ . Karena gaya-gaya aksial berfaktor ( akibat kombinasi 1 dan 2 ) untuk kolom lebih kecil daripada  $A_g f'_c / 20 = (750*750)*30 / 20 = 843,75 \text{ kN} = 84375 \text{ kg}$ , maka sesuai SK SNI - 03 - xxxx - 2001 ps. 21.4.5.2 nilai  $V_c$  harus diambil = 0.

$$V_s = A_v f_y d / s = 452,16 * 400 * 507,5 / 80 = 1146,677 \text{ kN}$$

dimana nilai-nilai  $A_v$  dan  $s$  diambil dari perhitungan tulangan transversal pada bab sebelumnya.

Karena nilai  $V_x > V_{u1}$ , maka penulangan transversal sesuai persyaratan minimum yang telah dihitung pada bab sebelumnya dianggap mencukupi, yakni Ø12 dengan 2 tulangan silang pada jarak spasi 80 mm, dipasang sejarak 600 mm dari ujung-ujung kolom.



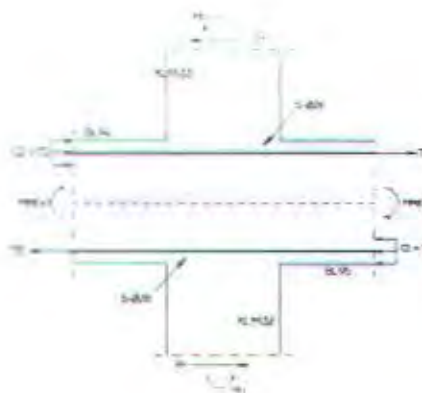
Gambar 6.5 Contoh Sket Penulangan untuk Kolom

#### 6.8.6. Sambungan Balok - Kolom

SK SNI - 03 - xxxx - 2001 ps. 21.5.2.1. mensyaratkan bahwa tulangan transversal seperti yang dirinci dalam ps. 21.4.4. harus dipasang pula dalam sambungan antara balok-kolom, kecuali jika sambungan tersebut dikelilingi oleh komponen struktural seperti yang disyaratkan dalam ps. 21.5.2.2.

Pada sambungan balok-kolom interior dimana terdapat pada keempat sisi kolom terdapat balok, sesuai ps. 21.5.2.2, spasi maksimum diperbolehkan mencapai 150 mm. Akan tetapi demi alasan kemudahan detailing dan penggerjaan, tulangan transversal Ø12 dengan spasi 80 mm akan dipergunakan.

Selanjutnya perlu dicek kekuatan geser sambungan. ( lihat gambar 6.6 )



Gambar 6.6. Analisa Geser pada Beam Column Joint Interior lantai 2

Dari perhitungan sebelumnya ( bab 5.7.3 ) didapatkan :

$$M_{pr^-} = 561400747,8 \text{ N.mm}$$

$$M_{pr^+} = 416705976,8 \text{ N.mm}$$

Maka didapat :

$$M_u = (M_{pr^-} + M_{pr^+}) / 2 = 489053362,3 \text{ N.mm}$$

$$V_h = 2.M_u / (4000 - 600) = 287678,45 \text{ N}$$

$$(6028) : T_1 = 1.25 f_y A_{st} = 1847256,48 \text{ N}$$

$$(4028) : C_2 = T_2 = 1.25 f_y A_{s2} = 1231504,32 \text{ N}$$

$$\text{Gaya geser bersih pada joint} : V_{uj} = T_1 + C_2 - V_h = 2791082,35 \text{ N}$$

Berdasar SK SNI - 03 - xxxx - 2001 ps. 21.5.3.1 untuk hubungan balok-kolom yang terkekang kedua sisinya, nilai kekuatan gesernya dihitung berdasarkan :

$$\phi V_c = \phi 1,7 \sqrt{f_c} A_j$$

$$= 0,85 * 1,7 \times \sqrt{30} \times (750 \times 750) = 4451957,41 \text{ N} > V_{uj} \dots \text{OK!!!}$$

### 6.8.7. Tulangan Shearwall

Shearwall adalah bagian dari sistem penahan lateral dan harus didesain secara khusus sesuai dengan SK SNI - 03 - xxxx - 2001 ps. 21.6.

- **Data Perencanaan pada shearwall lantai dasar :**

$$- Mu \text{ top} = 4673,065 \text{ kgm}$$

$$- Mu \text{ bottom} = 4393,425 \text{ kgm}$$

$$- Pu = 537432,32 \text{ kg}$$

$$- Vu = 846,04 \text{ kg}$$

$$- bw = 200 \text{ mm}$$

- Iw = 7000 mm

#### \* Perhitungan Kebutuhan Boundary Element

Boundary element adalah batang seperti kolom yang berada pada ujung shearwall dan menyatu dengan penampang dinding geser.

Berdasarkan SK SNI - 03 - xxxx - 2001 ps. 21.6.6 shearwall tidak memerlukan boundary element dengan syarat :

1.  $P_u < 0.1 A_g f_c$  untuk penampang dinding yang simetris

$P_u < 0.05 A_g f_c$  untuk penampang dinding yang tidak simetris

2.  $\frac{M_u}{V_u l_w} \leq 1$

3.  $V_u \leq 0.25 A_{cv} \sqrt{f'c}$  dan  $\frac{M_u}{V_u l_w} \leq 3$

Syarat-syarat :

- 1)  $P_u < 0.1 A_g f_c \rightarrow 537432,32 \text{ kg} < 0.1 \times (200 \times 7000) \times 30$

$$537432,32 \text{ kg} > 4200000 \text{ kg} \rightarrow \text{not ok}$$

- 2).  $\frac{M_u}{V_u l_w} \leq 1 \rightarrow \frac{4673,0625}{846,04 \times 4} \leq 1$

$$0,78 < 1 \rightarrow \text{ok}$$

- 3)  $V_u \leq 0.25 A_{cv} \sqrt{f'c} \rightarrow 846,04 \leq 0.25 (200 \times 7000) \sqrt{30}$

$$8460,4 \text{ N} < 1917028,95 \text{ N} \rightarrow \text{ok}$$

Karena ada yang tidak memenuhi syarat, maka memerlukan boundary element.

#### Desain Boundary Element

Boundary Element harus didesain untuk menahan gaya gravitasi pada dinding dan gaya lateral karena gempa.

Boundary element direncanakan 70 x 70 cm

Syarat tebal minimal Boundary element: (ps. 21.6.6.4.2)

$\geq 300 \text{ mm}$

Maksimum gaya aksial ( $P_u$ ) pada Boundary Element pada lantai dasar

$$P_{u(\text{Boundary Element})} = 1,2 P_D + 1,6 P_L + 1,1 P_E$$

$$P_D(\text{Boundary Element}) = P_D(\text{shearwall}) / 2$$

$$= 537432,32 / 2 = 268716,16 \text{ kg}$$

$$P_L(\text{Boundary Element}) = P_L(\text{shearwall}) / 2$$

$$= 53088 / 2 = 26544 \text{ kg}$$

$$P_E(\text{Boundary Element}) = \frac{M_{E(\text{shearwall})}}{w} + \frac{P_E}{2}$$

$$= \frac{162874,94}{7} + \frac{945105}{2} = 495820,23 \text{ kg}$$

$$P_{u(\text{Boundary Element})} = 1,2 (268716,16) + 1,6 (26544) + 1,1 (495820,23)$$

$$= 910332,045 \text{ kg}$$

$$P_u = \phi P_n = 0,8 \phi [0,85 f'c (A_g - A_{st}) + f_y A_{st}]$$

Persamaan diatas digunakan untuk menghitung luas tulangan pada boundary element.

$$910332,045 = 0,8 \times 0,8 \times [0,85 \times 30 (700^2 - A_{st}) + 400 A_{st}]$$

$$A_{st} = 4616,66 \text{ mm}^2$$

Rasio penulangan,  $\rho$ , harus lebih besar dari 1% dan kurang dari 6%:

$$\rho = A_{st}/A_g = 4616,66/700^2 = 0,010 \quad \text{ok}$$

(pakai 12D25 ,  $A_s = 5887,5 \text{ mm}^2$  )

Tulangan sengkang :

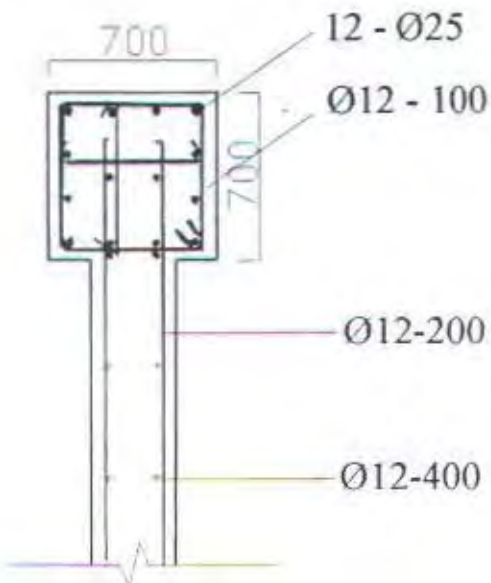
$$A_{sh} \geq \begin{cases} 0.09 s hc \frac{f'_c}{f_y h} \\ 0.3 s hc \left[ \frac{A_g}{A_{ch}} - 1 \right] \frac{f'_c}{f_y} \end{cases}$$

dengan menggunakan spasi tulangan sengkang direncanakan 100 mm ( $< s_{\max} = 150 \text{ mm}$ ) dan dipakai decking 50 mm,

$$A_{sh} \geq 0.09 \times 100 \times 400 \times \frac{30}{400} = 270 \text{ mm}^2$$

$$0.3 \times 100 \times 400 \times \left[ \frac{700^2}{600^2} - 1 \right] \frac{30}{400} = 325 \text{ mm}^2 \text{ (luas terpakai)}$$

dipakai 3  $\phi$  12-100,  $A_s = 339 \text{ mm}^2 > 325 \text{ mm}^2$



Gambar 6.7. Sketsa Penulangan Boundary Element

### Desain Shearwall

Syarat-syarat :

$$\checkmark V_u \geq 0.166 A_{cv} \sqrt{f_c'} \\ 846,04 \text{ kg} \geq 0.166 \times (200 \times 7000) \times \sqrt{30}$$

$$8460,4 \text{ kg} \leq 1278019,3 \text{ N} \rightarrow \text{not ok.}$$

Sehingga harus menggunakan penulangan rangkap.

Batas atas kekuatan geser shearwall adalah :

$$\phi V_n = \phi 8 A_{cv} \sqrt{f_c'} \\ = 0,6 \times 8 \times (200 \times 7000) \times \sqrt{3} = 3680695,6 \text{ N} > V_u = 8450,4 \text{ N}$$

Kuat geser nominal :

$$V_n = A_{cv} [1/12 \alpha_c \sqrt{f_c'} + \rho_n f_y]$$

Dimana :

$$\left. \begin{array}{l} \alpha_c = 1/4 \text{ untuk } h_w/l_w < 1,5 \\ \alpha_c = 1/6 \text{ untuk } h_w/l_w \geq 2 \end{array} \right\} \text{ dengan } h_w/l_w = 400/20 = 20 \\ \text{maka } \alpha_c = 1/6$$

dengan menggunakan  $\phi 12$ , spasi 20 cm

$$p_n = \frac{2 \times (0.25 \times \pi \times 12^2)}{200 \times 200} = 0,0057$$

$$\begin{aligned} V_n &= (200 \times 7000) \times [1/12 \times 1/6 \times \sqrt{30} + 0.0057 \times 400] \\ &= 3298501,61 \text{ N} \\ \phi V_n &= 0.6 V_n = 0.6 \times 3298501,6 \\ &= 1979100,97 \text{ N} > 8460,4 \text{ N} \text{ (ok.)} \end{aligned}$$

Penulangan vertikal

Syarat-syarat :

- $\rho_v > \rho_n$ , jika  $hw/lw > 2.0$
- $\rho_v \text{ min } = 0.0025$ , digunakan jika  $hw/lw > 2.0$

Sehingga luasan tulangan arah vertikal :

$$A_{sv} = 0.0025 \times 200 \times 1000 = 500 \text{ mm}^2 / \text{m}$$

Dengan menggunakan  $\phi 12$  :

$$S = \frac{2 \times (0.25 \times \pi \times 12^2)}{500} = 0,452 \text{ m}$$

(pakai  $\phi 12$  jarak 40 cm )

## 6.9. REKAP HASIL PERHITUNGAN PENULANGAN

Berikut akan disajikan hasil selengkapnya penulangan struktur berdasarkan analisa linear yang telah dilakukan dan sesuai dengan peraturan SK SNI – 03 – xxxx – 2001.



### 6.9.1. Tulangan Balok

| Letak   | Balok Lantai | Tulangan |        |
|---------|--------------|----------|--------|
| Tumpuan | 1            | Atas     | 4 D 25 |
|         |              | Bawah    | 2 D 25 |
|         | 2            | Atas     | 5 D 25 |
|         |              | Bawah    | 3 D 25 |
|         | 3 ~ 10       | Atas     | 6 D 25 |
|         |              | Bawah    | 4 D 25 |
|         | Semua Lantai | Atas     | 2 D 25 |
|         |              | Bawah    | 2 D 25 |

(a)  $L = 7 \text{ meter}$  ( melintang )

| Letak    | Balok Lantai | Tulangan |        |
|----------|--------------|----------|--------|
| Tumpuan  | Semua Lantai | Atas     | 6 D 25 |
|          | Bawah        | 3 D 25   |        |
| Lapangan | Semua Lantai | Atas     | 3 D 25 |
|          | Bawah        | 5 D 25   |        |

(b)  $L = 8 \text{ meter}$  ( memanjang )

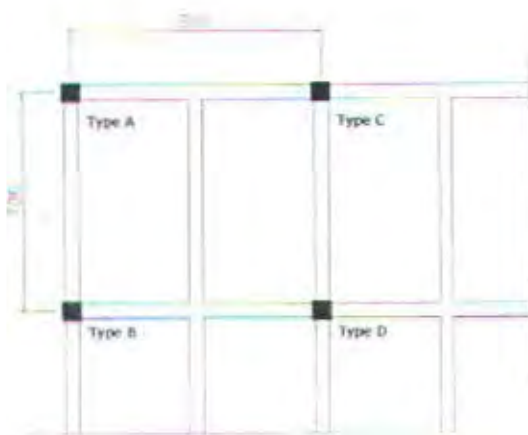
Tabel 6.13. Penulangan Lentur Balok

| Letak              | Balok Lantai | Tipe      | Tulangan  |
|--------------------|--------------|-----------|-----------|
| Sendi Plastis      | Semua Lantai | Melintang | Ø12 - 100 |
|                    |              | Memanjang | Ø12 - 75  |
| Luar Sendi Plastis | Semua Lantai | Melintang | Ø12 - 200 |
|                    |              | Memanjang | Ø12 - 175 |

Tabel 6.14. Penulangan Geser Balok

### 6.9.2. Tulangan Kolom

Khusus untuk penulangan kolom terbagi menjadi 4 tipe per lantai, yaitu tipe A (kolom eksterior sudut gedung), tipe B (kolom eksterior sisi melintang gedung), tipe C (kolom eksterior sisi memanjang gedung) dan tipe D ( interior ) untuk lebih jelasnya lihat gambar 5.7. Dengan catatan, yang dimaksud dengan kolom lantai  $i$  adalah kolom yang terletak dibawah level  $i$ . Sehingga yang dimaksud dengan kolom lantai 10 adalah kolom yang terletak di bawah level atap.



Gambar 6.8. Tipe Penulangan Kolom

| Lantai | Tipe | Tulangan Lentur | $p$<br>(%) | Tulangan Transversal               |                                     |
|--------|------|-----------------|------------|------------------------------------|-------------------------------------|
|        |      |                 |            | $\leq l_o$                         | $> l_o$                             |
| 1 - 2  | A    | 12 D 25         | 1,05       | $\varnothing 12$<br>spasi<br>80 mm | $\varnothing 12$<br>spasi<br>150 mm |
|        | B    | 12 D 25         | 1,05       |                                    |                                     |
|        | C    | 12 D 25         | 1,05       |                                    |                                     |
|        | D    | 16 D 25         | 1,40       |                                    |                                     |
| 3 - 6  | A    | 12 D 25         | 1,05       | $\varnothing 12$<br>spasi<br>80 mm | $\varnothing 12$<br>spasi<br>150 mm |
|        | B    | 12 D 25         | 1,05       |                                    |                                     |
|        | C    | 12 D 25         | 1,05       |                                    |                                     |
|        | D    | 16 D 25         | 1,40       |                                    |                                     |
| 7 - 10 | A    | 12 D 25         | 1,05       |                                    |                                     |
|        | B    | 12 D 25         | 1,05       |                                    |                                     |
|        | C    | 12 D 25         | 1,05       |                                    |                                     |
|        | D    | 16 D 25         | 1,40       |                                    |                                     |

Keterangan :

- $l_o$  berjarak 600 mm diukur dari muka joint
- untuk tul.transversal, digunakan 2 tulangan silang selain tulangan sengkang biasa (lihat Gb.6.5)

Tabel 6.15. Penulangan Kolom

## BAB VII

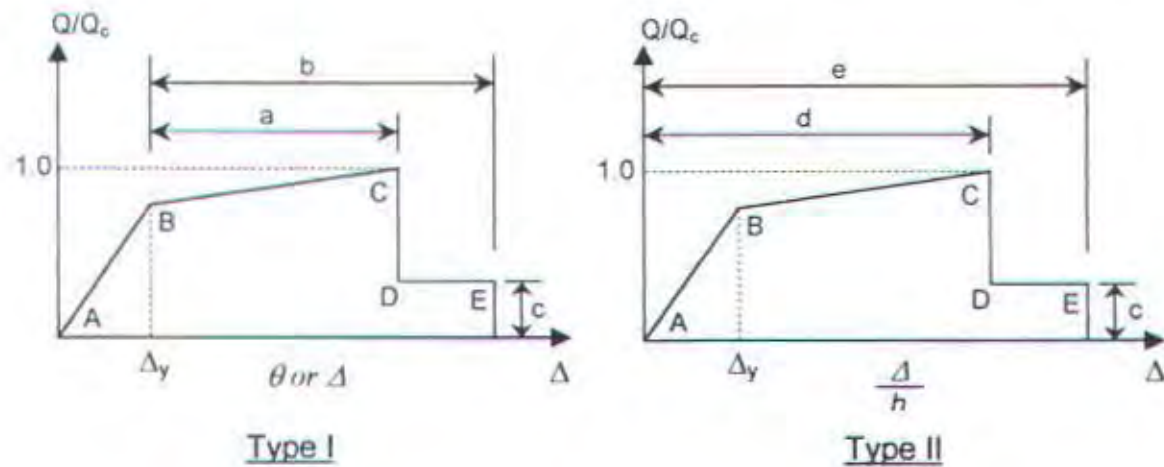
### ANALISA PUSHOVER

#### 7.1. ANALISA STATIK NON-LINEAR

Analisa statik non-linear dapat dilakukan setelah analisa statik linear selesai dilakukan. Karena produk hasil dari analisa statik linear inilah yang akan diuji pada analisa statik non-linear. Adapun hasil dari analisa statik linear ini adalah berupa tulangan dari seluruh komponen struktur yang ada. Dan dalam tugas akhir ini analisa statik nonlinear yang digunakan adalah analisa *pushover*.

Salah satu kelebihan utama analisa statik non-linear ini dibandingkan dengan analisa statik linear adalah analisa ini memungkinkan terjadinya respon non-linear pada komponen-komponen struktur akibat deformasi yang terjadi selama gedung mengalami pembebahan lateral yang besar, seperti pada saat terjadinya gempa.

Respon non-linear komponen-komponen struktur yang terjadi secara umum dapat diwakili oleh hubungan *load-deformation* seperti yang ditunjukkan oleh gambar 7.1 berikut ini.



Gambar 7.1 Hubungan Load-Deformation yang telah digeneralisasi

Gambar 7.1 tersebut menunjukkan suatu hubungan *load-deformation* yang telah digeneralisasi yang dapat diterapkan untuk kebanyakan elemen struktur beton.  $Q$

menunjukkan beban yang diakibatkan oleh gaya lateral, sebagai  $Q_c$  adalah kemampuan / kapasitas elemen struktur.

Seperti yang terlihat, terdapat dua cara untuk menjelaskan deformasi :

**Tipe I** : Dalam kurva ini, deformasi diekspresikan langsung sebagai regangan, kurvatur, rotasi, ataupun perpanjangan. Parameter  $a$  dan  $b$  mengacu pada bagian dari deformasi yang terjadi setelah leleh, yaitu deformasi plastis. Parameter  $a$ ,  $b$ , dan  $c$  didefinisikan secara numeris dalam tabel 7.1 sampai tabel 7.3 (sesuai dengan peraturan dalam *FEMA-273, chap.6*)

**Tipe II** : Dalam kurva ini, deformasi diekspresikan sebagai *shear angle* dan *tangential drift ratio*. Parameter  $d$  dan  $e$  mengacu pada deformasi total yang diukur dari awal. Parameter  $a$ ,  $d$ , dan  $e$  juga didefinisikan secara numeris dalam tabel 7.1 sampai tabel 7.3 (sesuai dengan peraturan dalam *FEMA-273, chap.6*)

Adapun keterangan untuk gambar 7.1 adalah sebagai berikut :

- Titik A menunjukkan kondisi tanpa diberi beban.
- Garis A-B menunjukkan respons linier struktur, dengan turut memperhitungkan kekakuan retak masing-masing elemen struktur.
- Titik B adalah menyatakan kekuatan leleh efektif (*nominal yield strength*) elemen struktur.
- Garis B-C biasanya memiliki kemiringan 5% – 10% dari kemiringan garis A-B. Pada garis ini terjadi *strain hardening* yang biasanya dialami kebanyakan elemen struktur beton, dan memiliki efek penting dalam pendistribusian gaya-gaya internal antar elemen yang saling berdekatan.
- Titik C menyatakan kekuatan nominal (*nominal strength*) dari elemen struktur. Dimana pada titik ini bisa dianggap bahwa kemampuan untuk menahan gaya lateral telah hilang. Oleh karena itu, komponen utama sistem penahan gaya lateral dari struktur tidak diperbolehkan berdeformasi melewati titik ini.
- Penurunan secara drastis dari garis C-D menyatakan kegagalan inisial dari elemen. Biasanya kegagalan ini berkaitan dengan fenomena seperti retaknya tulangan longitudinal, pengelupasan beton, atau kegagalan geser mendadak.
- Ketahanan sisa (*residual resistance*) dari titik D-E mungkin bermula nol dalam beberapa kasus atau tidak nol untuk kasus lainnya. Biasanya jika tidak terdapat

informasi tambahan, diasumsikan ketahanan sisa ini sama dengan 20% dari nilai kekuatan nominal. Tujuan utama dari adanya segmen ini adalah untuk memodelkan elemen struktur yang telah hilang kemampuan menahan gaya lateralnya, tapi masih mampu untuk menahan beban gravitasi.

- Titik E menyatakan kapasitas deformasi maksimum. Deformasi setelah melewati titik ini tidak diperbolehkan karena beban gravitasi tidak lagi mampu dipikul.

Selain itu, perlu dijelaskan sedikit pula tentang apa yang dimaksud dengan kriteria penerimaan (*acceptance criteria*). Kriteria penerimaan adalah batasan-batasan yang digunakan untuk mengevaluasi apakah suatu elemen telah mengalami kerusakan ataukah belum. Secara umum kriteria penerimaan ini ditentukan oleh dua jenis desain yaitu desain yang dikontrol oleh deformasi (*deformation-controlled*) dan desain yang dikontrol oleh gaya (*force-controlled*).

Pada desain yang dikontrol oleh deformasi, elemen diijinkan untuk berdeformasi melewati batas-batas elastisnya akibat beban lateral yang terjadi, tetapi dibatasi oleh kapasitas elemen tersebut. Sedangkan untuk desain yang dikontrol oleh gaya, elemen tidak diperbolehkan melewati batas elastisnya akibat beban lateral yang bekerja.

| Conditions  | Modelling Parameters <sup>3</sup> |                         |                                 | Acceptance Criteria <sup>3</sup> |      |           |       |       |       |       |
|---|-----------------------------------|-------------------------|---------------------------------|----------------------------------|------|-----------|-------|-------|-------|-------|
|   | Plastic Rotation Angle, radians   | Residual Strength Ratio | Plastic Rotation Angle, radians |                                  |      |           |       |       |       |       |
|   |                                   |                         | Component Type                  |                                  |      |           |       |       |       |       |
|   |                                   |                         | Primary                         |                                  |      | Secondary |       |       |       |       |
|   |                                   |                         |                                 | Performance Level                |      |           |       |       |       |       |
| a   |                                   | b                       | c                               | IO                               | LS   | CP        | LS    | CP    |       |       |
| <b>i. Beams controlled by flexural<sup>1</sup></b>  |                                   |                         |                                 |                                  |      |           |       |       |       |       |
| $\rho - \rho'$<br>$\rho_{hol}$  | Trans.<br>Reinf. <sup>2</sup>     | $\frac{V}{bd_f c}$      |                                 |                                  |      |           |       |       |       |       |
| $\leq 0.0$  | C                                 | $\leq 3$                | 0.025                           | 0.05                             | 0.2  | 0.005     | 0.02  | 0.025 | 0.02  | 0.05  |
| $\leq 0.0$  | C                                 | $\geq 6$                | 0.02                            | 0.04                             | 0.2  | 0.005     | 0.01  | 0.02  | 0.02  | 0.04  |
| $\geq 0.5$  | C                                 | $\leq 3$                | 0.02                            | 0.03                             | 0.2  | 0.005     | 0.01  | 0.02  | 0.02  | 0.03  |
| $\geq 0.5$  | C                                 | $\geq 6$                | 0.015                           | 0.02                             | 0.2  | 0.005     | 0.005 | 0.015 | 0.015 | 0.02  |
| $\leq 0.0$  | NC                                | $\leq 3$                | 0.02                            | 0.03                             | 0.2  | 0.005     | 0.01  | 0.02  | 0.02  | 0.03  |
| $\leq 0.0$  | NC                                | $\geq 6$                | 0.01                            | 0.015                            | 0.2  | 0.0       | 0.005 | 0.01  | 0.01  | 0.015 |
| $\geq 0.5$  | NC                                | $\leq 3$                | 0.01                            | 0.015                            | 0.2  | 0.05      | 0.01  | 0.01  | 0.01  | 0.015 |
| $\geq 0.5$  | NC                                | $\geq 6$                | 0.005                           | 0.01                             | 0.2  | 0.0       | 0.005 | 0.005 | 0.005 | 0.01  |
| <b>ii. Beams controlled by shear<sup>1</sup></b>  |                                   |                         |                                 |                                  |      |           |       |       |       |       |
| Stirup spacing $\leq d/2$   |                                   | 0.0                     | 0.02                            | 0.2                              | 0.0  | 0.0       | 0.0   | 0.01  | 0.02  |       |
| Stirup spacing $\geq d/2$   |                                   | 0.0                     | 0.01                            | 0.2                              | 0.0  | 0.0       | 0.0   | 0.005 | 0.01  |       |
| <b>iii. Beams controlled by inadequate development or splicing along the span<sup>1</sup></b> |                                   |                         |                                 |                                  |      |           |       |       |       |       |
| Stirup spacing $\leq d/2$   |                                   | 0.0                     | 0.02                            | 0.0                              | 0.0  | 0.0       | 0.0   | 0.01  | 0.02  |       |
| Stirup spacing $\geq d/2$   |                                   | 0.0                     | 0.01                            | 0.0                              | 0.0  | 0.0       | 0.0   | 0.005 | 0.01  |       |
| <b>iv. Beams controlled by inadequate embedment into beam-column joint<sup>1</sup></b>        |                                   |                         |                                 |                                  |      |           |       |       |       |       |
|   |                                   | 0.015                   | 0.03                            | 0.2                              | 0.01 | 0.01      | 0.015 | 0.02  | 0.03  |       |

- When more than one condition i, ii, iii, and iv occurs for a given component, use the minimum appropriate numerical value for the table.
- Under the heading "Transverse Reinforcement", 'C' and 'NC' are abbreviations for conforming and non-conforming details, respectively. A component is conforming if, within the flexural plastic region, closed stirups are spaced at  $\leq d/3$ , and if, for the component of moderate and high ductility demand, the strength provided by the stirups ( $V_s$ ) is at least three – fourths of the design shear. Otherwise, the component is considered non-conforming.
- Linear interpolation between values listed in the table is permitted.

Tabel 7.1 Modelling Parameter and Numerical Acceptance Criteria for Non-Linear Procedures – Reinforced Concrete Beams

| Conditions  | Modelling Parameters <sup>4</sup> |                        |                         | Acceptance Criteria <sup>4</sup> |      |       |         |       |           |
|---|-----------------------------------|------------------------|-------------------------|----------------------------------|------|-------|---------|-------|-----------|
|   | Plastic Rotation Angle, radians   |                        | Residual Strength Ratio | Plastic Rotation Angle, radians  |      |       |         |       |           |
|   |                                   |                        |                         | Component Type                   |      |       | Primary |       | Secondary |
|   | Plastic Rotation Angle, radians   |                        |                         | Performance Level                |      |       |         |       |           |
| Conditions  | a                                 | b                      | c                       | IO                               | LS   | CP    | LS      | CP    |           |
| <b>i. Columns controlled by flexural<sup>1,3</sup></b>  |                                   |                        |                         |                                  |      |       |         |       |           |
| $\frac{P}{A_g f_c}$   | Trans.<br>Reinf. <sup>2</sup>     | $V_{b_w d \sqrt{f_c}}$ |                         |                                  |      |       |         |       |           |
| $\leq 0.1$  | C                                 | $\leq 3$               | 0.02                    | 0.03                             | 0.2  | 0.005 | 0.01    | 0.02  | 0.015     |
| $\leq 0.1$  | C                                 | $\geq 6$               | 0.015                   | 0.025                            | 0.2  | 0.005 | 0.01    | 0.015 | 0.01      |
| $\geq 0.4$  | C                                 | $\leq 3$               | 0.015                   | 0.025                            | 0.2  | 0.0   | 0.005   | 0.015 | 0.01      |
| $\geq 0.4$  | C                                 | $\geq 6$               | 0.01                    | 0.015                            | 0.2  | 0.0   | 0.005   | 0.01  | 0.015     |
| $\leq 0.1$  | NC                                | $\leq 3$               | 0.01                    | 0.015                            | 0.2  | 0.005 | 0.005   | 0.01  | 0.005     |
| $\leq 0.1$  | NC                                | $\geq 6$               | 0.0005                  | 0.0005                           | -    | 0.005 | 0.005   | 0.005 | 0.005     |
| $\geq 0.4$  | NC                                | $\leq 3$               | 0.005                   | 0.0005                           | -    | 0.0   | 0.0     | 0.005 | 0.0       |
| $\geq 0.4$  | NC                                | $\geq 6$               | 0.0                     | 0.0                              | -    | 0.0   | 0.0     | 0.0   | 0.0       |
| <b>ii. Columns controlled by shear<sup>1,3</sup></b>  |                                   |                        |                         |                                  |      |       |         |       |           |
| Hoop spacing $\leq d/2$<br>or $\frac{P}{A_g f_c} \leq 0.1$  |                                   |                        |                         |                                  |      |       |         |       |           |
| $A_g f_c$   |                                   |                        | 0.0                     | 0.015                            | 0.2  | 0.0   | 0.0     | 0.0   | 0.015     |
| Other cases   |                                   |                        | 0.0                     | 0.0                              | 0.0  | 0.0   | 0.0     | 0.0   | 0.0       |
| <b>iii. Columns controlled by inadequate development or splicing along the clear height<sup>1,3</sup></b> |                                   |                        |                         |                                  |      |       |         |       |           |
| Hoop spacing $\leq d/2$   |                                   | 0.01                   | 0.02                    | 0.4                              | 1.0  | 1.0   | 1.0     | 0.01  | 0.02      |
| Stirrup spacing $\geq d/2$  |                                   | 0.0                    | 0.01                    | 0.2                              | 1.0  | 1.0   | 1.0     | 0.005 | 0.01      |
| <b>iv. Columns with axial loads exceeding <math>0.70 P_o</math><sup>1,3</sup></b>                         |                                   |                        |                         |                                  |      |       |         |       |           |
| Conforming reinforcement over the entire length   |                                   | 0.015                  | 0.03                    | 0.2                              | 0.01 | 0.01  | 0.015   | 0.02  | 0.03      |
| All other cases   |                                   | 0.0                    | 0.0                     | 0.0                              | 0.0  | 0.0   | 0.0     | 0.0   | 0.0       |

- When more than one condition i, ii, iii, and iv occurs for a given component, use the minimum appropriate numerical value for the table.
- Under the heading "Transverse Reinforcement", 'C' and 'NC' are abbreviations for conforming and non-conforming details, respectively. A component is conforming if, within the flexural plastic region, closed stirrups are spaced at  $\leq d/3$ , and if, for the component of moderate and high ductility demand, the strength provided by the stirrups ( $V_s$ ) is at least three – fourths of the design shear. Otherwise, the components is considered non-conforming.
- To qualify, hoops must not be lap spliced in the cover concrete, and hooks must have hook embedded in the core or other details to ensure that hoops will be adequately anchored following spalling of cover concrete.
- Linear interpolation between values listed in the table is permitted.

Tabel 7.2 Modelling Parameter and Numerical Acceptance Criteria for Non-Linear Procedures – Reinforced Concrete Columns

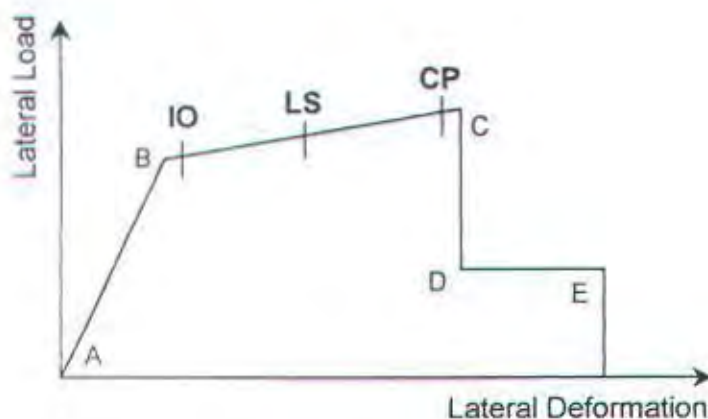
| Conditions  | Modelling Parameters            |                                |                         | Acceptance Criteria             |       |         |       |           |       |  |  |  |
|---|---------------------------------|--------------------------------|-------------------------|---------------------------------|-------|---------|-------|-----------|-------|--|--|--|
|   | Plastic Rotation Angle, radians |                                | Residual Strength Ratio | Plastic Rotation Angle, radians |       |         |       |           |       |  |  |  |
|   |                                 |                                |                         | Component Type                  |       | Primary |       | Secondary |       |  |  |  |
|   | a                               | b                              | c                       | IO                              | LS    | CP      | LS    | CP        |       |  |  |  |
| <b>i. Shear walls and wall segment</b>  |                                 |                                |                         |                                 |       |         |       |           |       |  |  |  |
| $\frac{(A_t - A'_t)f_y + P}{I_w f_c}$   | $\frac{Shear}{I_w f_c}$         | Confined Boundary <sup>1</sup> |                         |                                 |       |         |       |           |       |  |  |  |
| $\leq 0.1$  | $\leq 3$                        | Yes                            | 0.015                   | 0.02                            | 0.75  | 0.005   | 0.01  | 0.015     | 0.015 |  |  |  |
| $\leq 0.1$  | $\geq 6$                        | Yes                            | 0.01                    | 0.015                           | 0.4   | 0.004   | 0.008 | 0.01      | 0.01  |  |  |  |
| $\geq 0.25$   | $\leq 3$                        | Yes                            | 0.009                   | 0.012                           | 0.6   | 0.003   | 0.006 | 0.009     | 0.009 |  |  |  |
| $\geq 0.25$   | $\geq 6$                        | Yes                            | 0.005                   | 0.01                            | 0.3   | 0.001   | 0.003 | 0.005     | 0.005 |  |  |  |
| $\leq 0.1$  | $\leq 3$                        | No                             | 0.008                   | 0.015                           | 0.6   | 0.002   | 0.004 | 0.008     | 0.015 |  |  |  |
| $\leq 0.1$  | $\geq 6$                        | No                             | 0.006                   | 0.01                            | 0.3   | 0.002   | 0.004 | 0.006     | 0.01  |  |  |  |
| $\geq 0.25$   | $\leq 3$                        | No                             | 0.003                   | 0.005                           | 0.25  | 0.001   | 0.002 | 0.003     | 0.003 |  |  |  |
| $\geq 0.25$   | $\geq 6$                        | No                             | 0.002                   | 0.004                           | 0.2   | 0.001   | 0.001 | 0.002     | 0.004 |  |  |  |
| <b>ii. Columns supporting discontinuous shear walls</b>                       |                                 |                                |                         |                                 |       |         |       |           |       |  |  |  |
| Transverse reinforcement <sup>2</sup>   |                                 |                                |                         |                                 |       |         |       |           |       |  |  |  |
| Conforming  |                                 | 0.01                           | 0.015                   | 0.2                             | 0.003 | 0.007   | 0.01  | n.a       | n.a   |  |  |  |
| Non conforming  |                                 | 0                              | 0                       | 0                               | 0     | 0       | 0     | n.a       | n.a   |  |  |  |
|   |                                 | Chord Rotation, radians        | d                       | e                               |       |         |       |           |       |  |  |  |
|   |                                 |                                |                         |                                 |       |         |       |           |       |  |  |  |
| <b>iii. Shear wall coupling beams</b>   |                                 |                                |                         |                                 |       |         |       |           |       |  |  |  |
| Longitudinal and transverse reinforcement <sup>3</sup>                        |                                 | $\frac{Shear}{I_w f_c}$        |                         |                                 |       |         |       |           |       |  |  |  |
| Conventional longitudinal reinforcement with conforming transverse reinf.     |                                 | $\leq 3$                       | 0.025                   | 0.04                            | 0.75  | 0.006   | 0.015 | 0.025     | 0.025 |  |  |  |
|   |                                 | $\geq 6$                       | 0.015                   | 0.03                            | 0.5   | 0.005   | 0.01  | 0.015     | 0.015 |  |  |  |
| Conventional longitudinal reinforcement with non-conforming transverse reinf. |                                 | $\leq 3$                       | 0.02                    | 0.035                           | 0.5   | 0.006   | 0.012 | 0.02      | 0.036 |  |  |  |
|   |                                 | $\geq 6$                       | 0.01                    | 0.025                           | 0.25  | 0.005   | 0.008 | 0.01      | 0.01  |  |  |  |
| Diagonal reinforcement  |                                 | n.a                            | 0.03                    | 0.05                            | 0.8   | 0.006   | 0.018 | 0.03      | 0.05  |  |  |  |

- Requirements for a confined boundary are the same as those given in ACI 318-95
- Requirements for conforming transverse reinforcements are : (a) closed stirups over the entire length of the column at spacing  $\leq d/2$ , and (b) strength of closed stirups  $V_s \geq$  required shear strength of column.
- Conventional longitudinal reinforcement consist of top and bottom steel parallel to the longitudinal axis of the beam. Conforming transverse reinforcement consist of : (a) closed stirups over the entire length of the beam at spacing  $\leq d/3$ , and (b) strength of closed stirups  $V_s \geq \frac{1}{4}$  of required shear strength of beam

Tabel 7.3 Modelling Parameter and Numerical Acceptance Criteria for Non-Linear Procedures Members controlled by Flexure

## 7.2. ANALISA PUSHOVER DENGAN SAP2000

Seperti yang telah disinggung pada bab sebelumnya, analisa statik non-linear yang akan digunakan dalam Tugas Akhir ini adalah analisa Pushover dengan memakai bantuan program komputer SAP2000. Dimana untuk program ini, ada beberapa istilah mengenai kriteria penerimaan yang perlu diberikan, yaitu :



Gambar 7.2 Acceptance Criteria

Keterangan gambar 5.2 :

IO = Immediate Occupancy

LS = Life Safety

CP = Collapse Prevention

Analisa Pushover adalah analisa displacement struktur dengan beban gempa statik equivalent yang besarnya beban ditingkatkan berangsur-angsur secara proporsional sampai struktur mencapai suatu *performance level* tertentu. Ada tiga hal penting yang akan dihasilkan oleh analisa pushover ini, yakni kurva kapasitas struktur, mekanisme keruntuhan struktur tersebut, serta *performance-point* yang merupakan perpotongan kurva *capacity* dan *demand*.

Kemampuan dari suatu struktur untuk menahan gaya lateral yang bekerja dapat dilihat dari kurva kapasitasnya. Sedangkan mekanisme keruntuhan struktur dapat dilihat melalui gambaran letak sendi-sendi plastis yang terjadi serta taraf kerusakan dari sendi plastis tersebut sesuai kriteria penerimaan seperti IO, LS, atau CP.

Adapun langkah-langkah yang akan dilakukan untuk menjalankan analisa pushover ini di SAP2000 adalah sebagai berikut :

1. Pembuatan model struktur di SAP2000 yaitu balok, kolom, dan *shearwall* dimodelkan sebagai *frame*. Sekali lagi digunakan *end-offset* untuk menampilkan efek penampang.

2. Pendefinisian beban mati dan hidup (sama seperti pada bab 6)
3. Pemasangan tulangan lentur pada masing-masing komponen sesuai hasil perhitungan dari bab 6.
4. Pendefinisian beban pushover (beban *PUSH*)
5. Pendefinisian *hinge properties* dan letaknya.
6. Pendefinisian analisa pushover.
7. Running analisa statik dilanjutkan dengan analisa pushover.

Berikut akan diberikan penjelasan singkat untuk masing-masing langkah :

Langkah 1 : Langkah ini sama seperti yang dilakukan pada saat kita melakukan analisa linear pada bab 6 sebelumnya. Struktur rangka, baik balok, kolom, maupun *shearwall* dimodelkan sebagai *frame*. Kemudian untuk menampilkan efek penampang digunakan *end-offset*, sedangkan efek kekakuan akibat pelat lantai diwakili oleh fasilitas *constraint-diaphragma*.

Langkah 2 : Sekali lagi beban-beban mati dan hidup untuk balok masing-masing lantai akan dimasukkan dalam input SAP2000, sama seperti yang dilakukan dalam analisa linear.

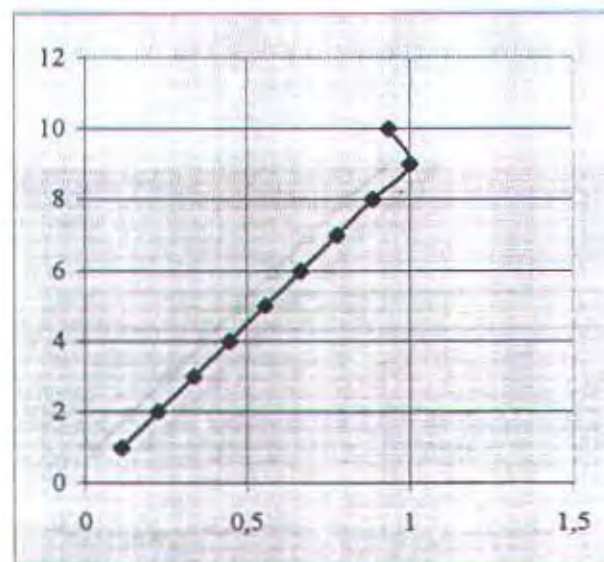
Langkah 3 : Hasil perhitungan penulangan lentur yang dilakukan di bab 6 dan telah direkap dalam tabel 6.20 dan 6.22, kemudian dimasukkan dalam input SAP 2000.

Langkah 4 : Yang dimaksud sebagai beban pushover adalah beban lateral yang digunakan sebagai wakil beban gempa. Oleh sebab itu beban pushover ini harus dapat menggambarkan distribusi gaya gempa yang terjadi, yaitu berbentuk segitiga terbalik. Untuk itu akan digunakan gaya gempa hasil perhitungan bab 6.3.2.3 yang telah diskala. Untuk lebih jelasnya dapat dilihat pada tabel 7.4 dan gambar 7.3 berikut :



| Tingkat | Gaya Gempa kg | Rasio Beban PushOver |
|---------|---------------|----------------------|
| 10      | 158631,79     | 0,937                |
| 9       | 169343,98     | 1                    |
| 8       | 150527,98     | 0,889                |
| 7       | 131711,98     | 0,778                |
| 6       | 112895,98     | 0,667                |
| 5       | 94079,99      | 0,556                |
| 4       | 75263,99      | 0,444                |
| 3       | 56447,99      | 0,333                |
| 2       | 37631,99      | 0,222                |
| 1       | 18816,00      | 0,111                |

Tabel 7.4 Perhitungan Beban Pushover



Gambar 7.3 Grafik Rasio Beban Pushover terhadap Lantai gedung

Langkah 5 : Jenis dari sendi plastis yang nantinya akan di-assign ke balok-kolom dalam pemodelan *frame* untuk SAP2000 adalah sebagai berikut :

| Elemen Strukur | Jenis Sendi Plastis |
|----------------|---------------------|
| Balok          | M3                  |
| Kolom          | PMM                 |

Tabel 7.5 Jenis-jenis Sendi Plastis untuk masing-masing Elemen Struktur

Setelah selesai dengan pendefinisian *hinge properties*, maka langkah selanjutnya adalah meng-*assign* masing-masing jenis sendi plastis untuk elemen yang bersesuaian. Dimana sendi plastis tersebut akan diletakkan di ujung-ujung balok maupun kolom (dekat *beam-column joint*).

Pemodelan sendi plastis sesuai *default* SAP2000 adalah sebagai berikut :

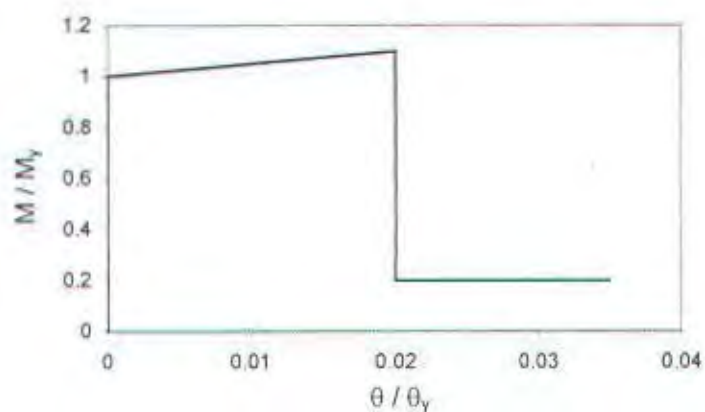
- Sendi plastis *M3*

| Point | $M / M_y$ | $\theta / \theta_y$ |
|-------|-----------|---------------------|
| A     | 0         | 0                   |
| B     | 1         | 0                   |
| C     | 1.1       | 0.02                |
| D     | 0.2       | 0.02                |
| E     | 0.2       | 0.035               |

Ket :

$$\theta_y = 1$$

$M_y$  = Momen leleh karena tulangan terpasang



Tabel 7.6 Nilai Parameter sendi plastis *M3*

Gambar 7.4 Grafik Load-Deformation *M3*

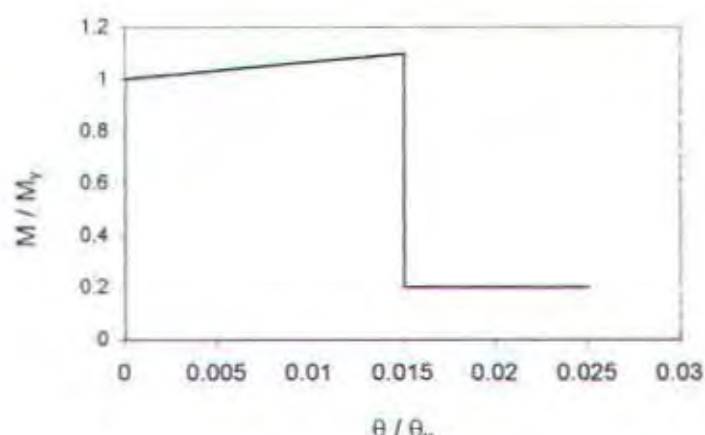
- Sendi plastis *PMM*

| Point | $M / M_y$ | $\theta / \theta_y$ |
|-------|-----------|---------------------|
| A     | 0         | 0                   |
| B     | 1         | 0                   |
| C     | 1.1       | 0.015               |
| D     | 0.2       | 0.015               |
| E     | 0.2       | 0.025               |

Ket :

$$\theta_y = 1$$

$M_y$  = Momen leleh karena tulangan terpasang



Tabel 7.7 Nilai Parameter sendi plastis *PMM*

Gambar 7.5 Grafik Load-Deformation *PMM*

Langkah 6 : Yang dimaksud dengan pendefinisian analisa pushover adalah pendefinisian kontrol yang akan dipakai, dimana kriteria yang digunakan antara lain :

1. Analisa Pushover yang pertama disebut GRAV

Analisa ini merupakan kombinasi pembebanan  $1.0D + 0.25L$  dan merupakan analisa yang dikontrol oleh gaya (*force-controlled analysis*).

## 2. Analisa Pushover kedua disebut PUSH / JOINT-n

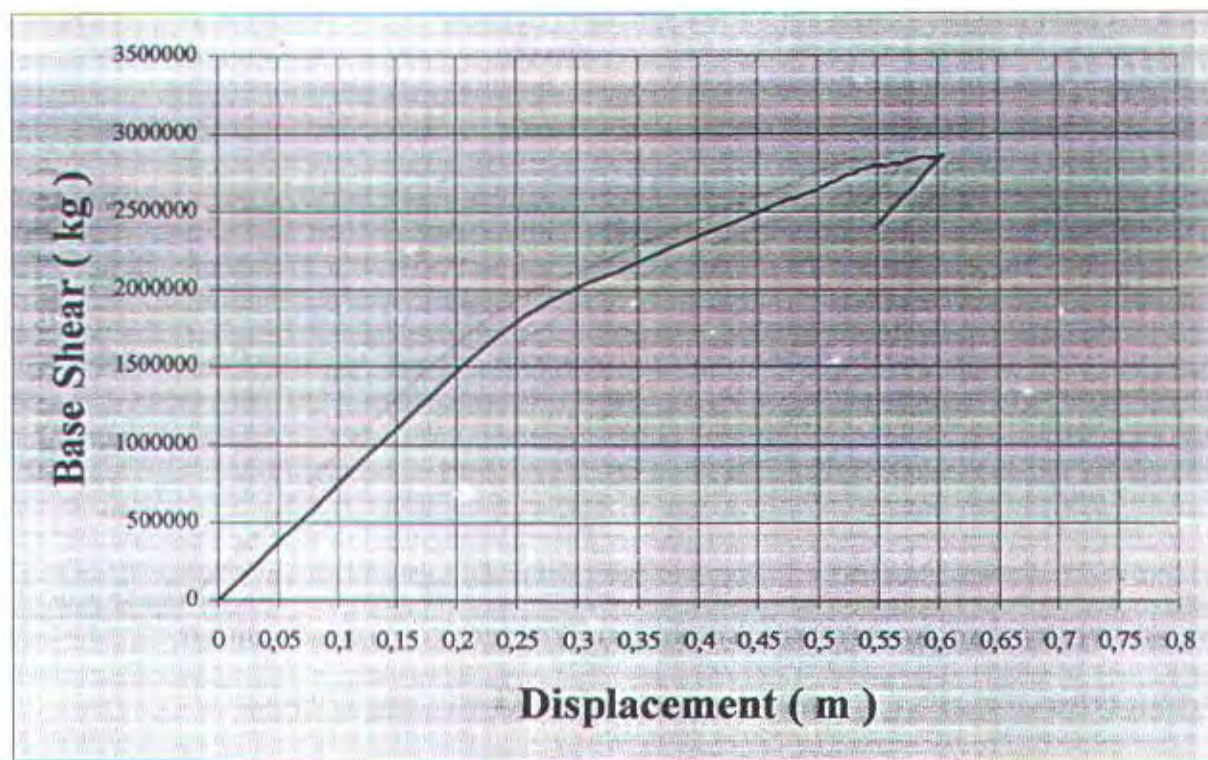
Dimana n adalah joint kontrol yang kita gunakan sebagai parameter target displacement, dan biasanya joint ini terletak pada puncak gedung (*roof-top*). Analisa ini merupakan kelanjutan analisa GRAV dengan beban PUSH seperti yang telah disebutkan dalam tahap (4). Analisa ini merupakan analisa yang dikontrol oleh deformasi (*deformation-controlled analysis*). Member *Unloading method* yang akan digunakan dalam Tugas Akhir ini adalah *Unload Entire Structure*. Metode ini merupakan metode yang paling efisien dibanding kedua metode lainnya (*Apply Local Redistribution* dan *Restart Using Secant Stiffness*). Prinsip metode ini adalah jika pada suatu sendi plastis telah tercapai kondisi regangan yang berbalik arah (regangan negatif) komputer akan meng-*unload* seluruh struktur hingga pada sendi plastis tersebut benar-benar dalam kondisi *unloaded* dan kemudian bagian struktur yang lain akan menerima beban yang dipindahkan dari sendi plastis tersebut.

Input SAP2000 untuk analisa Pushover serta gambar letak dan jenis sendi plastis yang digunakan pada struktur dapat dilihat pada Lampiran III.

### 7.3. HASIL ANALISA PUSHOVER

Seperi yang disebutkan sebelumnya, ada 3 hal penting yang dihasilkan oleh analisa pushover pada SAP2000 : kurva kapasitas, mekanisme pembentukan sendi plastis pada komponen-komponen struktur, serta kurva *Spectral Displacement vs Spectral Acceleration (performance point versi SAP2000)*

Kurva kapasitas adalah suatu kurva yang menunjukkan hubungan antara simpangan struktur (pada suatu titik kontrol, biasanya pada atap gedung) dan gaya gempa dasar (*base shear*). Untuk hasil running pushover yang dilakukan sesuai bab sebelumnya, diperoleh kurva kapasitas seperti yang ada pada gambar 7.6. Sedangkan untuk nilai-nilai nominal performance-based design *step*-nya dapat dilihat pada tabel 7.8. Untuk gambar mekanisme pembentukan sendi plastis beserta gambar kurva *Spectral Displ. vs Spectral Acc.* nya, dapat dilihat pada Lampiran III.



Gambar 7.6. Kurva Kapasitas (Trial Awal)

| Step | Displacement (m) | Base Force (kg) | A-B  | B-IO | IO-LS | LS-CP | CP-C | C-D | D-E | >E | TOTAL |
|------|------------------|-----------------|------|------|-------|-------|------|-----|-----|----|-------|
| 0    | 0                | 0               | 1680 | 0    | 0     | 0     | 0    | 0   | 0   | 0  | 1680  |
| 1    | 0,1              | 748856,25       | 1680 | 0    | 0     | 0     | 0    | 0   | 0   | 0  | 1680  |
| 2    | 0,1535           | 1149344,5       | 1679 | 1    | 0     | 0     | 0    | 0   | 0   | 0  | 1680  |
| 3    | 0,2553           | 1809829         | 1436 | 201  | 43    | 0     | 0    | 0   | 0   | 0  | 1680  |
| 4    | 0,3588           | 2206258,5       | 1324 | 183  | 143   | 30    | 0    | 0   | 0   | 0  | 1680  |
| 5    | 0,4591           | 2523624         | 1283 | 95   | 166   | 136   | 0    | 0   | 0   | 0  | 1680  |
| 6    | 0,4782           | 2583323,5       | 1278 | 85   | 164   | 151   | 0    | 2   | 0   | 0  | 1680  |
| 7    | 0,4782           | 2577915,5       | 1278 | 83   | 163   | 154   | 0    | 0   | 2   | 0  | 1680  |
| 8    | 0,4826           | 2591780,25      | 1276 | 83   | 163   | 154   | 0    | 2   | 2   | 0  | 1680  |
| 9    | 0,4826           | 2591246,75      | 1275 | 84   | 163   | 154   | 0    | 0   | 4   | 0  | 1680  |
| 10   | 0,499            | 2642962,25      | 1273 | 81   | 155   | 167   | 0    | 0   | 2   | 2  | 1680  |
| 11   | 0,499            | 2640411         | 1273 | 80   | 156   | 167   | 0    | 0   | 2   | 2  | 1680  |
| 12   | 0,5031           | 2653614,75      | 1272 | 81   | 148   | 174   | 0    | 1   | 1   | 3  | 1680  |
| 13   | 0,5031           | 2651647,25      | 1272 | 80   | 148   | 174   | 0    | 0   | 2   | 4  | 1680  |
| 14   | 0,5177           | 2697464,25      | 1268 | 76   | 150   | 180   | 0    | 0   | 1   | 5  | 1680  |
| 15   | 0,5177           | 2696807,25      | 1268 | 76   | 150   | 180   | 0    | 0   | 1   | 5  | 1680  |
| 16   | 0,5316           | 2740523,5       | 1259 | 80   | 128   | 207   | 0    | 0   | 0   | 6  | 1680  |
| 17   | 0,5316           | 2739858,25      | 1259 | 80   | 128   | 207   | 0    | 0   | 0   | 6  | 1680  |

|    |        |            |      |    |     |     |   |   |    |    |      |
|----|--------|------------|------|----|-----|-----|---|---|----|----|------|
| 18 | 0,5438 | 2777375,25 | 1253 | 83 | 118 | 218 | 0 | 2 | 0  | 6  | 1680 |
| 19 | 0,5438 | 2780740,75 | 1250 | 86 | 118 | 215 | 0 | 2 | 3  | 6  | 1680 |
| 20 | 0,5438 | 2778626    | 1248 | 84 | 103 | 214 | 0 | 1 | 20 | 10 | 1680 |
| 21 | 0,5438 | 2773438,25 | 1248 | 84 | 101 | 212 | 0 | 1 | 19 | 15 | 1680 |
| 22 | 0,5438 | 2774369,5  | 1247 | 83 | 100 | 214 | 0 | 0 | 19 | 17 | 1680 |
| 23 | 0,5461 | 2783967    | 1247 | 83 | 96  | 216 | 0 | 2 | 16 | 20 | 1680 |
| 24 | 0,5461 | 2781809,25 | 1245 | 84 | 96  | 214 | 0 | 1 | 17 | 23 | 1680 |
| 25 | 0,5461 | 2776786,5  | 1245 | 84 | 96  | 214 | 0 | 0 | 18 | 23 | 1680 |
| 26 | 0,5488 | 2785979,75 | 1245 | 83 | 95  | 214 | 0 | 2 | 18 | 23 | 1680 |
| 27 | 0,5488 | 2778439,25 | 1245 | 83 | 95  | 214 | 0 | 0 | 20 | 23 | 1680 |
| 28 | 0,5514 | 2786813,25 | 1244 | 83 | 94  | 212 | 0 | 4 | 19 | 24 | 1680 |
| 29 | 0,5514 | 2774191,75 | 1244 | 83 | 93  | 213 | 0 | 0 | 23 | 24 | 1680 |
| 30 | 0,5549 | 2785876,25 | 1243 | 84 | 92  | 211 | 0 | 3 | 21 | 26 | 1680 |
| 31 | 0,5549 | 2775191,75 | 1243 | 82 | 93  | 212 | 0 | 0 | 24 | 26 | 1680 |
| 32 | 0,5659 | 2810163,25 | 1238 | 85 | 92  | 212 | 0 | 3 | 23 | 27 | 1680 |
| 33 | 0,5659 | 2795221    | 1238 | 83 | 94  | 211 | 0 | 0 | 27 | 27 | 1680 |
| 34 | 0,5685 | 2804103,25 | 1237 | 84 | 93  | 210 | 0 | 2 | 25 | 29 | 1680 |
| 35 | 0,5685 | 2794309    | 1237 | 84 | 93  | 209 | 0 | 1 | 27 | 29 | 1680 |
| 36 | 0,5685 | 2791450    | 1237 | 84 | 93  | 209 | 0 | 0 | 28 | 29 | 1680 |
| 37 | 0,586  | 2846749    | 1231 | 86 | 92  | 210 | 0 | 4 | 27 | 30 | 1680 |
| 38 | 0,586  | 2833616,25 | 1231 | 86 | 91  | 210 | 0 | 1 | 30 | 31 | 1680 |
| 39 | 0,586  | 2836236,5  | 1230 | 87 | 91  | 210 | 0 | 0 | 31 | 31 | 1680 |
| 40 | 0,5889 | 2846017,25 | 1230 | 87 | 88  | 212 | 0 | 1 | 29 | 33 | 1680 |
| 41 | 0,5889 | 2838085    | 1230 | 87 | 88  | 212 | 0 | 0 | 30 | 33 | 1680 |
| 42 | 0,5917 | 2847681,5  | 1230 | 87 | 87  | 213 | 0 | 0 | 29 | 34 | 1680 |
| 43 | 0,5917 | 2840541    | 1230 | 87 | 87  | 212 | 0 | 0 | 30 | 34 | 1680 |
| 44 | 0,5943 | 2849386    | 1230 | 87 | 86  | 210 | 0 | 3 | 27 | 37 | 1680 |
| 45 | 0,5943 | 2829016,25 | 1230 | 87 | 85  | 211 | 0 | 0 | 30 | 37 | 1680 |
| 46 | 0,5967 | 2839654    | 1230 | 87 | 83  | 212 | 0 | 1 | 30 | 37 | 1680 |
| 47 | 0,5967 | 2831280,25 | 1230 | 87 | 83  | 212 | 0 | 0 | 31 | 37 | 1680 |
| 48 | 0,5995 | 2841687,75 | 1230 | 87 | 79  | 215 | 0 | 1 | 31 | 37 | 1680 |
| 49 | 0,5995 | 2835374,5  | 1230 | 87 | 79  | 215 | 0 | 0 | 32 | 37 | 1680 |
| 50 | 0,6061 | 2858003,5  | 1227 | 89 | 78  | 214 | 0 | 3 | 31 | 38 | 1680 |
| 51 | 0,6061 | 2851261    | 1224 | 91 | 76  | 215 | 0 | 2 | 33 | 39 | 1680 |
| 52 | 0,5484 | 2387335,25 | 1224 | 91 | 76  | 215 | 0 | 2 | 33 | 39 | 1680 |

Tabel 7.8 Tabel Capacity Curve hasil analisa Pushover (trial awal)

Dari gambar mekanisme pembentukan sendi plastis yang terjadi, terlihat bahwa sendi plastis yang terbentuk dominan terjadi di balok daripada di kolom. Hal ini sesuai dengan perencanaan awal kita yaitu *beam sidesway mechanism*.

Perlu diketahui terlebih dulu, bahwa dalam Tugas Akhir ini tidak akan digunakan nilai *performance point (PP)* versi SAP2000 yang terdapat pada kurva *Spectral Displ. vs Spectral Acc.* sebagai pembanding *target displacement* yang telah kita tetapkan dalam bab 6.6. Hal ini disebabkan karena perumusan dalam menentukan *target displacement* tersebut, didasarkan pada rotasi drift ultimate balok ( $\theta_c = 0.025$ ) yaitu suatu kondisi dimana struktur berada di ambang keruntuhannya. Sedangkan *PP* versi SAP2000 merupakan suatu kecocokan antara *capacity* struktur dengan *demand* gempa yang akan terjadi. Oleh karena itu, yang akan dipergunakan dalam mengecek target perpindahan kita adalah kurva kapasitas struktur (*Displacement vs Base Shear*).

Dari gambar 7.6, terlihat bahwa awalnya hubungan antara nilai *displacement* dengan *base shear* diwakili oleh suatu garis linier. Segmen garis inilah yang menunjukkan kondisi pada saat struktur berperilaku elastis, yaitu dimana penambahan gaya lateral akan berbanding lurus dengan penambahan *displacement* yang terjadi. Dari tabel 7.8 terlihat bahwa kondisi elastis ini berakhir pada saat  $\Delta = 0.1$  m dengan  $V = 748856,25$  kg (step 1). Pada saat inilah pertama kalinya terbentuk sendi plastis pada elemen struktur (lihat *Mekanisme Pembentukan Sendi Plastis* pada Lampiran III), yang mengakibatkan garis tersebut tidak lagi linear. Jika gaya lateral terus ditambah, sendi plastis yang terjadi akan semakin banyak, dan kekuatannya pun secara perlahan mulai menurun hingga pada suatu titik mengalami patahan secara tiba-tiba. Kondisi inilah yang disebut sebagai ambang batas keruntuhan struktur.

Meski dari tabel 7.8 terlihat bahwa nilai *displacement* mampu mencapai  $\Delta = 0,5484$  m, namun nilai ini tidak dapat kita pergunakan sebagai pembanding target perpindahan rencana yang telah kita tetapkan. Rupanya  $V_{max}$  telah tercapai pada step 6 ( $V_{max} = 2583323,5$  kg), dan untuk step-step berikutnya nilai  $V$  mengalami degradasi secara bertahap. Jadi meskipun setelah step-6 struktur masih mampu terus berdeformasi, akan tetapi ada bagian/beberapa bagian struktur yang telah mengalami kegagalan/keuntuhan. Maka yang akan kita pakai adalah nilai *displacement* pada step-6 tersebut yakni sebesar  $\Delta = 0,4782$  m. ( selengkapnya untuk nilai *displacement* dapat dilihat pada lampiran III ).

Ternyata simpangan struktur kita (0,4782 m) kurang dari target rencana yang kita tetapkan (0,581 m) dan persentase perbedaannya mencapai 17,7 %, jauh di atas nilai toleransi yang kita inginkan (5,0 %). Maka perlu diambil tindakan selanjutnya untuk menyesuaikan perbedaan ini agar memenuhi *target performance* rencana struktur kita.

## 7.4. SOLUSI UNTUK MENCAPAI TARGET DISPLACEMENT RENCANA

### 7.4.1. Teori Umum

Dari beberapa studi yang dilakukan pada literatur-literatur mengenai *performance-based design* khususnya tentang analisa Pushover, secara garis besarnya ada 3 metode/cara untuk menyesuaikan struktur kita dengan target *performance* yang kita inginkan :

1. Merubah penulangan lentur elemen struktur, khususnya elemen kolom dimana elemen ini kemampuan berdefleksinya amat ditentukan oleh nilai tulangan lentur yang kita pasang.
2. Merubah penulangan geser elemen struktur dan dengan sendirinya harus mendefinisikan ulang *properties* sendi plastis yang terdapat dalam program bantu kita (dalam hal ini SAP2000). Jenis elemen struktur yang kemampuan berdefleksinya amat dipengaruhi oleh nilai tulangan geser ini adalah elemen balok
3. Merubah nilai kekakuan (*rigidity*) dari struktur.

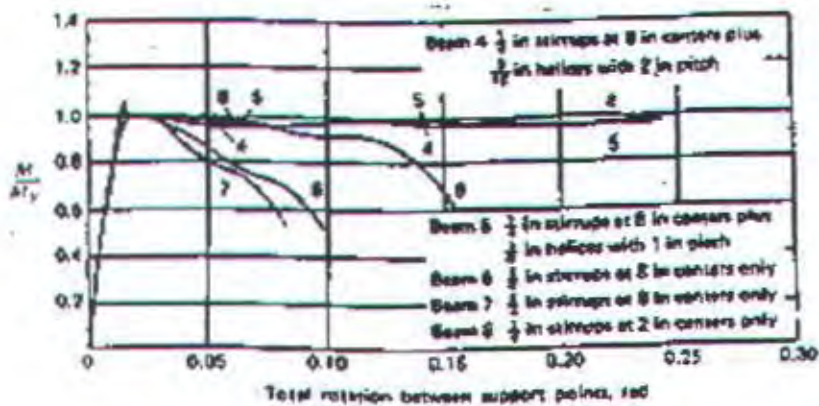
Di bawah ini akan dijelaskan secara singkatnya mengenai masing-masing cara.

*Cara 1* : metode ini berkaitan dengan perubahan kekuatan struktur, karena biasanya perubahan penulangan (lentur) berhubungan erat dengan kekuatan struktur. Pada contoh kasus seperti yang kita miliki, dimana nilai simpangan aktual ternyata kurang dari simpangan rencana, metode ini bisa diaplikasikan langsung yaitu dengan menambah jumlah tulangan lenturnya. Akan tetapi untuk kasus lain, dimana ternyata simpangan aktualnya justru melebihi simpangan rencana, metode ini perlu dipertimbangkan. Alasannya, pengurangan tulangan lentur tanpa perhitungan yang matang bisa membahayakan stabilitas struktur terhadap beban-beban gravitasi yang bekerja. Dikhawatirkan sebelum sempat memikul gaya lateral gempa, gedung telah mengalami kegagalan/runtuh hanya akibat *service load* nya.

Kelebihan utama cara ini adalah dari segi praktis dan kemudahan aplikasinya. Begitu nilai tulangan lentur diubah, *running Pushover* bisa segera dilakukan untuk mengecek perubahan yang terjadi. Kelemahannya adalah dari segi biaya yang mungkin menjadi lebih mahal dibanding cara kedua. Selain itu karena bersifat *trial and error*, cara ini tidak memiliki rumus eksak sehingga mungkin akan butuh *running* berkali-kali sebelum tercapainya hasil yang diinginkan.

*Cara 2* : metode ini berkaitan dengan perubahan daktilitas struktur. Dimana hasil eksperimen menunjukkan bahwa penambahan tulangan sengkang (*confinement*) pada

elemen-elemen struktur mampu menambah kemampuan berotasinya, tetapi tidak menambah kemampuannya dalam memikul gaya. (lihat gambar 7.7)



Gambar 7.7 Kurva Momen-Rotasi Eksperimental dengan Confinement berbeda-beda

Menurut Priestly dalam salah satu *paper*-nya, kebutuhan *confinement* suatu elemen struktur dapat dihitung dari keperluan rotasi atau daktilitas kurvatur nya, dimana dirumuskan sebagai berikut :

$$A_{sh} = \alpha \left[ 1 + 13 \left( \frac{P}{P_0} \right)^{\frac{1}{3}} \right] \frac{(\phi_0)^{1.15}}{29} A_{sh,c}$$

dimana :  $A_{sh,c} = 0.3 S h_c \left( \frac{A_g}{A_c} - 1 \right) \frac{f'_c}{f_y}$

$\alpha = 2.7$

$A_{sh}$  = luas *confinement*

$\phi_0$  = daktilitas kurvatur

$P$  = gaya aksial yang bekerja (untuk balok diambil bernilai nol)

$P_0$  = kapasitas kolom tanpa tulangan ( $= A_g f'_c$ )

*Catatan* : bila ternyata hasil perhitungan di atas menghasilkan nilai luasan tulangan sengkang yang lebih kecil dibanding kebutuhan tul.sengkang akibat beban-beban gravitasi (*service loads*) maka yang digunakan adalah nilai yang terbesar

Dari perumusan tersebut, kita bisa memasukkan nilai daktilitas kurvatur sesuai kebutuhan rotasi yang diperlukan clemen struktur kita.

Efek daripada perubahan nilai luasan tulangan sengkang ini harus dimasukkan dalam pendefinisian *hinge-properties* pada pada program bantu kita (lihat kembali gambar 7.4 dan 7.5). Perhitungan besarnya perubahan nilai  $\theta / \theta_y$  pada *hinge-properties* akibat perubahan

jumlah sengkang perlu mengikutsertakan sifat nonliner beton dan baja yang agak sulit bila dilakukan secara manual. Untuk itu bisa digunakan program bantu yang ada seperti *DRAIN2D* atau *DRAIN2DX*. Baru setelah semua sendi plastis didefinisikan ulang, analisa Pushover kembali dijalankan untuk melihat apakah target telah terpenuhi.

Kelebihan utama cara ini dibanding cara sebelumnya adalah dari segi ke ekonomisannya. Pada umumnya penambahan biaya akibat penambahan tulangan sengkang tidak sebesar akibat penambahan tulangan lentur. Selain itu cara ini membutuhkan *trial* yang lebih sedikit. Akan tetapi cara ini memiliki kelemahan utama yaitu kompleksitas penggerjaan yang jauh lebih besar dibanding cara 1. Bayangkan bila kita memiliki struktur yang kompleks dan masing-masing elemen harus didesain tulangan gesernya dan didefinisikan ulang sendi plastisnya. Cara ini butuh ketelitian dan keahlian yang tinggi serta bisa menghabiskan banyak waktu (*time-consuming*).

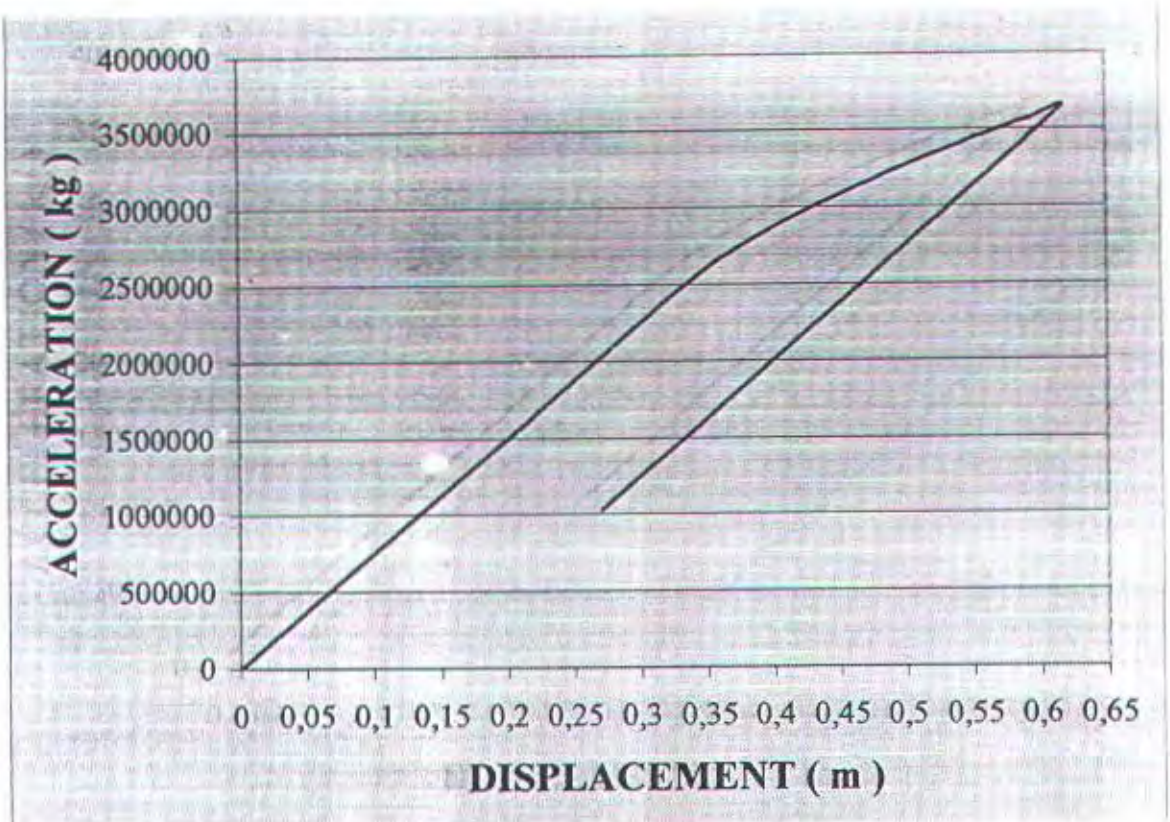
Cara 3 : metode ini berhubungan dengan pendefinisian ulang dimensi-dimensi primer struktur (balok, kolom, dan shearwall bila ada) untuk mengubah kekakuan struktur secara keseluruhan. Cara ini merupakan langkah terakhir yang diambil bila kedua cara diatas tidak lagi memungkinkan penyelesaian yang diharapkan. Akibatnya perhitungan harus kita ulang kembali dari awal (menghitung beban mati, hidup, dan gempa yang bekerja) dilanjutkan dengan perhitungan penulangannya.

Perlu ditekankan bahwa ketiga cara di atas hanyalah bersifat teoritis, tidak selamanya dalam semua kasus cara-cara tersebut bisa diterapkan. Dibutuhkan *engineering-judgement* yang baik untuk memutuskan cara mana yang terbaik diaplikasikan pada suatu kasus yang spesifik.

#### 7.4.2. Contoh Aplikasi Pada Perencanaan Gedung

Seperti yang diketahui, *performance* gedung kita ternyata tidak mencapai target seperti yang kita inginkan. Oleh karena itu akan digunakan salah satu dari ketiga cara yang telah disebutkan dalam bab 7.4.1. Untuk contoh aplikasi, cara yang akan dipilih adalah cara 1, dengan alasan cara ini paling mudah diaplikasikan dan tidak serumit cara 2 atau 3.

Meski diperkirakan akan membutuhkan beberapa kali *trial* sebelum tercapai suatu solusi yang memuaskan, hal ini bisa ditanggulangi dengan mengamati pola pembentukan sendi plastis yang terjadi pada setiap *trial* yang kita lakukan



Gambar 7.8. Kurva Kapasitas (Trial Akhir)

| Step | Displacement<br>( m ) | Base Force<br>( kg ) | A-B  | B-IO | IO-LS | LS-CP | CP-C | C-D | D-E | >E | TOTAL |
|------|-----------------------|----------------------|------|------|-------|-------|------|-----|-----|----|-------|
| 0    | 0                     | 0                    | 1680 | 0    | 0     | 0     | 0    | 0   | 0   | 0  | 1680  |
| 1    | 0,1                   | 748856,25            | 1680 | 0    | 0     | 0     | 0    | 0   | 0   | 0  | 1680  |
| 2    | 0,2                   | 1497712,5            | 1680 | 0    | 0     | 0     | 0    | 0   | 0   | 0  | 1680  |
| 3    | 0,2562                | 1918719,625          | 1679 | 1    | 0     | 0     | 0    | 0   | 0   | 0  | 1680  |
| 4    | 0,3588                | 2654525,5            | 1500 | 152  | 28    | 0     | 0    | 0   | 0   | 0  | 1680  |
| 5    | 0,4592                | 3116194,75           | 1345 | 180  | 130   | 25    | 0    | 0   | 0   | 0  | 1680  |
| 6    | 0,5547                | 3452466              | 1279 | 148  | 136   | 116   | 0    | 1   | 0   | 0  | 1680  |
| 7    | 0,5547                | 3449262,25           | 1278 | 146  | 132   | 123   | 0    | 0   | 0   | 1  | 1680  |
| 8    | 0,5868                | 3553638,25           | 1266 | 139  | 131   | 142   | 0    | 1   | 0   | 1  | 1680  |
| 9    | 0,5868                | 3551206,75           | 1265 | 140  | 129   | 144   | 0    | 0   | 0   | 2  | 1680  |
| 10   | 0,5908                | 3564538              | 1263 | 140  | 127   | 147   | 0    | 1   | 0   | 2  | 1680  |
| 11   | 0,5908                | 3558390,25           | 1259 | 142  | 125   | 149   | 0    | 1   | 0   | 4  | 1680  |
| 12   | 0,5908                | 3555467,75           | 1258 | 141  | 124   | 152   | 0    | 0   | 0   | 5  | 1680  |
| 13   | 0,6162                | 3637705              | 1247 | 130  | 128   | 166   | 0    | 4   | 0   | 5  | 1680  |
| 14   | 0,2701                | 1026892,75           | 1247 | 130  | 128   | 166   | 0    | 1   | 3   | 5  | 1680  |

Tabel 7.9 Tabel Capacity Curve hasil analisa Pushover (trial akhir)

Maka setelah dilakukan beberapa *trial* diperoleh hasil kurva kapasitas seperti yang ada pada gambar 7.7 dan tabel 7.9. Sekali lagi perlu diingat bahwa meski dari tabel 7.9 terlihat nilai *displacement* maksimum adalah 0.5547 m akan tetapi ternyata nilai *base force* telah mengalami degradasi dimulai pada step-6. Maka nilai *displacement* yang dipakai adalah yang terdapat pada step-6 yaitu  $\Delta = 0.5547$  m (untuk nilai *displacement* selengkapnya bisa dilihat pada lampiran III).

Sekali lagi kita bandingkan dengan target *displacement* ( $\Delta_t = 0.581$  m) yang kita miliki, akan diperoleh selisih sebesar 4,53%. Karena nilai ini masih berada di dalam batas toleransi kita, maka solusi ini bisa dianggap telah memenuhi kriteria kita.

Dari *trial-trial* yang telah dilakukan, diambil suatu kesimpulan bahwa ternyata untuk metode perubahan tulangan lentur, penting sekali untuk mengamati proses mekanisme pembentukan sendi plastis yang terjadi pada masing-masing trial. Dengan mengamati kecenderungan letak sendi plastis yang terbentuk, kita bisa mengurangi jumlah proses coba-coba yang diperlukan.

Pada contoh kasus yang kita miliki, ternyata ada kecenderungan bahwa balok-balok pada lantai 2, 3, dan 4 untuk mengalami *collapse* pertama kalinya. Sehingga pada lantai-lantai tersebut tulangan lenturnya mengalami perubahan. Sedang untuk perubahan tulangan kolom, disesuaikan dengan perubahan tulangan lentur balok pada tingkat yang berkaitan. Untuk data tulangan selengkapnya pada trial akhir ini bisa dilihat dari tabel 7.10 dan 7.11

| Letak    | Balok Lantai | Tulangan |        |
|----------|--------------|----------|--------|
| Tumpuan  | 1            | Atas     | 5 D 28 |
|          |              | Bawah    | 4 D 28 |
|          | 2            | Atas     | 6 D 28 |
|          |              | Bawah    | 4 D 28 |
|          | 3 ~ 10       | Atas     | 8 D 28 |
|          |              | Bawah    | 6 D 28 |
| Lapangan | Semua Lantai | Atas     | 2 D 28 |
|          |              | Bawah    | 2 D 28 |

(a)  $L = 7$  meter (melintang)

| Letak    | Balok Lantai | Tulangan |        |
|----------|--------------|----------|--------|
| Tumpuan  | Semua Lantai | Atas     | 7 D 28 |
|          |              | Bawah    | 4 D 28 |
| Lapangan | Semua Lantai | Atas     | 3 D 28 |
|          |              | Bawah    | 5 D 28 |

(b)  $L = 8$  meter (memanjang)

Tabel 7.10. Penulangan Lentur Balok (Trial Akhir)

| Letak              | Balok Lantai | Tipe      | Tulangan  |
|--------------------|--------------|-----------|-----------|
| Sendi Plastis      | Semua Lantai | Melintang | Ø12 - 100 |
|                    |              | Memanjang | Ø12 - 75  |
| Luar Sendi Plastis | Semua Lantai | Melintang | Ø12 - 210 |
|                    |              | Memanjang | Ø12 - 175 |

Tabel 7.11. Penulangan Geser Balok (Trial Akhir)

| Lantai | Tipe | Tulangan Lentur | $\rho$<br>(%) | Tulangan Transversal  |                        |
|--------|------|-----------------|---------------|-----------------------|------------------------|
|        |      |                 |               | $\leq l_o$            | $> l_o$                |
| 1 - 2  | A    | 12 D 25         | 1,05          | Ø12<br>spasi<br>80 mm | Ø12<br>spasi<br>150 mm |
|        | B    | 12 D 25         | 1,05          |                       |                        |
|        | C    | 12 D 25         | 1,05          |                       |                        |
|        | D    | 16 D 25         | 1,40          |                       |                        |
| 3 - 6  | A    | 12 D 25         | 1,05          | Ø12<br>spasi<br>80 mm | Ø12<br>spasi<br>150 mm |
|        | B    | 12 D 25         | 1,05          |                       |                        |
|        | C    | 12 D 25         | 1,05          |                       |                        |
|        | D    | 16 D 25         | 1,40          |                       |                        |
| 7 - 10 | A    | 12 D 25         | 1,05          |                       |                        |
|        | B    | 12 D 25         | 1,05          |                       |                        |
|        | C    | 12 D 25         | 1,05          |                       |                        |
|        | D    | 16 D 25         | 1,40          |                       |                        |

Tabel 7.12. Penulangan Kolom (Trial Akhir)

Catatan : Perlu diingat, semua perubahan akhir tulangan pada analisa Pushover perlu dicek kembali dan dikontrol terhadap peraturan yang digunakan (dalam kasus ini SK SNI 03 - xxxx - 2001). Untuk kasus perubahan tulangan di atas telah lulus pengecekan terhadap peraturan pemulangan yang ada.

#### 7.4.3. Performance Point

Dengan menggunakan tulangan *trial akhir* maka didapatkan kurva *performance point* yang terdapat pada lampiran. Disana terlihat bahwa *performance point* pada saat displacement mencapai 0,137 m dan gaya geser sebesar 1027670 kg. Tetapi dalam menentukan *performance level* angka *performance point* tidak diperhatikan, karena sampai sat ini korelasi diantara keduanya belum ada.

## BAB VIII

### KESIMPULAN DAN SARAN

#### 8.1.KESIMPULAN

Secara singkat dapat dijelaskan bahwa analisa analisa statik non-linear ( dalam hal ini menggunakan analisa *Pushover* ) merupakan suatu metode yang digunakan untuk mengetahui *performance* dari suatu struktur gedung. Hal ini sangat berbeda dengan metode yang sudah umum dipakai yaitu metode *force-based design*. Dalam metode *force-based design* kita tidak bisa mendapatkan gambaran *performance* dari gedung, hal ini dikarenakan metode ini menganggap bahwa suatu struktur gedung akan bersifat elastis ketika menerima beban yang berupa gaya-gaya. Padahal suatu struktur gedung akan bersifat inelastis ketika menerima beban gempa. Sedangkan pada analisa *pushover* kita bisa mengetahui perilaku gedung ketika menerima beban gempa, dari mulai bersifat elastis sampai struktur itu megalami kegagalan struktur ( *collapse* ).

Dalam melakukan analisa *pushover* diperlukan data yang lengkap dari struktur yang ada, dari ukuran, bentuk, beban-beban, sampai dengan tulangan yang dibutuhkan. Oleh karena itu sebelum melakukan analisa *pushover* kita harus terlebih dahulu melakukan analisa *linear* untuk hasilnya nanti digunakan untuk mengetahui tulangan yang dibutuhkan. Adapun hasil dari analisa linear adalah berupa gaya-gaya dalam dari struktur yang ada akibat beban-beban yang ada.

Setelah semua data yang dibutuhkan untuk melakukan analisa *pushover* sudah lengkap, maka kita bisa melakukan *running* analisa Pushover sesuai langkah-langkah yang telah dijelaskan dalam buku ini. Hasil dari analisa Pushover terbagi menjadi tiga komponen vital : kurva Kapasitas (*Displacement vs Base Shear*), kurva *performance-point* (*Spectral Acceleration vs Spectral Displacement*), dan gambar mekanisme pembentukan sendi plastis.

Dalam tugas akhir ini, kurva *performance-point* tidak kita pergunakan sebab hingga dengan saat penulisan buku ini berlangsung belum ada suatu perumusan numerik secara pasti mengenai korelasi antara *performance-level* dan *performance-point* yang dihasilkan oleh analisa Pushover ini. Baik ATC-40 maupun FEMA-273 sendiri hanya menyatakan bahwa korelasi tersebut amatlah subjektif tergantung dari *engineering judgement* dan *engineering experience* dari para pemakai metode ini.

Oleh sebab itu untuk menentukan *target performance* yang diinginkan dari struktur kita, digunakanlah perumusan Priestly dengan asumsi rotasi drift ultimate  $\theta_c = 0.025$ . Dimana nilai ini diambil dengan asumsi struktur kita berada pada ambang keruntuhannya.

Hasil *displacement* yang diperoleh melalui perumusan tersebut kita bandingkan dengan data dari kurva kapasitas hasil running analisa Pushover, yaitu *displacement* pada saat struktur akan mengalami kegagalan. Ternyata simpangan struktur kita (0,4782 m) kurang dari target rencana yang kita tetapkan (0,581 m) dan persentase perbedaannya mencapai 17,7 %, jauh di atas nilai toleransi yang kita inginkan (5,0 %). Maka perlu diambil tindakan selanjutnya untuk menyesuaikan perbedaan ini agar memenuhi *target performance* rencana struktur kita.

Dari beberapa sumber literatur mengenai *performance-based design* ini, bisa disimpulkan bahwa untuk merubah kemampuan berdefleksi struktur, setidaknya ada tiga hal yang dapat dirubah, antara lain :

1. Kemampuan lentur struktur, yakni dengan merubah nilai tulangan lentur
2. Daktilitas struktur, yaitu dengan merubah nilai *confinement* serta mendefinisikan ulang *hinge-properties* yang ada pada pemodelan komputer kita
3. Kekakuan struktur, yakni dengan merubah dimensi elemen-elemen primer struktur

Dengan mempertimbangkan berbagai kelebihan dan kelemahan cara-cara tersebut, maka diputuskan untuk menggunakan cara 1, yaitu dengan menambah penulangan lentur struktur.

Dengan mengamati kecenderungan mekanisme pembentukan sendi plastis yang terjadi pada saat dilakukan analisa Pushover, maka setelah dilakukan beberapa *trial* diperoleh hasil yang diinginkan, yakni struktur mampu berdefleksi sebesar 0,5547 m (selisih dengan target simpangan 4,52 %).

Dari pengajaran yang telah dilakukan dan semuanya telah tertuang dalam Tugas Akhir ini, maka dapat disimpulkan :

1. Analisa *pushover* dapat memberikan gambaran secara menyeluruh bagaimana perilaku struktur ketika dia menerima beban lateral yang berupa beban gempa. Dimana hasil yang diperoleh adalah seberapa besar *displacement* maksimum

yang terjadi, seberapa besar gaya geser maksimum yang mampu diterima struktur, bahkan proses pembentukan sendi plastis pada struktur sampai struktur yang ada mengalami kegagalan struktur (*collapse*).

2. Metode *pushover* tidak lagi mengharuskan kita menggunakan faktor-faktor konversi dari respons elastis ke respons inelastis ( misal harga R )

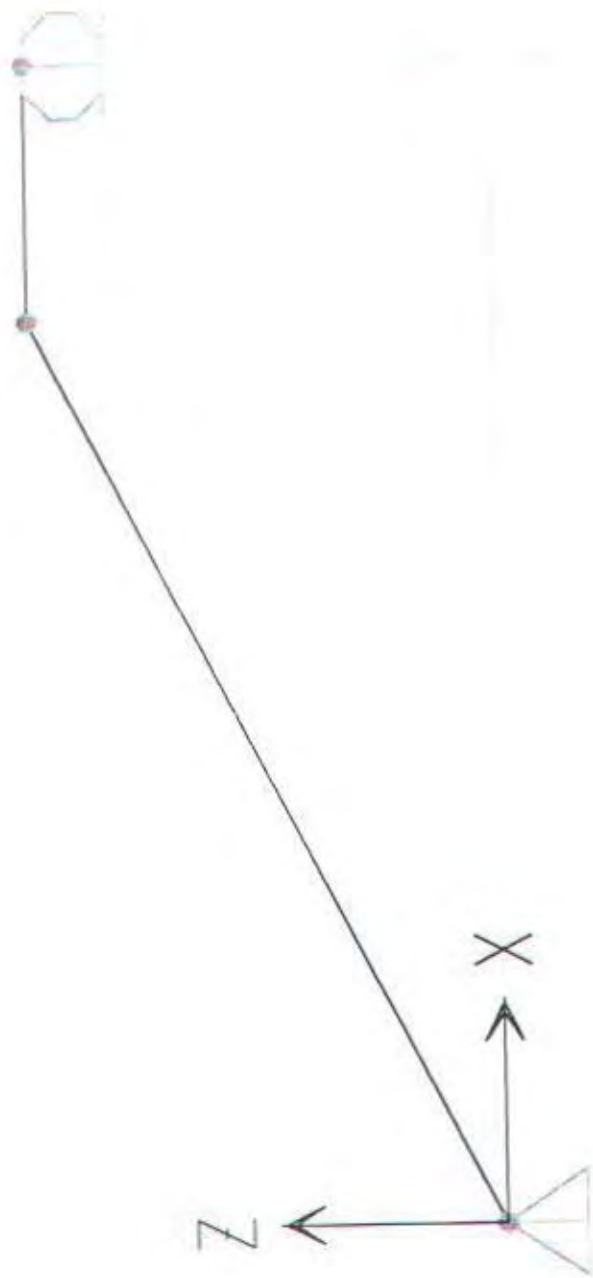
## 8.2.SARAN

Dalam tugas masih terdapat berbagai kekurangan, maka penulis mengajukan beberapa saran, antara lain :

1. Didalam Tugas Akhir ini pondasi diabaikan, diharapkan pada penulisan mendatang adanya perhitungan pondasi. Hal ini dikarenakan kekakuan pondasi juga berpengaruh pada *performance* suatu struktur.
2. Didalam SAP 2000 tidak terdapat akomodasi untuk pemasangan tulangan geser, sehingga pada saat adanya masalah perubahan *displacement* cara ke dua tidak digunakan, maka diharapkan adanya suatu program yang bisa digunakan untuk mengecek tulangan geser. Hal ini ikarenakan tulangan geser juga memperngaruhi besarnya *displacemnet* maksimum yang terjadi.

## DAFTAR PUSTAKA

1. Applied Technology Council (ATC), *Seismic Evaluation and Retrofit of Concrete Buildings vol. 1*, California Seismic Safety Commission
2. Badan Standarisasi Nasional, *SNI 03 – 1726 – 2002 – Tata Cara Perencanaan Ketahanan Gempa untuk Gedung*
3. Computer and Structures Inc., *SAP2000 Manual*, Computer and Structures Inc., Berkley, California, 1998
4. David A. Fanella and Javeed A. Munshi, *Design of Concrete Buildings for Earthquake and Wind Force*, Portland Cement Association, 1998.
5. Departemen Pekerjaan Umum, *SK SNI 03 – xxxx – 2001 – Tata Cara Perencanaan Beton Bertulang untuk Bangunan Gedung*
6. Departemen Pekerjaan Umum, *SK SNI T-15-1991-03 - Tata Cara Perhitungan Struktur Beton untuk Bangunan Gedung*, Yayasan LPBM, Bandung
7. FEMA-273, *NEHRP Guidelines for the Seismic Rehabilitation of Buildings*, Federal Emergency Management Agency, 2000
8. Gideon Kusuma, Takim Andriono, *Desain Struktur Rangka Beton Bertulang di Daerah Rawan Gempa*, Erlangga
9. Hendrik Tanaka, 2002, *Analisa Perbandingan Perencanaan Struktur Dual System dengan Statik-Nonlinear dan Dinamik-Nonlinear*, Tugas Akhir
10. M.J.N. Priestly, M.J. Kowalsky, *Direct Displacement-Based Seismic Design of Concrete Buildings*, Bulletin of the NZS for Earthquake Engineering (Vol. 33, No.4), December 2000
11. M.J.N. Priestly, *Performance Based Seismic Design*, Paper for the 12WCEE (2000), University of California, San Diego.
12. Saudyono, 2003, *Desain Struktur Berbasis Kinerja dengan Menggunakan Pushover Analysis pada Gedung Kartika Hotel*, Tugas Akhir
13. S. K. Ghosh and August W. Domel, Jr., *Design of Concrete Buildings for Earthquake and Wind Force*, Portland Cement Association, 1992.
14. T.Pauly, M.J.N.Priestly, *Seismic Design of Reinforced Concrete and Masonry Buildings*, A Wiley Interscience Publication, 1992.



FRAME ELEMENT FORCES

| FRAME   | LOAD | LOC | P        | V2        | V3        | T         | M2 | M3                 |
|---------|------|-----|----------|-----------|-----------|-----------|----|--------------------|
| BORDES1 | MATI |     | 0        | -5.82E-11 | 1999.907  | -8.00E-14 | 0  | -1.36E-13 2835.873 |
| BORDES1 | MATI |     | 0.275    | -5.82E-11 | 2288.987  | -1.15E-13 | 0  | -1.09E-13 2246.151 |
| BORDES1 | MATI |     | 0.55     | -5.82E-11 | 2578.067  | -1.50E-13 | 0  | -7.29E-14 1576.931 |
| BORDES1 | MATI |     | 0.825    | -5.82E-11 | 2867.147  | -1.85E-13 | 0  | -2.68E-14 828.2139 |
| BORDES1 | MATI |     | 1.1      | -5.82E-11 | 3156.227  | -2.20E-13 | 0  | 2.89E-14 -2.85E-13 |
| TANGGA1 | MATI |     | 0        | -1576.209 | -3073.608 | 3.23E-13  | 0  | 1.39E-13 -9.09E-13 |
| TANGGA1 | MATI |     | 2.191461 | -331.8093 | -647.0281 | 2.89E-14  | 0  | -2.46E-13 4076.814 |
| TANGGA1 | MATI |     | 4.382921 | 912.5907  | 1779.552  | -2.65E-13 | 0  | 1.22E-14 2835.873  |



OUTPUT TANGGA

000 v7.42 File: SAP KLM 75X75 SHELL Ngt-m Units PAGE 1  
/04 23:04:56

ces, Civil Engineering, ITS, Surabaya

#### STATIC LOAD CASES

| STATIC CASE | CASE TYPE | SELF WT FACTOR |
|-------------|-----------|----------------|
| MATI        | DEAD      | 1,0000         |
| HIDUP       | LIVE      | 0,0000         |
| GEMPA       | QUAKE     | 0,0000         |
| ANGIN       | WIND      | 0,0000         |

000 v7.42 File: SAP KLM 75X75 SHELL Ngt-m Units PAGE 2  
/04 23:04:56

ces, Civil Engineering, ITS, Surabaya

#### INT DATA

| POINT | GLOBAL-X  | GLOBAL-Y  | GLOBAL-Z | RESTRAINTS  | ANGLE-A | ANGLE-B | ANGLE-C |
|-------|-----------|-----------|----------|-------------|---------|---------|---------|
| 126   | 20,00000  | -10,50000 | 32,00000 | 0 0 0 0 0 0 | 0,000   | 0,000   | 0,000   |
| 128   | 28,00000  | -10,50000 | 32,00000 | 0 0 0 0 0 0 | 0,000   | 0,000   | 0,000   |
| 136   | 20,00000  | -10,50000 | 40,00000 | 0 0 0 0 0 0 | 0,000   | 0,000   | 0,000   |
| 158   | 28,00000  | -10,50000 | 40,00000 | 0 0 0 0 0 0 | 0,000   | 0,000   | 0,000   |
| 316   | 20,00000  | -3,50000  | 32,00000 | 0 0 0 0 0 0 | 0,000   | 0,000   | 0,000   |
| 318   | 28,00000  | -3,50000  | 32,00000 | 0 0 0 0 0 0 | 0,000   | 0,000   | 0,000   |
| 354   | 20,00000  | -3,50000  | 40,00000 | 0 0 0 0 0 0 | 0,000   | 0,000   | 0,000   |
| 356   | 28,00000  | -3,50000  | 40,00000 | 0 0 0 0 0 0 | 0,000   | 0,000   | 0,000   |
| 374   | 28,00000  | 3,50000   | 0,00000  | 1 1 1 1 1 1 | 0,000   | 0,000   | 0,000   |
| 393   | 28,00000  | 3,50000   | 4,30000  | 0 0 0 0 0 0 | 0,000   | 0,000   | 0,000   |
| 412   | 28,00000  | 3,50000   | 8,20000  | 0 0 0 0 0 0 | 0,000   | 0,000   | 0,000   |
| 431   | 28,00000  | 3,50000   | 12,30000 | 0 0 0 0 0 0 | 0,000   | 0,000   | 0,000   |
| 450   | 28,00000  | 3,50000   | 16,00000 | 0 0 0 0 0 0 | 0,000   | 0,000   | 0,000   |
| 468   | 28,00000  | 3,50000   | 21,30000 | 0 0 0 0 0 0 | 0,000   | 0,000   | 0,000   |
| 469   | 28,00000  | 3,50000   | 24,00000 | 0 0 0 0 0 0 | 0,000   | 0,000   | 0,300   |
| 507   | 28,00000  | 3,50000   | 28,20000 | 0 0 0 0 0 0 | 0,000   | 0,000   | 0,000   |
| 508   | -28,00000 | 3,50000   | 32,30000 | 0 0 0 0 0 0 | 0,000   | 0,000   | 0,000   |
| 509   | -24,00000 | 3,50000   | 32,10000 | 0 0 0 0 0 0 | 0,000   | 0,000   | 0,000   |
| 510   | -20,00000 | 3,50000   | 32,00030 | 0 0 0 0 0 0 | 0,000   | 0,000   | 0,000   |
| 511   | -18,00000 | 3,50000   | 32,10000 | 0 0 0 0 0 0 | 0,000   | 0,000   | 0,000   |
| 512   | -16,00000 | 3,50000   | 32,00000 | 0 0 0 0 0 0 | 0,000   | 0,000   | 0,000   |
| 513   | -14,00000 | 3,50000   | 32,10000 | 0 0 0 0 0 0 | 0,000   | 0,000   | 0,000   |
| 514   | -12,00000 | 3,50000   | 32,00000 | 0 0 0 0 0 0 | 0,000   | 0,000   | 0,000   |
| 515   | -10,00000 | 3,50000   | 32,10000 | 0 0 0 0 0 0 | 0,000   | 0,000   | 0,000   |
| 516   | -8,00000  | 3,50000   | 32,00000 | 0 0 0 0 0 0 | 0,000   | 0,000   | 0,000   |
| 517   | -6,00000  | 3,50000   | 32,00000 | 0 0 0 0 0 0 | 0,000   | 0,000   | 0,000   |
| 518   | -4,00000  | 3,50000   | 32,00000 | 0 0 0 0 0 0 | 0,000   | 0,000   | 0,000   |
| 519   | 0,00000   | 3,50000   | 32,00000 | 0 0 0 0 0 0 | 0,000   | 0,000   | 0,000   |
| 520   | 4,00000   | 3,50000   | 32,00000 | 0 0 0 0 0 0 | 0,000   | 0,000   | 0,000   |
| 521   | 6,00000   | 3,50000   | 32,00000 | 0 0 0 0 0 0 | 0,000   | 0,000   | 0,000   |
| 522   | 8,00000   | 3,50000   | 32,00000 | 0 0 0 0 0 0 | 0,000   | 0,000   | 0,000   |
| 523   | 10,00000  | 3,50000   | 32,00000 | 0 0 0 0 0 0 | 0,000   | 0,000   | 0,000   |
| 524   | 12,00000  | 3,50000   | 32,00000 | 0 0 0 0 0 0 | 0,000   | 0,000   | 0,000   |
| 525   | 14,00000  | 3,50000   | 32,00000 | 0 0 0 0 0 0 | 0,000   | 0,000   | 0,000   |
| 526   | 16,00000  | 3,50000   | 32,00000 | 0 0 0 0 0 0 | 0,000   | 0,000   | 0,000   |
| 527   | 18,00000  | 3,50000   | 32,00000 | 0 0 0 0 0 0 | 0,000   | 0,000   | 0,000   |
| 528   | 20,00000  | 3,50000   | 32,00000 | 0 0 0 0 0 0 | 0,000   | 0,000   | 0,000   |
| 529   | 28,00000  | 3,50000   | 40,00000 | 0 0 0 0 0 0 | 0,000   | 0,000   | 0,000   |
| 530   | 24,00000  | 3,50000   | 41,00000 | 0 0 0 0 0 0 | 0,000   | 0,000   | 0,000   |
| 531   | 20,00000  | 3,50000   | 41,00000 | 0 0 0 0 0 0 | 0,000   | 0,000   | 0,000   |
| 532   | 16,00000  | 3,50000   | 40,00000 | 0 0 0 0 0 0 | 0,000   | 0,000   | 0,000   |
| 533   | -12,00000 | 3,50000   | 41,00000 | 0 0 0 0 0 0 | 0,000   | 0,000   | 0,000   |
| 534   | -16,00000 | 3,50000   | 40,00000 | 0 0 0 0 0 0 | 0,000   | 0,000   | 0,000   |
| 535   | -20,00000 | 3,50000   | 41,00000 | 0 0 0 0 0 0 | 0,000   | 0,000   | 0,000   |
| 536   | -24,00000 | 3,50000   | 40,00000 | 0 0 0 0 0 0 | 0,000   | 0,000   | 0,000   |
| 537   | -28,00000 | 3,50000   | 41,00000 | 0 0 0 0 0 0 | 0,000   | 0,000   | 0,000   |
| 538   | -32,00000 | 3,50000   | 40,00000 | 0 0 0 0 0 0 | 0,000   | 0,000   | 0,000   |
| 539   | -36,00000 | 3,50000   | 41,00000 | 0 0 0 0 0 0 | 0,000   | 0,000   | 0,000   |
| 540   | -40,00000 | 3,50000   | 40,00000 | 0 0 0 0 0 0 | 0,000   | 0,000   | 0,000   |
| 541   | -44,00000 | 3,50000   | 41,00000 | 0 0 0 0 0 0 | 0,000   | 0,000   | 0,000   |
| 542   | -48,00000 | 3,50000   | 40,00000 | 0 0 0 0 0 0 | 0,000   | 0,000   | 0,000   |
| 543   | -52,00000 | 3,50000   | 41,00000 | 0 0 0 0 0 0 | 0,000   | 0,000   | 0,000   |
| 544   | -56,00000 | 3,50000   | 40,00000 | 0 0 0 0 0 0 | 0,000   | 0,000   | 0,000   |
| 545   | -60,00000 | 3,50000   | 41,00000 | 0 0 0 0 0 0 | 0,000   | 0,000   | 0,000   |
| 546   | -64,00000 | 3,50000   | 40,00000 | 0 0 0 0 0 0 | 0,000   | 0,000   | 0,000   |
| 547   | -68,00000 | 3,50000   | 41,00000 | 0 0 0 0 0 0 | 0,000   | 0,000   | 0,000   |
| 548   | -72,00000 | 3,50000   | 40,00000 | 0 0 0 0 0 0 | 0,000   | 0,000   | 0,000   |
| 549   | -76,00000 | 3,50000   | 41,00000 | 0 0 0 0 0 0 | 0,000   | 0,000   | 0,000   |
| 550   | -80,00000 | 3,50000   | 40,00000 | 0 0 0 0 0 0 | 0,000   | 0,000   | 0,000   |
| 551   | -84,00000 | 3,50000   | 41,00000 | 0 0 0 0 0 0 | 0,000   | 0,000   | 0,000   |
| 552   | -88,00000 | 3,50000   | 40,00000 | 0 0 0 0 0 0 | 0,000   | 0,000   | 0,000   |
| 553   | -92,00000 | 3,50000   | 41,00000 | 0 0 0 0 0 0 | 0,000   | 0,000   | 0,000   |
| 554   | -96,00000 | 3,50000   | 40,00000 | 0 0 0 0 0 0 | 0,000   | 0,000   | 0,000   |

|     |           |          |          |             |       |       |       |
|-----|-----------|----------|----------|-------------|-------|-------|-------|
| 555 | 0,00000   | 3,50000  | 40,00000 | 0 0 0 0 0 0 | 0,000 | 0,000 | 0,000 |
| 556 | 4,00000   | 3,50000  | 40,00000 | 0 0 0 0 0 0 | 0,000 | 0,000 | 0,000 |
| 557 | 8,00000   | 3,50000  | 40,00000 | 0 0 0 0 0 0 | 0,000 | 0,000 | 0,000 |
| 558 | 12,00000  | 3,50000  | 40,00000 | 0 0 0 0 0 0 | 0,000 | 0,000 | 0,000 |
| 559 | 14,00000  | 3,50000  | 40,00000 | 0 0 0 0 0 0 | 0,000 | 0,000 | 0,000 |
| 560 | 16,00000  | 3,50000  | 40,00000 | 0 0 0 0 0 0 | 0,000 | 0,000 | 0,000 |
| 561 | 18,00000  | 3,50000  | 40,00000 | 0 0 0 0 0 0 | 0,000 | 0,000 | 0,000 |
| 562 | 20,00000  | 3,50000  | 40,00000 | 0 0 0 0 0 0 | 0,000 | 0,000 | 0,000 |
| 563 | 24,00000  | 3,50000  | 40,00000 | 0 0 0 0 0 0 | 0,000 | 0,000 | 0,000 |
| 564 | 28,00000  | 3,50000  | 40,00000 | 0 0 0 0 0 0 | 0,000 | 0,000 | 0,000 |
| 572 | 26,00000  | 10,50000 | 0,00000  | 1 1 1 1 1 1 | 0,000 | 0,000 | 0,000 |
| 587 | 28,00000  | 10,50000 | 4,00000  | 0 0 0 0 0 0 | 0,000 | 0,000 | 0,000 |
| 602 | 28,00000  | 10,50000 | 8,00000  | 0 0 0 0 0 0 | 0,000 | 0,000 | 0,000 |
| 617 | 28,00000  | 10,50000 | 12,00000 | 0 0 0 0 0 0 | 0,000 | 0,000 | 0,000 |
| 632 | 29,00000  | 10,50000 | 16,00000 | 0 0 0 0 0 0 | 0,000 | 0,000 | 0,000 |
| 647 | 28,00000  | 10,50000 | 20,00000 | 0 0 0 0 0 0 | 0,000 | 0,000 | 0,000 |
| 662 | 28,00000  | 10,50000 | 24,00000 | 0 0 0 0 0 0 | 0,000 | 0,000 | 0,000 |
| 677 | 28,00000  | 10,50000 | 28,00000 | 0 0 0 0 0 0 | 0,000 | 0,000 | 0,000 |
| 678 | -28,00000 | 10,50000 | 32,00000 | 0 0 0 0 0 0 | 0,000 | 0,000 | 0,000 |
| 679 | -24,00000 | 10,50000 | 32,00000 | 0 0 0 0 0 0 | 0,000 | 0,000 | 0,000 |
| 680 | -20,00000 | 10,50000 | 32,00000 | 0 0 0 0 0 0 | 0,000 | 0,000 | 0,000 |
| 681 | -16,00000 | 10,50000 | 32,00000 | 0 0 0 0 0 0 | 0,000 | 0,000 | 0,000 |
| 682 | -12,00000 | 10,50000 | 32,00000 | 0 0 0 0 0 0 | 0,000 | 0,000 | 0,000 |
| 683 | -8,00000  | 10,50000 | 32,00000 | 0 0 0 0 0 0 | 0,000 | 0,000 | 0,000 |
| 684 | -4,00000  | 10,50000 | 32,00000 | 0 0 0 0 0 0 | 0,000 | 0,000 | 0,000 |
| 685 | 0,00000   | 10,50000 | 32,00000 | 0 0 0 0 0 0 | 0,000 | 0,000 | 0,000 |
| 686 | 4,00000   | 10,50000 | 32,00000 | 0 0 0 0 0 0 | 0,000 | 0,000 | 0,000 |
| 687 | 8,00000   | 10,50000 | 32,00000 | 0 0 0 0 0 0 | 0,000 | 0,000 | 0,000 |
| 688 | 12,00000  | 10,50000 | 32,00000 | 0 0 0 0 0 0 | 0,000 | 0,000 | 0,000 |
| 689 | 16,00000  | 10,50000 | 32,00000 | 0 0 0 0 0 0 | 0,000 | 0,000 | 0,000 |
| 690 | 20,00000  | 10,50000 | 32,00000 | 0 0 0 0 0 0 | 0,000 | 0,000 | 0,000 |
| 691 | 24,00000  | 10,50000 | 32,00000 | 0 0 0 0 0 0 | 0,000 | 0,000 | 0,000 |
| 692 | 28,00000  | 10,50000 | 32,00000 | 0 0 0 0 0 0 | 0,000 | 0,000 | 0,000 |
| 707 | 28,00000  | 10,50000 | 36,00000 | 0 0 0 0 0 0 | 0,000 | 0,000 | 0,000 |
| 708 | -28,00000 | 10,50000 | 40,00000 | 0 0 0 0 0 0 | 0,000 | 0,000 | 0,000 |
| 709 | -24,00000 | 10,50000 | 40,00000 | 0 0 0 0 0 0 | 0,000 | 0,000 | 0,000 |
| 710 | -20,00000 | 10,50000 | 40,00000 | 0 0 0 0 0 0 | 0,000 | 0,000 | 0,000 |
| 711 | -16,00000 | 10,50000 | 40,00000 | 0 0 0 0 0 0 | 0,000 | 0,000 | 0,000 |
| 712 | -12,00000 | 10,50000 | 40,00000 | 0 0 0 0 0 0 | 0,000 | 0,000 | 0,000 |
| 713 | -8,00000  | 10,50000 | 40,00000 | 0 0 0 0 0 0 | 0,000 | 0,000 | 0,000 |
| 714 | -4,00000  | 10,50000 | 40,00000 | 0 0 0 0 0 0 | 0,000 | 0,000 | 0,000 |
| 715 | 0,00000   | 10,50000 | 40,00000 | 0 0 0 0 0 0 | 0,000 | 0,000 | 0,000 |
| 716 | 4,00000   | 10,50000 | 40,00000 | 0 0 0 0 0 0 | 0,000 | 0,000 | 0,000 |
| 717 | 8,00000   | 10,50000 | 40,00000 | 0 0 0 0 0 0 | 0,000 | 0,000 | 0,000 |
| 718 | 12,00000  | 10,50000 | 40,00000 | 0 0 0 0 0 0 | 0,000 | 0,000 | 0,000 |
| 719 | 16,00000  | 10,50000 | 40,00000 | 0 0 0 0 0 0 | 0,000 | 0,000 | 0,000 |
| 720 | 20,00000  | 10,50000 | 40,00000 | 0 0 0 0 0 0 | 0,000 | 0,000 | 0,000 |
| 721 | 24,00000  | 10,50000 | 40,00000 | 0 0 0 0 0 0 | 0,000 | 0,000 | 0,000 |
| 722 | 28,00000  | 10,50000 | 40,00000 | 0 0 0 0 0 0 | 0,000 | 0,000 | 0,000 |

2000 V7140 FILE: SAP\_XLM\_76X75.SHED\_Mgfm Units PAGE 3

6/14 23:04:57

Cees, Civil Engineering, ITS, Surabaya

#### JOINT CONSTRUCTION DATA

##### JOINT TYPE

|     |        |
|-----|--------|
| 144 | DIAPH1 |
| 333 | DIAPH1 |
| 348 | DIAPH1 |
| 708 | DIAPH1 |
| 143 | DIAPH1 |
| 239 | DIAPH1 |
| 547 | DIAPH1 |
| 709 | DIAPH1 |
| 146 | DIAPH1 |
| 340 | DIAPH1 |
| 549 | DIAPH1 |
| 710 | DIAPH1 |

147 DIAPH1  
342 DIAPH1  
550 DIAPH1  
711 DIAPH1  
148 DIAPH1  
344 DIAPH1  
552 DIAPH1  
712 DIAPH1  
149 DIAPH1  
345 DIAPH1  
553 DIAPH1  
713 DIAPH1  
150 DIAPH1  
346 DIAPH1  
554 DIAPH1  
714 DIAPH1  
151 DIAPH1  
347 DIAPH1  
555 DIAPH1  
715 DIAPH1  
152 DIAPH1  
348 DIAPH1  
556 DIAPH1  
716 DIAPH1  
153 DIAPH1  
349 DIAPH1  
557 DIAPH1  
717 DIAPH1  
154 DIAPH1  
350 DIAPH1  
558 DIAPH1  
718 DIAPH1  
155 DIAPH1  
352 DIAPH1  
560 DIAPH1  
719 DIAPH1  
156 DIAPH1  
354 DIAPH1  
562 DIAPH1  
720 DIAPH1  
157 DIAPH1  
355 DIAPH1  
563 DIAPH1  
721 DIAPH1  
158 DIAPH1  
356 DIAPH1  
564 DIAPH1  
722 DIAPH1  
565 DIAPH1  
723 DIAPH1  
141 DIAPH1  
551 DIAPH1  
343 DIAPH1  
561 DIAPH1  
353 DIAPH1  
555 DIAPH1  
351 DIAPH1  
366 DIAPH1  
129 DIAPH1  
719 DIAPH1  
527 DIAPH1  
693 DIAPH1  
130 DIAPH1  
120 DIAPH1  
528 DIAPH1  
694 DIAPH1  
131 DIAPH1  
321 DIAPH1  
529 DIAPH1  
695 DIAPH1  
132 DIAPH1  
323 DIAPH1  
531 DIAPH1

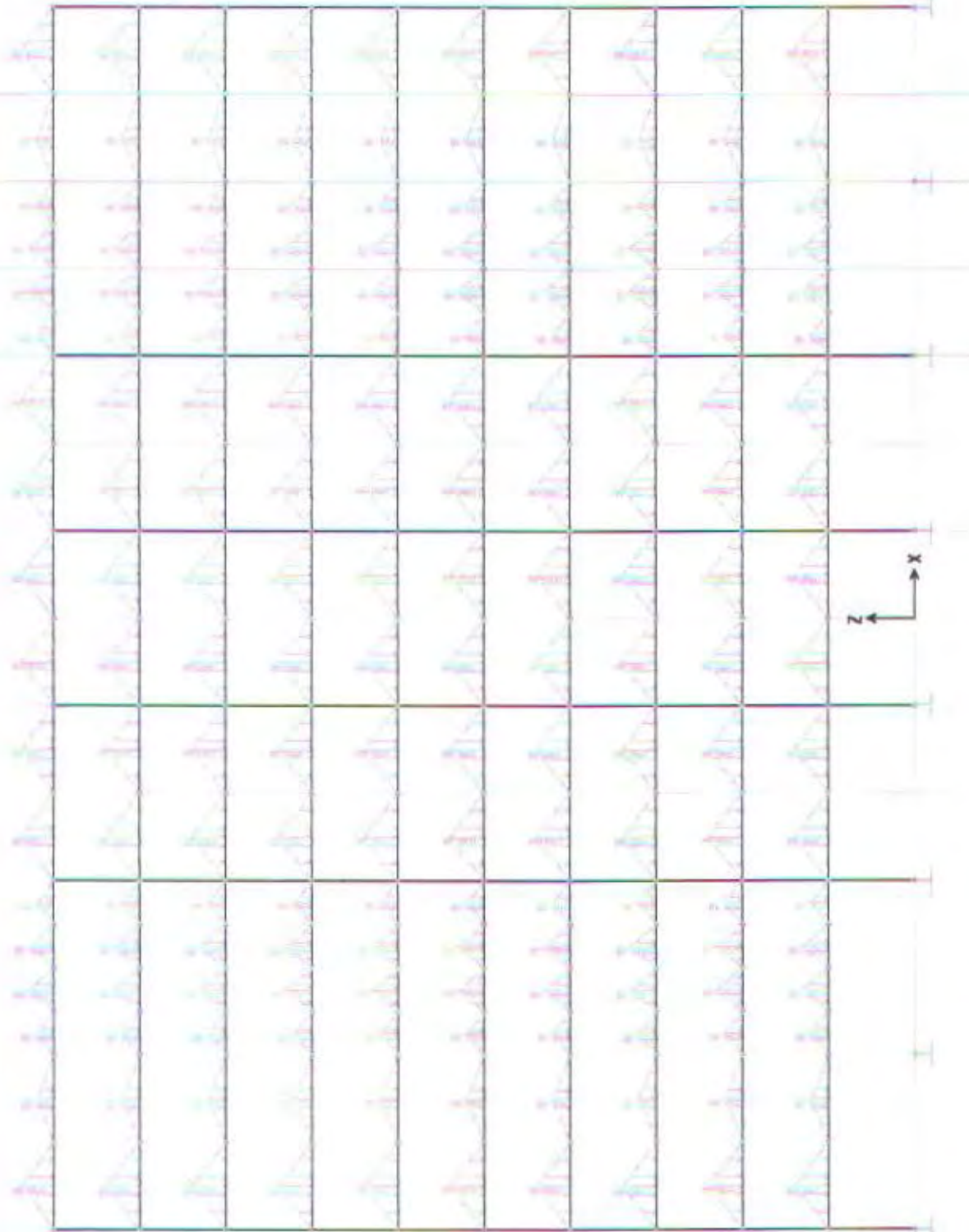
696 DIAPH2  
133 DIAPH2  
325 DIAPH2  
533 DIAPH2  
697 DIAPH2  
134 DIAPH2  
326 DIAPH2  
534 DIAPH2  
698 DIAPH2  
135 DIAPH2  
327 DIAPH2  
535 DIAPH2  
699 DIAPH2  
136 DIAPH2  
328 DIAPH2  
536 DIAPH2  
700 DIAPH2  
137 DIAPH2  
329 DIAPH2  
537 DIAPH2  
701 DIAPH2  
138 DIAPH2  
330 DIAPH2  
538 DIAPH2  
702 DIAPH2  
139 DIAPH2  
331 DIAPH2  
539 DIAPH2  
703 DIAPH2  
140 DIAPH2  
333 DIAPH2  
541 DIAPH2  
704 DIAPH2  
141 DIAPH2  
335 DIAPH2  
543 DIAPH2  
705 DIAPH2  
142 DIAPH2  
336 DIAPH2  
544 DIAPH2  
706 DIAPH2  
143 DIAPH2  
337 DIAPH2  
545 DIAPH2  
707 DIAPH2  
530 DIAPH2  
321 DIAPH2  
532 DIAPH2  
324 DIAPH2  
542 DIAPH2  
334 DIAPH2  
540 DIAPH2  
331 DIAPH2  
363 DIAPH2  
114 DIAPH3  
300 DIAPH3  
503 DIAPH3  
678 DIAPH3  
115 DIAPH3  
301 DIAPH3  
509 DIAPH3  
679 DIAPH3  
116 DIAPH3  
302 DIAPH3  
510 DIAPH3  
680 DIAPH3  
117 DIAPH3  
304 DIAPH3  
512 DIAPH3  
681 DIAPH3  
118 DIAPH3  
306 DIAPH3

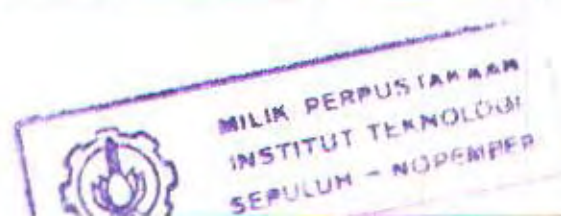
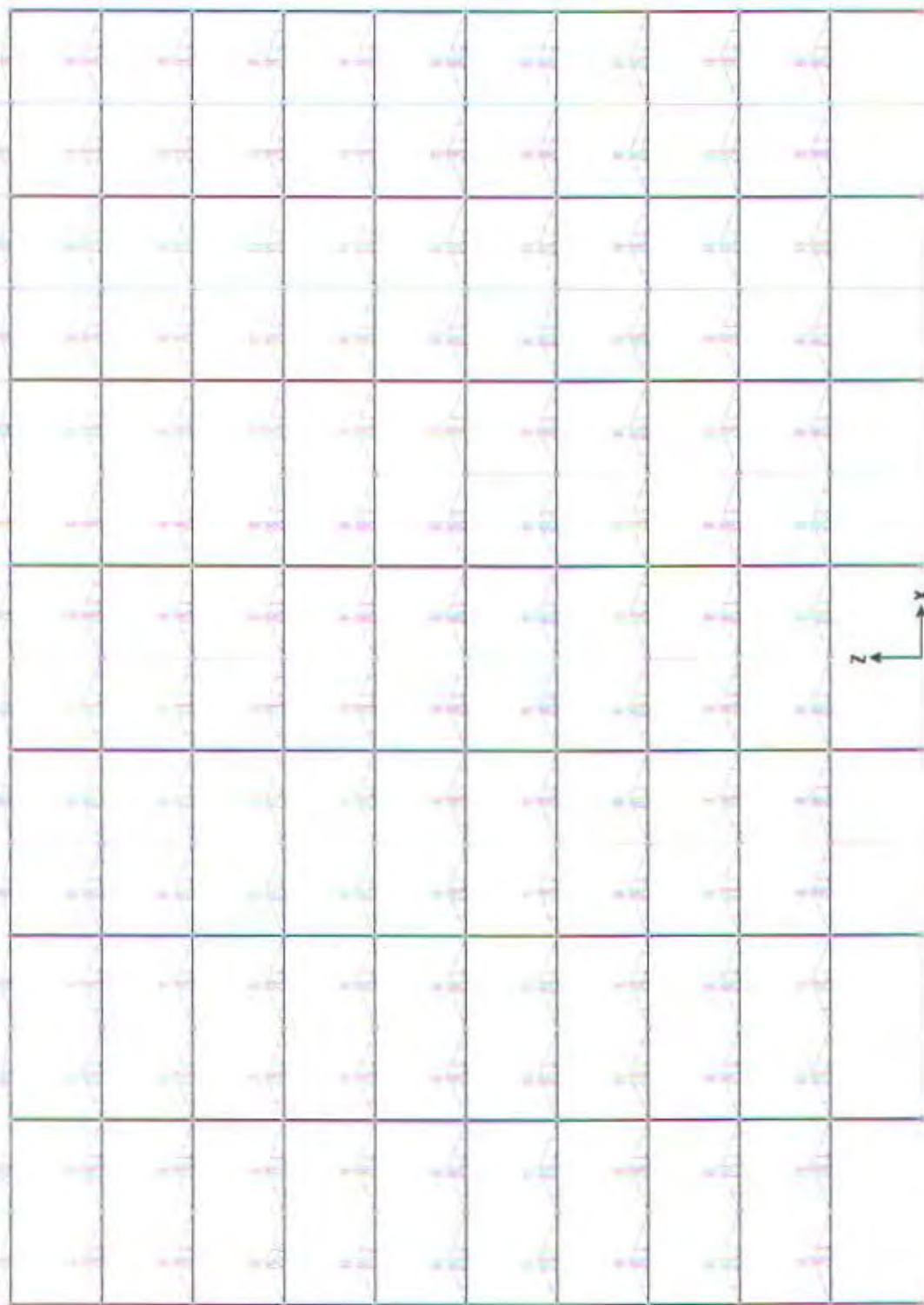
514 DIAPH3  
682 DIAPH3  
119 DIAPH3  
307 DIAPH3  
515 DIAPH3  
683 DIAPH3  
120 DIAPH3  
308 DIAPH3  
516 DIAPH3  
684 DIAPH3  
121 DIAPH3  
309 DIAPH3  
517 DIAPH3  
685 DIAPH3  
122 DIAPH3  
310 DIAPH3  
518 DIAPH3  
686 DIAPH3  
123 DIAPH3  
311 DIAPH3  
519 DIAPH3  
687 DIAPH3  
124 DIAPH3  
312 DIAPH3  
520 DIAPH3  
688 DIAPH3  
125 DIAPH3  
314 DIAPH3  
522 DIAPH3  
689 DIAPH3  
126 DIAPH3  
316 DIAPH3  
524 DIAPH3  
690 DIAPH3  
127 DIAPH3  
317 DIAPH3  
525 DIAPH3  
691 DIAPH3  
128 DIAPH3  
318 DIAPH3  
516 DIAPH3  
692 DIAPH3  
524 DIAPH3  
319 DIAPH3  
523 DIAPH3  
693 DIAPH3  
309 DIAPH3  
521 DIAPH3  
310 DIAPH3  
522 DIAPH3  
694 DIAPH3  
100 DIAPH3  
491 DIAPH3  
492 DIAPH3  
684 DIAPH3  
101 DIAPH3  
333 DIAPH3  
491 DIAPH3  
683 DIAPH3  
102 DIAPH3  
183 DIAPH3  
493 DIAPH3  
686 DIAPH3  
103 DIAPH3  
287 DIAPH3  
495 DIAPH3  
687 DIAPH3  
104 DIAPH3

288 DIAPH4  
496 DIAPH4  
668 DIAPH4  
105 DIAPH4  
289 DIAPH4  
497 DIAPH4  
569 DIAPH4  
106 DIAPH4  
290 DIAPH4  
498 DIAPH4  
670 DIAPH4  
107 DIAPH4  
291 DIAPH4  
499 DIAPH4  
671 DIAPH4  
108 DIAPH4  
292 DIAPH4  
500 DIAPH4  
672 DIAPH4  
109 DIAPH4  
293 DIAPH4  
501 DIAPH4  
673 DIAPH4  
110 DIAPH4  
295 DIAPH4  
503 DIAPH4  
674 DIAPH4  
111 DIAPH4  
297 DIAPH4  
505 DIAPH4  
675 DIAPH4  
112 DIAPH4  
298 DIAPH4  
506 DIAPH4  
676 DIAPH4  
113 DIAPH4  
299 DIAPH4  
507 DIAPH4  
677 DIAPH4  
492 DIAPH4  
294 DIAPH4  
494 DIAPH4  
295 DIAPH4  
504 DIAPH4  
296 DIAPH4  
502 DIAPH4  
194 DIAPH4  
363 DIAPH4  
94 DIAPHS5  
262 DIAPHS5  
471 DIAPHS5  
648 DIAPHS5  
85 DIAPHS5  
263 DIAPHS5  
471 DIAPHS5  
649 DIAPHS5  
95 DIAPHS5  
164 DIAPHS5  
472 DIAPHS5  
650 DIAPHS5  
87 DIAPHS5  
266 DIAPHS5  
474 DIAPHS5  
651 DIAPHS5  
93 DIAPHS5  
268 DIAPHS5  
476 DIAPHS5  
652 DIAPHS5  
89 DIAPHS5  
269 DIAPHS5  
477 DIAPHS5  
653 DIAPHS5

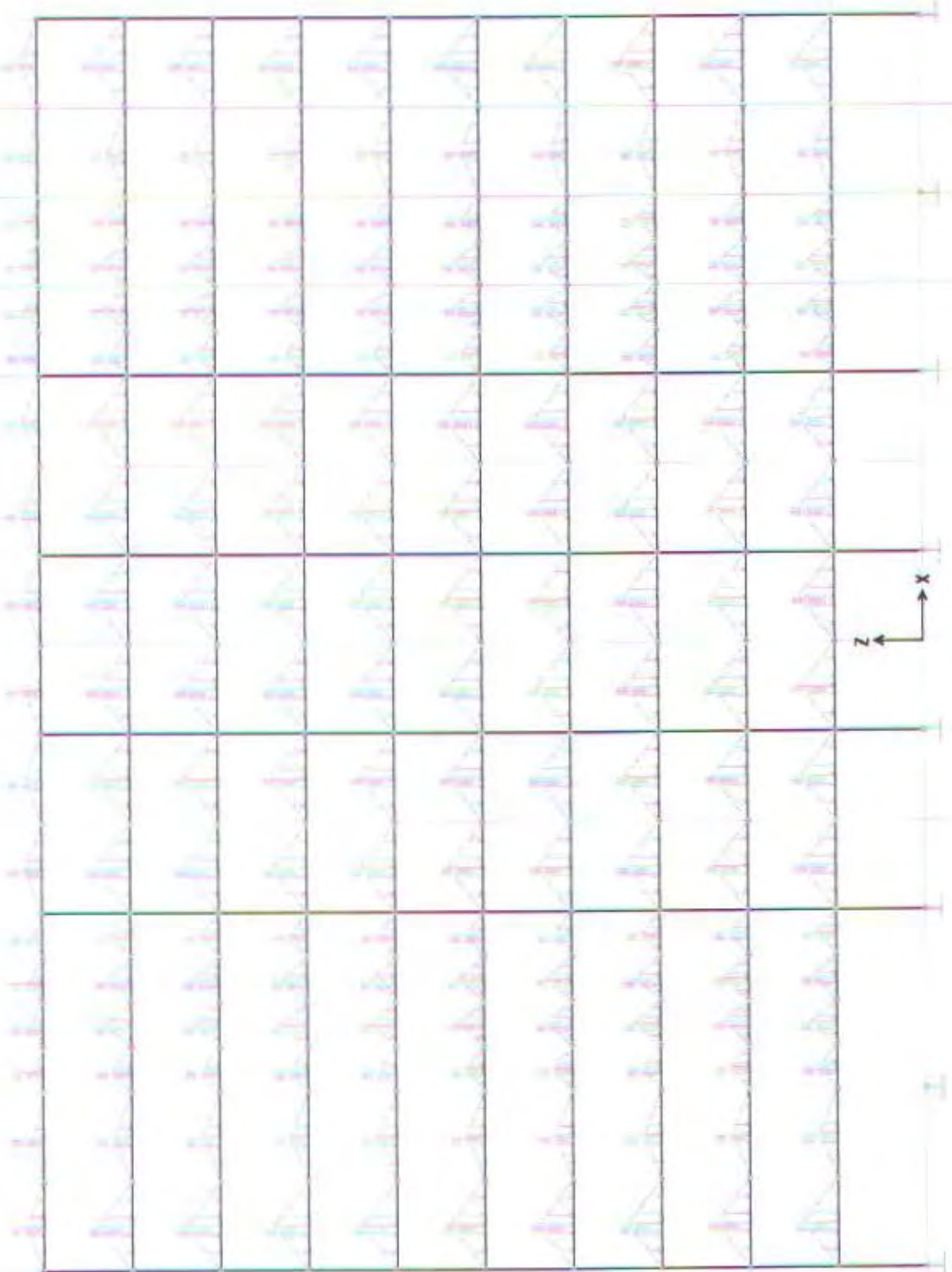
90 DIAPH5  
270 DIAPH5  
479 DIAPH5  
654 DIAPH5  
91 DIAPH5  
271 DIAPH5  
479 DIAPH5  
655 DIAPH5  
92 DIAPH5  
272 DIAPH5  
480 DIAPH5  
656 DIAPH5  
93 DIAPH5  
273 DIAPH5  
481 DIAPH5  
657 DIAPH5  
94 DIAPH5  
274 DIAPH5  
482 DIAPH5  
658 DIAPH5  
95 DIAPH5  
276 DIAPH5  
484 DIAPH5  
659 DIAPH5  
96 DIAPH5  
278 DIAPH5  
486 DIAPH5  
660 DIAPH5  
97 DIAPH5  
279 DIAPH5  
487 DIAPH5  
661 DIAPH5  
98 DIAPH5  
280 DIAPH5  
488 DIAPH5  
662 DIAPH5  
473 DIAPH5  
265 DIAPH5  
475 DIAPH5  
267 DIAPH5  
483 DIAPH5  
277 DIAPHS  
483 DIAPHS  
275 DIAPHS  
362 DIAPHS  
69 DIAPHS  
143 DIAPHS  
451 DIAPHS  
633 DIAPHS  
70 DIAPHS  
144 DIAPHS  
452 DIAPHS  
634 DIAPHS  
71 DIAPHS  
145 DIAPHS  
453 DIAPHS  
635 DIAPHS  
72 DIAPHS  
147 DIAPHS  
455 DIAPHS  
636 DIAPHS  
73 DIAPHS  
249 DIAPHS  
457 DIAPHS  
637 DIAPHS  
74 DIAPHS  
250 DIAPHS  
458 DIAPHS  
638 DIAPHS  
75 DIAPHS  
251 DIAPHS  
459 DIAPHS

639 DIAPH6  
76 DIAPH6  
252 DIAPH6  
460 DIAPH6  
640 DIAPH6  
77 DIAPH6  
253 DIAPH6  
461 DIAPH6  
641 DIAPH6  
78 DIAPH6  
254 DIAPH6  
462 DIAPH6  
642 DIAPH6  
79 DIAPH6  
255 DIAPH6  
463 DIAPH6  
643 DIAPH6  
80 DIAPH6  
257 DIAPH6  
465 DIAPH6  
644 DIAPH6  
81 DIAPH6  
259 DIAPH6  
467 DIAPH6  
645 DIAPH6  
82 DIAPH6  
260 DIAPH6  
469 DIAPH6  
646 DIAPH6  
83 DIAPH6  
261 DIAPH6  
469 DIAPH6  
647 DIAPH6  
484 DIAPH6  
246 DIAPH6  
456 DIAPH6  
148 DIAPH6  
456 DIAPH6  
259 DIAPH6  
464 DIAPH6  
156 DIAPH6  
361 DIAPH6  
54 DIAPH7  
220 DIAPH7  
431 DIAPH7  
618 DIAPH7  
55 DIAPH7  
225 DIAPH7  
431 DIAPH7  
619 DIAPH7  
56 DIAPH7  
226 DIAPH7  
434 DIAPH7  
620 DIAPH7  
57 DIAPH7  
228 DIAPH7  
436 DIAPH7  
621 DIAPH7  
58 DIAPH7  
229 DIAPH7  
438 DIAPH7  
622 DIAPH7  
59 DIAPH7  
231 DIAPH7  
439 DIAPH7  
623 DIAPH7  
60 DIAPH7  
232 DIAPH7  
440 DIAPH7  
624 DIAPH7  
61 DIAPH7  
233 DIAPH7

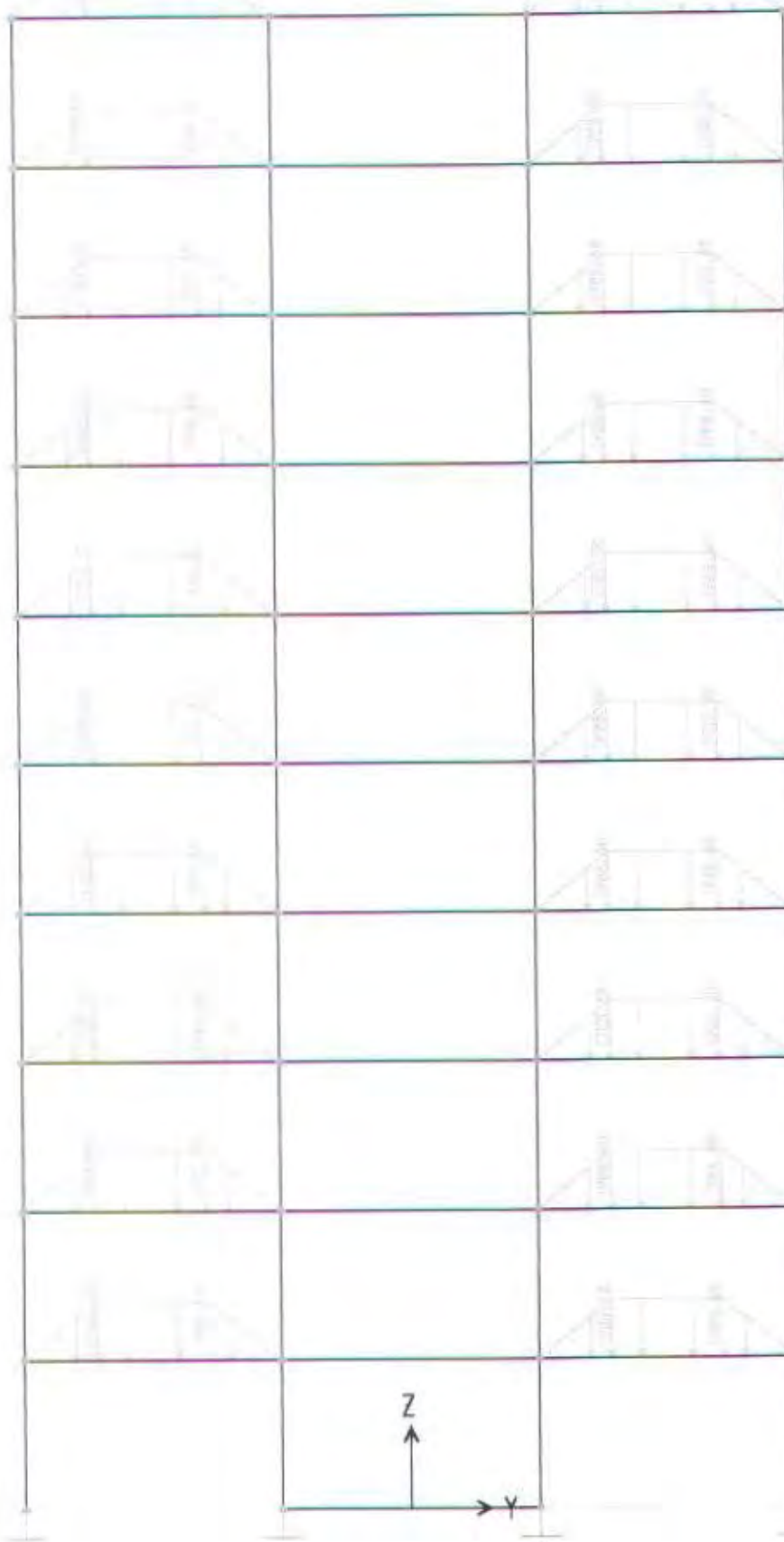


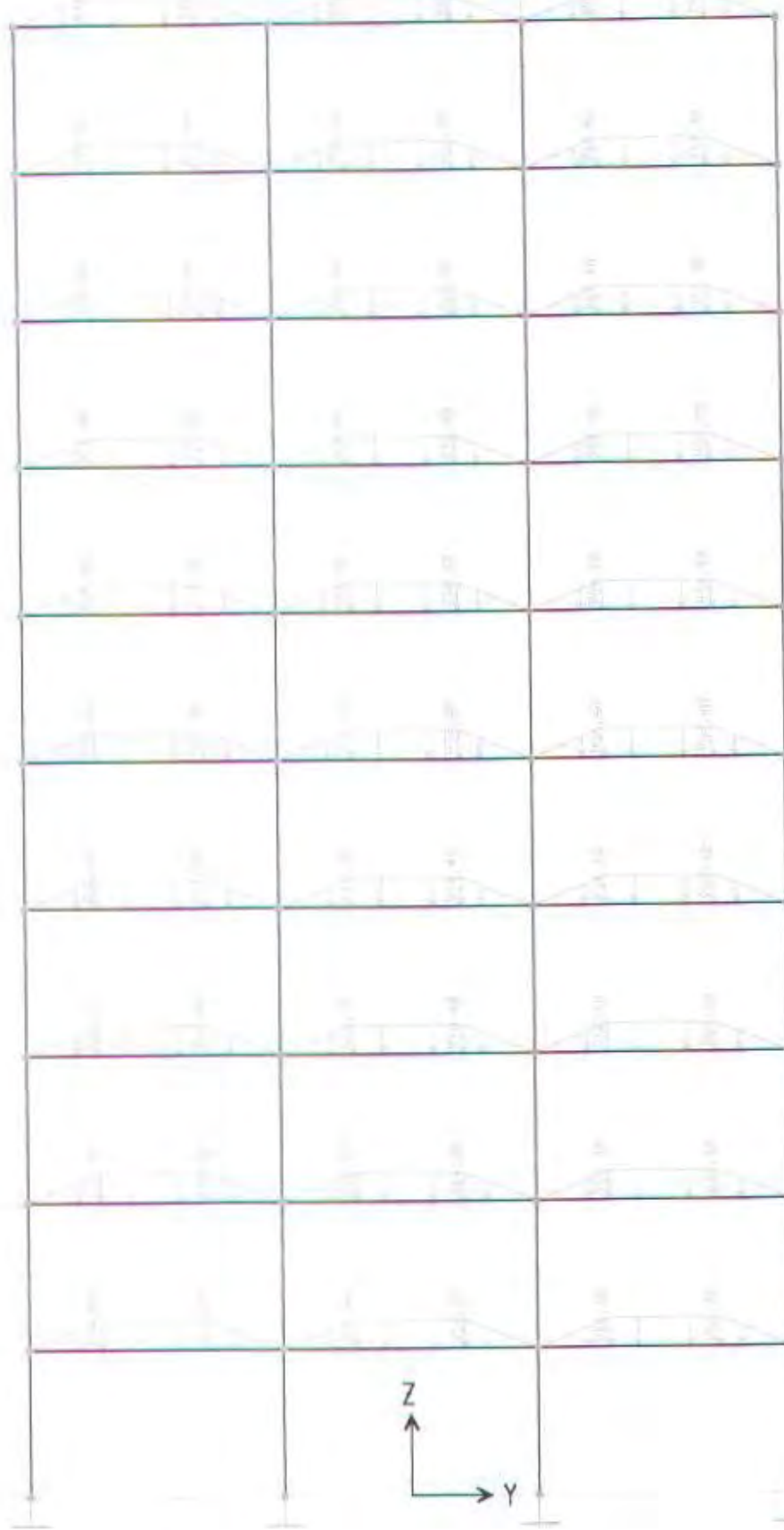


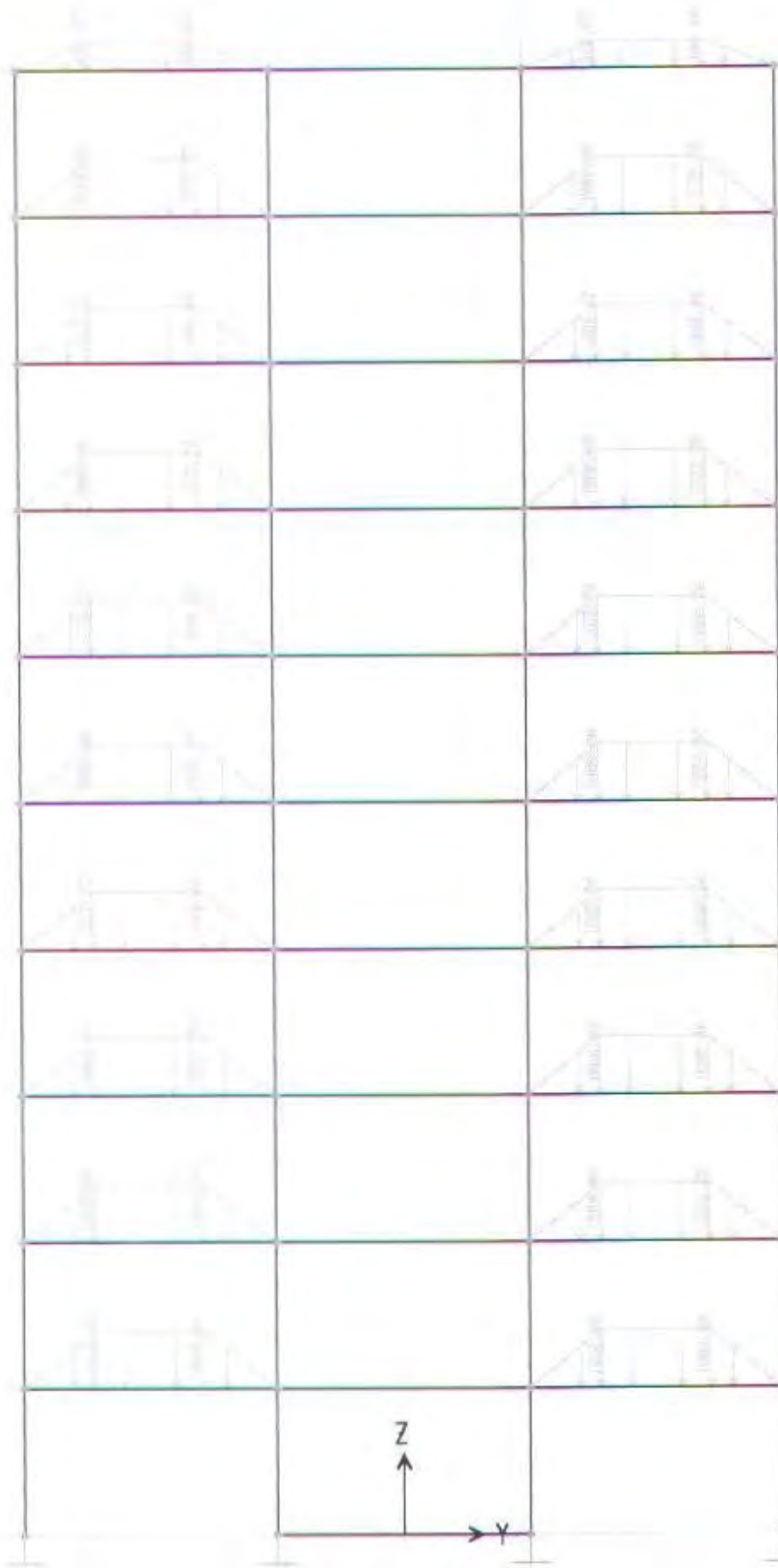
MILIK PERPUSTAKAAN  
INSTITUT TEKNOLOGI  
SEPULUH - NOPEMBER



SAP2000 v7.42 - File:SAP KLM 75X75 SHELL - Frame Span Loads (HIDUP) - Kgf-m Units



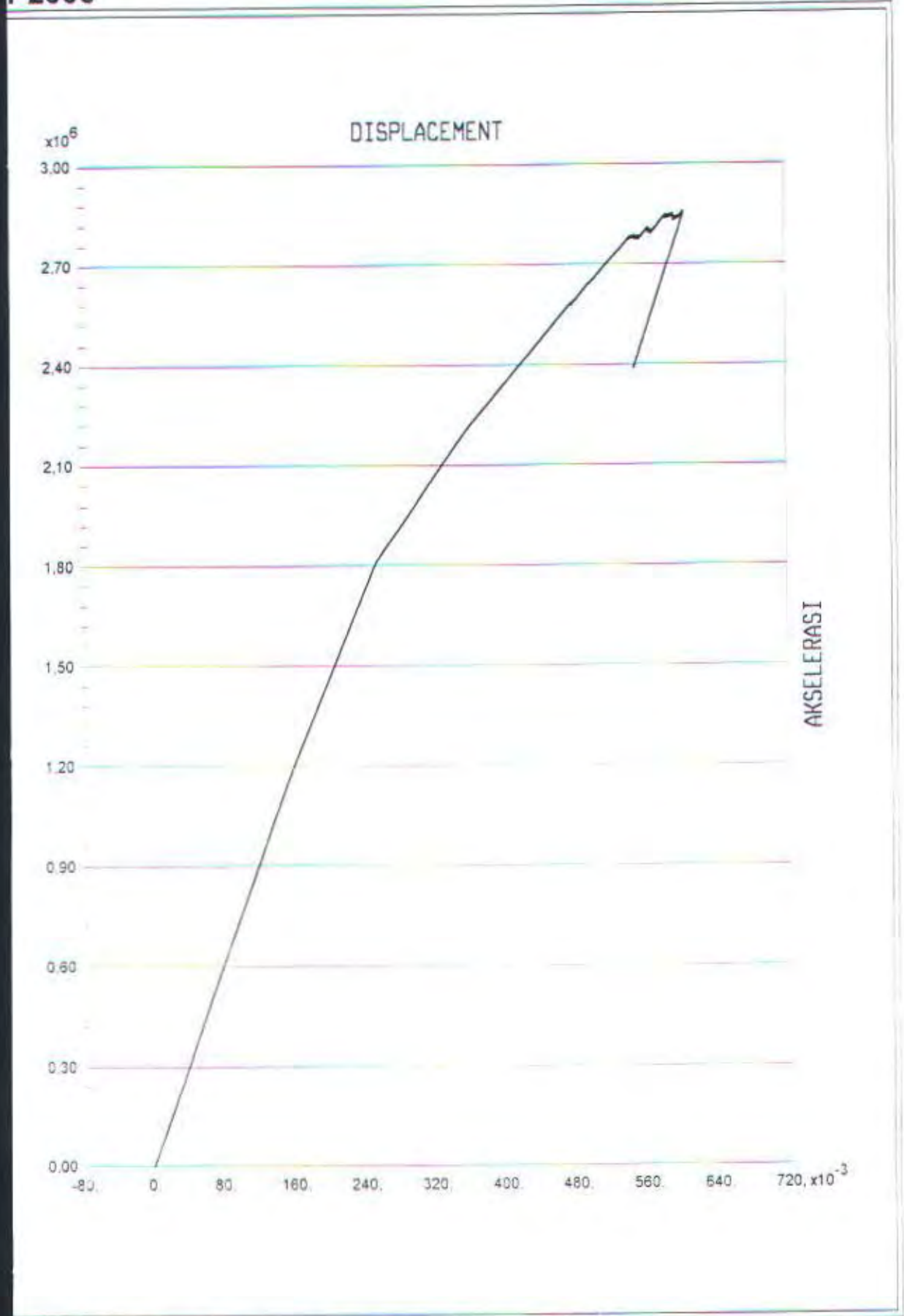


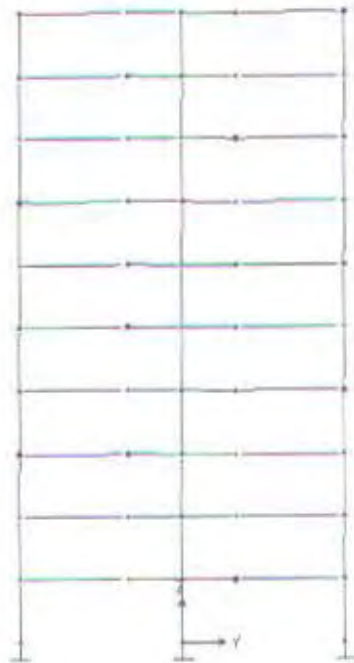




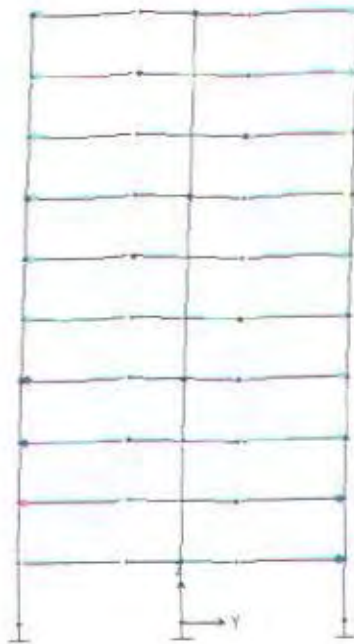
P2000

Pushover Curve 7/18/04 22:49:22

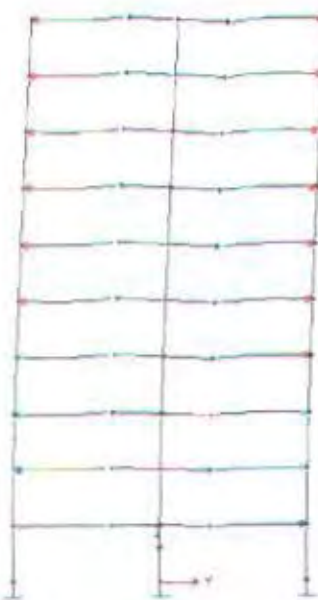




Step 3



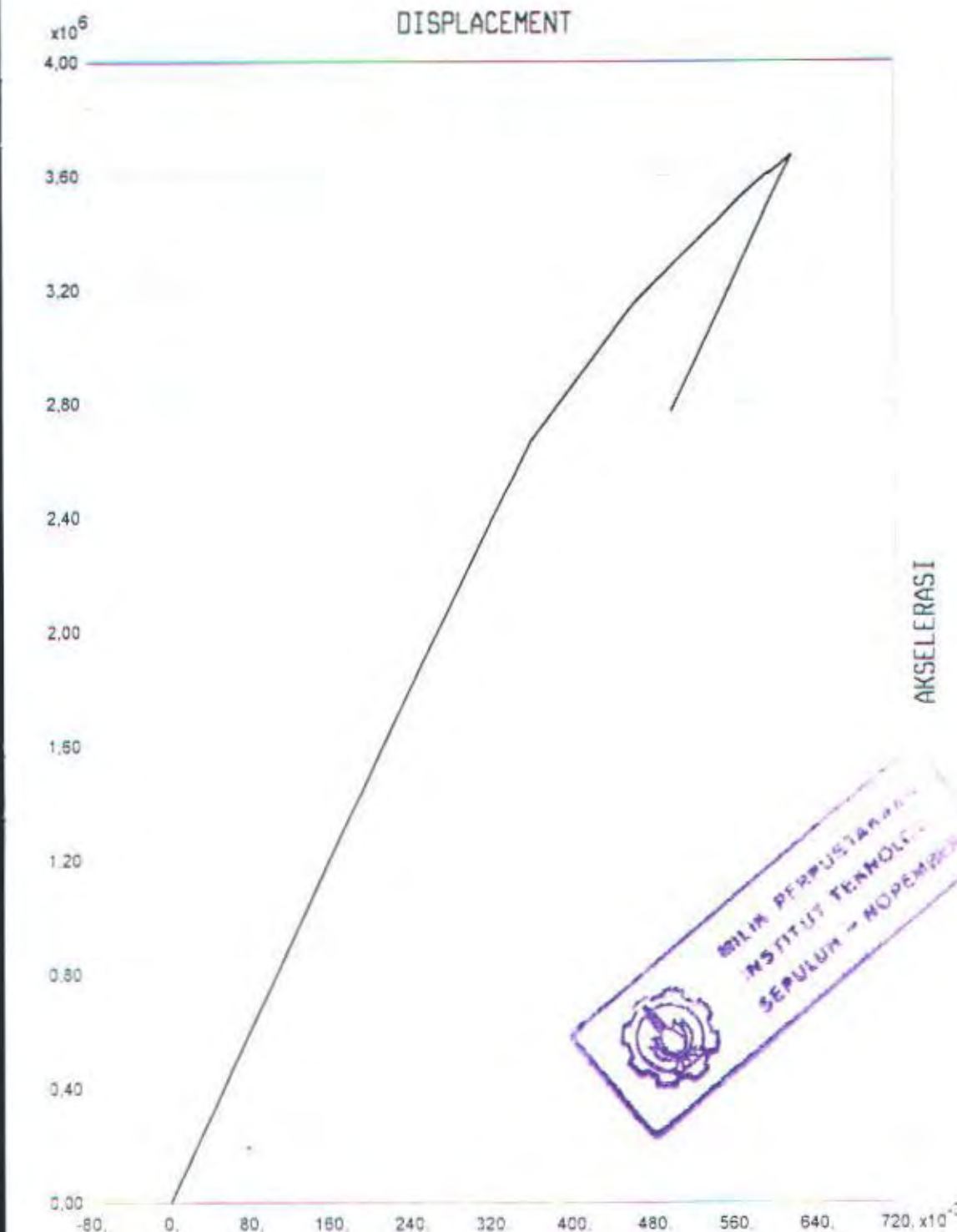
Step 6

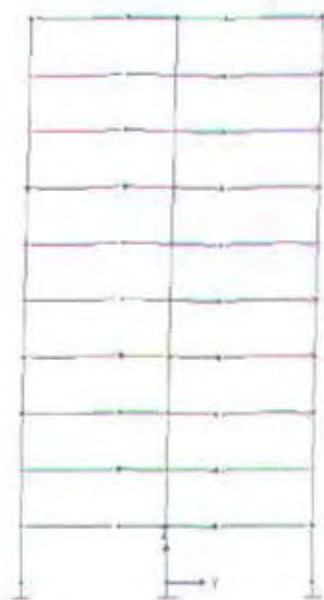


Step 52

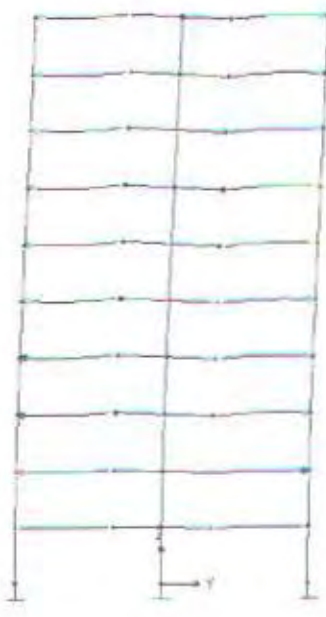


Pembentukan Sendi Plastis (Trial Awal)

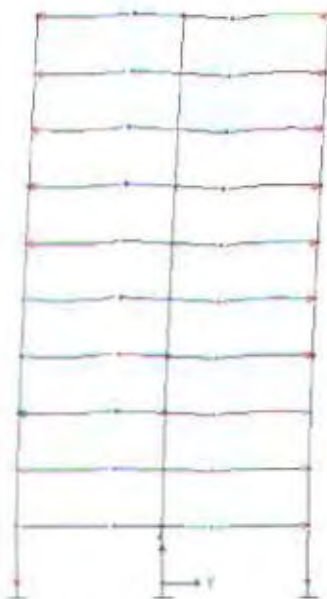




Step 4



Step 7

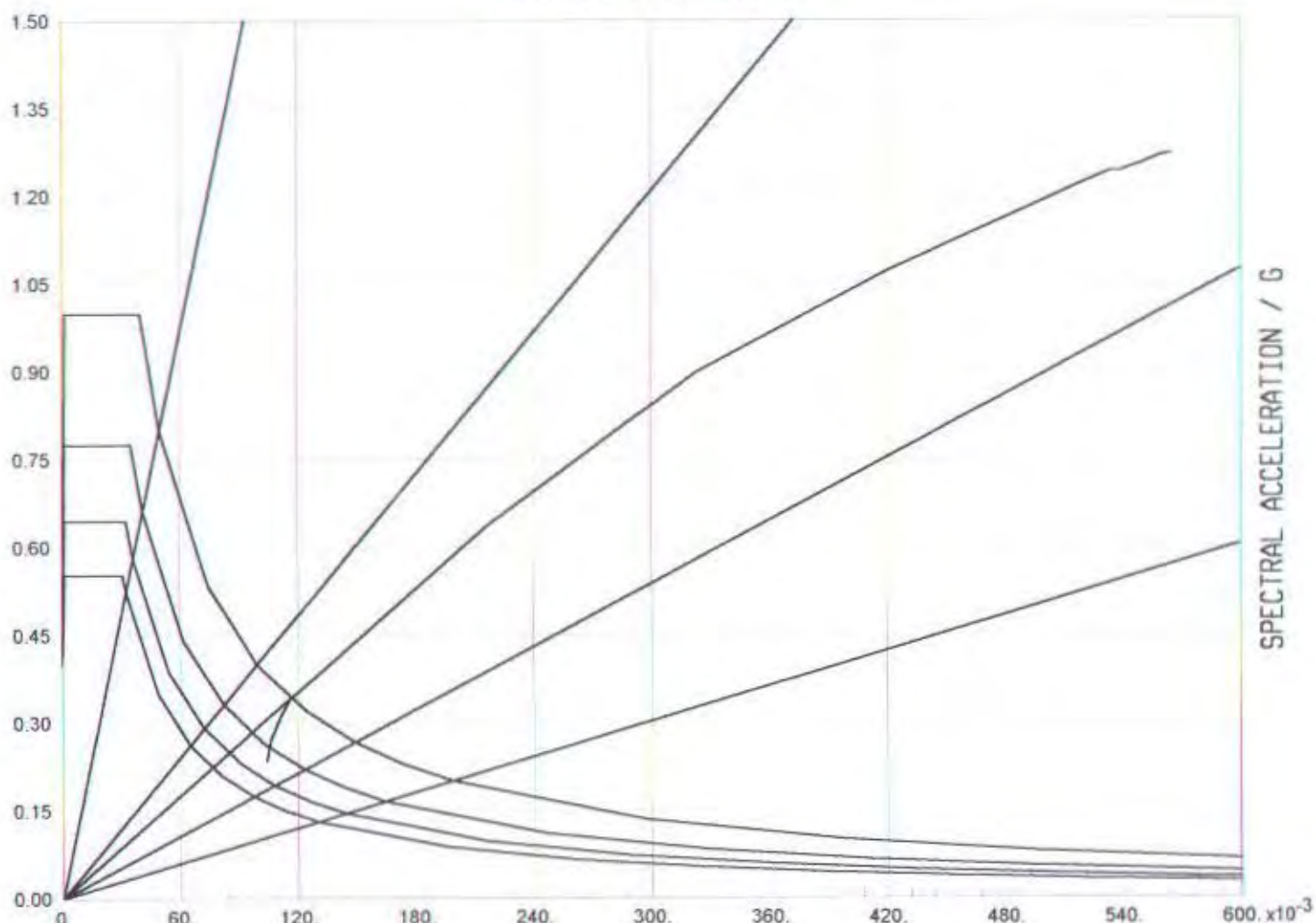


Step 14



Pembentukan Sensi Plastis ( Trial Akhir )

### SPECTRAL DISPLACEMENT



SAP2000 v7.42 - File: SAP KLM 75X75 SHEL klm 2 - Kgf-m Units  
Pushover Case PUSH2

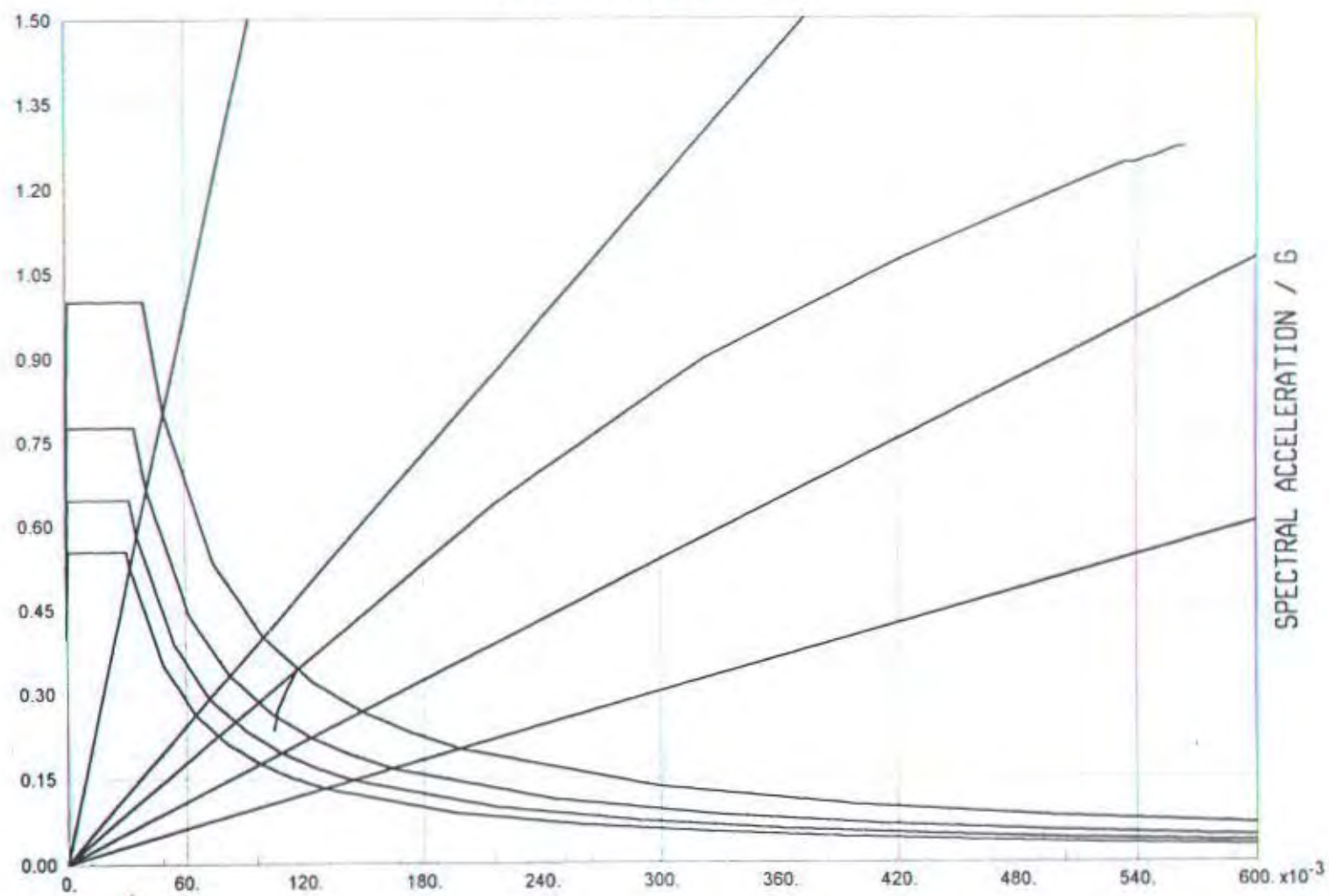
Tides, Civil Engineering, ITS, Surabaya

## USHOWER CAPACITY / DEMAND COMPARISON

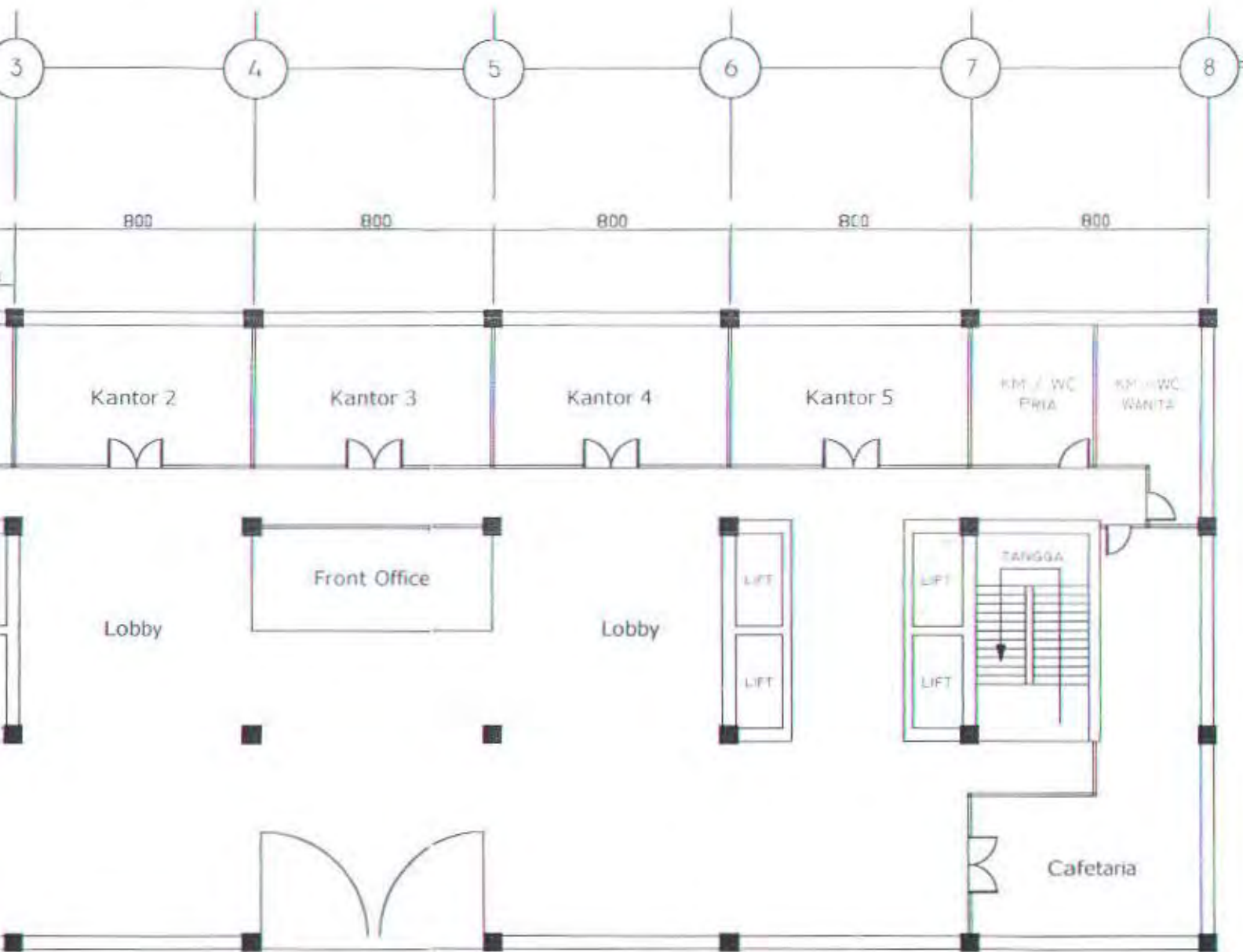
Pushover Case PUSH2

| Step | Teff  | Seff  | Sd(C) | Sa(C) | Sd(D) | Sa(D) | ALPHA | PF*Ø  |
|------|-------|-------|-------|-------|-------|-------|-------|-------|
| 0    | 1.170 | 0.050 | 0.000 | 0.000 | 0.116 | 0.342 | 1.000 | 1.000 |
| 1    | 1.170 | 0.050 | 0.085 | 0.249 | 0.116 | 0.342 | 0.671 | 1.180 |
| 2    | 1.170 | 0.050 | 0.169 | 0.498 | 0.116 | 0.342 | 0.671 | 1.180 |
| 3    | 1.170 | 0.050 | 0.217 | 0.638 | 0.116 | 0.342 | 0.671 | 1.180 |
| 4    | 1.203 | 0.066 | 0.323 | 0.897 | 0.111 | 0.309 | 0.662 | 1.115 |
| 5    | 1.258 | 0.091 | 0.423 | 1.075 | 0.106 | 0.271 | 0.653 | 1.091 |
| 6    | 1.305 | 0.107 | 0.512 | 1.209 | 0.105 | 0.249 | 0.649 | 1.109 |
| 7    | 1.316 | 0.110 | 0.534 | 1.242 | 0.105 | 0.244 | 0.649 | 1.115 |
| 8    | 1.323 | 0.114 | 0.540 | 1.242 | 0.105 | 0.241 | 0.647 | 1.103 |
| 9    | 1.326 | 0.114 | 0.546 | 1.251 | 0.105 | 0.240 | 0.647 | 1.105 |
| 10   | 1.328 | 0.115 | 0.548 | 1.251 | 0.105 | 0.239 | 0.646 | 1.101 |
| 11   | 1.333 | 0.117 | 0.560 | 1.268 | 0.105 | 0.237 | 0.646 | 1.104 |
| 12   | 1.338 | 0.119 | 0.565 | 1.270 | 0.104 | 0.235 | 0.645 | 1.095 |

### SPECTRAL DISPLACEMENT



SAP2000 v7.42 - File:SAP KLM 75X75 SHELL.klm 2 - Kgf-m Units  
Pushover Case PUSH2



## DENAH LANTAI DASAR

SKALA 1 : 200

JURUSAN TEKNIK SIPIL  
FTSP - ITS  
SURABAYA

## JUDUL TUGAS AKHIR

PERENCANAAN GEDUNG 10  
LANTAI TYPE SHEAR WALL  
FRAME DENGAN METODE  
PUSHOVER ANALYSIS  
MENGGUNAKAN SNI 2002

## DOSEN PEMBIMBING

Ir. MUDJI IRMAWAN, MS.  
Dr. Ir. TRIWULAN, DEA

## MAHASISWA

HERIBERTUS FAJAR  
KRISTIANTO  
3199 100 007

## GAMBAR

## DENAH LANTAI DASAR

## NO. GAMBAR

I

## DISETUJUI

## CATATAN

JUDUL TUGAS AKHIR

PERENCANAAN GEDUNG 10  
LANTAI TYPE SHEAR WALL  
FRAME DENGAN METODE  
PUSHOVER ANALYSIS  
MENGGUNAKAN SNI 2002

DOSEN PEMBIMBING

Ir. MUDJI IRMAWAN, MS.  
Dr. Ir. TRIWULAN, DEA

MAHASISWA

HERIBERTUS FAJAR  
KRISTIANTO  
3199 100 007

GAMBAR

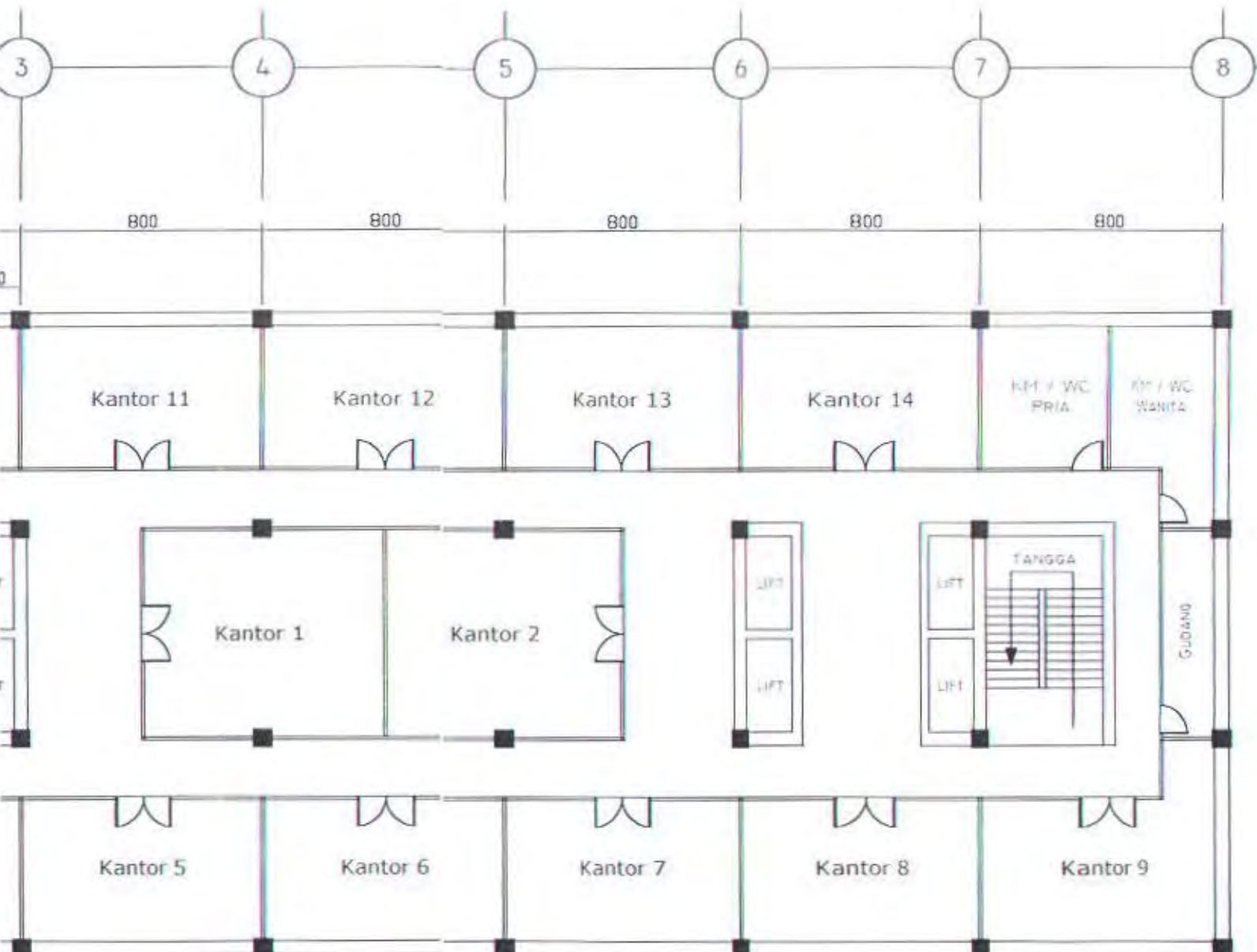
DENAH LANTAI 1 - 9

NO. GAMBAR

2

DISETUJUI

CATATAN



DENAH LANTAI 1 - 9

SKALA 1 : 200



JURUSAN TEKNIK SIPIL  
FTSP - ITS  
SURABAYA

JUDUL TUGAS AKHIR

PERENCANAAN GEDUNG 10  
LANTAI TYPE SHEAR WALL  
FRAME DENGAN METODE  
PUSHOVER ANALYSIS  
MENGGUNAKAN SNI 2002

DOSEN PEMBIMBING

Ir. MUDJI IRMAWAN, MS.  
Dr. Ir. TRIWULAN, DEA

MAHASISWA

HERIBERTUS FAJAR  
KRISTIANTO  
3199 100 007

GAMBAR

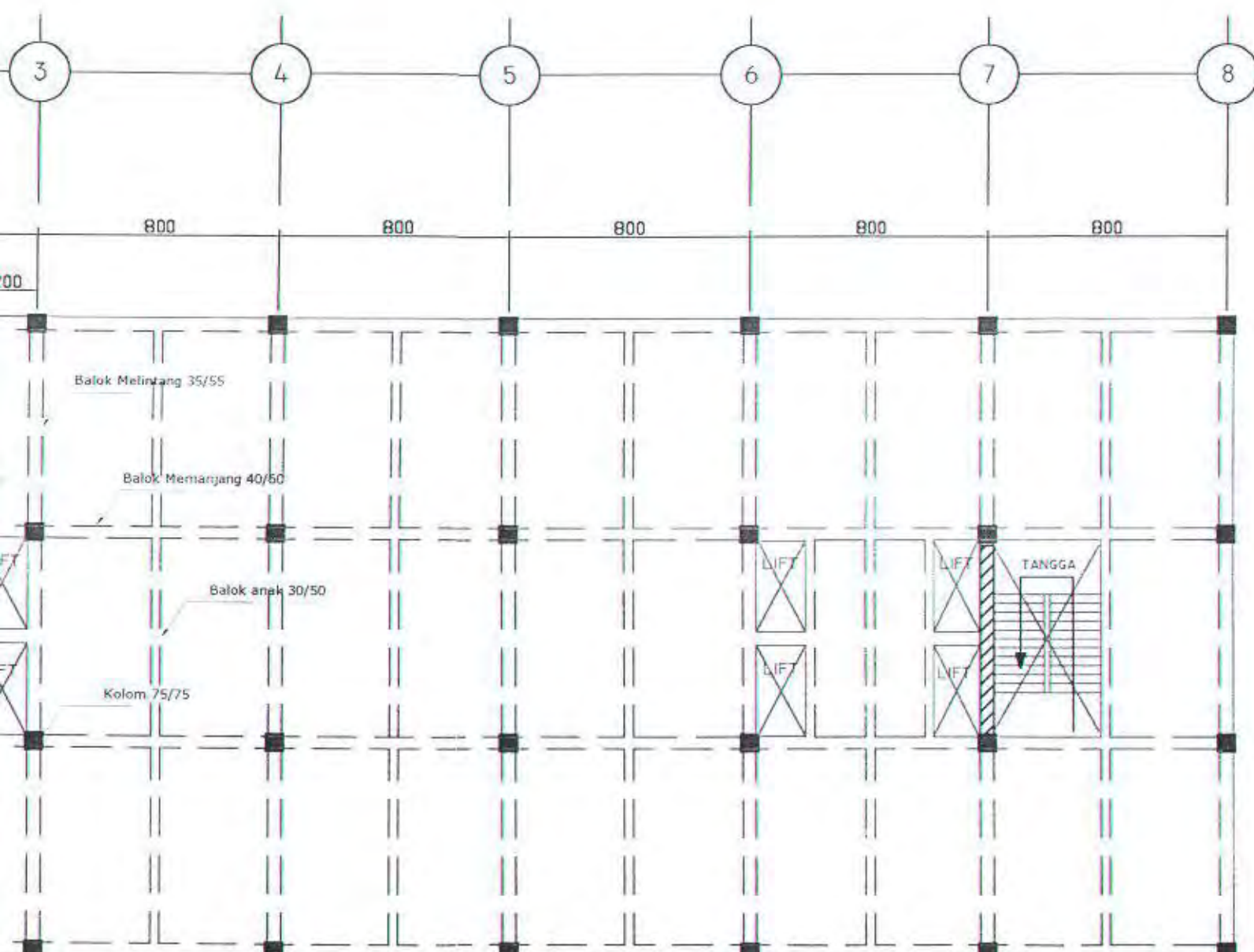
DENAH BALOK DAN  
KOLOM LANTAI 1 - 9

NO. GAMBAR

3

DISETUJUI

CATATAN



NAH BALOK - KOLOM LANTAI 1 - 9

SKALA 1 : 200



JURUSAN TEKNIK SIPIL  
FTSP - ITS  
SURABAYA

JUDUL TUGAS AKHIR

PERENCANAAN GEDUNG 10  
LANTAI TYPE SHEAR WALL  
FRAME DENGAN METODE  
PUSHOVER ANALYSIS  
MENGGUNAKAN SNI 2002

DOSEN PEMBIMBING

Ir. MUDJI IRMAWAN, MS.  
Dr. Ir. TRIWULAN, DEA

MAHASISWA

HERIBERTUS FAJAR  
KRISTIANTO  
3199 100 007

GAMBAR

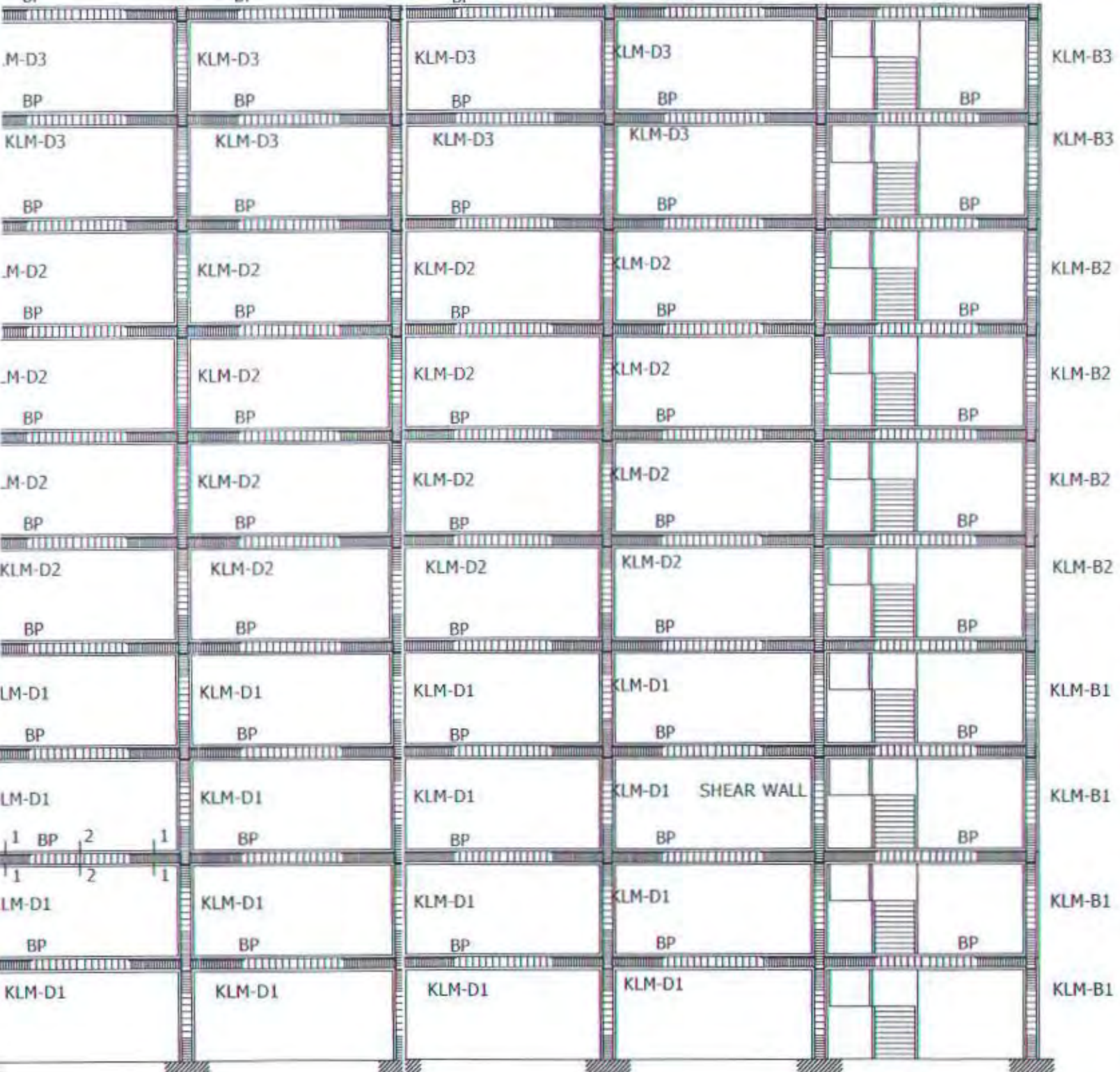
GAMBAR POTONGAN  
MEMANJANG GEDUNG

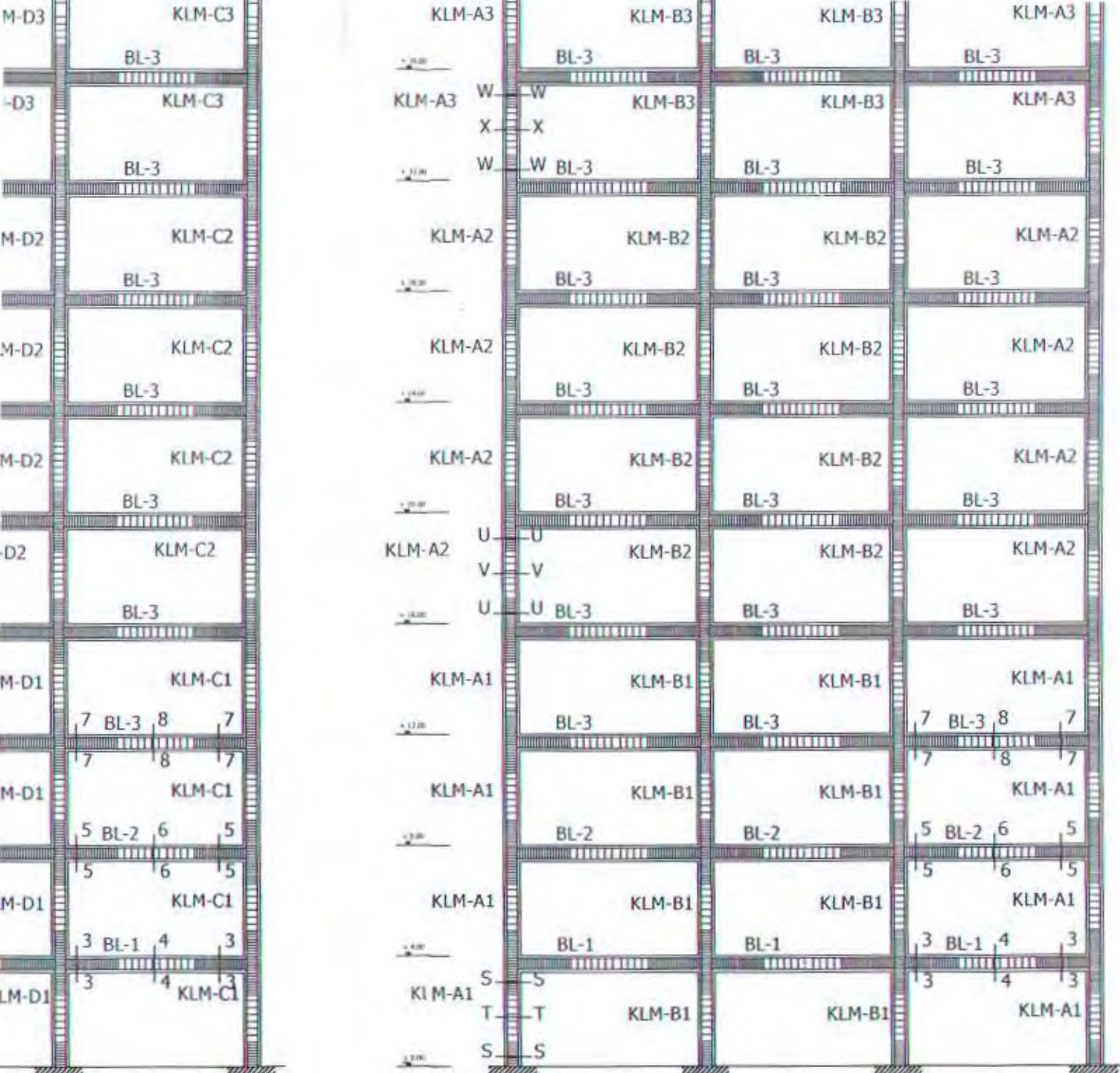
NO. GAMBAR

4

DISETUJUI

CATATAN





POTONGAN MELINTANG PORTAL I

SKALA 1 : 200

JURUSAN TEKNIK SIPIL  
FTSP - ITS  
SURABAYA

JUDUL TUGAS AKHIR

PERENCANAAN GEDUNG 10  
LANTAI TYPE SHEAR WALL  
FRAME DENGAN METODE  
PUSHOVER ANALYSIS  
MENGGUNAKAN SNI 2002

DOSEN PEMBIMBING

Ir. MUDJI IRMAWAN, MS.  
Dr. Ir. TRIWULAN, DEA

MAHASISWA

HERIBERTUS FAJAR  
KRISTIANTO  
3199 100 007

GAMBAR

GAMBAR POTONGAN  
MELINTANG GEDUNG

NO. GAMBAR

5

DISETUJUI

CATATAN



JURUSAN TEKNIK SIPIL  
FTSP - ITS  
SURABAYA

JUDUL TUGAS AKHIR

PERENCANAAN GEDUNG 10  
LANTAI TYPE SHEAR WALL  
FRAME DENGAN METODE  
PUSHOVER ANALYSIS  
MENGGUNAKAN SNI 2002

DOSEN PEMBIMBING

Ir. MUDJI IRMAWAN, MS.  
Dr. Ir. TRIWULAN, DEA

MAHASISWA

HERIBERTUS FAJAR  
KRISTIANTO  
3199 100 007

GAMBAR

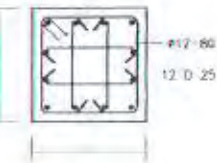
SKET TULANGAN  
KOLOM

NO. GAMBAR

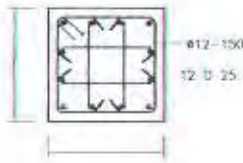
6

DISETUJUI

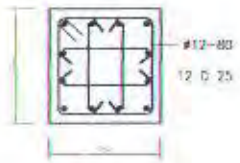
CATATAN



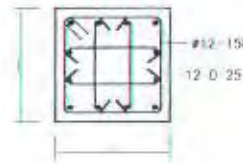
POTONGAN C – C  
KOLOM - B2



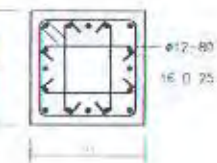
POTONGAN D – D



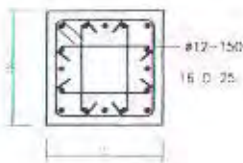
POTONGAN E – E



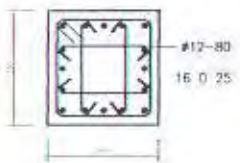
POTONGAN F – F



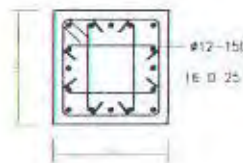
POTONGAN I – I



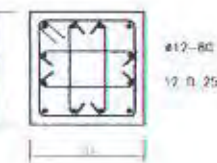
POTONGAN J – J



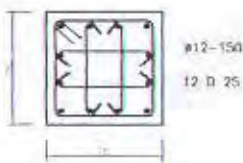
POTONGAN K – K



POTONGAN L – L

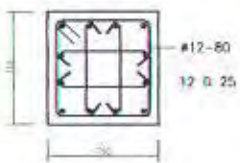


POTONGAN O – O

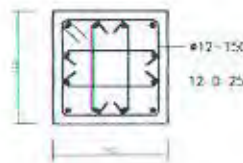


POTONGAN P – P

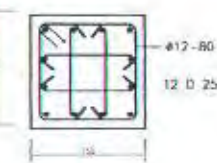
KOLOM - C2



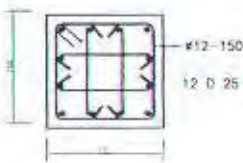
POTONGAN Q – Q



POTONGAN R – R

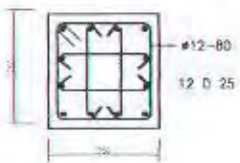


POTONGAN U – U

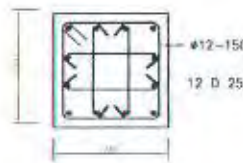


POTONGAN V – V

KOLOM - A2

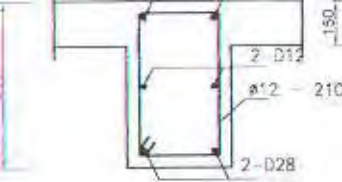


POTONGAN W – W



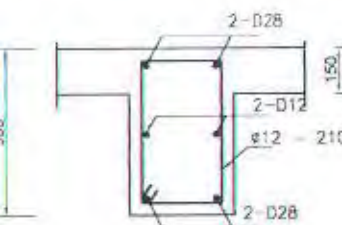
POTONGAN X – X

KOLOM - A3



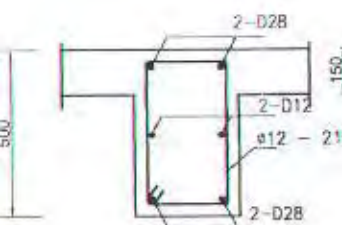
350  
POTONGAN 4 - 4

BL1

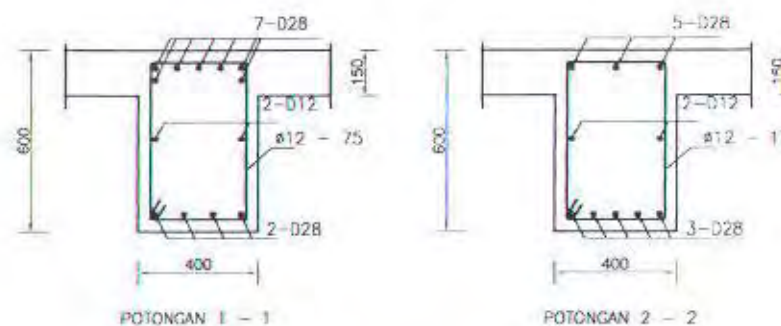


350  
POTONGAN 6 - 6

BL 2



350  
POTONGAN 8 - 8



## BALOK BP

JUDUL TUGAS AKHIR

PERENCANAAN GEDUNG 10  
LANTAI TYPE SHEAR WALL  
FRAME DENGAN METODE  
PUSHOVER ANALYSIS  
MENGGUNAKAN SNI 2002

DOSEN PEMBIMBING

Ir MUDJI IRMAWAN, MS.  
Dr. Ir. TRIWULAN, DEA

MAHASISWA

HERIBERTUS FAJAR  
KRISTIANTO  
3199 100 007

GAMBAR

SKET TULANGAN  
BALOK

NO. GAMBAR

7

DISETUJUI

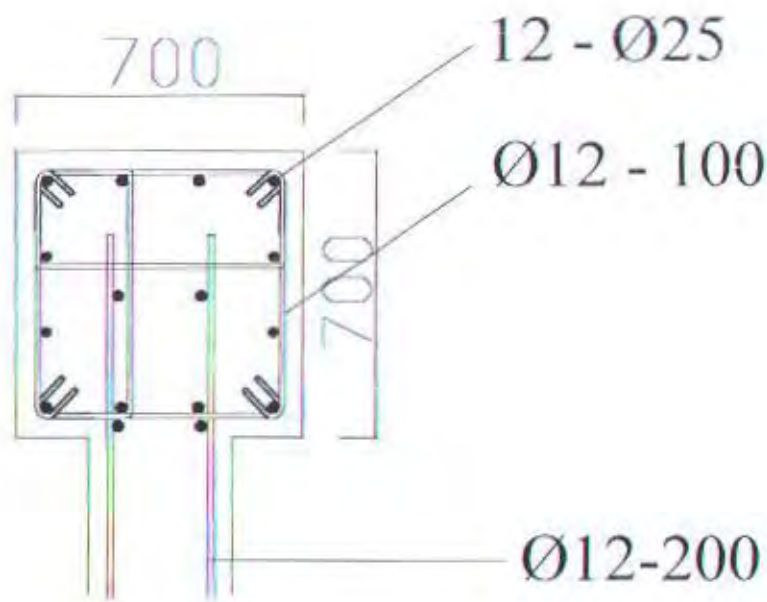
CATATAN



JURUSAN TEKNIK SIPIL  
FTSP - ITS  
SURABAYA

12-200

12-400



DETAIL A ( BOUNDARY ELEMENT )

JUDUL TUGAS AKHIR

PERENCANAAN GEDUNG 10  
LANTAI TYPE SHEAR WALL  
FRAME DENGAN METODE  
PUSHOVER ANALYSIS  
MENGGUNAKAN SNI 2002

DOSEN PEMBIMBING

Ir. MUDJI IRMAWAN, MS.  
Dr. Ir. TRIWULAN, DEA

MAHASISWA

HERIBERTUS FAJAR  
KRISTIANTO  
3199 100 007

GAMBAR

PENULANGAN  
SHEARWALL

NO. GAMBAR

8

DISETUJUI

CATATAN



JURUSAN TEKNIK SIPIL  
FTSP - ITS  
SURABAYA

JUDUL TUGAS AKHIR

PERENCANAAN GEDUNG 10  
LANTAI TYPE SHEAR WALL  
FRAME DENGAN METODE  
PUSHOVER ANALYSIS  
MENGGUNAKAN SNI 2002

DOSEN PEMBIMBING

Ir. MUDJI IRMAWAN, MS.  
Dr. Ir. TRIWULAN, DEA

MAHASISWA

HERIBERTUS FAJAR  
KRISTIANTO  
3199 100 007

GAMBAR

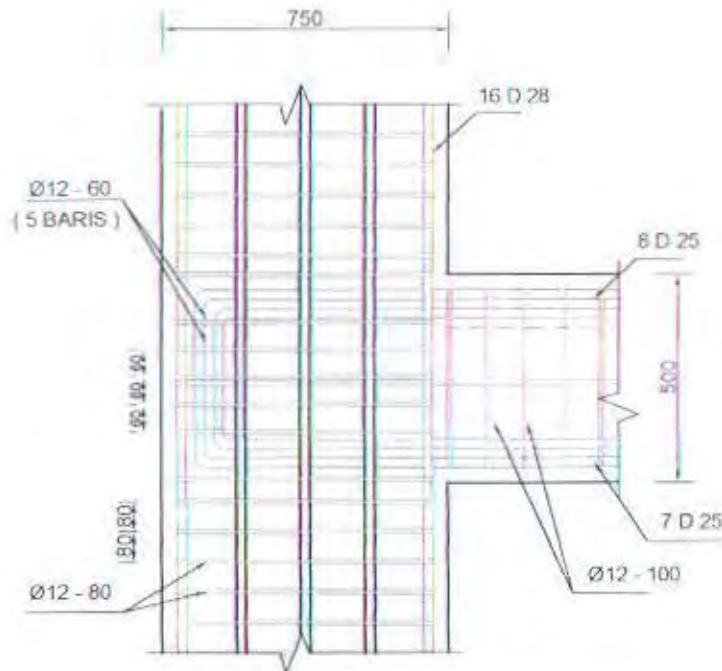
BEAM - COLUMN JOINT  
PORTAL MELINTANG

NO. GAMBAR

9

DISETUJUI

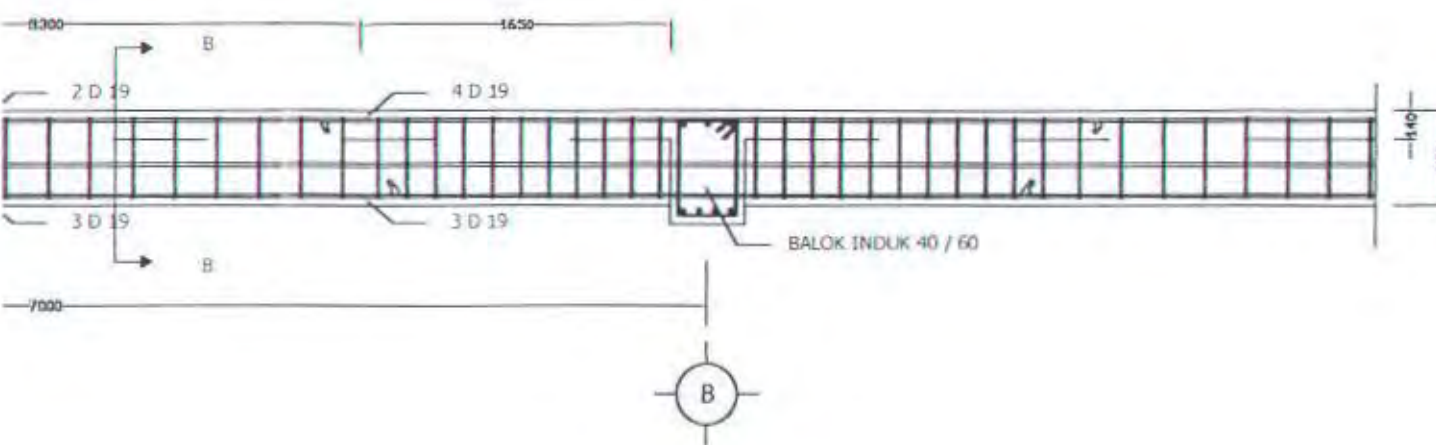
CATATAN



INTERIOR  
AI 3

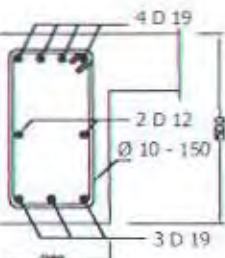


JURUSAN TEKNIK SIPIL  
FTSP - ITS  
SURABAYA

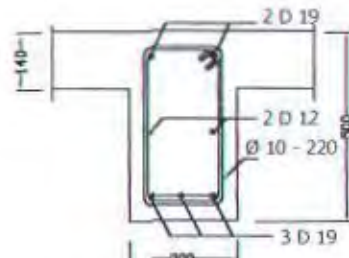


## NGAN MEMANJANG BALOK ANAK ATAP

SKALA 1 : 40



NGAN A - A



POTONGAN B - B

## JUDUL TUGAS AKHIR

PERENCANAAN GEDUNG 10  
LANTAI TYPE SHEAR WALL  
FRAME DENGAN METODE  
PUSHOVER ANALYSIS  
MENGGUNAKAN SNI 2002

## DOSEN PEMBIMBING

Ir. MUDJI IRMAWAN, MS.  
Dr. Ir. TRIWULAN, DEA.

## MAHASISWA

HERIBERTUS FAJAR  
KRISTIANTO  
3199 100 007

## GAMBAR

## TULANGAN BALOK ANAK ATAP

## NO. GAMBAR

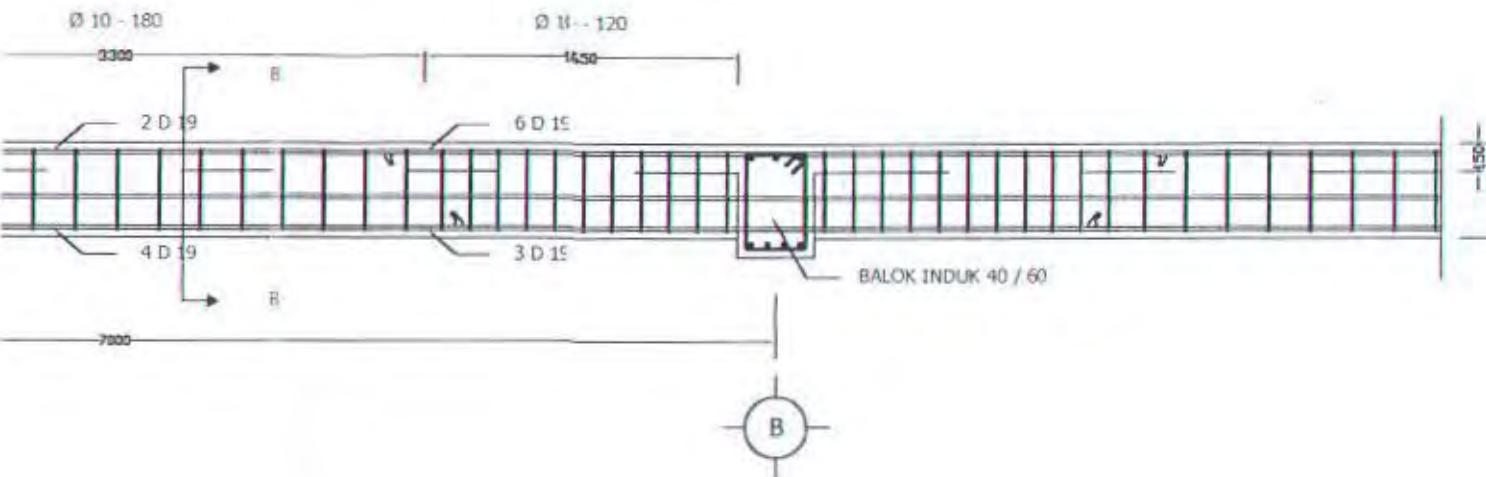
10

## DISETUJUI

## CATATAN

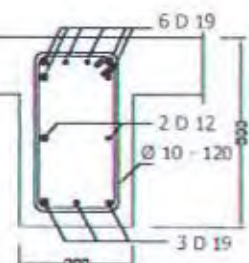


JURUSAN TEKNIK SIPIL  
FTSP - ITS  
SURABAYA

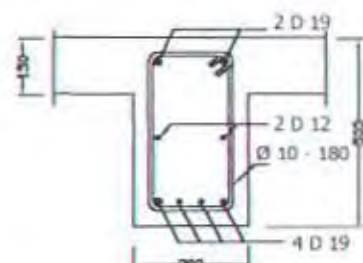


## POTONGAN MEMANJANG BALOK ANAK LANTAI

SKALA 1 : 40



POTONGAN A - A



POTONGAN B - B

## JUDUL TUGAS AKHIR

PERENCANAAN GEDUNG 10  
LANTAI TYPE SHEAR WALL  
FRAME DENGAN METODE  
PUSHOVER ANALYSIS  
MENGGUNAKAN SNI 2002

## DOSEN PEMBIMBING

Ir. MUDJI IRMAWAN, MS.  
Dr. Ir. TRIWULAN, DEA

## MAHASISWA

HERIBERTUS FAJAR  
KRISTIANTO  
3199 100 007

## GAMBAR

TULANGAN BALOK  
ANAK LANTAI

## NO. GAMBAR

11

## DISETUJUI

## CATATAN



JURUSAN TEKNIK SIPIL  
FTSP - ITS,  
SURABAYA

JUDUL TUGAS AKHIR

PERENCANAAN GEDUNG 10  
LANTAI TYPE SHEAR WALL  
FRAME DENGAN METODE  
PUSHOVER ANALYSIS  
MENGGUNAKAN SNI 2002

DOSEN PEMBIMBING

Ir. MUDJI IRMAWAN, MS.  
Dr. Ir. TRIWULAN, DEA

MAHASISWA

HERIBERUS FAJAR  
KRISTIANTO  
3199 100 007

GAMBAR

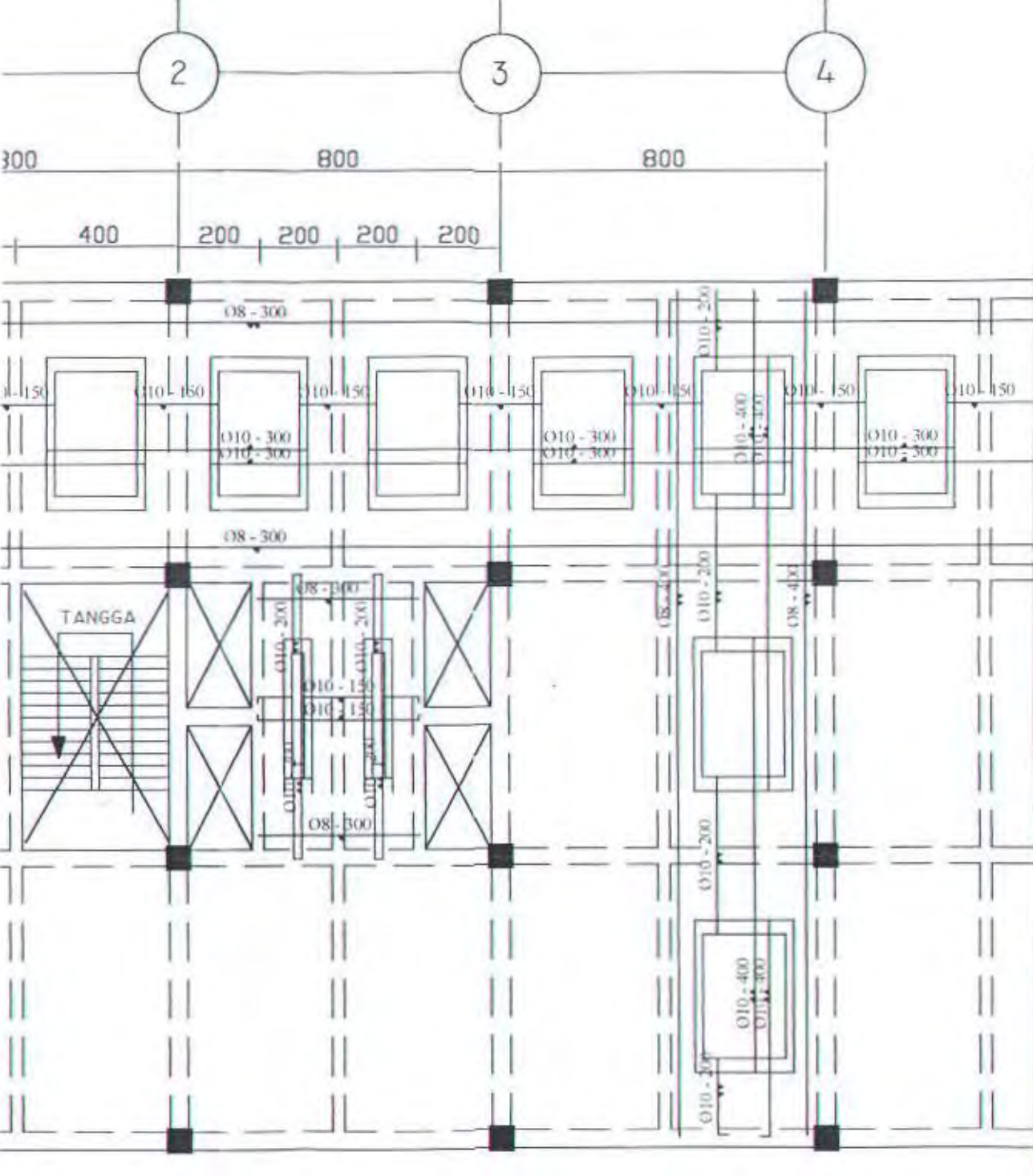
PENULANGAN PELAT  
LANTAI 1 - 9

NO. GAMBAR

12

DISETUJUI

CATATAN



NULANGAN PELAT LANTAI 1 - 9

SKALA 1 : 150

JUDUL TUGAS AKHIR

PERENCANAAN GEDUNG 10  
LANTAI TYPE SHEAR WALL  
FRAME DENGAN METODE  
PUSHOVER ANALYSIS  
MENGGUNAKAN SNI 2002

DOSEN PEMBIMBING

Ir. MUDJI IRMAWAN, MS.  
Dr. Ir. TRIWULAN, DEA

MAHASISWA

HERIBERTUS FAJAR  
KRISTIANTO  
3199 100 007

GAMBAR

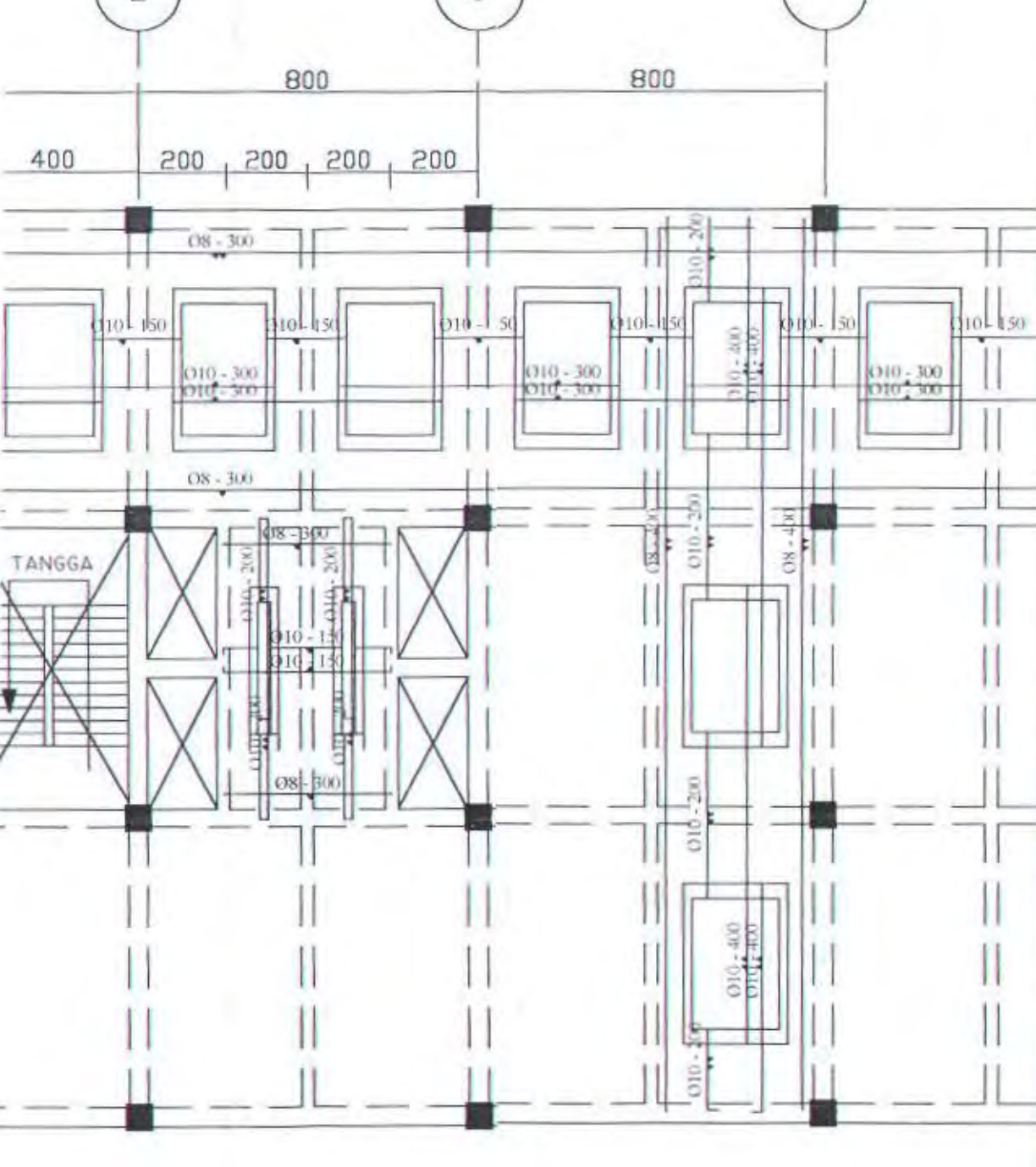
PENULANGAN PELAT  
ATAP

NO. GAMBAR

13

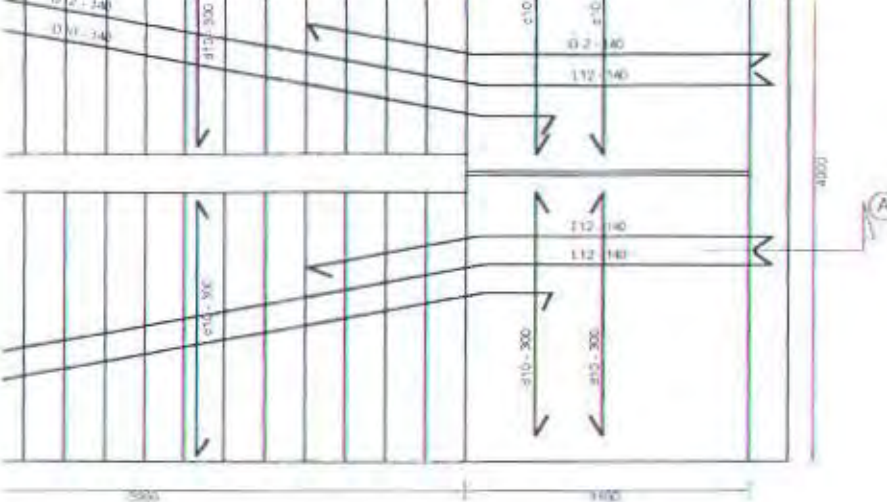
DISETUJUI

CATATAN

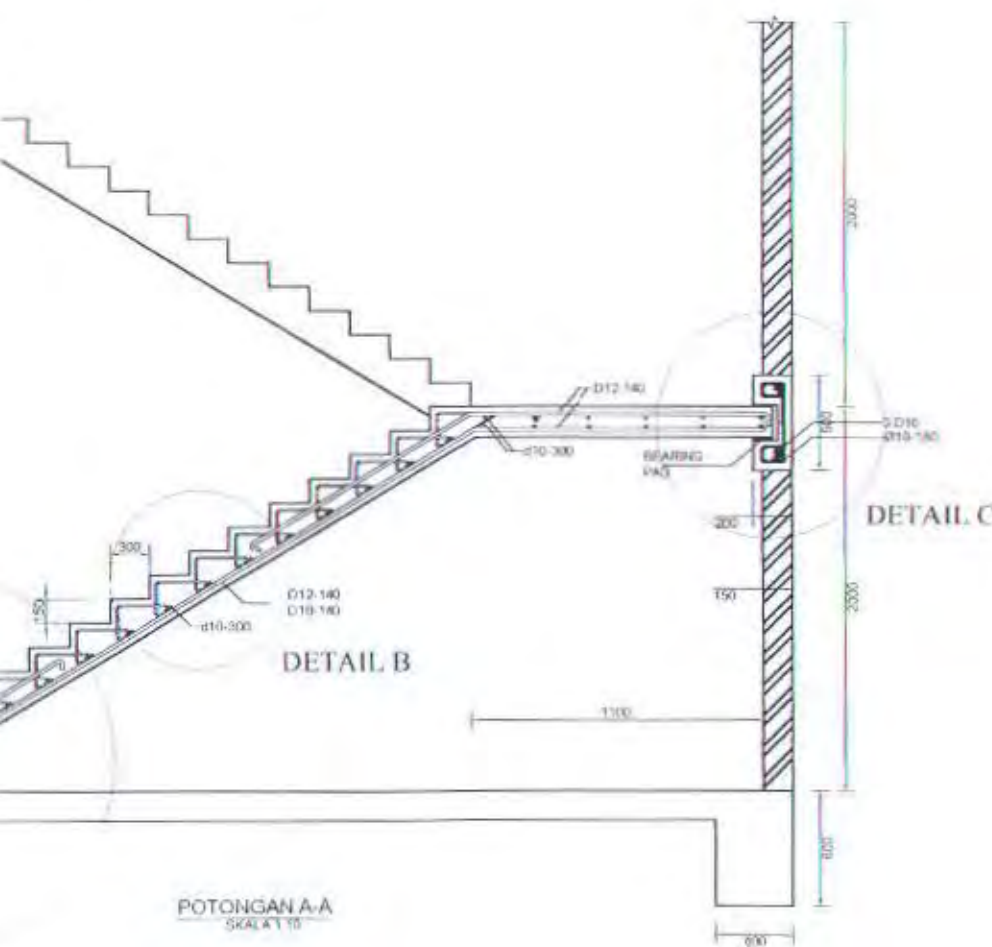


NULANGAN PELAT ATAP

SKALA 1 : 150



## DENAH PENULANGAN TANGGA



POTONGAN A-A  
SKALA 1:10

JURUSAN TEKNIK SIPIL  
FTSP - ITS  
SURABAYA

JUDUL TUGAS AKHIR

# PERENCANAAN GEDUNG 10 LANTAI TYPE SHEAR WALL FRAME DENGAN METODE PUSHOVER ANALYSIS MENGGUNAKAN SNI 2002

DOSEN PEMBIMBING

Ir. MUDJI IRMAWAN, MS  
Dr Ir TRIWULAN, DEA

MAHASISWA

HERIBERTUS FAJAR  
KRISTIANTO  
3199 100 007

## GAMBAR

## DETAIL PENULANGAN TANGGA

NO. GAMBAR

14

DISETUJUI

CATATAN



JURUSAN TEKNIK SIPIL  
FTSP - ITS  
SURABAYA

JUDUL TUGAS AKHIR

PERENCANAAN GEDUNG 10  
LANTAI TYPE SHEAR WALL  
FRAME DENGAN METODE  
PUSHOVER ANALYSIS  
MENGGUNAKAN SNI 2002

DOSEN PEMBIMBING

Ir. MUDJI IRMAWAN, MS.  
Dr. Ir. TRIWULAN, DEA

MAHASISWA

HERIBERTUS FAJAR  
KRISTIANTO  
3199 100 007

GAMBAR

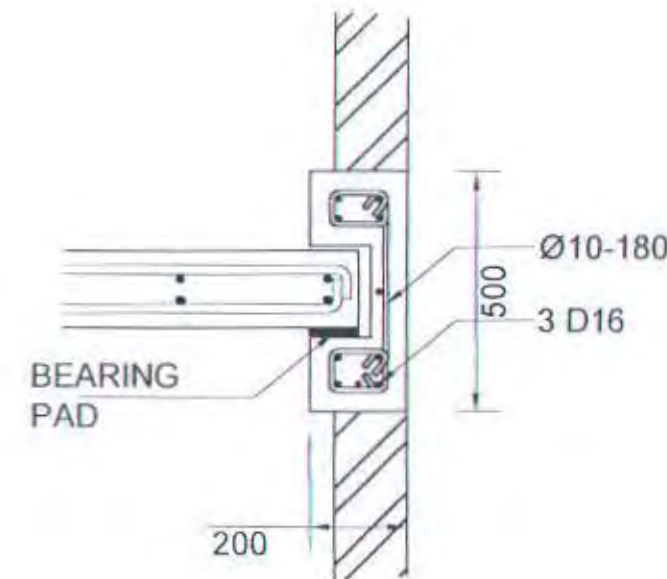
DETAIL PENULANGAN  
TANGGA

NO. GAMBAR

15

DISETUJUI

CATATAN



## DETAIL C

SKALA 1 : 40

2-140  
0-140